

**AZƏRBAYCAN RESPUBLİKASI TƏHSİL NAZİRLİYİ  
BAKİ DÖVLƏT UNIVERSİTETİ**

**F.Ə.İmanov**

**HİDROLOJİ HESABLAMALAR**

*Azərbaycan Respublikası Təhsil Nazirliyinin 2010-cu il 14 dekabr tarixli 1625 nömrəli əmri ilə dərslik təsdiq edilmişdir*

**BAKİ-2011**

**Rəyçilər:**

551.4  
✓ 140

**R.N.Mahmudov**, coğrafiya elmləri doktoru,  
professor (Bakı Dövlət Universiteti)

**Ə.Ş.Məmmədov**, texnika elmləri namizədi  
(Sukanal Elmi Tədqiqat Layihə İnstитutu)

**R.H. Verdiyev**, coğrafiya elmləri namizədi  
(Ekologiya və Təbii Sərvətlər Nazirliyi  
Hidrometeorologiya İnstитutu)

**İmanov Fərda. Hidroloji hesablamalar. Bakı, 2011, 264 s.**

Dərslikdə hidroloji hesablamalar sahəsində beynəlxalq təcrübə nəzərə alınmaqla su təsərrüfatı obyektlərinin layihələndirilməsində və su ehtiyatlarının qiymətləndirilməsində istifadə olunan əsas hidroloji xarakteristikaların müşahidə məlumatlarının həcmindən asılı olaraq təhlil, ümumiləşdirilmə və hesablanması metodlarına baxılır. Çay axımının əmələgəlmə nəzəriyyəsi, hidroloji hesablamalarda geniş tətbiq olunan genetik və statistik təhlil metodları izah olunur.

Dərslik Bakı Dövlət Universitetinin coğrafiya fakültəsində hidrometeorologiya ixtisası üzrə təhsil alan tələbələr üçün nəzərdə tutulsa da, müvafiq ixtisaslı magistrant, doktorant və mühəndislər üçün də faydalı ola bilər.

ISBN: 978-9952-29-041-7

© F.Ə.İmanov

## Mündəricat

|  |             |
|--|-------------|
| Giriş .....  | 6           |
| <b>1. Hidroloji hesablamaşaların qısa tarixi .....</b>   | <b>9</b>    |
| <b>2. Hidroloji hesablama və ümumiləşdirmə metodları .....</b>                                     | <b>26</b>   |
| 2.1. Hidroloji hesablama metodları .....   | 26          |
| 2.1.1. Coğrafi-hidroloji metod .....   | 26          |
| 2.1.2. Statistik metodlar .....  | 29          |
| 2.1.3. Riyazi modelləşdirmə .....  | 31          |
| 2.2. Hidroloji ümumiləşdirmə metodları .....   | 32          |
| 2.2.1. Hidroloji rayonlaşma .....  | 32          |
| 2.2.2. Empirik asılılıqlar .....   | 35          |
| 2.2.3. Axım xəritələri .....   | 36          |
| <b>3. Müşahidə məlumatları kifayət qədər olduqda axım xarakteristikalarının hesablanması .....</b> | <b>41</b> + |
| 3.1. Müşahidə sıralarına tələblər və onların reprezentativliyi .....                               | 43-         |
| 3.2. Axım sıraları strukturunun statistik təhlili .....  | 45+         |
| 3.3. Paylanması parametrlərinin hesablanması .....   | 48          |
| 3.3.1. Empirik və analitik təminat əyriləri .....  | 48          |
| 3.3.2. Təminat əyrilərinin parametrlərini qiymətləndirmə metodları .....                           | 63          |
| 3.3.3. Tarixi maksimumların nəzərə alınması və qarantiyalı düzəliş .....                           | 79+         |
| 3.3.4. Paylanmasın seçmə parametrlərinin xətalarının qiymətləndirilməsi .....                      | 83+         |
| 3.4. Axımın təminatlı qiymətlərinin hesablanması .....   | 85          |
| <b>4. Qısa müşahidə sıralarına görə axım xarakteristikalarının qiymətləndirilməsi .....</b>        | <b>101</b>  |
| 4.1. Ümumi müddəalar .....   | 101         |

|  |            |
|--|------------|
| 4.2.Müşahidələrin davamiyyəti 6 ildən az olduqda istifadə edilən hesablama metodları.....        | 103 *      |
| 4.2.1.Nisbətlər metodu .....   | 103+       |
| 4.2.2.Regressiya tənlikləri metodu .....   | 105+       |
| 4.2.3.Qrafiki metod .....  | 106+       |
| 4.3.Müşahidələrin davamiyyəti 6 il və daha çox olduqda istifadə edilən hesablama metodları ..... | 107+       |
| 4.3.1.Analitik metodlar.....   | 107+       |
| 4.3.2.Qrafiki metod .....  | 112+       |
| 4.3.3.Qraf-analitik metod .....  | 113+       |
| <b>5.Müşahidə məlumatları olmadıqda axım xarakteristikalarının hesablanması.....</b>             | <b>114</b> |
| 5.1.İllik axımın hesablanması .....  | 114        |
| 5.2.Maksimal axımın hesablanması .....   | 121        |
| 5.2.1.Maksimal axımın əmələ gəlməsinin genetik düsturu .....                                     | 121        |
| 5.2.2.Maksimal axımın reduksiyası.....   | 125+       |
| 5.2.3.Yaz gursulu dövrünün maksimal su sərflərinin hesablanması metodları.....                   | 128+       |
| 5.2.4.Yağış daşqınlarının maksimal su sərflərinin hesablanması metodları .....                   | 137        |
| 5.3.Minimal axımın hesablanması.....   | 164        |
| 5.3.1.Parametrlər metodu .....   | 167        |
| 5.3.2.Keçid əmsalları metodu.....  | 173        |
| 5.3.3.Çayların quruması .....  | 175        |
| <b>6.Axımın ildaxili paylanması .....</b>  | <b>180</b> |
| 6.1.Müşahidə məlumatları kifayət qədər olduqda axımın ildaxili paylanmasıının hesablanması.....  | 180+       |
| 6.1.1.Komponovka metodu .....  | 181+       |
| 6.1.2.Real il metodu .....   | 183+       |

|   |            |
|---|------------|
| 6.1.3.Səciyyəvi sululuqlu illərdə axımın paylanması<br>metodu .....                   | 184        |
| 6.2.Sutkaliq su sərflerinin paylanması hesablanması.....                              | 185        |
| 6.3.Müşahidə məlumatları olmadıqda axımın ildaxili<br>paylanması hesablanması .....   | 188+       |
| <b>7.Daşqın hidroqraflarının hesablanması .....</b>                                   | <b>191</b> |
| 7.1.Model hidroqraf metodu .....  | 191        |
| 7.2.Həndəsi fiqur və tənliklər metodu.....  | 195+       |
| 7.3.İzoxron metodu .....  | 201+       |
| 7.4.Vahid hidroqraf metodu .....  | 204+       |
| <b>8.Gətirmələr axımı .....</b>   | <b>228</b> |
| 8.1.Gətirmələr axımının hesablanması.....   | 228        |
| 8.2.Su anbarının lillənməsinin hesablanması .....                                     | 232        |
| 8.3.Sel daşqınlarının hesablanması .....  | 234        |
| <b>9.Ekoloji axımın təyini metodları .....</b>  | <b>238</b> |
| <b>10.Təsərrüfat fəaliyyətinin çay axımına təsirinin<br/>qiymətləndirilməsi .....</b> | <b>245</b> |
| 10.1.Təsərrüfat fəaliyyəti amillərinin təsnifatı.....                                 | 246+       |
| 10.2.Təsərrüfat fəaliyyətinin çay axımına təsirinin<br>başlangıç ilinin təyini .....  | 248+       |
| 10.3.Antropogen amillərin çay axımına təsirinin<br>qiymətləndirilmə metodları.....    | 251+       |
| <b>Ədəbiyyat.....</b>   | <b>260</b> |

*Dərslik 30 ildən artıq dövr ərzində  
BDU-da “Hidroloji hesablamalar”  
fənnini tədris etmiş görkəmli alim  
prof. Maqbet Məmmədovun əziz  
xatirəsinə ittihaf olunur*

## **GİRİŞ**

Hidroloji hesablamalar, hidroloji tədqiqatların son mərhələsi-  
dir. Əsas hidroloji xarakteristikaların hesablanması metodları sərf  
hidroloji hesablamalarla yanaşı, su təsərrüfatı və su ehtiyatlarının  
idarə olunması ilə əlaqədar layihələrin hazırlanmasında da isti-  
fadə olunur.

“Hidroloji hesablamalar” fənni “Çay axımı” və “Hidrometeo-  
rologiyada statistik metodlar” kurslarının məntiqi davamıdır.  
“Çay axımı” kursunun əsas vəzifəsi çayların sululuğunu müəyyən  
edən təbii şəraiti, axım xarakteristikaları ilə onların əsas fiziki-  
coğrafi amilləri arasında səbəb-nəticə əlaqələrini öyrənməkdir.  
“Hidrometeorologiyada statistik metodlar” kursunda isə hidro-  
meteoroloji informasiyanın işlənməsi və statistik təhlili metodları  
tədris olunur. Müasir hidroloji hesablama metodları əsas axım  
xarakteristikalarının əmələgəlmə şəraiti və məkan-zaman qanuna-  
uyğunluqlarını nəzərə almaqla, həmçinin statistik üsulları tətbiq  
etməklə işlənilir. Tətbiqi hidrologiyanın ən mühüm tərkib hissə-  
lərindən biri olan hidroloji hesablamaların əsas məqsədi tələbələri  
bu metodlarla ətraflı tanış etmək, onların konkret istifadə  
yollarını göstərməkdir.

Hazırda “Hidroloji hesablamalar” fənninin tədrisində hələ  
SSRİ vaxtı çapdan çıxmış D.L.Sokolovski, İ.F.Qoroşkov,  
A.M.Vladimirov və V.M.Yevstiqneyevin dərsliklərindən istifadə  
olunur.

Kitabın strukturu adları çəkilən müəlliflərin dərsliklərindən  
fərqlənir. Əvvəlki dərsliklərdə ənənəvi olaraq əsas axım xarak-  
teristikalarının (illik, minimal, maksimal axım və s.) hər birinin  
hesablanması metodlarına müstəqil fəsil həsr olunurdu. Bu dərs-

likdə isə müşahidə məlumatları olduqda müxtəlif axım xarakteristikalarının hesablanması üsullarının metodoloji bazalarının təqribən eyni olduğunu nəzərə alaraq, onlara eyni bir fəsildə baxılmışdır. Oxşar yanaşma müşahidə məlumatları kifayət qədər olmadıqda və heç olmadıqda istifadə olunan metodların da izahında tətbiq edilmişdir.

Daha bir yenilik, dərslikdə ilk dəfə olaraq ekoloji axımın təyini metodlarına baxılmasıdır. Belə ki, su ehtiyatlarının integrasiyalı idarə olunma planlarının mühüm komponentlərindən biri ekoloji axımın kəmiyyətidir.

D.L.Sokolovski (1968-ci il) və İ.F.Qoroşkovun (1979) dərsliklərində nəzəri materialla yanaşı hidroloji hesablama metodlarının konkret tətbiqinə aid misallar da verilmişdir. Lakin A.M.Vladimirov (1990) və V.M.Evstiqneyev (1990) bu təcrübədən imtina edərək, yalnız nəzəri materialların izahı ilə kifayətlənmişlər. ABŞ və Avropa ölkələrində hidrologiya ixtisası üzrə tədris olunan tətbiqi yönümlü əsas fənnlərin ümumi praktikumu hazırlanır, yəni nəzəri bilikləri möhkəmləndirmək üçün çox aydın şəkildə tərtib olunmuş misalların həlli nümunələri də verilir. Bu dərsliyin hazırlanmasında məhz belə kompleks yanaşmadan istifadə olunmuşdur.

Qeyd etmək lazımdır ki, hazırda hidrologiya ixtisası üzrə təhsil alan azərbaycanlı tələbələr və onların müəllimləri başlıca olaraq rus dilində çap olunmuş dərslik və elmi ədəbiyyatdan istifadə edirlər. Bu baxımdan, Qərb ölkələrində işlənmiş və orada istifadə olunan hidroloji hesablama metodları ilə tanışlıq tələbələr üçün müxtəlif məktəblərin yanaşmalarını müqayisə etmək üçün yaxşı imkandır.

Müstəqil Azərbaycan Respublikasında həyata keçirilən layihələrdə çay axımının əsas xarakteristikaları keçmiş SSRİ-də 1983-cü ildə qəbul edilmiş normativ sənədə görə yerinə yetirilir. Lakin Rusiya Federasiyası üçün 2003-cü ildə yeni normativ sənəd qəbul edilmiş və 2007-ci ildə bu sənəddə göstərilən metodları izah edən, həmçinin misallarla tamamlayan Metodik göstərişlər çap olunmuşdur. Dərslikdə bu yeni materiallardan da istifadə olunmuşdur.

Dərslik BDU Coğrafiya fakültəsinin bakalavriat pilləsində təhsil alan yuxarı kurs hidroloq tələbələr üçün nəzərdə tutulmasına baxmayaraq, o, həmçinin magistrantlar, doktorantlar, mühəndis hidroloqlar və elmi işçilər üçün də faydalı ola bilər.

Müəllif dərsliyin əlyazmasının çapa hazırlanmasında göstərdikləri texniki köməyə görə A.A.Quliyevaya, P.B.Sultanovaya və A.A.Nuriyevə öz minnətdarlığını bildirir.

## 1. HİDROLOJİ HESABLAMALARIN QISA TARİXİ

Fransalı filosof Oqyust Kont demişdir ki, hər hansı elmin tariхini bilmədən onu mükəmməl öyrənmək mümkün deyildir. Kanadalı alim Azit K.Bisvasın “Hidrologiyanın tarixi” adlı kitabında (Biswas, 1970) əramızdan əvvəl VI əsr dən başlayaraq, XIX əsr də daxil olmaqla hidrologiyanın tarixi xronoloji ardıcılıqla geniş şərh olunur.

Təqribən 4000 il əvvəl üç böyük sivilizasiya formalaşmışdı: Nil çayı vadisində misirlilərin, Mesopotamiyada şumerlərin və Hind çayı vadisində Xarappa sivilizasiyası. Belə ehtimal olunur ki, Xarappa Hind çayında baş vermiş katastrofik daşqın nəticəsində məhv olmuşdur. Dördüncü qədim sivilizasiya—çin sivilizasiyası da Xuanxe çayının sahilində yaranmışdı. Beləliklə, bu dörd qədim sivilizasiyanın hər biri oxşar coğrafi şəraitdə—az yağışlı və yayı çox isti olan ərazilərdə, dəyişkən təbii rejimli iri çayların sahillərində formalaşmışdı.

Indiki Finlandiya və Korelyanın ərazisində sonuncu buzlaşma dövrünün buzlaqları əriyən zaman hələ Neva çayı əmələ gəlməmişdi, lakin artıq qədim Misirdə Asuandan 400 km yuxarıda qayalar üzərində Nil çayının daşqın səviyyələri qeyd olunurdu.

Lakin həmin dövrdən hidrologiyanın müstəqil elmi istiqamət kimi formalasmasına bir neçə min il tələb olundu və bu XX əsrin əvvəllərində baş verdi. Hələ XIX əsrin axırlarında adətən hidrologiyaya fiziki coğrafiyanın tərkib hissəsi kimi baxılırdı, bəzən isə o hidrotexnika və hidravlikaya aid edilirdi. Yalnız XX əsrin əvvəllərində hidrologiyanın müstəqil bir elm kimi məzmunu müəyyən olundu və Almaniya, Fransa, Rusiya, ABŞ-ın bəzi universitetlərində hidroloji kursları oxunmağa başlandı və ilk dərs vəsaitləri yazılıdı. ABŞ-da hidrologiya üzrə ilk dərs vəsaitini D.U.Mid (D.W.Mead) 1904-cü ildə çap etdirmişdir. Bundan 10 il sonra 1914-cü ildə S.P.Maksimov (С.П.Максимов) Peterburq Politexnik Universitetində (Rusiya) ilk dəfə hidrologiya üzrə mühəzirələr kursu oxumuşdur.

Yuxarıda qeyd edilənlər belə bir fikrə gəlməyə əsas verir ki,

hidrologiya eyni zamanda həm qədim, həm də yeni elmdir.

Hidrologiyanın inkişaf tarixində ən mühüm dövrlərdən biri XVIII əsrin axırlarına təsadüf edir. Fransalı alimlər Pyer Perro (P.Perrault), Edm Mariott (E.Mariottee) və ingiltərəli Edmund Qalley (E.H.Halley) atmosfer yağıntıları, buxarlanma və çay axımı üzərində eksperimental ölçmələr və hesablamaşalar yerinə yetirərək ilk dəfə suyun təbiətdə dövranının əsas kəmiyyət göstəricilərini təyin etdilər. Bununla da, çaylar, buzlaqlar və yeraltı suların mənşəyi haqqında həmin dövrə qədər formalaşmış fantastik təsəvvürlər təkzib olundu. P.Perronun "Qaynaqların mənşəyi haqqında" kitabının 1674-cü ildə Parisdə çap olunduğunu nəzərə alaraq YUNESKO 1974-cü ildə elmi hidrologiyanın 300-illiyini qeyd etmək üçün həmin şəhərdə beynəlxalq hidroloji konfrans keçirdi.

Beləliklə, elmi hidrologiyanın vətəni Fransa sayılır.

Sonrakı dövrlərdə də hidrologiyanın inkişafında fransalı alimlərin rolü böyük olmuşdur. Məsələn, XIX əsrдə F.E.Belqrən, A.Şezi, J.Sen-Venan və başqaları müasir hidrologiyanın bir neçə istiqamətinin əsasını formalaşdırmışlar.

XVII əsrдə həm də hidrometriya sürətlə inkişaf etməyə başladı. Bu sahədə əsas nailiyyətlər italiyalı alimlərin adı ilə bağlıdır. Güman edilir ki, "hidrometriya" termini ilk dəfə italiyalı hidravlik və hidrotexnik D.Quelmini tərəfindən 1694-cü ildə, onun Baloniya Universitetində çalışdığı dövrdə işlədilmişdir.

Beləliklə, İtaliya müasir hidrometriyanın vətəni hesab olunur.

Qeyd etmək lazımdır ki, "Hidrologiya" adı altında ilk kitab da XVII əsrin axırlarında Almaniyinin Frankfurt-Mayn şəhərində işıq üzü görmüşdür. Kitabın müəllifi almaniyalı alim Eberqard Melxiordur (E.Melchior, 1694). Güman edilir ki, "Hidrologiya" termini ilk dəfə bu kitabda işlənilib.

Rusdilli elmi ədəbiyyatda bu terminə ilk dəfə P.Vargentinin (П.Варгентин) 1762-ci ildə çap olunmuş məqaləsində rast gəlinir.

Müasir hidrologiyanın əksər elmi nəticələri çoxsaylı hidroloji məntəqələrin çoxillik stasionar müşahidə məlumatlarına əsaslanır.

Bu məlumatlar hidrotexniki qurğuların layihələndirilməsi, inşası və istismarı ilə əlaqədar yerinə yetirilən hidroloji hesablamaların və tərtib edilən proqnozların əsasını təşkil edir. Hidroloji məntəqələrdə çayların səviyyə, axım, gətirmələr rejimi, suyun temperaturu, keyfiyyəti və s. üzərində müşahidələr yerinə yetirilir.

Təsadüfi deyil ki, hidrologiya elminin tarixi Nil çayının səviyyəsi üzərində yerinə yetirilmiş müşahidələrlə əlaqələndirilir. Bu çay üzərində eramızdan 3000 il əvvəl təşkil edilmiş səviyyəölçənlər - "nilölçənlər" bizə gəlib çatmış ən qədim hidrometrika qurğular hesab olunur. Qədim Misirdə onların sayı 30-a çatırdı. Maraqlıdır ki, XIX əsrin axırlarında ABŞ-da suyun səviyyəsini avtomatik qeyd edən cihazlar da "nilölçənlər" (nilometres) adlanırdı. XVIII əsrдə Fransada da suölçmə tamasalarına nilölçənlər deyilirdi.

Avropada suyun səviyyəsi üzərində mütəmadi müşahidələr yerinə yetirilən ilk məntəqələr XVIII əsrдə yaradılmışdır. Rusiyada ilk dəfə belə məntəqə I Pyotrun fərmanı ilə 1725-ci ildə Neva çayı üzərində Petropavlovsk qalasının yaxınlığında təşkil olunmuşdur. Avropanın bəzi iri çaylarında da ilk səviyyə məntəqələrinin yaradılması XVIII əsrə təsadüf edir: Reyn, Dunay, Elba (Maqdeburqda, 1927-ci il), Sena (Parisdə, 1732-ci il), Tibr (Ripettoda, 1782-ci il), Volqa (Həştərxanda, 1792-ci il).

XIX ərin II yarısında bir sıra ölkələrdə çayların su rejimini öyrənmək üçün xüsusi idarələr təşkil olunmağa başlandı. Adətən belə idarələr əhəmiyyətli maddi ziyanla nəticələnən daşqın və subasma hadisələrindən sonra yaradılırdı (1830-1840-ci illərdə Sena, Luara, Rona, 1870-1890-ci illərdə Reyn, Elba, Oder çaylarında). Bu idarələrin əsas məqsədi katastrofik daşqınların əmələgəlmə səbəblərinin öyrənilməsi və onlara qarşı mübarizə tədbirlərinin hazırlanması idi. 1853-1854-cü illərdə Fransada ilk dəfə olaraq Luara və Sena çayı hövzələrinin hidrometrik xidmətləri yaradıldı. Sonrakı illərdə oxşar idarələr Baden Hersoqluğunda (indiki Almaniyyada, 1883-cü ildə), Macarıstanda (1886), ABŞ-da (1889), Avstriyada (1895) İsvəçrədə (1891), İtaliyada (XX ərin I onilliyində), Rusiyada (1919), İngiltərədə (1930) təşkil olundu.

Azərbaycanda hələ XVI-XVII əsrлərdə Mehri çayı hövzə-sindən Ordubadçaya su axıtmaq üçün Zuvar kanalı çəkilmişdir. Bunun həyata keçirilməsi üçün sözsüz ki, sadə müşahidələr və ölçmələr aparılmışdır.

1860-ci ildə ingilis mühəndisləri Qabb və Belli Zaqafqaziyanın bir çox çaylarını, o cümlədən Kür-Araz ovalığının, Alazan-Həftəran vadisinin, Naxçıvanın çaylarını öyrənmişlər. 1861-62-ci illərdə onlar ilk dəfə olaraq Salyan şəhəri yaxınlığında Voltman cihazı ilə Kür çayının su sərfərini ölçmüşlər. Onlar başqa çaylarda da su sərfərini ölçmüş və suvarma layihələri tərtib etmişlər. Bu işlər 1863-cü ilə qədər aparılmış və Zaqafqaziya çaylarının hidrometrik üsulların tətbiqi ilə öyrənilməsində ilk tədqiqat olmuşdur. 1888-ci ildə Yevlax və Zərdabda Kür çayının səviyyəsi üzərində müşahidələr aparılmışdır.

Azərbaycanda hidrologiya məktəbi SSRİ zamanı formalışmışdır. Görkəmli sovet alimlərinin siyahısı çox böyükdür və onların heç olmasa bir qrupu hökmən qeyd olunmalıdır: D.L.Sokolovski, V.A.Urivayev, A.İ.Çebotarev, D.İ.Koçerin, G.A.Alekseyev, V.Q.Andreyanov, K.P.Voskresenski, L.N.Popov, A.A.Sokolov, Q.Q.Svanidze, A.M.Vladimirov, A.V.Rojdestvenski, M.İ.Lvoviç, İ.A.Şiklomanov, Y.B.Vinoqradov, N.F.Befani, P.S.Kuzin, Q.P.Kalinin, R.A.Nejixovski, O.V.Popov, İ.F.Qoroskov, B.D.Zaykov, L.K.Davidov, P.V.Somov, A.V.Şnitnikov, A.Şults, L.A.Vladimirov, Q.İ.Xmaladze, A.N.Vajnov, V.D.Bikov, İ.V.Xomeriki, Q.L.Qriqoliya və b.

Azərbaycanın hidroqrafiyasının kompleks tədqiqində S.H.Rüstəmov müstəsna rol oynamışdır. Onun "Azərbaycan SSR-in çayları və onların hidroloji xüsusiyyətləri" (Rüstəmov, 1960) adlı monoqrafiyası hazırda bestsellerə çevrilmişdir. S.H.Rüstəmovun R.M.Qaşqay ilə birlikdə hazırladıqları "Azərbaycan SSR-in su ehtiyatları" (Рустамов, Кашкай, 1989) adlı monoqrafiya təkcə hidroloqların deyil, həm də hidrotexnik və melioratorların stolüstü kitabıdır.

Qafqaz çaylarının maksimal və minimal axımının öyrənilməsində müvafiq olaraq M.Ə.Məmmədovun və F.Ə.İmanovun,

Azərbaycan çaylarının axım xarakteristikalarının proqnoz metodlarının işlənməsində R.N.Mahmudovun, çay hövzələrinin su balansının qiymətləndirilməsində R.M.Qaşqayın, antropogen amillərin çayların su rejiminə təsirinin tədqiqində H.Y.Fətulayevin, gətirmələr axımının öyrənilməsində S.A.Axundovun xidməti qeyd olunmalıdır.

Azərbaycanın su anbarlarını R.B.Tarverdiyev, Ş.B.Xəlilov, göllərini V.Ə.Məmmədov, X.S.Zamanov, yeraltı sularını F.Ş.Əliyev, A.B.Ələkbərov və b., çay deltalarını B.S.Şteynman öyrənmişlər.

Hidroloji müşahidə məntəqələrinin məlumatları hidroloji illiklərdə dərc olunur. İlk hidroloji illiklər Avstriyada (1893-cü il), Macarıstanda (1896), Bavariyada (1898), ABŞ-da (1906) nəşr edilmişdir. Hidroloji illiklərdəki məlumatlar hidroloji informasiyanın qızıl fondunu təşkil edir və bütün dünya ölkələrində hidroloji tədqiqatlarda və layihələrin yerinə yetirilməsində geniş istifadə olunur.

Hidrologiya bir çox elmlər kimi tam formallaşana qədər üç əsas mərhələ keçmişdir: hidroloji hadisə və proseslərin təsviri, onların təhlili və elmi proqnozu. Eramızdan əvvəl V əsrədə Qara dəniz sahillərinə səyahət etmiş Herodot İstra (Dunay), Trias (Dnestr), Boristfen (Dnepr), Tanais (Don) çaylarının adlarını çəkir.

Digər yunan coğrafi Strabon (eramızdan əvvəl 60-ci illər-eramızın 20-ci illəri) Fazis (Rioni), Kür, Araqvi, Alazani (Qanıx) çayları haqqında məlumat toplamışdır. Eramızın II əsrində Ptolomey Volqa çayının hidroqrafiyası haqqında məlumat vermiş və onun axarsız Xəzər dənizinə töküldüyünü göstərmişdir.

XVIII əsrədə gəmiçiliyi inkişaf etdirmək məqsədilə Rusiyada Don, Qərbi Dvina (Dauqava), Neva çaylarının hidroqrafiyası tədqiq olundu. XIX əsrədə bu tipli tədqiqatlar Rusiyada (Volqa, Dnepr, Şimali Dvina, Ob, İrtış, Amur), Almaniyada (Oder, Elba, Vezer, Emsa), ABŞ-da (Missisipi, Kolorado, Ohayo) və başqa ölkələrdə davam etdirildi.

İlk dəfə olaraq 1874-cü ildə Parana, 1875-ci ildə İravadi, 1889-cu ildə Rio-Qrande çayının mənsəb hissəsində su sərfi

ölçüldü.

Qeyd etmək lazımdır ki, texniki çətinliklərlə əlaqədar olaraq, Amazon çayının su sərfini ilk dəfə bu çay Vinsente Pinson tərəfindən kəşf olunduqdan 463 il sonra-1963-cü ildə ölçmüşlər.

XIX əsrin ikinci yarısında yer kürəsinin müxtəlif rayonlarında çay axımı haqqında müəyyən məlumatlar toplanmışdı. Bu, hidroloji hadisə və proseslərin izah olunmasına və elmi ümumiləşdirilməsinə şərait yaratdı. Bu tipli ilk tədqiqatlar təbiətdə suyun dövranına, çay hövzəsinin su balansının və axımın əmələgəlmə şəraitinə fiziki-coğrafi amillərin təsirinin təhlilinə həsr olunmuşdur.

XIX əsrədə bir sıra çay hövzələri (Sena, Misisipi, Dunay, Volqa, Oder, Dnepr, Oka) üçün çay axımının atmosfer yağışlarından asılılıq əlaqələri alınmışdır.

Müasir hidrologiyada, o cümlədən hidroloji hesablamalarda geniş istifadə olunan su balansı metodunun əsas ideyasının müəllifi rusiyalı A.İ.Voyeykov (Войеков, 1884) olmuşdur.

Qapalı çay hövzəsi üçün su balansı tənliyini ilk dəfə almaniyalı A.Penk (Penck, 1896) təklif etmişdir.

XIX əsrin ikinci yarısında bir sıra alimlər (Rusiyada E.Lents, A.Voyeykov, ABŞ-da E.Lumis, İngiltərədə C.Merrey, Almaniyada A.Zupon və b.) böyük su dövranında iştirak edən atmosfer yağışlarını və çay axımını kəmiyyətçə qiyətləndirməyə cəhd etmişlər. Lakin müşahidə məlumatları kifayət qədər olmadığına görə bu qiyətləndirmələr çox kobud idi. Bütün materiklərdən okeanlara çay axımını fransalı E.Reklyu (E.Reklus, 1868) nisbətən dəqiq hesablamışdır ( $31500 \text{ km}^3/\text{il}$ ). 1974-cü ildə Dövlət Hidrologiya İnstitutunda (SSRİ) yerinə yetirilmiş daha dəqiq hesablamalara görə bu rəqəm  $42400 \text{ km}^3/\text{il}$  təşkil edir.

Çayların rejim elementlərinin ilk proqnozları da 1850-ci ildə Fransada tərtib olunmuşdur. F.Belqran 1854-cü ildə Sena çayında yağış daşqınları zamanı suyun səviyyəsinin proqnozunu verməyə başladı. Paris şəhəri üçün ilkin proqnoz daşqın maksimumunun keçmə tarixindən 8 gün əvvəl hazırlanırdı.

F.Belqranın Sena hövzəsi üçün yaratdığı Hidroloji proqnozlar

və məlumatlar xidməti Fransa, Almaniya, Avstriya və başqa Avropa ölkələrində də oxşar xidmətlərin təşkilinə təkan verdi.

XX əsrд hidrologiyanın bütün sahələri kimi, çay axımının əmələgelmə prosesinin öyrənilməsi və hidroloji hesablama metodlarının inkişaf etdirilməsi yeni nailiyyətlərin əldə olunması ilə səciyyələnir:

- Axımın genetik nəzəriyyəsinin işlənməsi;
- Hidrologiada statistik metodların tətbiqi;
- Hidroloji-analogiya metodunun işlənməsi və geniş tətbiqi;
- Müşahidə məlumatları olmayan çayların axım xarakteristikalarının təyini metodlarının işlənməsi və təkmilləşdirilməsi;
- Dünyanın su balansı və su ehtiyatlarının qiymətləndirilməsi;
- Çay axımı və hidroloji hesablamalar fənnləri üzrə dərsliklərin hazırlanması;
- Hidrologiya ixtisası üzrə Universitetlərdə mütəxəssis hazırlığına başlanması;
- Ümumdünya Meteorologiya Təşkilatı və YUNESKO-nun Beynəlxalq Hidroloji Programının yaradılması;
- Antropogen amillərin çay axımına təsirinin qiymətləndirilməsi;
- İqlim dəyişmələrinin su ehtiyatlarına təsirinin təyini;
- Hidroloji proseslərin riyazi modelləşdirilməsi və s.

Axımın genetiki nəzəriyyəsi çay sutoplayıcılarında səth axımının əmələgelmə prosesində yaranan səbəb-nəticə əlaqələrini əks etdirir. Onun praktik əhəmiyyəti ondan ibarətdir ki, o, qarın əriməsi və ya yağışın yağması nəticəsində formalasən daşqın hidroqrafını hesablamaya imkan verir. İlk dəfə bu nəzəriyyə rus alimi N.E.Dolgov (Долгов, 1926) tərəfindən təklif olunmuş, sonradan isə M.M.Protodyakonov, M.A.Velikanov, A.N.Befani və başqaları tərəfindən inkişaf etdirilmişdir.

Daşqın hidroqrafını hesablamaq üçün istifadə olunan izoxron və vahid hidroqraf metodları (genetik metod) məhz bu nəzəriy-

yəyə əsaslanırlar.

Daşqınların maksimal su sərflərinin və hidroqraflarının hesablanmasında infiltrasiya prosesinin mühüm rol oynadığını nəzərə alaraq, onu kəmiyyətcə qiymətləndirmək üçün R.E.Horton (Horton, 1939), V.H.Qreen və Q.A.Ampt (Green and Ampt, 1911) və başqları metodlar təklif etdilər.

Hazırda hidroloji hesablamalar statistik metodların istifadəsi ilə yerinə yetirilir. Ehtimal nəzəriyyəsi və riyazi statistikanın hidrologiyada tətbiqi A.Hazenin (Hazen, 1914, 1917) adı ilə bağlıdır. O, su sərfləri sırasının statistik paylanması Qaussun simmetrik əyrisi ilə ifadə etmişdir. O, empirik təminatı hesablamayaq üçün də düstur işləmişdir. Bu düsturdan indi də Fransada istifadə olunur. Empirik təminatı təyin etmək üçün 10-a yaxın düstur işlənmişdir. ABŞ və Rusiyada Veybulun (Weibull, 1939) düsturundan istifadə etmək tövsiyə olunur. Rusiyada bu düstur Kritski-Menkel düsturu kimi tanınır.

Təminat əyrisini qurmaq üçün ilk ehtimal damasını da A.Hazen hazırlamışdır.

Hidrologiyada statistik metodların tətbiqinin növbəti mühüm mərhələsi A.Fosterin (Foster, 1923, 1924) adı ilə bağlıdır. O, müəyyən etdi ki, su sərfləri adətən simmetrik paylanmır və təminat əyrilərini qurmaq üçün Pirsonun III tip asimetrik əyrisindən istifadə oluna bilər. Hesablamaları asanlaşdırmaq üçün Foster xüsusi cədvəl tərtib etdi. 1938-ci ildə S.İ.Ribkin (Рыбкин, 1938) bu cədvəli bir qədər dəqiqləşdirdi. İndi keçmiş Sovet respublikalarında bu cədvəldən geniş istifadə olunur və o, Foster-Ribkin cədvəli adlanır.

İlk dəfə D.L.Sokolovski (Соколовски, 1932) A.Fosterin təklif etdiyi statistik metodu keçmiş SSRİ-nin Avropa hissəsi çaylarının illik axımına tətbiq etdi.

Hazırda hidrologiyada bir çox paylanma funksiyalarından (analitik təminat əyrilərindən) istifadə olunur: Qumbel, Kritski-Menkel (üç parametrlı qamma paylanması), Puasson, Qudriç, Brovkoviç, Conson, CEV, loqarifmik normal, binomial və s.

Axım sıralarının analitik təminat əyrilərinin əsas parametr-

lərini (axım norması, variasiya və asimmetriya əmsallarını) qiymətləndirmək üçün metodlar işləndi: momentlər metodu, ən çox həqiqətə bənzər metod, qrafoanalitik metod və L-metod.

S.H.Kritski və M.F.Menkel (Крицкий и Менкель, 1946, 1968) təminat əyrilərinin parametrlərinin təsadüfi xətalarını qiymətləndirmək üçün düsturlar təklif etdilər. Bu istiqamətdə tədqiqatları Q.Q.Şvanidze (Сванидзе, 1964) Monte-Karlo metodunun tətbiqi ilə inkişaf etdirdi.

İndi statistik metodların tətbiqi hidrologiyanın ən vacib hissələrindən biridir. Müşahidə məlumatları kifayət qədər olduqda hidroloji hesablamalar faktiki olaraq statistik metodlarla yerinə yetirilir.

XX əsrin birinci yarısında hidroloji müşahidə məntəqələrinin sayı az, müşahidə sıraları isə qısa idi. Belə şəraitdə axımın kəmiyyət göstəricilərini heç olmasa təxmini təyin etmək üçün V.Q.Qluşkov (Глушкин, 1928) hidroloji analogiya metodunu təklif etdi. Bu metod coğrafi tədqiqat metodları qrupuna aiddir və indi də hidroloji hesablamalar praktikasında geniş tətbiq olunur. Qısa müşahidə sıraları analoq çayın məlumatlarına görə uzadılır, müşahidələr yerinə yetirilməyən illərin məlumatları bərpa olunur.

Analogiya metodu axım xəritələri tərtib olunduqda və ya axım göstəriciləri ilə bircins hidroloji rayonun müxtəlif fiziki-coğrafi göstəriciləri arasında empirik əlaqələr qurulduğda istifadə olunur. Müşahidə məlumatları olmayan çayların axım xarakteristikalarının təyini üsulları analogiya metoduna əsaslanır.

Genetik və statistik metodların inkişafı keçmiş SSRİ-də çay axımının xarakteristikalarını hesablaşmaq üçün normativ sənədlərin hazırlanması ilə nəticələndi. İlk belə sənəd 1966-cı ildə təsdiqləndi. 1972 və 1983-cü illərdə onların təkmilləşdirilmiş variantları qüvvəyə mindi. 2003-cü ildə Rusiya Federasiyası üçün normativ sənəd hazırlanı. Bu sənədlərdə mövcud hidroloji məlumatların həcmindən və keyfiyyətindən asılı olaraq dağ və düzənlik çaylarının istənilən axım xarakteristikasını hesablaşmaq üçün konkret metodlar və düsturlar verilir.

Hidroloji hesablamaların, ümumiyyətlə hidrologiyanın tar-

xində ən mühüm hadisələrdən biri hidroloji modellərin işlənməsi və tətbiqidir. Hidroloji modellərin müxtəlif təsnifatları məlumudur. Hidroloji hesablamalarda istifadə olunan modellər üç tipə bölünə bilər:

- Dinamiki və ya deterministik modellər;
- Statistik (stoxastik) modellər;
- Dinamik-statistik modellər.

İlk sadə dinamik modellərə misal olaraq Q.P.Kalinin və P.İ.Milyukovun (Калинин и Милиюков, 1958), İ.E.Neşin (Nach, 1959) "yağıntı-axım" modellərini göstərmək olar. XX əsrin 60-cı illərindən başlayaraq riyazi modellərə diqqət daha da artdı. N.Krauford və R.Linsley (Crawford and Linsley, 1966) yağış daşqınının formallaşma modelini (Stenford modeli) təklif etmişlər.

Çoxsaylı dinamiki modellərin işlənilməsinə baxmayaraq, hələlik onlardan az istifadə edilir. Bunun əsas səbəbi odur ki, bu tip modellər adətən kiçik sutoplayıcı sahəyə malik çaylar üçün tərtib olunur və alınmış nəticələri rəngarəng landşaft tipləri ilə səciyyələnən iri çay hövzələrinə ekstrapolyasiya etmək çox çətindir. Digər tərəfdən, təklif olunan modellərin çoxsaylı parametrlərini (stenford modelinin 20 parametri var) təyin etmək üçün mövcud hidrometeoroloji informasiya bazası yetərinə deyildir.

Dinamiki modellərdən fərqli olaraq, hidroloji hesablamalarda statistik modellər çox geniş istifadə olunur və onlar öz növbəsində üç tipə bölünür:

- təsadüfi kəmiyyət modeli;
- sadə Markov zənciri modeli;
- mürəkkəb Markov zənciri modeli.

Çay axımının bütün əsas xarakteristikalarının təminatlı qiymətləri təsadüfi kəmiyyət modelinə görə hesablanır. Belə ki, analitik təminat əyrisinin tipindən asılı olmayaraq, müşahidə məlumatları (su sərfləri) azalma qaydasında düzülür.

Rusiyalı alim P.A.Yefimoviç (Ефимович, 1936) ilk dəfə olaraq göstərdi ki, orta illik su sərfləri sıralarının qonşu həddləri arasında statistik baxımdan əhəmiyyətli korrelyasiya əlaqəsi ola-

bilər. Sıradaxılı əlaqənin mövcudluğu hidroloji hesablamalarda analitik təminat əyrilərindən istifadəni inkar etmir. Lakin, belə hallarda hidroloji sıraların əsas parametrlərinə düzəliş edilməlidir. XX əsrin 70-80-cı illərində Dövlət Hidrologiya İnstitutunda bu istiqamətdə yerinə yetirilən tədqiqatlar yekunlaşdırıldı və 1983-cü ildə qəbul edilmiş normativ sənəddə öz əksini tapdı. İndi qonşu həddlər arasında korrelyasiya əlaqəsi olduqda axımın təminatlı qiymətləri sadə Markov zənciri modelinə görə hesablanır.

Sadə Markov zənciri modeli illik axımın çoxillik tərəddüdlərinin qanuna uyğunluqlarını öyrənmək üçün S.N.Kritski və M.F.Menkel, Y.Q.Bloxinov, D.Y.Ratkoviç, A.Ş.Reznikovski, Q.Q.Svanidze və başqaları tərəfindən geniş istifadə edilmişdir.

Y.M.Alyoxin (Алехин, 1963) ilk dəfə olaraq axım sıralarında yaxın (qonşu həddlər arasında) korrelyasiya əlaqələri ilə yanaşı uzaq (30 ilə qədər) əlaqələrin olduğunu göstərmişdir. Belə hallarda axım sıralarının çoxillik tərəddüdlərini qiymətləndirmək üçün mürəkkəb Markov zənciri modeli istifadə olunur. Hazırda bu istiqamətdə tədqiqatları V.A.Şelutko (Шелутко, 1991) davam etdirir.

Qeyd etmək lazımdır ki, hidroloji hesablamalarda geniş istifadə olunan regressiya modelləri də statistik modellərə aiddir.

Dinamiki-statistik modellər, adından göründüyü kimi, mürəkkəb struktura malikdir və onların əsas vəzifəsi çay rejiminin hər hansı bir hidroloji fazasının deyil, illik hidroqrafın hesablanmasına və proqnozuna nail olmaqdır.

Hidrologiyanın tarixində əhəmiyyətli hadisələrdən biri 1974-cü ilə təsadüf edir. Həmin ildə dönyanın su balansı və su ehtiyatlarına sərf olunmuş iki fundamental monoqrafiya çap olundu: “Dünyanın su ehtiyatları və onların gələcəyi” (Львович, 1974) və “Dünyanın su balansı və Yer kürəsinin su ehtiyatları” [Korzunun (Корзун) redaktəsi altında]. Bu monoqrafiyalarda təkcə bütöv yer kürəsinin deyil, həm də ayrı-ayrı materik və qitələrin su balansı elementləri və su ehtiyatları haqqında məlumat verilir.

2003-cü ildə “XXI əsrin astanasında dönyanın su ehtiyatları”

adlı yeni monoqrafiya nəşr olundu (Shiklomanov, Rodda, ed., 2003). Monoqrafiyada bütün hesablamalar eyni bir müşahidə dövrü (1918-1987-ci illər) üçün yerinə yetirilmiş, XX əsrдə su ehtiyatlarından istifadə haqqında məlumatlar ümumiləşdirilmiş və 2050-ci ilə kimi sudan istifadənin təxmini proqnozu verilmişdir.

2007-ci ildə ABŞ, Rusiya, Yaponiya, Avstraliya, Braziliya, Hindistan və başqa ölkələri təmsil edən beynəlxalq mütəxəssislər kollektivi “Dünyanın yeraltı suları: ehtiyatları, istifadəsi, proqnozları” adlı monoqrafiya nəşr etdirmişlər. Monoqrafiyada yeraltı suların öyrənilməsinin metodologiyasına, onların əmələgəlmə və paylanması qanuna uyğunluqlarına geniş yer verilir.

XX əsrдə hidrologiya ixtisası üzrə davamlı mütəxəssis hazırlığına başlanılmışdır. 1930-cu ildə Moskva Hidrometeorologiya İnstitutu yaradılmışdır. 1944-cü ildən bu ali məktəb Leninqrad Hidrometeorologiya İnstitutu (indi isə Rusiya Dövlət Hidrometeorologiya Universiteti) adlanır. Keçmiş SSRİ-nin bütün respublikalarının Dövlət Universitetlərində də hidrologiya ixtisası üzrə mütəxəssislər hazırlanırdı və bu iş indi də davam etdirilir.

Bakı Dövlət Universitetinin (Azərbaycan Dövlət Universiteti) coğrafiya ixtisasına qəbul olunmuş tələbələrdən 1972-ci ildən ixtisaslaşma yolu ilə hidroloq kadrların hazırlığına başlanılmışdır. 1973-cü ildə Fiziki coğrafiya kafedrasının bazasında Hidrometeorologiya kafedrası təşkil edilmişdir.

Hidrologiya üzrə ilk dərsliklərin müəllifləri A.A.Trufanov (Труфанов, 1923) və M.A.Velikanovdur (Великанов, 1925). Sonrakı illərdə müxtəlif hidroloji fənnlər üzrə çoxsaylı dərsliklər nəşr olunmuşdur. Ümumi hidrologiya fənni üzrə A.İ.Çebo-taryovun (1975-ci il), həmçinin P.K.Davidov, A.A.Dmitriyeva və N.Q.Konkinanın (1973) birgə hazırladıqları dərsliklərdən bu gün də istifadə olunur.

Hidroloji hesablamalar fənni üzrə ilk dərslikləri N.P.Çebotaryov (Чеботарев, 1939), B.V.Polyakov (Польяков, 1946), Kritski və Menkel (Крицкий и Менкель, 1950), D.L.Sokolovski (Соколовский, 1952) yazmışlar.

D.L.Sokolovskinin dərsliyi öz fundamentallığı ilə digər dərs-

liklərdən fərqlənir və bu gün də geniş istifadə olunur. Təsadüfi deyil ki, bu dərslik bir neçə dəfə yenidən nəşr olunmuşdur (1959, 1968).

Sonrakı illərdə K.P.Klibaşev və İ.F.Qoroşkov (Клибашев, Горошков, 1970), İ.F.Qoroşkov (Горошков, 1979), A.M.Vladimirov (Владимиров, 1990), V.M.Evstiqneyev (Евстигнеев, 1990) də hidroloji hesablamalar fənni üzrə dərslik hazırlamışlar. Hazırda daha çox A.M.Vladimirovun dərsliyindən istifadə olunur.

Azərbaycan dilində hidrologiyaya həsr olunmuş ilk dərslik "Qurunun hidrologiyası" adlanır. Müəllifləri N.A.Vəliyev və M.Ə.Məmmədov olan bu dərsliyin I hissəsi 1982-ci ildə, II hissəsi isə 1984-cü ildə nəşr olunmuşdur. Daha sonra "Hidromexanikanın əsasları ilə hidravlika" (Məmmədov, 1995), "Hidrometriya" (Məmmədov, İmanov, Mahmudov, 2000), "Çay axımı" (İmanov, 2002), "Ümumi hidrologiya" (Məmmədov, İmanov, 2003), "Hidroloji proqnozlar" (Mahmudov, 2000) dərslikləri işıq üzü gördü.

ABŞ-da və Avropa ölkələrində mühəndis-hidroloqların hazırlanmasında müəllifləri R.K.Linsley, M.A.Kohler və D.L.H.Paulus (Linsey, Kohler and Paulhus, 1958), V.Vissmen, T.İ.Harbaft və D.U.Knepp (Viessman, Harbaugh and Knapp, 1979), V.T.Çou (Chow, 1964), V.T.Çou, D.R.Maidment və L.V.Mays (Chow, Maidment and Mays, 1988), V.Vissmen, Q.L.Levis (Viessman, Lewis, 1977; 1996; 2003), D.A.Çin (Chin, 2007) olan dərsliklərdən daha çox istifadə olunur.

Hidrologiyanın müasir inkişaf mərhələsində beynəlxalq əməkdaşlıq zəruridir. Bu zərurətin iki əsas məqamı var. Birinci məqam bütün elmlərə, o cümlədən hidrologiyaya aiddir. İntellektual əməkdaşlıq, yəni informasiyanın, elmi ideyaların və əldə olunmuş nəticələrin mübadiləsi çox vacibdir. İkinci məqam sərf hidrologiya ilə bağlıdır, belə ki, hidrologiyanın tədqiqat obyektləri çox zaman inzibati və beynəlxalq sərhədlərlə məhdudlaşdırılmışdır və transsərhəd xarakter daşıyır.

Hazırda YUNESKO və ÜMT (Ümumdünya Meteorologiya Təşkilatı) hidrologiya sahəsində dövlətlərarası əməkdaşlığı

inkişaf etdirən əsas beynəlxalq təşkilatlardır.

ÜMT (əvvəllər Beynəlxalq Meteorologiya Təşkilatı adlanırdı) 1873-cü ildə yaradılıb. 1946-cı ildə ÜMT Hidroloji Komissiya təşkil etdi. Komissiya Operativ Hidrologiya üzrə geniş Proqramlar həyata keçirir. “Operativ Hidrologiya” termininin əhatə dairəsi kifayət qədər genişdir: əsas hidroloji elementlərin ölçülülməsi, hidroloji məlumatların toplanması, işlənməsi, saxlanması, ötürülməsi, çap olunması, hidroloji proqnozların verilməsi, hidroloji müşahidə şəbəkəsinin planlaşdırılması, cihazların arvalaşdırılması, müşahidə metodları və cihazların standartlaşdırılması və s.

1984-cü ildə ÜMT “Əsas hidroloji xarakteristikaların hesablanması metodları üzrə beynəlxalq metodik göstərişlər” çap etdirmişdir.

Azərbaycan Respublikası 1993-cü ildən ÜMT üzvüdür.

Beynəlxalq Hidroloji Onillik Proqramın (1965-1975-ci illər) müvəffəqiyyətlərini və hidrologiya sahəsində daimi fəaliyyət göstərən belə bir proqramın faydalı olmasını nəzərə alaraq YUNESKO-nun Baş Konfransı 1975-ci ildə özünün 16-cı sessiyasında Beynəlxalq Hidroloji Proqram (BHP) adı ilə tanınan hökumətlərarası uzunmuddətli proqram təsdiq etmişdir. Bu proqram hidrologiyanın elm və təhsil aspektlərini əhatə edir və onun əsas məqsədləri aşağıdakılardır:

1. Hidroloji tədqiqatların ümumi inkişafi üçün elmi baza yaratmaq;

2. Hidroloji tsiklin öyrənilməsini davam etdirmək, dünyanın su ehtiyatlarının qiymətləndirilməsinin elmi üsullarını təkmilləşdirmək və bu ehtiyatlardan səmərəli istifadə yollarını müəyyənləşdirmək;

3. Antropogen amillərin hidroloji tsiklə təsirinin ekoloji nəticələrini qiymətləndirmək;

4. Hidrologiya üzrə təhsilin təkmilləşdirilməsinə kömək göstərmək;

5. Hidroloji tədqiqatlar sahəsindəki məlumatların mübadiləsinə kömək göstərmək;

6. BHP-nin üzvü olan dövlətlərdə hidroloji tədqiqatlarının təşkili

və inkişafına kömək etmək.

Bu programı həyata keçirmək üçün daimi fəaliyyət göstərən Milli Komitələr təşkil olunur. İndi dünyanın 160 ölkəsində belə Milli Komitələr yaradılmışdır.

Azərbaycan Respublikasının Beynəlxalq Hidroloji Program üzrə Milli Komitəsi Azərbaycan Respublikası ilə BMT-nin Təhsil, Elm və Mədəniyyət məsələləri üzrə Təşkilatı (YUNESKO) arasında 1996-cı ildə imzalanmış əməkdaşlıq memarandumunun Elm sahəsinin 2-ci paraqrafına əsasən 12 iyun 1997-ci ildə təşkil edilmişdir.

İnsanlar tarix boyu şirin su ehtiyatlarından və mənbələrindən öz məqsədləri üçün istifadə etsələr də, lakin bir çox yüzilliklər ərzində onların su ehtiyatlarına təsiri çox zəif olmuşdur. Təbii suların unikal xüsusiyyəti onların öz-özünə tənzimlənməsi və su dövranı nəticəsində bərpa olunmasıdır. Bu, məlum illyuziya ilə nəticələnmişdir: su ehtiyatları dəyişməzdır, tükənmir və təbiətin pulsuz sərvətidir. Belə şəraitdə su ehtiyatlarından istifadəyə etinəsiz münasibət, istifadə olunmuş suların təmizlənməsinə və su obyektlərinin mühafizəsinə minimal vəsaitin ayrılması konsepsiyası formalanmışdır.

İ.A.Şiklomanov (Шикломанов, 1979) qeyd edir ki, təqribən 1950-ci illərə qədər təsərrüfat fəaliyyətinin təbiətə təsiri əhəmiyyətli dərəcədə hiss olunmurdu, çünkü təbiət, o cümlədən təbii su obyektləri bu təsirin öhdəsindən gələ bilirdi. Doğrudan da, 1950-55-ci illərə kimi, dünyanın iri çaylarının rejimində, su ehtiyatlarının kəmiyyət və keyfiyyətində antropogen təsir nəticəsində əhəmiyyətli dəyişmələr aşkarlanmamışdır.

XX əsrin ikinci yarısında vəziyyət kəskin dəyişmişdir: bütün dünyada təbii mühitin intensiv deqradasiyası başlanılmışdır. Elmi-texniki inqilab iqtisadiyyatın bütün sahələrinin intensiv inkişafına təkan verdiyinə görə, istifadə olunan su ehtiyatlarının və su obyektlərinə atılan təmizlənməmiş çirkab sularının həcmi tədricən artmağa başlamışdır. Bu dövrdə bütün dünyada suvarılan ərazilərin sahəsi, daha sürətlə genişləndi və bunun üçün də külli miqdarda su tələb olundu: 1951-1960-ci illəri əhatə edən 10 il

ərzində suvarılan torpaqların sahəsi 41 mln. ha artmışdır. Halbuki, əvvəlki 50 il ərzində bu artım cəmi 50 mln. ha təşkil etmişdi. Həcmi 50 km<sup>3</sup>-dən çox olan bütün su anbarları 1950-ci ildən sonra tikilmişlər və bu da buxarlanmaya sərf olunan itkiləri on dəfələrlə artırılmışdır.

Azərbaycanda 1946-1952-ci illərdə 75,3 min ha yeni suvarılan torpaqlar istifadəyə verilmiş, 41,7 min ha sahədə mövcud suvarma sistemləri yenidən qurulmuşdur. 1953-cü ildə Mingəçevir, 1952-ci ildə Varvara, 1956-ci ildə Ceyranbatan və müxtəlif vaxtlarda digər su anbarları tikilib istifadəyə verilmişdir.

1950-1960-cı illərdə sənayenin su tutumlu sahələri sürətlə inkişaf etdirilməyə başlandı. Bu da, həm istifadə olunan suyun, həm də su obyektlərinə atılan təmizlənməmiş suların miqdarının artmasına səbəb oldu.

Sudan istifadənin kəskin artması və çayların sutoplayıcı səthlərinin dəyişdirilməsi nəticəsində artıq keçən əsrin 70-ci illərində dünyanın əksər region və ölkələrində insanın təsərrüfat fəaliyyəti hiss olunmayan iri çay sistemləri qalmadı. Əhali sıx olan regionlarda insanın təsərrüfat fəaliyyətinin təsiri nəticəsində çayların rejimi və onların suyunun keyfiyyəti dəyişdi. Hətta bir sıra ölkə və iri çay sistemlərinin ümumi su ehtiyatlarında da antropogen amillərin təsiri özünü aydın bürüzə verdi. Bu təsir qlobal su dövranında da hiss olunmağa başlandı və su ehtiyatları məhdud olan quraq ərazilərdə və əhalinin təbii artımı yüksək olan regionlarda ildən-ilə daha da güclənir.

Bələ şəraitdə əhali, sənaye və kənd təsərrüfatının su təchizatının müasir və gələcəkdə gözlənilən problemlərini həll etmək və ətraf mühitin mühafizəsi üzrə tədbirlər kompleksini işləmək üçün hökmən axımın atropogen amillərinin təsiri nəzərə alınmalıdır.

İ.A.Şiklomanovun rəhbərliyi altında Rusiya Dövlət Hidrologiya İnstitutunda antropogen amillərin çay axımına və su ehtiyatlarına təsirini qiymətləndirmək üçün metodologiya işlənmiş və bu metodologiya əsasında fundamental tədqiqatlar yerinə yetirilmişdir.

1980-ci illərdən başlayaraq atmosferdə karbon və digər parnik

gazlarının miqdarının artması ilə əlaqədar qlobal və regional iqlim göstəricilərinin antropogen dəyişməsi əhəmiyyətli dərəcədə hiss olunmağa başlandı. Iqlimin bu dəyişmələri su ehtiyatlarında da əks olunduğundan, bu şəraitdə onların müvafiq dəyişmələrinin qiymətləndirilməsi və proqnozlaşdırılması məsələsinin aktuallığı daha da artdı. Su ehtiyatlarının bu dəyişmələri dünyyanın bir çox regionlarında aydın müşahidə olunur. İqlimşünasların proqnozlarına görə XXI əsrin ortalarında iqlim dəyişmələri daha qabarlıq hiss olunacaq (IPCC, 2001; 2007) və bu qlobal miqyasda hidroloji dövrana, su ehtiyatlarına və onlardan istifadəyə, onların zamaşa görə və ərazi üzrə paylanması, ekstremal axım xarakteristikalarının kəmiyyətinə və təkrarlanmasına təsir göstərəcəkdir. Son 30 ildə iqlim dəyişmələrinin çay axımının xarakteristikalarına və su ehtiyatlarına təsirinə həsr olunmuş çoxsaylı tədqiqatlar yerinə yetirilmişdir. Bu istiqamətdə fundamental işlərdən birinə İ.A.Şiklomanov rəhbərlik etmişdir (Şiklomanov, 2004). Azərbaycanda ilk dəfə iqlim dəyişmələrinin çay axımına təsirini R.N.Mahmudov və R.H.Verdiyev öyrənməyə başlamışlar.

XXI əsrin başlangıcında hidroloji proseslərin nəzəri və eksperimental tədqiqatlarına əsaslanan yeni hesablama metodları işlənilir. Əsas diqqət hidroloji xarakteristikaların hesablanması metodlarının inkişaf etdirilməsinə, müasir iqlim dəyişmələri və təsərrüfat fəaliyyətinin çay axımı və su ehtiyatlarına təsirinin qiymətləndirilməsinə, riyazi modellərin işlənməsinə, mövcud hesablama düsturlarının parametrlərinin müvafiq axım göstəricilərinin əmələgəlmə şəraitinin nəzərə alınması ilə dəqiqləşdirilməsinə yönəlmüşdir.

## **2. HİDROLOJİ HESABLAMA VƏ ÜMUMİLƏŞDİRİMƏ METODLARI**

Dünyanın bütün ölkələrində çayların çox az hissəsi üzərində mütəmadi hidrometrik müşahidələr yerinə yetirilir. Məsələn, Azərbaycanda olan 8359 çay üzərində cəmi 75 müşahidə məntəqəsi var (2009-cu ilin məlumatına görə). Aydındır ki, heç vaxt bütün çaylar belə müşahidələrlə əhatə olunmayıacaq. Su təsərrüfatı obyektlərini və hidrotexniki qurğuları inşa etmək üçün yer müşahidə məlumatlarının olub-olmamasına görə yox, təsərrüfat sahələrinin tələbatına görə seçilir. Əgər, tikinti işlərinin yerinə yetirilməsi nəzərdə tutulan hidrometrik mövqe müşahidə məntəqəsindən az-çox aralı yerləşirsə, onda hidroloji hesablamalar təcrübəsində belə çay hidroloji baxımdan öyrənilməmiş çay sayılır. Bəzən layihə öncəsi yerinə yetirilmiş qısa müddətli paralel müşahidələrin məlumatlarına əsasən hidrometrik məntəqənin səviyyə və su sərfəri məlumatları layihə mövqeyinə uyğunlaşdırılır, lakin çox vaxt layihəqabağı mərhələdə çay axımının hesabi göstəricilərini təyin etmək üçün hidrometrik müşahidə məlumatları ya heç olmur, ya da ki, kifayət qədər olmur.

Müşahidə məlumatlarının həcmindən və keyfiyyətindən asılı olaraq hidroloji hesablamalarda müxtəlif metodlardan istifadə olunur:

1. Coğrafi-hidroloji metod.
2. Su balansı metodu.
3. Statistik metodlar.
4. Riyazi modelləşdirmə.

Aşağıda bu metodlar haqqında ümumi məlumat verilir. Su balansı metoduna isə illik axımın hesablanması bölməsində baxılır (bax paraqraf 5.1-ə).

### ***2.1. Hidroloji hesablama metodları***

#### **2.1.1. Coğrafi-hidroloji metod**

Coğrafi-hidroloji metodu 1933-cü ildə V.Q.Qluşkov (Глушков, 1933) təklif etmişdir. Bu metod elmi konsepsiyadır və əsas

ideyası ondan ibarətdir ki, konkret fiziki-coğrafi rayonda çay axımı, axım göstəriciləri ilə onlara təsir göstərən fiziki-coğrafi amillər arasındaki genetik əlaqələrin müəyyən edilməsi yolu ilə öyrənilməlidir.

Coğrafi-hidroloji metod A.Humboltun yüksəklik qurşağılığı, V.V.Dokuçayevin coğrafi zonallığı, A.İ.Voyeykovun təbii sularla iqlimin qarşılıqlı əlaqələri haqqında ideyalarının hidrologiyada və xüsusilə, hidroloji hesablamlarda tətbiqini nəzərdə tutur. Bu metodun əsas ideyası həmçinin V.İ.Vernadskinin təbii suların vəhdəti və L.S.Berqin landşaftlar haqqında təlimləri ilə sıx əlaqəlidir.

Beləliklə, coğrafi-hidroloji metodun nəzəri əsasını təbii mühitin tamlığı və kəsilməzliyi, landşaftın bütün komponentləri arasında qarşılıqlı əlaqələrin mövcudluğu haqqında təsəvvürlər təşkil edir, yəni təbii sular coğrafi landşaftın ayrılmaz hissəsidir və daima onunla qarşılıqlı əlaqədədir.

Coğrafi-hidroloji metodun metodoloji bazası hidroloji məsələlərin həllində coğrafiya elminin yaxşı işlənmiş anlayışlarından, tədqiqat prinsiplərindən və metodlarından istifadə olunmasına geniş imkanlar yaradır.

Artıq qeyd olunduğu kimi, coğrafi-hidroloji metod müxtəlif hidroloji məsələlərin həllində, o cümlədən hidroloji hesablamlarda çox geniş istifadə olunan yanaşmadır. Çay axımının təhlilində və hidroloji hesablamlarda bu yanaşma hidroloji məlumatların coğrafi ümumiləşdirilməsi metodу ilə realizə olunur.

Adətən belə ümumiləşdirmə nəticəsində empirik asılılıqlar alınır və ya xəritələr tərtib edilir. Bunlardan istifadə edərək, müşahidə məlumatları olmayan çayların axım xarakteristikaları təyin olunur.

Empirik asılılıqların alınması və axım xəritələrinin tərtib olunması hidroloji analogiya və interpolyasiya metodlarının tətbiqi ilə həyata keçirilir.

*Hidroloji analogiya* metodu coğrafi landşaftların tamlığını və onun elementləri arasında sıx qarşılıqlı əlaqələrin olmasını əks etdirir. Buna görə də belə hesab olunur ki, oxşar fiziki-coğrafi şəraitdə yerləşən çay hövzələrinin axım kəmiyyətləri bir-birinə

yaxın olmalıdır.

Hidroloji analogiya metodunun əsasını öyrənilməmiş çayla eyni fiziki-coğrafi şəraitdə yerləşən və axımı üzərində kifayət qədər müşahidələr olan oxşar çayın seçilməsi təşkil edir. Oxşar çayın hidroloji xarakteristikalarından hesabi çayın müvafiq xarakteristikalarını təyin etmək üçün istifadə edilir.

Hidroloji analogiya metodunun iki tətbiq variantı var: birbaşa və dolayı analogiya.

*Birbaşa analogiya* etibarlı oxşar çay olduqda istifadə edilir. *Dolayı analogiya* isə hidroloji xarakteristikaların müxtəlif fiziki-coğrafi amillərlə empirik əlaqələrinin alınması zamanı tətbiq edilir.

*Coğrafi interpolasiya* metodu coğrafi landşaftlar növbələndikcə çay axımının dəyişməsini nəzərə alır və belə hesab edilir ki, hidroloji xarakteristikalar ərazi üzrə kəsilməz dəyişir. Əgər, konkret ərazi hidroloji baxımdan yaxşı öyrənilmişdir, onda hidroloji xarakteristikalar müşahidə məntəqələrinin məlumatlarına görə birbaşa interpolasiya yolu ilə təyin oluna bilər. Məntəqələr nə qədər yaxın, landşaft tipinin dəyişkənliliyi nə qədər az olarsa, interpolasiya bir o qədər dəqiq nəticə verər.

Hidroloji hadisələrin landşaft-hidroloji tədqiqat metodu coğrafi-hidroloji metodun əsasında işlənmişdir. Bu metod, ayrı-ayrı coğrafi zonaların və landşaft tiplərinin su obyektlərinin, o cümlədən çayların rejiminə təsirinin xüsusiyyətlərini aşkar etməyə imkan verir. Onun tətbiqi yalnız müxtəlif təbii zonalarda təşkil edilmiş su-balansı stanisiyalarında, eksperimental çay hövzələrində, kənd təsərrüfatı sahələrinin təcrübə poliqonlarında yerinə yetirilmiş hidrometeoroloji müşahidə məlumatları yiğildiğdan sonra mümkün olmuşdur. Hidrologiyanın əsas vəzifələrindən biri landşaft-hidroloji metodun sistemləşdirilməsi və konkretləşdirilməsidir.

Bu tədqiqat metodu çay rejiminin fiziki-coğrafi amillərlə bağlı bütün xüsusiyyətlərini nəzərə almağa imkan verir. Landşaft-hidroloji metodun mahiyyəti ondan ibarətdir ki, sutoplayıcısı konkret landşaft tipində yerləşmiş kiçik çayın hidroloji xarakteristikaları, eyni landşaft tipi şəraitində yerləşmiş öyrənil-

məməş çay üçün də istifadə oluna bilər. Bu, ona görə mümkündür ki, oxşar təbii şəraitdə və çoxillik dövrdə hidroloji rejim və su balansı elementlərinin nisbətləri kifayət qədər sabitdir. Qeyd olunan müddəə çox vacibdir, çünki bu səbəbdən bütün çaylarda müşahidə məntəqələri təşkil etməyə ehtiyac yoxdur.

Məlum olduğu kimi, zonal xüsusiyyətlər orta çayların rejimində daha dolğun əks olunur. Azonal xüsusiyyətlər isə, əsasən, kiçik çayların rejimi üçün səciyyəvidir. Buna görə də, landşaft-hidroloji metod orta və kiçik çayların hidroloji rejiminin öyrənilməsində daha böyük elmi və praktiki əhəmiyyət kəsb edir. Nəzərə almaq lazımdır ki, bütün dünya üzrə çayların 98-99%-ni məhz kiçik və orta çaylar təşkil edir. Belə çayların axımı, adətən, bircins təbii şəraitdə formalaşır və onlar sadə hidroloji rejimə malik olur.

### 2.1.2. Statistik metodlar

Hidrologiyada ehtimal nəzəriyyəsi və riyazi statistika metodlarının geniş tətbiqinə XX əsrin 30-cu illərindən başlanılmışdır. Bunun əsas səbəblərindən biri odur ki, çox zaman hidroloji hadisələrin müxtəlif xüsusiyyətlərini kəmiyyətcə qiymətləndirməyin yeganə yolu statistik metodlardan istifadədir. Bu, hidroloji proseslərin çoxamilli olması ilə əlaqədardır. Doğrudan da məlumdur ki, bir çox hidroloji hadisələr çoxsaylı amillərin təsiri nəticəsində formalaşır və belə şəraitdə hər bir amilin rolunu tam nəzərə almaq qeyri-mümkündür. Belə hadisələrin riyazi təsviri ancaq statistik metodlarla mümkündür.

Statistik metodlar hidroloji hesablamalarda çox geniş istifadə olunur. Çay axımının tənzimlənməsi, hidrotexniki qurğuların, irriqasiya, su təchizatı sistemlərinin və s. inşası və istismarı ilə bağlı layihələri yerinə yetirmək üçün çay axımının zamana görə və ərazi üzrə dəyişkən parametrlərini kəmiyyətcə qiymətləndirmək tələb olunur. Layihələrin hazırlanmasında istifadə olunan parametrlər gələcəkdə su təsərrüfatı qurğusunun bütün istismar müddəti ərzində su obyektinin hidroloji rejimini səciyyələndirməlidir. Nəzərə almaq lazımdır ki, su təsərrüfatı qurğularının

istismar müddəti onilliklər, bəzən isə yüzilliklərlə ölçülür.

Hidroloji hesablamalarda başlıca olaraq axım xarakteristikalarının müxtəlif təminatlı qiymətlərinin hesablanması tələb olunur. Bunun üçün su sərflərinin paylanması funksiyalarından, başqa sözlə desək, analitik təminat əyrilərindən istifadə edilir. Məsələnin belə həlli hidroloji kəmiyyətlərin müşahidə sıraları üçün səciyyəvi olan statistik qanuna uyğunluqlara əsaslanır və fərz olunur ki, axım sıraları təsadüfi çoxluqlar kimi formalasılır. Bu isə o deməkdir ki, müşahidə olunan su sərflərinə təsadüfi ədədlər kimi baxılır. Başqa sözlə, hidroloji sıranı əmələgətirən su sərflərinin konkret olaraq hansı ildə müşahidə olunduğu statistik baxımdan əhəmiyyətsizdir və bu sıramı artma və ya azalma qaydasında düzənmək olar.

Hidroloji sıraların formalasmasının təsadüfi xarakterli olması nəzəri baxımdan tam sübut olunmur. Lakin bu məsələ su sərfləri sıralarının empirik və nəzəri (analitik) təminat əyrilərinin uyğunluğunun qiymətləndirilməsi yolu ilə dəfələrlə öz təsdiqini tapmışdır.

Axım sıralarının təsadüfi hadisələr çoxluğu (toplusu) kimi qəbul edilməsinin nəzəri əsasını ehtimal nəzəriyyəsinin limit teoremləri təşkil edir. Bu teoremlərin fundamental müddəalarından biri böyük ədədlər qanunu ilə ifadə olunur: təsadüfi bircins hadisələrin sayı həddən artıq çox olduqda onların orta nəticəsi praktiki olaraq təsadüfi olmur və böyük ehtimalla əvvəlcədən qiymətləndirilə bilər. Həqiqətən də, hidroloji sıranın uzunluğu artdıqca təminat əyrisi daha dayanıqlı forma alır.

İkinci müddəə mərkəzi limit teoremi ilə əlaqədardır: çoxsaylı asılı olmayan təsadüfi amillərin cəmi və ya hasilinin təsiri nəticəsində baş verən hadisələr təsadüfi çoxluq əmələ gətirir və müəyyən statistik qanunlara tabe olur.

Hidroloji sıraların paylanması funksiyalarının tipləri, onların parametrlərinin təyini metodları və əsas parametrlərin təsadüfi xətalarının qiymətləndirilmə metodları növbəti fəsildə şərh olunur. Bütün bu qeyd olunanlar və digər məsələlər “Hidrometeorologiyada statistik metodlar” fənnində daha ətraflı keçilir.

### **2.1.3. Riyazi modelləşdirmə**

Hidroloji proseslərin riyazi metodlarla modelləşdirilməsi hidrologiyanın nisbətən yeni istiqamətlərindən biridir. Bu istiqamət Qərb ölkələrində keçən əsrin 50-60-ci, keçmiş SSRİ-də isə 60-70-ci illərindən inkişaf etdirilir.

Hidroloji proseslərin riyazi modelləşdirilməsini bir neçə mərhələyə bölmək olar. Əvvəlcə, qarşıya qoyulan hidroloji məsələnin həllində tətbiq ediləcək riyazi modelin tipi seçilir. Sonra modelin əsas obyektləri arasındaki əlaqələr öyrənilir. Məsələn, baxılan hidroloji prosesə və ya axım göstəricisinə müxtəlif fiziki-coğrafi amillərin təsiri təhlil olunur və alınmış əlaqələr riyazi düsturlarla ifadə olunur.

Daha sonra hesablamalar yerinə yetirilir və alınmış nəticələr faktiki müşahidə məlumatları ilə müqayisə olunur.

Hidroloji modellərin müxtəlif təsnifatları məlumdur. Adətən, onlar siniflərə (deterministik/dinamiki, stoxastik və dinamiki-stoxastik/statistik) və tiplərə (konseptual, indeksasiya, xətti, qeyri-xətti və s.) bölünür. Modellərin parametrləri sabit və ya dəyişən ola bilər.

Çayların illik hidroqrafını tərtib etmək və beləliklə müxtəlif axım xarakteristikalarını hesablamq üçün dinamiki-stoxastik modellər işlənilir: V.D.Crauford və Jr.R.K.Linsley, L.R.Beard, L.S.Kuçment, V.İ.Koren, Y.B.Vinoqradov, A.N.Befani və b.

Hazırda hidroloji hesablamalarda modelləşdirmənin sadə metodlarından daha çox istifadə olunur. Su sərflərinin təminatlı qiymətlərinin hesablanması istifadə olunan analitik paylanma funksiyaları buna misaldır. Çay axımı sıralarını Monte-Karlo metodu (statistik sınaqlar metodu) ilə modelləşdirərək uzunluğu 1000 il və daha çox olan sıralar alınır və onların statistik parametrlərinin dəqiqliyi qiymətləndirilir, azsulu və çoxsulu dövrlərin təkrarlanması qanuna uyğunluqları müəyyən olunur. C.Neyman və S.Ulam tərəfindən təklif olunmuş bu metodu Q.Q.Svanidze (1964) geniş təhlil və tətbiq etmişdir.

## **2.2. Hidroloji ümumiləşdirmə metodları**

### **2.2.1. Hidroloji rayonlaşma**

Ərazinin rayonlaşdırılması coğrafiya elminin ən vacib məsələlərindən və ümumiləşdirmə metodlarından biridir.

Rayonlaşma, obyektiv şəkildə mövcud olan ərazi sistemlərinin, onların təşkili və ierarxiya əlaqələrinin müəyyən edilməsi və öyrənilməsi prosesidir. Rayon isə öz növbəsində yer səthinin daha böyük ərazi vahidlərinin tərkib hissəsi olan ərazi sistemidir.

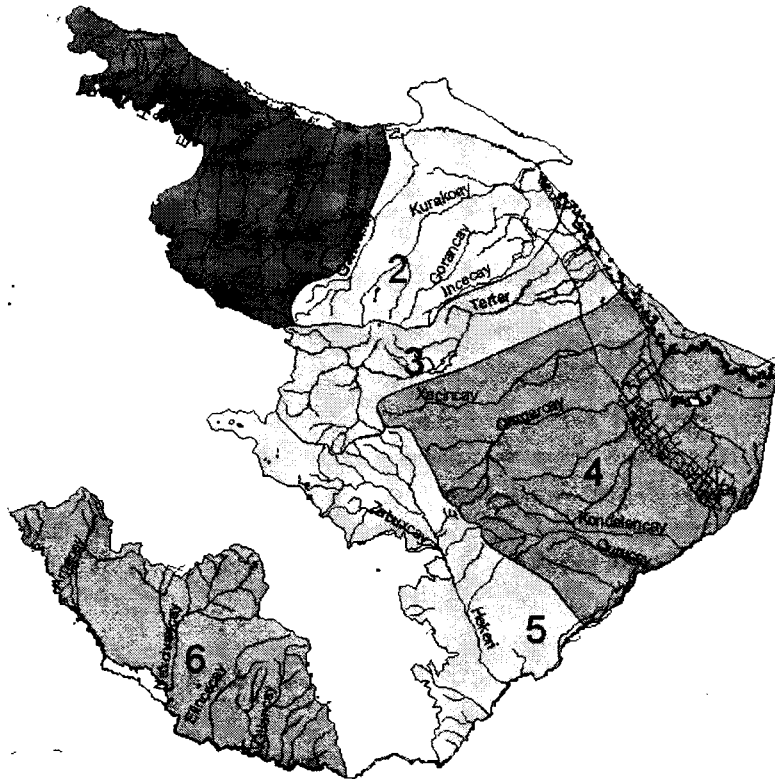
Rayonlaşma çox zaman böyük həcmdə informasiya tələb edən müstəqil və kifayət qədər mürəkkəb üsuldur. Qarşıya qoyulan məqsəddən asılı olaraq eyni bir ərazidə müxtəlif rayonlar ayrıla bilər. Bu, müxtəlif rayonlaşma prinsiplərinin mövcudluğu ilə əlaqədardır. Rayonlaşmada tipoloji, genetik və funksional yanaşmalar tətbiq olunur. Tipoloji yanaşmada başlıca olaraq morfoloji göstəriciləri oxşar olan obyektlər (məntəqələr) birləşdirilir: məsələn, göllərin və ya bataqlıqların geniş yayıldığı rayonların ayrılması. Genetik yanaşmada, rayonlaşma, amillərin oxşar təsirinə məruz qalan obyektlərin ümumiləşdirilməsi yolu ilə yerinə yetirilir: məsələn, qida şəraitinə görə çayların vahid rayonda birləşdirilməsi. Funksional yanaşmada obyektlər arasında əlaqələr öyrənilir. Belə yanaşma müxtəlif, lakin bir-bir ilə əlaqəli təbii obyektləri vahid sistemdə birləşdirməyə imkan verir. Məsələn, çay hövzəsinə hidroloji sistem kimi baxıla bilər. Bu sistem müxtəlif elementlərdən (hissələrdən) ibarət olsa da, bütövlükdə müəyyən su sərfinə malik çay şəbəkəsi əmələ gətirir.

Hidroloji rayonlaşmada bu üç yanaşma eyni zamanda və ya onlardan biri istifadə oluna bilər. Bu, qarşıya qoyulan məsələdən, tədqiqatların miqyasından və istifadə olunan məlumatların xarakterindən asılıdır. Praktikada rayonlaşma əvvəlcə genetik yanaşmadan başlayır və obyektlər, onlara təsir göstərən amillərə görə qruplaşdırılır. Sonra tipoloji yanaşma tətbiq edilir və obyektlərin xüsusiyyətlərini nəzərə alan təsnifat aparılır.

Genetik yanaşma daha böyük əhəmiyyət kəsb edir, çünkü bu

yanaşma bir sıra obyektlər öyrənilərkən alınan nəticələri oxşar şəraitdə yerləşən bütün obyektlərə aid etməyə imkan verir.

Müşahidə məlumatları olmadıqda çay axımının müxtəlif xarakteristikalarını hesablamaq üçün metodlar hidroloji bircins rayonlar üçün işlənilir. Belə rayonların sərhədləri müəyyən olunduqda həm təbii şəraitin ümumiliyi (keyfiyyət nöqtəyi nəzərindən), həm də fiziki-coğrafi amillərin axımın rejiminə və kəmiyyətinə təsirinin xarakteri nəzərə alınır. Bu mürəkkəb məsələnin həllində iki yanaşmadan (prinsipdən) biri istifadə olunur: hövzə (hidroqrafik) və zonal (coğrafi) prinsiplər.



*Şəkil 2.1. Minimal axımın əmələgəlmə şəraitinə görə Kiçik Qafqazın hidroloji rayonlaşma xəritə -sxemi*

Fiziki nöqteyi-nəzərdən üstünlük zonal prinsipə verilməlidir, çünki dağlıq ərazilərdə axımın paylanmasında şaquli qurşaqlıq müşahidə olunur. Belə yanaşmada, məsələn, yüksək dağlıq, orta dağlıq və alçaq dağlıq zonalar ayrıılır və onların hər biri üçün ayrılıqda axım xarakteristikaları ümumiləşdirilir. Hidroloji hesablamaların təcrübəsi baxımından zonal yanaşmanın bir neçə nöqsan cəhəti var. Bunların ən başlıcası ondan ibarətdir ki, zonal sərhədlər sutoplayıcı sahəni bir neçə hissəyə bölür və bunun nəticəsində hövzənin hidroloji sistem kimi bütövlüyü pozulur. Həm də qeyd etmək lazımdır ki, yuxarıda göstərilən yüksəklik qurşaqları daxilində eninə zonallıq da müşahidə olunur. Eninə zonallığı nəzərə almaq üçün yüksəklik zonalar nisbətən kiçik ölçülü bircins rayonlara bölünür. Lakin ərazi belə çoxsaylı rayonlara parçalandıqda həm hər bir rayona düşən müşahidə məntəqələrinin sayı, həm də təbii amillərin kəmiyyət göstəricilərinin dəyişmə diapozonu azalır. Bu isə müşahidə məlumatları olmayan çayların axım xarakteristikalarını hesablamaq üçün etibarlı əlaqələrin alınmasını çətinləşdirir.

Zonal yanaşmanın yuxarıda qeyd olunan nöqsan cəhətləri hövzə prinsipi üçün səciyyəvi deyildir.

Hidroloji rayonların sərhədləri təbii şəraitin dəyişməsini nəzərə almalıdır. Hövzə prinsipi tətbiq edildikdə bu sərhədlər zonal yanaşmaya nisbətən daha dəqiq təyin olunur.

Praktikada hər hansı bir ərazi bircins hidroloji rayonlara bölgündükdə əvvəlcə təbii şəraitin keyfiyyət göstəricilərini nəzərə almaqla sərhədlər təxminini müəyyənləşdirilir. Sonra isə axım xarakteristikalarının müxtəlif fiziki-coğrafi amillərdən asılılıq əlaqələrinə görə bu sərhədlər dəqiqləşdirilir.

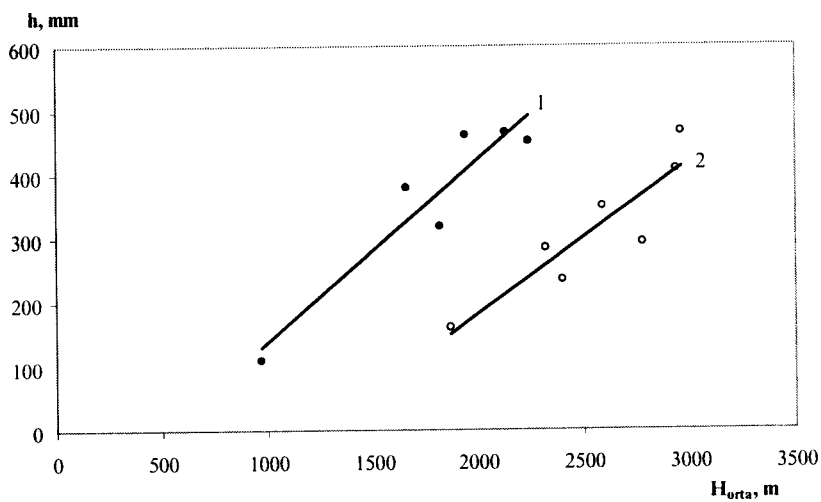
Hidroloji rayonlarının bircinsliyini qiymətləndirmək üçün statistik üsullardan da istifadə olunur.

## 2.2.2. Empirik asılılıqlar

Empirik asılılıqlar çay axımının xarakteristikalarını onun əmələgəlmə şəraitinin kəmiyyət göstəriciləri ilə əlaqələndirir. Bu asılılıqlar hidrometrik müşahidə məlumatları olmadıqda geniş istifadə olunur və bircins hidroloji rayonlar üçün qurulur.

Empirik əlaqələri müəyyən etmək üçün əvvəlcə axımın formallaşmasına əhəmiyyətli təsir göstərən amillər seçilir və onların kəmiyyət göstəriciləri təyin edilir.

Empirik asılılıqlar qrafiki və ya analitik şəkildə ifadə olunur (şəkil 2.2).



*Şəkil 2.2. Böyük Qafqazın cənub (1) və şimal-şərqi (2) yamacı çayları üçün axım layı ilə hövzənin orta hündürlüyü arasında əlaqə qrafiki*

Qrafiki metod (əlaqə qrafiki) axım xarakteristikası ilə hövzənin iqlim, landşaft və s. göstəriciləri arasında əlaqənin xarakteri (olub-olmaması) haqqında əyani təsəvvür əldə etməyə imkan verir. Əlaqənin sıxlığı korrelyasiya əmsalına görə qiymətləndirilir.

Bu qrafiklərin əsas üstünlüklerindən biri əlaqə xəttindən kəskin meyl edən nöqtələrin (əgər, varsa) aşkar olunmasıdır. Belə anomal məlumatlar adətən hövzənin yerli xüsusiyyətləri (karst hadisəsi, göl və ya buzlaqların olması və s.) ilə izah olunur.

Qrafiki metodun əsas çatışmazlığı iki və daha çox arqumentdən istifadənin çətinliyidir. Hidroloji hesablamalarda kompyuter texnologiyalarının tətbiqi analitik metod üçün geniş perspektivlər açmışdır. Bu metod təhlilə istənilən sayda arqumentin cəlb olunmasına imkan verir. Bu məqsədlə adətən, çoxhədli xətti korrelyasiya metodundan istifadə olunur. "Hidrometeorologiyada statistik metodlar" kursunda bu məsələ ətraflı izah olunur.

Analitik metoddan istifadə etdikdə kəskin meyl edən nöqtələri aşkar etmək mümkün olmur. Bu analitik metodun əsas çatışmazlığıdır. Ona görə də yaxşı olar ki, hər iki metod paralel istifadə olunsun.

İstər qrafiki, istərsə də analitik metod tətbiq olunduqda alınmış empirik asılılığın dayanıqlığı və bu asılılığa görə yerinə yetirilən hesablamaların dəqiqliyi qiymətləndirilməlidir. Bunun üçün axım xarakteristikasının nisbi xətası hesablanır. Yaxşı olar ki, hesablamalar asılı olmayan məlumatlara görə yerinə yetirilsin.

Empirik asılıqlar çay axımının bütün xarakteristikalarının hesablanmasında tətbiq olunur. Bircins hidroloji rayonlar üçün təklif olunan empirik əlaqələr kiçik düzənlik çayları, kiçik və orta dağ çayları üçün qurulur.

Empirik asılıqlar genetik metodlar (coğrafi-hidroloji metod) qrupuna aid edilir. Lakin bu asılıqların təhlilində statistik metodlardan istifadə olunur.

### 2.2.3.Axım xəritələri

Hidroloji xəritələrin nəzəri əsasını müəyyən tarixi dövr ərzində ərazinin orta rütubətlənmə şəraitinin dəyişməzliyi və çayların hidroloji rejiminin coğrafi zonallıq qanununa müvafiq dəyişməsi təşkil edir. Bu, çay axımının ilk növbədə iqlim amillərindən asılı olması ilə əlaqqədardır.

Hər hansı bir təbii zonada su rejimi, axımın çoxillik tərəddüd-lərinin ən səciyyəvi xüsusiyyətlərini özündə əks etdirən çaylar, zonal rejimli çaylar adlanır. Yerli amillərin (göllər, bataqlıqlar, karst və s.) təsiri nəticəsində su rejimi zonal çayların rejimindən fərqlənən çaylara isə azonal rejimli çaylar deyilir. Əgər, çay axımı bir neçə təbii zonada formalasırsa və çayın su rejimi mürəkkəb xarakter daşıyırsa, belə çaylar polizonal rejimli çaylar adlanır.

Axım izoxətləri xəritələri zonal rejimli çayların axım məlumatları əsasında tərtib edilir, çünki onlar baxılan xarakteristikanın ərazi üzrə zonal dəyişməsini əks etdirir. Bu amillərin ərazi üzrə dəyişməsi tədricən, lakin müxtəlif intensivliklə baş verir. Bu, iqlim proseslərinin çoxillik gedişi və hövzənin səth amilləri ilə əlaqədardır. Buna görə də axım izoxətləri xəritələri axımın yerli, azonal amillərin təsiri ilə bağlı dəyişmələrini əks etdirmir. Yerli amillərin təsiri nəticəsində kiçik çayların axımı zonal rejimli çayın axımından kəskin fərqlənə bilər. Müxtəlif təbii zonalarda və iqlim şəraitində axımı formalasın polizonal rejimli çayların da axım xarakteristikaları zonal axımdan kəskin şəkildə az və ya çox ola bilər.

Çay üzərindəki hidrometrik mövqedə qeydə alınan axım, mövqedən yuxarıda yerləşən hövzə hissəsində formalasmış axımın integrallı göstəricisidir. Ona görə də axım xəritələri tərtib edilərkən axımın kəmiyyəti sutoplayıcı sahənin ağırlıq mərkəzinə aid edilir. Axım, modul və ya lay ilə ifadə olunur. Düzən çayları üçün axım izoxətləri qonşu çay hövzələrinin ağırlıq mərkəzləri arasında düzxətli interpolasiya yolu ilə keçirilir. Dağlıq ərazilərdə isə axımın hövzənin hündürlüyündə asılılıq qrafiki qurulur və axımın hündürlüyü görə dəyişməsinin qradiyenti təyin olunur. Sutoplayıcı sahənin mərkəzinin hündürlüğünə görə axım modulu bu qrafikdən birbaşa da hesablanıa bilər.

Axım izoxətlərinin addımı, yəni qonşu izoxətlər arasında axım fərqi, axım modulu,  $q$ , (və ya axım layı) və onun orta kvadratik xətasının iki mislini,  $\pm 2\sigma$ , nəzərə almaqla seçilir. Izoxətlərin addımı axımın təyininin mümkün xətasından böyük olmalıdır.

Izoxətlərin addımı,  $T$ , aşağıdakı düsturla hesablanır:

Konkret bir ərazi üçün axım xəritəsi tərtib edildikdə izoxətlərin addımı sabit və ya fiziki-coğrafi şəraitdən asılı olaraq müxtəlif cür təyin edilə bilər. Praktikada izoxətlərin addımı 0,1; 0,2; 0,5; 1; 0; 2,0; 5,0 və ya  $10 \text{ } \ell /(\text{s} \cdot \text{km}^2)$  olur. Qapalı izoxətlər keçirildikdə onların mərkəzində konkret sutoplayıcı üçün faktik axımın ən böyük və ya ən kiçik qiymətini göstərmək məqsədə uyğundur. Bu, qapalı izoxətlərin daxilində yerləşən çayların axımının təyinini asanlaşdırır və onun dəqiqliyini artırır.

Düzən ərazilər üçün axım xəritələri tərtib edildikdə kompyuterdən istifadə oluna bilər.

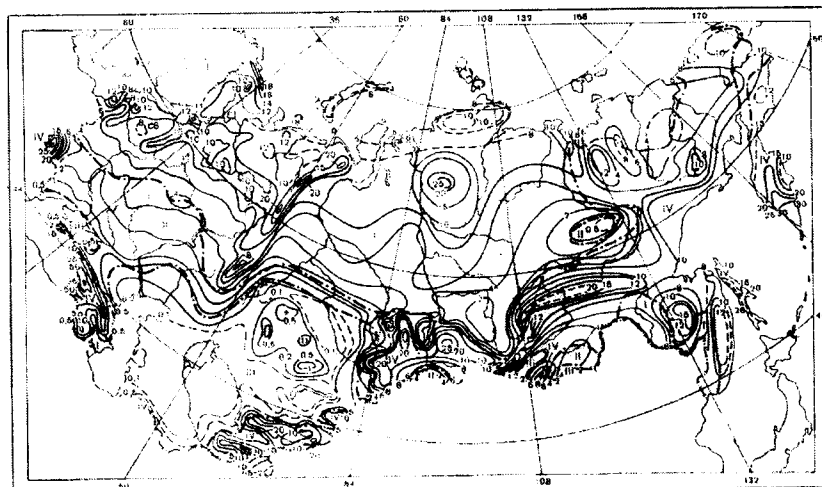
Bu halda optimal və polinomial interpolyasiya metodları tətbiq edilir.

İzoxətlərə görə axımın təyinin etibarlığı aşağıdakılardan asılıdır:

- ilkin hidrometrik məlumatların xətalarından;
- xəritə tərtib edilərkən istifadə olunan axım sıralarının uzunluğundan;
- axımın zamana görə dəyişkənliliyindən (variasiya əmsalından);
- xəritə tərtib edilən ərazidə hidrometrik şəbəkənin sıxlığından;
- relyefin bircinslik dərəcəsindən;
- xəritənin miqyasından;
- axımın və izoxətlərin addımının kəmiyyətindən;
- axımın antropogen dəyişmələrinin nəzərə alınma dərəcəsindən;
- xəritələrdə sutoplayıcının ağırlıq mərkəzinin düzgün təyin edilməsindən və izoxətlərin düzgün keçirilməsindən;
- xəritənin kartoqrafik əsasının dəqiqliyi və etibarlığından.

Dağılıq ərazilər üçün axım xəritələri tərtib edilərkən bir sıra obyektiv çətinliklər ortaya çıxır. Bu çətinliklər ilk növbədə relyefin mürəkkəbliyi və hidroloji şəbəkənin sıxlığının kifayət

qədər olmaması ilə əlaqədardır. Buna görə də dağlıq ərazilərdə axım izoxətləri təxminini keçirilir və bu axım xəritələrinin həm dəqiqiliyini, həm də praktiki əhəmiyyətini azaldır.



*Şəkil 2.3. Keçmiş SSRİ ərazisi üçün illik axım modulu xəritəsi*

### **3. MÜŞAHİDƏ MƏLUMATLARI KİFAYƏT QƏDƏR OLDUQDA AXIM XARAKTERİSTİKALARININ HESABLANMASI**

Çay axımı xarakteristikalarının hesablanması texnologiyası müşahidə məlumatlarının həcmindən, başqa sözlə, müşahidə sırasının uzunluğundan asılıdır. Hesablamalar üç müxtəlif hal üçün yerinə yetirilir:

1. Müşahidə məlumatları kifayət qədər olduqda;
2. Müşahidə məlumatları kifayət qədər olmadıqda;
3. Müşahidə məlumatları olmadıqda .

Hər üç halda hesablamaların məqsədi hidroloji xarakteristikanın (illik, maksimal, minimal və s.) tələb olunan təminatlı qiymətinin təyinidir. Məsələn, 50% təminatlı orta illik su sərfi,  $Q_{50\%}$ , o deməkdir ki, müşahidə illərinin yarısında orta illik su sərfinin qiyməti  $Q_{50\%}$ -ə bərabər və ya ondan böyük olacaq. 1% təminatlı maksimal su sərfinin,  $Q_{max1\%}$ , təkrarlanması ehtimalı 100 ildə 1 dəfədir. 80 % təminatlı minimal su sərfinin,  $Q_{min80\%}$ , təkrarlanması ehtimalı isə 5 ildə 1 dəfədir, yəni 100 ildən 20-sində minimal su sərfi  $Q_{min80\%}$ -ə bərabər və ya ondan kiçik ola bilər.

Qeyd etmək lazımdır ki, Azərbaycanda və Rusiyada hidroloji hesablamalarda su sərflərinin təminatlı qiymətlərindən, Qərb ölkələrində isə verilmiş təkrarlanmaya müvafiq su sərflərindən istifadə olunur. Məsələn, Azərbaycan şəraitində tapşırıq belə qoyula bilər: çayın verilmiş məntəqəsində 5% təminatlı maksimal su sərfini hesablayın. Eyni tapşırıq Qərb ölkələrində belə verilər: çayın verilmiş məntəqəsində təkrarlanması 20 ildə 1 dəfə olan maksimal su sərfini hesablayın.

Təminat,  $P$ , və təkrarlanması,  $T$ , arasındaki asılılıqdan istifadə edərək, onlardan biri verildikdə, o birini asanlıqla hesablamaq olar:

$$P < 50\% \text{ olduqda, } T = \frac{100}{P}, \quad (3.1)$$

$$P > 50\% \text{ olduqda, } T = \frac{100}{100 - P}. \quad (3.2)$$

Adətən ehtimallar damasının aşağı üfüqi oxunda təminatlar, yuxarı üfüqi oxunda isə müvafiq təkrarlanması dövrləri göstərilir (şəkil 3.3).

**Misal 3.1.** Dəmir yolu xətləri altında keçəcək suötürəcü kanalı layihələndirərkən yaxın 5 il ərzində daşqının keçmə riskinin 10% təşkil etməsi üçün, hansı təkrarlanması dövrü istifadə olunmalıdır?

**Həlli:** Hesablamalar aşağıdakı düstura görə yerinə yetirilir:

$$R = 1 - \left(1 - \frac{1}{T}\right)^n,$$

burada R-daşqının keçmə riski, vahidin hissəsi ilə; T – daşqının təkrarlanması dövrü, il; n – hidrotexniki qurğunun (bu misalda kanalın) istismar müddətidir, il.

$$0.10 = 1 - \left(1 - \frac{1}{T}\right)^n$$

T=48,1 il.

Bəzən misalların həllində cədvəl 3.1-dən də istifadə oluna bilər.

### Cədvəl 3.1

Müxtəlif dərəcəli risklərə və hidrotexniki qurğuların gözlənilən istismar müddətinə uyğun təkrarlanması dövrləri

| Risk, % | Hidrotexniki qurğuların gözlənilən istismar müddəti, il |      |       |       |       |       |       |       |
|---------|---|------|-------|-------|-------|-------|-------|-------|
|         | 2   | 5    | 10    | 15    | 20    | 25    | 50    | 100   |
| 75      | 2,00  | 4,02 | 6,69  | 11,0  | 14,9  | 18,0  | 35,6  | 72,7  |
| 50      | 3,43  | 7,74 | 14,9  | 22,1  | 29,4  | 36,6  | 72,6  | 144,8 |
| 40      | 4,44  | 10,3 | 20,1  | 29,9  | 39,7  | 49,5  | 98,4  | 196,3 |
| 30      | 6,12  | 14,5 | 28,5  | 42,6  | 56,5  | 70,6  | 140,7 | 281   |
| 25      | 7,46  | 17,9 | 35,3  | 52,6  | 70,0  | 87,4  | 174,3 | 348   |
| 20      | 9,47  | 22,9 | 45,3  | 67,7  | 90,1  | 112,5 | 224,6 | 449   |
| 15      | 12,8  | 31,3 | 62,0  | 90,8  | 123,6 | 154,3 | 308   | 616   |
| 10      | 19,5  | 48,1 | 95,4  | 142,9 | 190,3 | 238   | 475   | 950   |
| 5       | 39,5  | 98,0 | 195,5 | 292,9 | 390   | 488   | 976   | 1949  |
| 2       | 99,5  | 248  | 496   | 743   | 990   | 1238  | 2475  | 4950  |
| 1       | 198,4   | 498  | 996   | 1492  | 1992  | 2488  | 4975  | 9953  |

**Misal 3.2.** Yaşayış məntəqəsindən yağış sularını kənarlaşdırıran sistem təkrarlanması dövrü 10 il olan leysana görə layihələndirilir. Bu sistemin 20 ildə 1 dəfə sıradan çıxma ehtimalını qiymətləndirin. Sistemin 20 ildə ən azı 1 dəfə sıradan çıxma ehtimalı nə qədərdir?

**Həlli:** Sistem suyu o halda kənarlaşdırıra bilməz ki, leysan layı hesabi (layihədə nəzərdə tutulan) laydan böyük olsun. 10 ildə 1 dəfə təkrarlanan leysanın ehtimalı  $P=1/10=0,1$  (və ya 10%) təşkil edir. Təkrarlanma dövrü 10 il olan leysanın 20 ildə 1 dəfə ötülmə (aşma) ehtimalı binomial paylanması görə qiymətləndirilə bilər:

$$f(n) = \frac{N!}{n!(N-n)!} p^n (1-p)^{N-n}$$

burada  $n = 1, N = 20$  və  $p = 0,1$ . Bu qiymətləri yerinə yazsaq

$$f(1) = \frac{20!}{1!(20-1)!} (0,1)^1 (1-0,1)^{20-1} = 0,27$$

Beləliklə, baxılan sistemin 20 ildə 1 dəfə sıradan çıxma ehtimalı 27%-dir.

10 ildə 1 dəfə təkrarlanan leysanın 20 ildə ən azı 1 dəfə ötülmə (aşma) ehtimalı aşağıdakı kimi hesablanır:

$$P = \sum_{i=1}^{20} f(i) = 1 - f(0) = 1 - \frac{20!}{0!(20-0)!} (0,1)^0 (1-0,1)^{20-0} = 1 - 0,12 = 0,88$$

Hesabi kəmiyyətin ən azı 1 dəfə ötülmə ehtimalı sistemin riski, və ötülməmə ehtimalı isə sistemin etibarlığı adlanır. Bu misalda, 20 il ərzində sistemin öz funksiyasını yerinə yetirilə bilməməsi riski 88%, həmin dövr ərzində etibarlığı isə 12%-dir.

**Misal 3.3.** Daşqına nəzarət sistemi təkarlanması dövrü 50 il olan daşqın hadisəsinə görə layihələndirilir. Əgər, daşqının maksimal su sərfi Puasson paylanması ilə təsvir olunursa, onda sistemin istismar müddətinin ilk 10 ilində hesabi sərfin iki dəfə (iki hadisə) ötülmə ehtimalını hesablayın. İlk 10 ildə hesabi sərfin iki dəfədən (iki və daha çox sayıda hadisə) çox ötülmə ehtimalı nə qədərdir?

**Həlli:** Puasson paylanmasıına görə verilən hadisənin (maksimal su sərfinin) ötülmə (aşma) hallarının sayı aşağıdakı tənliklə hesablanı bilər:

$$f(n) = \frac{\lambda^n e^{-\lambda}}{n!}.$$

10 ildən artıq dövrdə ötülmələrin gözlənilən sayı,  $\lambda$ , 50 ildə 1 dəfə təkrarlanan su sərfi üçün

$$\lambda = Np = (10) \left( \frac{1}{50} \right) = 0.2$$

və hesabi sərfin iki dəfə ötülmə ehtimalı

$$f(2) = \frac{0.2^2 e^{-0.2}}{2!} = 0.016 = 1.6\%$$

İlk 10 il ərzində hesabi sərfin iki dəfədən çox sayıda ötülmə ehtimalı belə hesablanır:

$$P = 1 - [f(0) + f(1) + f(2)] = 1 - \frac{0.2^0 e^{-0.2}}{0!} + \frac{0.2^1 e^{-0.2}}{1!} + \frac{0.2^2 e^{-0.2}}{2!} = \\ = 1 - [0.819 + 0.164 + 0.016] = 0.001$$

Beləliklə, istənilən interval ərzində 10 illik təkrarlanma dövrü 50 il olan maksimal su sərfinin iki dəfədən çox sayıda ötülmə ehtimalı cəmi 0,1%-dir.

### **3.1. Müşahidə suralarına tələblər və onların reprezentativliyi**

Müşahidə məlumatları kifayət qədər olduqda hidroloji xarakteristikaların hesabi qiymətləri analitik və empirik təminat əyrilərinə görə təyin olunur. Bu zaman aşağıdakı şərtlər ödənilməlidir:

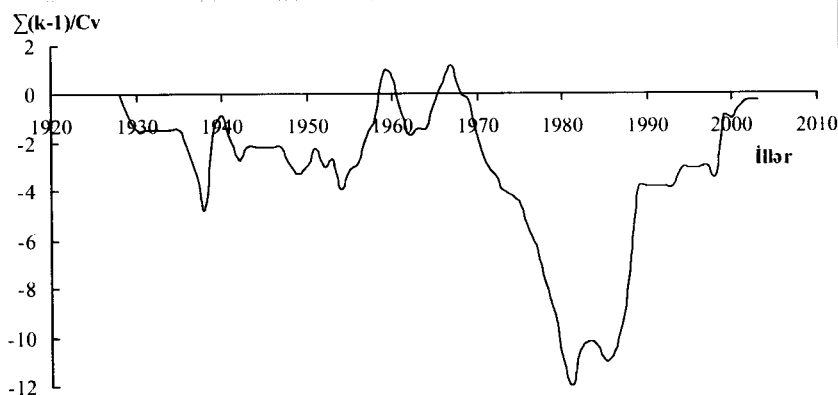
1. Müşahidə dövrü reprezentativ olmalı, baxılan hidroloji xarakteristikanın nisbi orta kvadratik xətası illik və mövsümi axım üçün 10%-dən, maksimal və minimal axım üçün isə 20%-

dən çox olmamalıdır.

2. Müşahidə sırasının ( $n$  il) reprezentativliyi analoq çaya ( $N$  il) görə qiymətləndirilir:  $N > 50$  il və  $N > n$  olmalıdır. Sıranın reprezentativliyi fərq-inteqral əyrilərinə görə də qiymətləndirilə bilər.

Hidroloji sıraların reprezentativliyinin qiymətləndirilməsi coğrafi təbəqənin əsas qanuna uyğunluqlarından biri olan ritmiklik hadisəsi ilə bağlıdır. Müşahidələr göstərir ki, çayların sululuğunda azsulu və çoxsulu fazalar növbələnir. Məsələn, 10-20 illik qısa müşahidə dövrü yalnız azsulu illəri və ya əksinə, çoxsulu illəri əhatə edə bilər. Belə qısa sıraya görə hesablanmış orta su sərfi, daha uzun sıraya (50 il və daha çox) görə hesablanmış orta kəmiyyətdən fərqlənir və bu, hidroloji hesablamaların dəqiqliyini azaldır.

Orta illik su sərfəleri üçün reprezentativ sıra çüt sayıda (2, 4 və daha çox) tsikl (iki qonşu azsulu və çoxsulu faza bir tsikl əmələ gətirir) əhatə etməlidir. Minimal su sərfərinin reprezentativ sırasında ən quraq illərin, maksimal su sərfərində isə ən bolsulu illərin müşahidə məlumatları təmsil olunmalıdır (şəkil 3.1).



*Şəkil 3.1. Kürəkçay-Çaykənd məntəqəsi üçün minimal qış axımının fərq-inteqral əyrisi*

3. Əgər, hidroloji xarakteristikanın nisbi orta xətası 1-ci bənd-də göstərilən qiymətdən böyükdürsə və müşahidə sırası reprezentativ deyildirsə, onda baxılan axım xarakteristikası çoxillik dövrə gətirilməlidir (bax fəsil 4-ə).

4. Hidroloji xarakteristikanın analitik təminat əyrisi tərtib edilməzdən əvvəl, müşahidə sırasının bircinsliyi (stasionarlığı) qiymətləndirilməlidir.

5. Müşahidə məlumatlarının keyfiyyəti şübhə doğurduqda, onlar əlavə təhlil olunmalıdır. Bu təhlil zamanı aşağıdakılara diqqət yetirmək lazımdır:

- suyun səviyyəsi və sərfləri üzərində müşahidələrin vaxtı vaxtında yerinə yetirilməsinə, ən yüksək və ən aşağı səviyyələrin qeydə alınmasına;
- çayda bir neçə müşahidə məntəqəsi olduqda, çay boyu illik, maksimal və s. axım göstəricilərinin uyğunluğuna;
- sərflər əyrisinin ən yüksək və ən aşağı səviyyələrə kimi ekstrapolyasiyasının düzgün yerinə yetirilməsinə;
- ayrı-ayrı günlərdə, aylarda və illərdə buraxılmış müşahidələrin bərpasına;
- antropogen amillərin çay axımına birbaşa təsirinə (kanallar, bəndlər və s. vasitəsilə).

### ***3.2. Axım sıraları strukturunun statistik təhlili***

Hidroloji xarakteristikaların hesablanmasında istifadə olunan analitik təminat əyirləri yalnız həddləri (məsələn, su sərfləri) keyfiyyətcə bircins, lakin asılı olmayan sıralar üçün tətbiq edilə bilər. Buna görə də, hidroloji məlumatların təhlilinin mühüm məsələlərindən biri sıraların strukturunun statistik təhlilidir. Adətən, belə təhlil çərçivəsində sıraların bircinsliyi və təsadüfiliyi ilə yanaşı onun qonşu həddləri arasında əlaqənin korrelyasiya (avtokorrelyasiya) əmsalı da qiymətləndirilir.

Sıraların statistik təhlili müxtəlif meyarların tətbiqi ilə yerinə yetirilir. Bu meyarlar iki qrupa bölünür: parametrik və qeyri-parametrik. Parametrik meyarların tətbiqi analitik paylanma funksiyasının tipindən asılıdır. Belə meyarların əksəriyyəti nor-

mal paylanma funksiyası üçün işlənmişdir və onların köməyi ilə sıranın müxtəlif parametrlərinin (orta kəmiyyət, variasiya və asimmetriya əmsalları) bircinsliyi qiymətləndirilir. Qeyri-parametrik meyarlar su sərfərinin paylanma funksiyasının tipindən asılı deyil və onların istifadəsi daha asandır. Parametrik meyarlar sıralardakı qeyri-bircinsliyə daha həssasdır.

Hidroloji sıranın orta kəmiyyətə və dispersiyaya görə bircinsliyini yoxlamaq üçün, müvafiq olaraq parametrik Styudent və Fişer meyarlarından daha çox istifadə olunur. Hər iki meyarın praktikada istifadəsi zamanı baxılan sıra iki bərabər hissəyə bölünür və hər bir hissə üçün orta kəmiyyət və ya dispersiyanın müvafiq qiymətləri müqayisə olunur. Sonra isə sıranın bircins olub-olmaması haqqında qərar qəbul edilir. Fişer və Styudent meyarları ( $F$ -statistika və  $t$ -statistika), müvafiq olaraq aşağıdakı düsturlara görə hesablanır:

$$F = \frac{\sigma_1^2}{\sigma_2^2}, \quad (3.3)$$

$$t = \frac{\bar{x} - \bar{y}}{\sqrt{n_x \sigma_x^2 + n_y \sigma_y^2}} \sqrt{\frac{n_x n_y (n_x + n_y - 2)}{n_x + n_y}}, \quad (3.4)$$

burada  $\bar{x}$  və  $\bar{y}$  -sıranın müvafiq olaraq birinci və ikinci yarısının orta kəmiyyəti;  $n_x$  və  $n_y$  -sira hissələrinin uzunluğuudur.

Sıraların bircinsliyinin qiymətləndirilməsində qeyri-parametrik Uilkikson, Mann-Uitni, Van der Varden və s. meyarlarından da istifadə olunur.

Sıraların təsadüfiliyi seriyaların sayı və maksimal uzunluğu meyarlarına görə yoxlanıla bilər. Seriyaların ümumi böhran sayı aşağıdakı düstura görə hesablanır:

$$R = \frac{1}{2}(n+1) - t_{\alpha} \sqrt{n-1}, \quad (3.5)$$

burada  $t_{\alpha}$ - $\alpha\%$ -li əhəmiyyətlilik səviyyəsində standart normal paylananın kvantili; təsadüfi kəmiyyətin orta qiymətdən normalaş-

dırılmış meyl etməsi;  $n$ -sıranın uzunluğuudur.

Serianın maksimal uzunluğu meyari Puasson qanunundan alınmış düsturla tapılır:

$$K = \frac{\lg \left[ -\frac{n}{\ln(1-\alpha)} \right]}{\lg 2} - 1 \quad (3.6)$$

burada  $n$  -sıranın uzunluğu;  $K$  -sırada serianın maksimal uzunluğu;  $\alpha$ -əhəmiyyətlilik dərəcəsidir, vahidin hissələri ilə.

Sıranın qonşu həddləri arasında əlaqənin korrelyasiya əmsali  $r(1)$  aşağıdakı düstura görə hesablanır:

$$r(1) = \frac{\sum_{i=1}^{n-1} (Q_i - \bar{Q}_1)(Q_{i+1} - \bar{Q}_2)}{\sqrt{\sum_{i=1}^{n-1} (Q_i - \bar{Q}_1)^2 \sum_{i=2}^n (Q_i - \bar{Q}_2)^2}}, \quad (3.7)$$

$$\bar{Q}_1 = \frac{\sum_{i=1}^{n-1} Q_i}{n-1}, \quad \bar{Q}_2 = \frac{\sum_{i=2}^n Q_i}{n-1}. \quad (3.8)$$

Təsadüfi hidroloji sıralarda adətən sıradaxılı korrelyasiya olmur. Azərbaycan çaylarının maksimal su sərfləri sıraları üçün  $r(1)=0$ . Lakin bəzi çayların minimal su sərfləri sıraları üçün  $r(1)\neq 0$  olur. Bu onunla izah olunur ki, minimal su sərfləri əsasən yeraltı suların hesabına formalasdır və bu sular öz ətalətliyi ilə seçilir: konkret il ərzində əmələ gəlmış yeraltı suların bir hissəsi həmin ildə yox, növbəti ildə çayın qidasında iştirak edir.

İstənilən meyarın statistikası hesablaşdırıldıqdan sonra alınmış qiymət xüsusi cədvəllərdə (Рождественский, Чеботарев, 1974; Сикан, 2007 və s.) verilmiş müvafiq böhran qiymətlə müqayisə olunur və sıranın bircinsliyi haqqında fərziyyə ya qəbul, ya da tərtib olunur. Fərziyyələr adətən 5%-li əhəmiyyətlilik səviyyəsinə yoxlanılır. Bəzən 1 və ya 10%-li əhəmiyyətlilik səviyyəsi də tətbiq olunur.

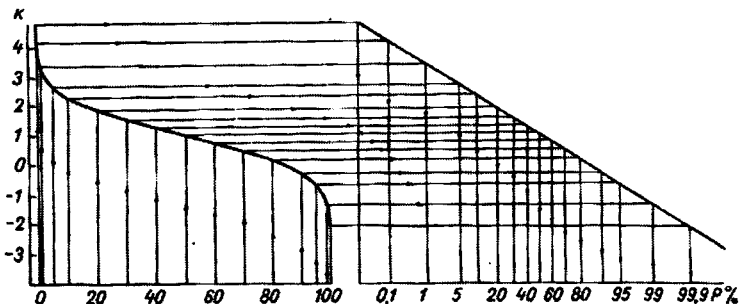
Hidroloji sıraların strukturunun statistik meyarlarla təhlilinə aid misallar “Tətbiqi hidrologiya” kitabında verilmişdir.

### *3.3. Paylanması parametrlərinin hesablanması*

#### *3.3.1. Empirik və analitik təminat əyriləri*

Müşahidə sıralarının genetik və statistik bircinsliyi qiymətləndirdikdən sonra, hidroloji hesablamaların növbəti mərhələsi empirik və analitik (nəzəri) təminat əyrilərinin qurulmasıdır. Əvvəlcə, empirik əyri qurulur və sonra ona uyğun analitik əyri seçilir.

Hər iki əyri xüsusi ehtimallar damasında qurulur. Bu onunla izah olunur ki, hidrologiyada geniş istifadə edilən ehtimalların paylanmasıının integral əyriləri (məsələn, su sərfərinin dəvəmiyyət əyriləri) dekart koordinat sistemində mürəkkəb formalıdır. Bu əyrilərin həm yuxarı, həm da aşağı hissələrində cəm ehtimalın (təminatın) cüzi artımına hidroloji xarakteristikanın böyük artımı uyğun gəlir. Bu isə öz növbəsində integral əyrini hamarlaşdırmağı və onu müşahidə məlumatları ilə əhatə olunmayan yuxarı və aşağı hissələrə uzatmağı (ekstrapolyasiyanı) çətinləşdirir. Ehtimallar damasından istifadədə məqsəd bu texniki çətinliyi aradan götürmək və bununla da təminat əyrisinin hamarlaşdırılmasına, hətta düzləndirilməsinə nail olmaqdır (şəkil 3.2).



*Şəkil 3.2. Normal paylanması qanunu üçün ehtimallar  
damasının tərtibi sxemi.*

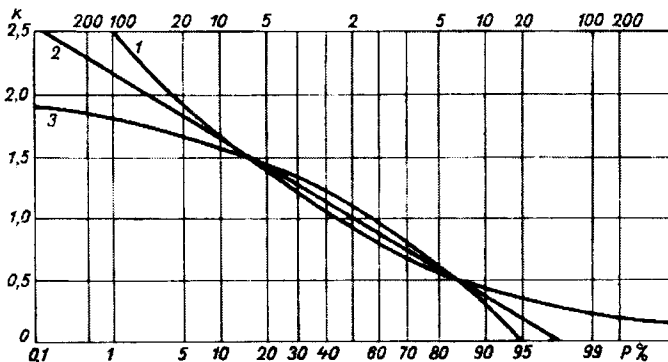
Əgər, ehtimallar daması təminat əyrisini düz xəttə transformasiya edirsə, onda hidroloji sıranın parametrləri elə alınmış düz xəttə görə təyin oluna bilər. Ehtimallar damasında təminat əyrisi səlis əyri forma alıqdə, sıranın parametrləri qrafoanalitik üsulla qiymətləndirilə bilər.

Hidroloji hesablamalar təcrübəsində ehtimallar damasının (ED) aşağıdakı tipləri istifadə olunur:

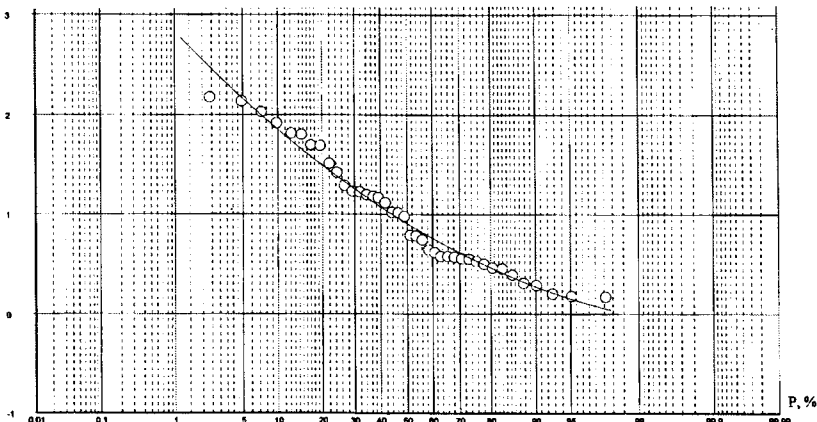
- normal paylanma qanununun ED;
- variasiya və asimetriya əmsallarının müxtəlif nisbətlərində üç parametrlə qamma paylanmayı düzləndirən ED (Brovkoviçin ED, Rojdestvenski və Çebotaryovun ED);
- loqarifmik-normal paylanma qanununun ED ( $C_v > 0,5$  və  $C_s > 2C_v$  olduqdə istifadə olunur);
- Qudriçin ED ( $C_s > 3C_v$  olduqdə istifadə olunur);
- Qumbelin ED;
- Çeqodayevin ED.

Praktikada daha çox ilk üç ED-dan istifadə edilir. Qumbel və Qudriçin ED-ları müvafiq paylanma funksiyaları istifadə edildikdə tətbiq olunur.

Bəzi ED-da qurulmuş təminat əyriləri şəkil 3.3, 3.4 və 3.8 -də göstərilmişdir.



**Şəkil 3.3.**  $Cv=0.5$  və  $Cs$ -in müxtəlif qiymətlərində normal paylanma qanununun ehtimallar damasında binomial təminat əyriləri  
1 –  $Cs=2Cv$ ; 2 –  $Cs=0$ ; 3 –  $Cs=-2Cv$



**Şəkil 3.4. Karaçay-Ryuk məntəqəsi üçün maksimal su sərfərinin empirik və analitik (Kritski-Menkel) təminat əyriləri**

Empirik təminat əyriləri modul əmsalları ( $Q_q = Q_i / \bar{Q}$ ) və ya su sərfərinə görə qurula bilər. Əyri modul əmsalına görə qurulduğda, müxtəlif təminatlı su sərfəri aşağıdakı düstura görə hesablanır:

$$Q_p = K_p \bar{Q}, \quad (3.9)$$

burada  $K_p$  -  $P\%$  təminatlı modul əmsali;  $\bar{Q}$ -su sərfinin norması və ya orta çoxillik kəmiyyətidir.

Empirik təminat əyrisi qurulduğda, müşahidə sırası azalma qaydasında düzülür və hidroloji sıranın hər bir həddinin empirik təminatı hesablanır. Ehtimal nəzəriyyəsinə görə hidroloji sıranın ixtiyarı həddinin təkrarlanması ehtimalı aşağıdakı ifadəyə görə hesablanır:

$$P = \frac{m}{n} \cdot 100\%, \quad (3.10)$$

burada  $m$ -verilən su sərfinin müşahidə olunduğu halların sayı;  $n$ -müşahidələrin ümumi sayıdır.

Bu düsturdan istifadə etdikdə, azalma qaydasında düzülmüş axırıncı (ən kiçik) həddin empirik təminatı sıranın uzunluğundan

(n) asılı olmayaraq həmişə 100%, ən böyük həddinki isə  $\frac{100\%}{n}$  təşkil edir. Əlbəttə, bu çox kobud qiymətləndirmədir.

Empirik təminatın qiymətini onun nəzəri qiymətinə maksimum yaxınlaşdırmaq üçün müxtəlif düsturlar təklif olunmuşdur:

A.Hazen

$$P = \frac{m - 0,5}{m} \cdot 100\%; \quad (3.11)$$

V.Veybul

$$P = \frac{m}{n + 1} \cdot 100\%; \quad (3.12)$$

N.N.Çeqodayev

$$P = \frac{m - 0,3}{n + 0,4} \cdot 100\%; \quad (3.13)$$

M.Ə.Məmmədov

$$P = \frac{m}{n + k^z} \cdot 100\%, \quad (3.14)$$

burada k-modul əmsalı; z-üst göstəricisidir.

1948-ci ilə kimi, keçmiş SSRİ-də Hazenin düsturundan istifadə edilmişdir. Sonra illik və minimal su sərfləri üçün Çeqodayevin, maksimal su sərfləri üçün isə Veybulun düsturu tövsiyə olunmuşdur. Hazırda Rusiya və Azərbaycanda yalnız Veybulun düsturundan istifadə olunur. Bu düstur Rusiyada Kritski və Menkel düsturu kimi tanınır. M.Ə.Məmmədovun düsturu maksimal su sərfləri sıralarındaki ən böyük həddlərin empirik təminatını hesablamaq üçün işlənmişdir. Lakin sonrakı tədqiqatlar göstərmişdir ki, o minimal su sərfləri üçün də tətbiq oluna bilər.

Empirik təminatları təyin etmək üçün təklif edilmiş düsturlarla yerinə yetirilmiş hesablamaların nəticələri yalnız təminatların böyük və kiçik diapazonunda fərqlənir. Təminat əyrisinin orta hissəsində onlar çox yaxın nəticələr verir.

Hidroloji xarakteristikaların müşahidə sıraları qısa olduğuna

görə empirik təminat əyriləri (empirik nöqtələrin düzülüşü) mü-rəkkəb formalı-bəzi hissələri batıq, bəziləri isə qabarlıq olur. Di-gər tərəfdən kiçik və böyük təminatlar zonasında empirik nöqtələr olmur. Bu isə empirik əyrilərin yuxarı və aşağıya ekstrapolyasiyasını subyektiv edir. Bütün bunları nəzərə alaraq, hidrologiyada empirik təminat əyrilərini approksimasiya etmək üçün ehtimal-ların paylanma funksiyalarından istifadə edilir. Hidroloqlar bu funksiyaları analitik təminat əyriləri adlandırırlar. Hidrologiyada istifadə olunan analitik təminat əyriləri aşağıdakılardır:

- Binomial və ya Pirsonun III tip paylanması;
- Üç parametrli qamma paylanma və ya Kritski və Menke-lin təminat əyriləri;
- Loqarifmik-normal paylanması;
- Qumbel paylanması;
- Qudriç paylanması;
- Puasson paylanması
- Normal paylanması;
- Conson paylanması və s.

İlk iki analitik təminat əyrisi daha geniş tətbiq olunur. Məsələn, Rusiya Dövlət Tikinti Komitəsinin normativ sənədinə görə hidro-loji xarakteristikaların hesablanmasında Kritski və Menkelin tə-minat əyrilərinə üstünlük verilməlidir. Qərb ölkələrində isə daha çox Pirsonun III tip paylanması tətbiq olunur. Lakin ekstremal axım xarakteristikalarının maksimal və minimal su sərflərinin hesablanması Qumbel paylanmasının istifadəsi ilə yerinə yetirilir.

Yuxarıda qeyd olunduğu kimi, analitik təminat əyrisinin istifa-dəsində məqsəd empirik əyriləri approksimasiya və ekstrapol-yasiya etməkdir. Analitik əri tipinin düzgün seçilməsinin əsas meyari onun empirik əriyə uyğunluğudur. Analitik və empirik əyrilərin uyğunluğu ilk növbədə vizual qiymətləndirilir. Lakin bu uyğunluğu kəmiyyətcə qiymətləndirmək üçün statistik meyarlar işlənmişdir:  $\chi^2$ (xi-kvadrat), Kolmoqorov,  $n\omega^2$  (Mizes) və s. Ana-litik əri seçilərkən çalışmaq lazımdır ki, onun parametrlərinin sayı üçdən çox olmasın. Bu tövsiyə onunla bağlıdır ki, hidrologi

sıralar qıсадır və belə sıralara görə əyrinin yalnız iki parametрini (orta kəmiyyət və variasiya əmsalını) kifayət qədər dəqiq hesablamaq mümkündür. Hətta üçüncü parametr-asimetriya əmsalı, adətən fərdi sıralar üçün hesablanır və onun variasiya əmsalına nisbəti empirik və analitik əyrilərin uyğunluğuna görə seçmə yolu ilə təyin edilir.

Təsadüfi kəmiyyətlərin əksəriyyəti normal paylanma qanununa tabedir. Bu paylanma, Qauss və ya Qauss-Laplas paylanması da adlanır. Normal paylanma əyrisinin tənliyi differensial şəkildə və ya ehtimallar sıxlığının paylanma əyrisi formasında aşağıdakı kimidir:

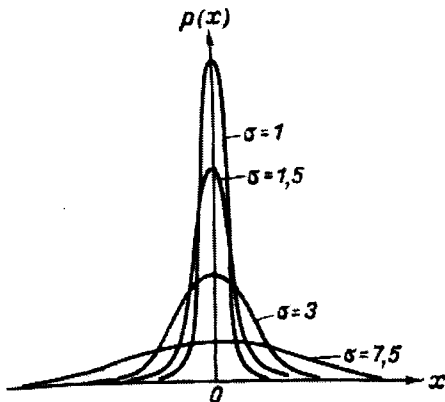
$$P(x) = \frac{1}{\sigma\sqrt{2\pi}} e^{-\frac{(x-\bar{x})^2}{2\sigma^2}}, \quad (3.15)$$

burada  $\bar{x}$  -dəyişən kəmiyyətin riyazi gözləməsi (orta qiyməti);  $\sigma$  - orta kvadratik meyletmədir.

Normal əyrinin yalnız 2 parametri var:  $\bar{x}$  və  $\sigma$ . Bu qanuna təbe olan təsadüfi kəmiyyətlər  $-\infty < x < \infty$  arasında qiymətlər ala bilər (Şəkil 3.5).

Su sərflərinin müxtəlif təminatlı qiymətlərinin hesablanmasında normal paylanma qanunundan az istifadə olunur. Bunun əsas səbəbi odur ki, normal paylanmada asimetriya əmsali sıfır bərabərdir ( $C_s = 0$ ), lakin su sərfləri sıralarının böyük əksəriyyəti müsbət asimetriyalıdır ( $C_s > 0$ ).

Buna görə də hidroloji hesablamalar praktikasında ilk dəfə olaraq A.Foster (ABŞ) 1923-cü ildə binomial paylanma qanunundan istifadə etmişdir. Pirsonun III tip əyrisin-



*Şəkil 3.5. Orta kvadratik meyletmənin müxtəlif qiymətlərində normal paylanma əyriləri*

dən geniş istifadə mümkün olsun deyə, Foster xüsusi cədvəl hazırlamışdı. Bu cədvəli sonradan S.I.Ribkin (Рыбкин, 1938) dəqiqləşdirmişdir və indi bu cədvəl Foster-Ribkin cədvəli adlanır. Bu cədvəlin köməyi ilə hidroloji sıranın üç əsas parametrinə ( $\bar{Q}$ ,  $C_v$  və  $C_s$ ) görə analitik təminat əyrisini qurmaq olar.

Keçmiş SSRİ-də ilk dəfə olaraq D.L.Sokolovski 1930-cu ildə hidroloji hesablamalarda təminat əyrilərindən istifadə etmişdir.

Hazırda dünyada daha çox K.Pirsonun təklif etdiyi Pirson III tip əyrilərdən istifadə edilir. O, bu əyriləri diskret binomial paylanmanın kəsilməz təsadüfi kəmiyyətlər üçün ümumiləşdirilməsi yolu ilə almışdır. Lakin Pirsonun III tip əyrilərindən istifadə etdikdə yalnız  $C_s = 2C_v$  olduqda hidroloji xarakteristikalar öz fiziki mahiyyətlərinə müvafiq olaraq sıfırdan böyük qiymətlər alır.  $C_s < 2C_v$  olduqda isə hidroloji xarakteristikalar mənfi qiymətlər alır və bu, baxılan əyri tipindən istifadəni qeyri-mümkün edir.

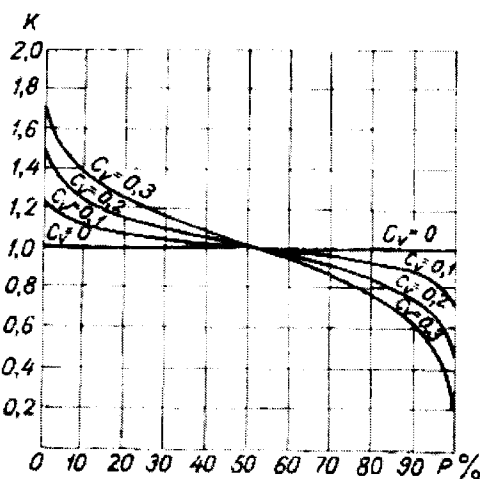
Pirsonun III tip paylanmasıının bu problemini 1946-cı ildə S.H.Kritski və M.F.Menkel həll etmişlər. Onlar ilkin model kimi Pirsonun III tip əyrisini ( $C_s = 2C_v$  və  $x = 1$ ) qəbul etmişlər.  $C_s$  və  $C_v$ -nin istənilən nisbətində hidroloji xarakteristikaların yalnız müsbət qiymət ( $0 \leq x < \infty$ ) alması üçün onlar əvvəlcə ilkin dəyişəni yeni dəyişənə transformasiya etmişlər:

$$X = \overline{az^b}, \quad (3.16)$$

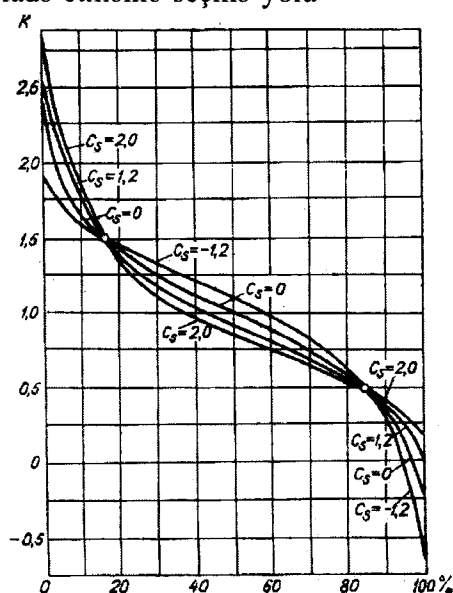
burada  $a$  və  $b$  parametrlərdir və  $a$  elə seçilir ki,  $\bar{x} = \overline{az^b} = 1$  olsun.

Kritski və Menkelin bu yolla aldıqları yeni paylanma, üç parametrlı qamma paylanma adlanır. Qeyd etmək lazımdır ki, ilkin model kimi qəbul edilmiş Pirsonun III tip əyrisi üçün  $C_s = 2C_v$  idi. Yeni paylanması isə  $C_s$  və  $C_v$ -nin hər biri asılı olmayan parametrdür. Müəlliflər  $C_s / C_v$ -nin müxtəlif nisbətləri və  $C_v = 0,1 \div 2,0$  üçün təklif etdikləri paylanmanın ordinatlarını hesablamış və cədvəl şəklində vermişlər.

Təminat əyrisinin əsas parametrlərindən olan variasiya ( $C_v$ ) və asimetriya ( $C_s$ ) əmsallarının faktiki sıraya görə hesablanmış qiymətləri kifayət qədər dayanıqlı deyillər. Bu daha çox asimetriya əmsalına aiddir. Digər tərəfdən, empirik təminat əyrisini approksimasiya etmək üçün analitik əyri  $C_s / C_v$  nisbətinin müxtəlif qiymətlərindən istifadə etməklə seçmə yolu



Şəkil 3.6. Variasiya əmsalının təminat əyrisinin formasına təsiri ( $C_s = 0$ )



Şəkil 3.7. Asimetriya əmsalının təminat əyrisinin formasına təsiri ( $C_s = 0.5$ )

ilə təyin olunur.

Buna görə də təminat əyriləri qurulduğda və approksimasiya edildikdə  $C_s$  və  $C_v$ -nin bu əyrilərin formasına təsiri nəzərə alınmalıdır (şəkil 3.6 və 3.7).

$C_v$  arttıkca, təminat əyrisinin üfüqi xəttə ( $C_s = 0$  və  $k = 1$ ) meyilliyi artır. Bu o deməkdir ki, təminat dəyişdikcə, əyrinin ordinatları daha kəskin dəyişir. Dəyişmənin qrädiyenti təminat əyrisinin yuxarı və aşağı hissələrində daha böyük-

dür.  $C_v$  nə qədər böyük olarsa, onun hesablanması xətası axım xarakteristikasının təyininə bir o qədər güclü təsir göstərir.

$C_s = 0$  olduqda, təminat əyrisi  $k = 1$  üfüqi xəttini  $P = 50\%$ -ə uyğun nöqtədə kəsir, çünki bu əyri simmetrikdir.  $C_s$  artdıqca, təminat əyrsinin orta hissəsində ordinatlar kiçilir, yuxarı və aşağı hissələrində isə, əksinə artır.  $C_s$  nə qədər böyük olarsa, onun yuxarı hissəsi bir o qədər dik, aşağı hissəsi isə az meyilli olar. Eyni zamanda əyrinin asimetriyi artır və onun  $k = 1$  xətti ilə kəsişmə nöqtəsi üfüqi ox boyu sola tərəf ( $P < 50\%$  zonasına) yerini dəyişir. Asimetriya əmsalının mənfi qiymətlərində ( $C_s < 0$ ) təminat əyrisinin orta hissəsi qabarıq, yuxarı və aşağı hissələrində ordinatların qiymətləri kiçik olur.

Variasiya əmsalları eyni, asimetriya əmsalları isə fərqli olan təminat əyrləri iki nöqtədə kəsişir.

Bələ hesab olunur ki, hidroloji xarakteristikaların təminatlı qiymətlərinin hesablanması istifadə olunan bütün analitik təminat əyrləri 10-75% təminatlar intervalında çox yaxın nəticələr verir. Pirsonun III tip və Kritski-Menkelin əyrləri isə üst-üstə düşür. Pirsonun III tip əyrisi ilə müqayisədə Kritski-Menkelin əyrisi ilə daha böyük qiymətlər alınır ( $30\%-ə$  qədər). Qumbelin əyrisinə görə hesablanmış qiymətlər ( $P < 1\%$  və  $C_s \geq 0.4-0.6$  olduqda) isə Pirsonun III tip əyrisinə görə təyin olunmuş qiymətlərlə müqayisədə əhəmiyyətli dərəcədə kiçikdir. Əksinə,  $C_v$ -nin kiçik qiymətlərində Qumbelin paylanması Pirsonun III tip paylanması nisbətən şıxıldımlı qiymətlər verir (Соколовский, 1968).

V.T.Çou göstərmişdir ki, Qumbelin paylanması faktiki olaraq daimi asimetriyalı loqarifmik-normal paylanmadır.

Veybul (Qudriç) paylanması isə üç parametrlı gamma-paylanmanın xüsusi halıdır (Крицкий, Менкель, 1981).

**Misal 3.4.** Cədvəl 3.2-də verilmiş maksimal su sərfərinin empirik təminat əyrisini qurun.

**Həlli:** 1. Verilmiş su sərfəri sırası azalan qaydada düzülür (cədvəl 3.2).

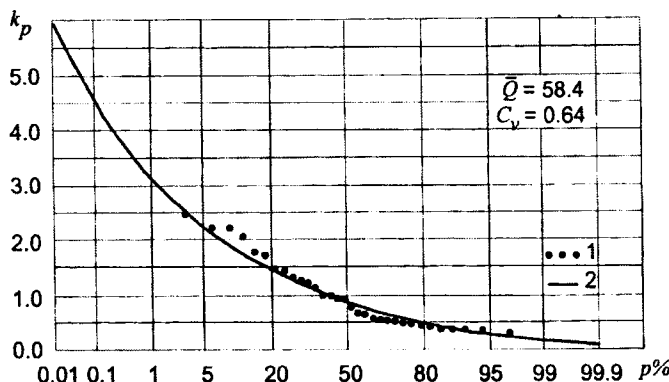
**Cədvəl 3.2**

Maksimal su sərfələri üçün empirik təminat  
əyrisinin ordinatlarının hesablanması

| m <sub>i</sub> | İllər | Su sərfələri,<br>m <sup>3</sup> /s | Azalma sıraları                 |                 | Təminat,<br>% |
|----------------|-------|------------------------------------|---------------------------------|-----------------|---------------|
|                |       |                                    | su sərfələri, m <sup>3</sup> /s | modul əmsalları |               |
| 1              | 1954  | 71.4                               | 145                             | 2.48            | 3.03          |
| 2              | 1955  | 22.1                               | 130                             | 2.22            | 6.06          |
| 3              | 1956  | 32.7                               | 130                             | 2.22            | 9.09          |
| 4              | 1957  | 145                                | 121                             | 2.07            | 12.1          |
| 5              | 1958  | 46.0                               | 104                             | 1.78            | 15.2          |
| 6              | 1959  | 29.9                               | 100                             | 1.71            | 18.2          |
| 7              | 1960  | 28.4                               | 84.5                            | 1.45            | 21.2          |
| 8              | 1961  | 73.8                               | 84.4                            | 1.44            | 24.2          |
| 9              | 1962  | 121                                | 78.1                            | 1.34            | 27.3          |
| 10             | 1963  | 25.0                               | 73.8                            | 1.26            | 30.3          |
| 11             | 1964  | 31.4                               | 71.4                            | 1.22            | 33.3          |
| 12             | 1965  | 17.3                               | 66.0                            | 1.13            | 36.4          |
| 13             | 1966  | 54.8                               | 58.7                            | 1.00            | 39.4          |
| 14             | 1967  | 29.9                               | 58.2                            | 1.00            | 42.4          |
| 15             | 1968  | 104                                | 54.8                            | 0.94            | 45.5          |
| 16             | 1969  | 27.5                               | 54.0                            | 0.92            | 48.5          |
| 17             | 1970  | 84.5                               | 46.0                            | 0.79            | 51.5          |
| 18             | 1971  | 37.5                               | 39.2                            | 0.67            | 54.6          |
| 19             | 1972  | 24.0                               | 37.5                            | 0.64            | 57.6          |
| 20             | 1973  | 22.1                               | 32.7                            | 0.56            | 60.6          |
| 21             | 1974  | 130                                | 31.4                            | 0.54            | 63.6          |
| 22             | 1975  | 21.3                               | 29.9                            | 0.51            | 66.7          |
| 23             | 1976  | 58.2                               | 29.9                            | 0.51            | 69.7          |
| 24             | 1977  | 58.7                               | 28.4                            | 0.49            | 72.7          |
| 25             | 1978  | 130                                | 27.5                            | 0.47            | 75.8          |
| 26             | 1979  | 22.0                               | 25.0                            | 0.43            | 78.8          |
| 27             | 1980  | 54.0                               | 24.0                            | 0.41            | 81.8          |
| 28             | 1981  | 100                                | 22.1                            | 0.38            | 84.9          |
| 29             | 1982  | 78.1                               | 22.1                            | 0.38            | 87.9          |
| 30             | 1983  | 39.2                               | 22.0                            | 0.38            | 90.9          |
| 31             | 1984  | 66.0                               | 21.3                            | 0.36            | 93.9          |
| 32             | 1985  | 84.4                               | 17.3                            | 0.30            | 97.0          |

2. Azalma sırasının hər bir su sərfi üçün,  $P = \frac{m}{n+1} \cdot 100\%$  düsturuna əsasən empirik təminat hesablanır. Sıranın uzunluğu  $n=32$ -dir və sıranın birinci həddinin təminatı  $p_1=(1/33)100\% = 3,03\%$ ; ikinci həddininki isə  $p_2=(2/33)100\% = 6,06\%-ə$  bərabərdir və s.

3. Cədvəl 3.2-nin axırıncı iki sütununun məlumatlarına əsasən ehtimal damasında empirik təminat əyrisi qurulur (şəkil 3.8).



*Şəkil 3.8. Empirik (1) və analitik (2) təminat əyriləri*

**Misal 3.5.** Qvadalupe çayının Viktoriya yaxınlığında (Texas) maksimal su sərfəri 1965-1978-ci illər üçün cədvəldə verilmişdir.

| il   | Mak.su sərfi<br>(fut <sup>3</sup> /s) | il   | Mak.su sərfi<br>(fut <sup>3</sup> /s) |
|------|---------------------------------------|------|---------------------------------------|
| 1965 | 15,000                                | 1972 | 58,500                                |
| 1966 | 9790                                  | 1973 | 33,100                                |
| 1967 | 70,000                                | 1974 | 25,200                                |
| 1968 | 44,300                                | 1975 | 30,200                                |
| 1969 | 15,200                                | 1976 | 14,100                                |
| 1970 | 9190                                  | 1977 | 54,500                                |
| 1971 | 9740                                  | 1978 | 12,700                                |

Veybul və Qrinqorten düsturlarından istifadə edərək maksimal su sərfərinin integral (kumulyativ) paylanması və təminat funksiyalarını qurun. Alınan nəticələri müqayisə edin.

**Həlli:** Müşahidə sırası azalma qaydasında düzülür və aşağıdakı cədvəlin 2-ci sütununda yazılır.

Sıranın uzunluğu  $N = 14$  ildir. Veybul düsturuna görə empirik təminatlar hesablanır

$$P(Q > q_m) = \frac{m}{N+1} = \frac{m}{14+1} = \frac{m}{15}$$

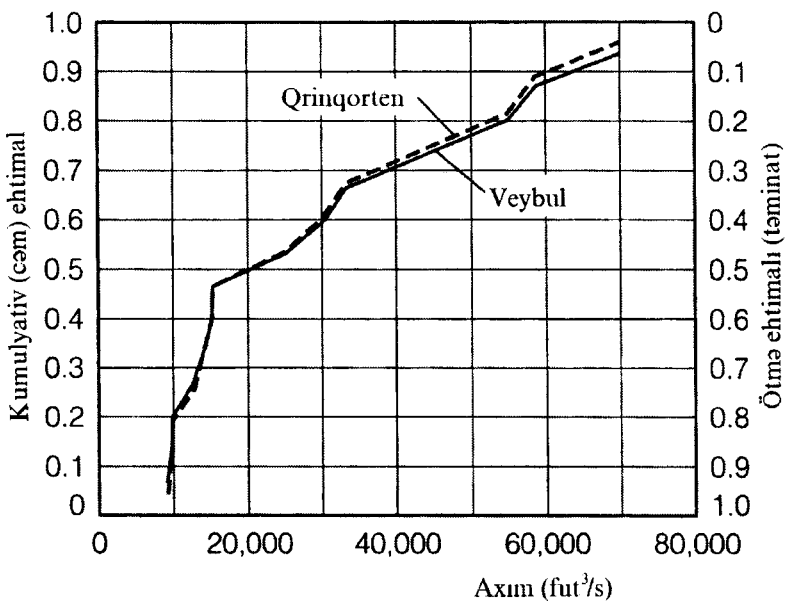
Bu empirik təminatlar cədvəlin 3-cü sütununda yazılır. Qrinqorten düsturuna görə empirik təminatlar hesablanır ( $a = 0,40$  qəbul olunur)

$$P(Q > q_m) = \frac{m - a}{N + 1 - 2a} = \frac{m - 0.40}{14 + 1 - 2(0.40)} = \frac{m - 0.40}{14.2}$$

| (1)<br>m | (2)<br>Mak.su sərfi<br>(fut <sup>3</sup> /s) | (3)<br>Veybul<br>$P(Q > q_m)$ | (4)<br>Qrinqorten<br>$P(Q > q_m)$ |
|----------|--|-------------------------------|-----------------------------------|
| 1        | 70,000                                       | 0.067                         | 0.042                             |
| 2        | 58,500                                       | 0.133                         | 0.113                             |
| 3        | 54,500                                       | 0.200                         | 0.183                             |
| 4        | 44,300                                       | 0.267                         | 0.253                             |
| 5        | 33,100                                       | 0.333                         | 0.324                             |
| 6        | 30,200                                       | 0.400                         | 0.394                             |
| 7        | 25,200                                       | 0.467                         | 0.465                             |
| 8        | 15,200                                       | 0.533                         | 0.535                             |
| 9        | 15,000                                       | 0.600                         | 0.606                             |
| 10       | 14,100                                       | 0.667                         | 0.676                             |
| 11       | 12,700                                       | 0.733                         | 0.746                             |
| 12       | 9790   | 0.800                         | 0.817                             |
| 13       | 9740   | 0.867                         | 0.887                             |
| 14       | 9190   | 0.933                         | 0.958                             |

və empirik təminatlar cədvəlin 4-cü sutununda yazılır.

Hər iki düstura görə hesablanmış empirik təminatlara əsasən ehtimalın paylanması funksiyası və empirik təminat əyriləri qurulmuşdur (şəkil 3.9). Bu əyrilər çox oxşardır. Su sərfərinin böyük qiymətləri üçün Qrinqorten düsturu ilə hesablanmış empirik təminatlar daha kiçik qiymətlər alır və müvafiq olaraq daha böyük təkrarlanma dövrünə malikdir.

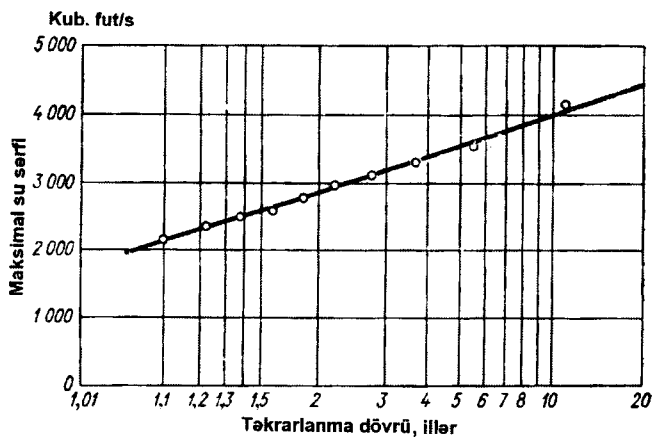


*Şəkil 3.9. Ehtimalın paylanması funksiyası və empirik təminat əyriləri*

**Misal 3.6.** Aşağıdakı cədvəlin ilk iki sütununda Missouri hövzəsində yerləşən kiçik çayın maksimal su sərfəri haqqında məlumat verilmişdir. Verilənləri artan sıra ilə düzün və onları ekstremal kəmiyyətlərin ehtimallar damasında qeyd edin.

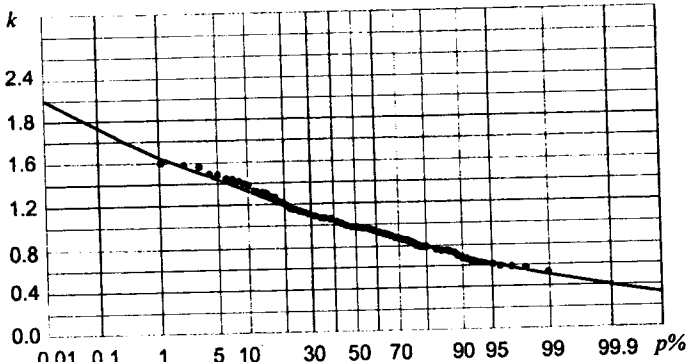
| Hidroloji il | Maksimal su sərfi, kub fut/s | Ranq, m | $\frac{n+1}{m}$ |
|--------------|------------------------------|---------|-----------------|
| 1967         | 2510                         | 8       | 1.375           |
| 1966         | 4150                         | 1       | 11.0            |
| 1965         | 2990                         | 5       | 2.2             |
| 1964         | 2120                         | 10      | 1.1             |
| 1963         | 3555                         | 2       | 5.5             |
| 1962         | 2380                         | 9       | 1.22            |
| 1961         | 2550                         | 7       | 1.57            |
| 1960         | 2800                         | 6       | 1.83            |
| 1959         | 3300                         | 3       | 3.67            |
| 1958         | 3150                         | 4       | 2.75            |

Analizin nəticələri yuxarıdakı cədvəldə və şəkil 3.10-da verilmişdir.



**Şəkil 3.10.** Missouri hövzəsində yerləşən kiçik çay üçün maksimal su sərfi təkrarlanma ayırısı

**Misal 3.7.** Şəkil 3.11-də orta illik su sərfi təkrarlanma ayırısının ( $n=98$  il) empirik təminat əyrisi ( $n=98$  il) və Kritski-Menkelin parametrləri  $\bar{Q}=19,5 \text{ m}^3/\text{s}$ ,  $C_v=0,25$ ,  $C_s/C_v=2$  olan üçparametrlı qamma paylanması analitik əyrisi göstərilmişdir.  $\chi^2$  (Pirson) meyarına görə  $2\alpha=5\%$  əhəmiyyətlilik səviyyəsində empirik və analitik əyrlərin uyğunluq dərəcəsini qiymətləndirin.



*Şəkil 3.11. Orta illik su sərfləri üçün empirik və analitik təminat əyriləri*

**Həlli:** 1. Bu tapşırığın həlli üçün qrafikin təminat oxu 10 bərabər intervala bölündür:  $k \approx 5\lg(n) \approx 10$ .

2. İntervalların sərhədlərində analitik təminat əyrisinin ordinatlarının qiymətləri təqdim olunur. Paylanma funksiyası yuxarıdan məhdudlaşmadığından, birinci interval üçün ( $0 - 10\%$ ) yuxarı sərhəd sonsuzluğa bərabər olacaq. İkinci interval üçün ( $10 - 20\%$ ) yuxarı sərhəd birinci intervalın aşağı sərhəddinə bərabərdir və s.; axırıncı interval üçün aşağı sərhəd sıfıra bərabərdir, belə ki, paylanma funksiyasının aşağı sərhəddi sıfırdır (cədvəl 3.3).

3. Hər bir interval üçün su sərflərinin müvafiq intervala düşmə hallarının sayı ( $m_i^*$ ) hesablanır, (cədvəl 3.3). Əgər sərfin qiyməti intervalın sərhəddinə düşürse, onu yuxarı intervala aid etmək lazımdır.  $m_i^*$ -nin qiymətləri cədvəl 3.3-ün 4-cü sütununa yazılsın.

4. Su sərflərinin hər bir intervala düşmə hallarının nəzəri sayı  $m = n / k$  ifadəsinə görə təyin edilir və  $m = 98 / 10 = 9,8$ . Cədvəl 3.3-ün 4-cü sütununda verilmiş empirik məlumatlar nəzəri qiymətdən ( $9,8$ ) fərqlənir. Bu fərqlər ya seçmə tezliklərin təsadüfi tərəddüdü, ya da empirik və analitik təminat əyrilərinin uyğunsuzluğu ilə əlaqədardır.

Cədvəl 3.3

$\chi^2$  meyarının hesablanması üçün ilkin məlumatlar

| Interval $k$ | Təminat, % | İntervalların sərhədləri | Su sərfərinin intervala düşmə hallarının sayı $m_i^*$ | $(m_i^*)^2$ |
|--------------|------------|--------------------------|---|-------------|
| 1            | 0 – 10     | ∞-1,33                   | 11  | 121         |
| 2            | 10 – 20    | 1,33 – 1,20              | 8   | 64          |
| 3            | 20 – 30    | 1,20 – 1,11              | 10  | 100         |
| 4            | 30 – 40    | 1,11 – 1,05              | 8   | 64          |
| 5            | 40 – 50    | 1,05 – 0,98              | 13  | 169         |
| 6            | 50 – 60    | 0,98 – 0,92              | 11  | 121         |
| 7            | 60 – 70    | 0,92 – 0,85              | 10  | 100         |
| 8            | 70 – 80    | 0,85 – 0,79              | 6   | 36          |
| 9            | 80 – 90    | 0,79 – 0,70              | 11  | 121         |
| 10           | 90 – 100   | 0,70 – 0,00              | 10  | 100         |
|              |            | Cəm                      | 996   |             |

5. Aşağıdakı düsturdan istifadə etməklə  $\chi^2$ -nin empirik qiyməti hesablanır:

$$(\chi^2)^* = \frac{1}{m} \sum_{i=1}^{10} (m_i^*)^2 - n = \frac{1}{9.8} 996 - 98 = 3.63$$

6. Xüsusi cədvələ əsasən, sərbəstlik dərəcəsi  $v=k-r-1=10-3-1=6$  və əhəmiyyətlilik səviyyəsi  $2\alpha=5\%$  olduqda  $\chi^2$ -nin nəzəri qiyməti tapılır. Bu halda  $\chi_{95}^2 = 12.6$ .

7.  $(\chi^2)^* < \chi_{95}^2$  olduğundan, belə bir nəticəyə gəlmək olar ki, empirik və analitik təminat əyrilərinin uyğunluğu haqda fərziyyə  $2\alpha=5\%$  əhəmiyyətlilik səviyyəsində təkzib olunmur.

### 3.3.2. Təminat əyrilərinin parametrlərini qiymətləndirmə metodları

Hidroloji məlumatların paylanması parametrlərini qiymətləndirmək üçün bir neçə hesablama metodundan istifadə olunur. Bu metodlar üç qrupa bölünür: analitik, qraf-analitik və qrafik.

Momentlər metodu və ən çox həqiqətəbənzər metod analitik

metodlar qrupuna aiddir.

**Momentlər metodu.** Bu metod empirik paylanmanın parametrlərindən istifadəyə əsaslanır. Paylanmanın parametrləri aşağıdakı düsturlara görə hesablanır:

Orta kəmiyyət

$$\bar{Q} = \frac{1}{n} \sum_{i=1}^n Q_i, \quad (3.17)$$

Variasiya əmsalı

$$C_v = \sqrt{\frac{\sum_{i=1}^n (Q_i - \bar{Q})^2}{n-1}}, \quad (3.18)$$

Asimmetriya əmsalı

$$C_s = \frac{n \sum_{i=1}^n (k_i - 1)^3}{(n-1)(n-2)C_v^3}, \quad (3.19)$$

Bu düsturlarda  $n$ -müşahidə sırasının uzunluğu;  $Q_i$ -su sərfərinin müşahidə olunmuş qiymətləri;  $k_i = Q_i / \bar{Q}$  modul əmsalıdır.

Hidroloji sıraların uzunluğu üçüncü momenti (həmçinin  $C_s$ -i) və daha yüksək dərəcəli momentləri tələb olunan dəqiqliklə hesablamaya imkan vermir. Buna görə də praktikada asimetriya əmsalının əvəzinə  $C_s / C_v$  nisbətinin rayon qiymətindən istifadə olunur. Bu nisbət təyin edildikdən sonra variasiya əmsalının qiymətinə görə asimetriya əmsalını hesablamaq olar.

$C_s / C_v$  nisbətinin rayon qiymətini təyin etmək üçün bircins hidroloji rayon daxilində uzunsıralı müşahidə məntəqələri seçilir və hər bir belə sıra üçün  $C_v$ ,  $C_s$  və  $C_s / C_v$  hesablanır.  $C_s / C_v$  nisbətinin orta qiyməti hidroloji rayonun bütün məntəqələrinə şamil olunur.

Əgər hidroloji rayonda müşahidə sıraları qıсадırsa, onda

$C_s/C_v$  nisbəti hər bir sıra üçün fərdi qaydada təyin olunur. Bu halda empirik təminat əyrisinə daha uyğun olan analitik əyrinin  $C_s/C_v$  nisbəti qəbul edilir.

Momentlər metodunun əsas üstünlüklerindən biri parametrlərin hidroloji xarakteristikanın paylanması qanunundan asılı olmamasıdır. Həmçinin, hesablama düsturları kifayət qədər sadədir. Buna görə də hidroloji hesablamalar praktikasında bu metod daha geniş yayılmışdır.

Eyni zamanda qeyd etmək lazımdır ki, bu metoda görə hesablanmış variasiya və asimmetriya əmsallarının qiymətləri həqiqi qiymətlə müqayisədə bir qədər kiçik alınır. Adətən, bu metoddan  $C_v < 0,5$  olduqda istifadə olunur.  $C_v > 0,5$  olduqda, parametrlərin qiymətləndirilmə dəqiqliyi əhəmiyyətli dərəcədə azalır və bu səbəbdən ən çox həqiqətəbənzər metoddan istifadə etmək tövsiyə olunur.

**Misal 3.8.** 1954-1985-ci illəri əhatə edən dövrün maksimal su sərflərinin müşahidə sırasına əsasən (cədvəl 3.2) paylanması parametrlərini momentlər üsulu ilə qiymətləndirin.

**Həlli:** Parametrləri bu üsulla qiymətləndirmək üçün aşağıdakı düsturlardan istifadə olunur. Cədvəl 3.4-də bu aralıq hesablamalar verilmişdir.

#### Cədvəl 3.4

Maksimal su sərflərinin parametrlərinin hesablanması

| Nö   | $Q_i, \text{m}^3/\text{s}$ | $k_i = Q_i/\bar{Q}$ | $k_i - 1$ | $(k_i - 1)^2$ | $(k_i - 1)^3$ |
|------|----------------------------|---------------------|-----------|---------------|---------------|
| 1    | 71.4                       | 1.22                | 0.22      | 0.0484        | 0.01065       |
| 2    | 22.1                       | 0.38                | -0.62     | 0.3844        | -0.23833      |
| 3    | 32.7                       | 0.56                | -0.44     | 0.1936        | -0.08518      |
| ...  | ...                        | ...                 | ...       | ...           | ...           |
| 30   | 39.2                       | 0.67                | -0.33     | 0.1089        | -0.03594      |
| 31   | 66.0                       | 1.13                | 0.13      | 0.0169        | 0.00219       |
| 32   | 84.4                       | 1.45                | 0.456     | 0.2025        | 0.09112       |
| Cəm  | 1868                       | 32                  | 0.00      | 12.698        | 6.857         |
| Orta | 58.4                       | 1                   | 0         |               |               |

Cədvəl 3.4-ün məlumatlarına və aşağıdakı düsturlara əsasən paylanma parametrlərinin qiymətləri hesablanır:

$$\overline{Q} = \frac{\sum_{i=1}^n Q_i}{n} = \frac{1868}{32} = 58.4 \text{ m}^3/\text{s}$$

$$C_v^* = \sqrt{\frac{\sum_{i=1}^n (k_i - 1)^2}{n-1}} = \sqrt{\frac{12.698}{31}} = 0.64$$

$$C_s^* = \sqrt{\frac{n \sum_{i=1}^n (k_i - 1)^3}{(n-1)(n-2) C_v^*}} = \frac{32 \cdot 6.857}{31 \cdot 30 \cdot 0.64^3} = 0.90$$

$$C_s / C_v = 1.41$$

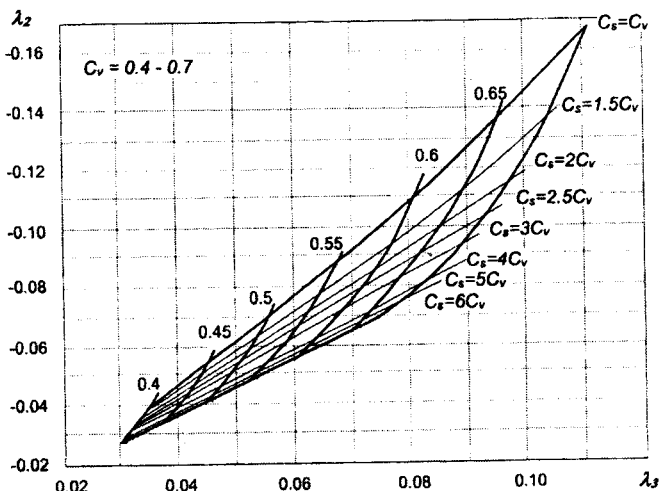
**Ən çox həqiqətəbənzər metod.** Praktikada bu metod əsasən üç parametrli qamma paylanmanın parametrlərini hesablamaq üçün istifadə olunur. Əvvəlcə, müşahidə məlumatlarına görə köməkçi  $\lambda_2$  və  $\lambda_3$  statistikalar təyin edilir:

$$\lambda_2 = \frac{\sum_{i=1}^n \lg k_i}{n-1} , \quad (3.20)$$

$$\lambda_3 = \frac{\sum_{i=1}^n k_i \lg k_i}{n-1} , \quad (3.21)$$

burada  $k_i = Q_i / \overline{Q}$  - modul əmsalları;  $\overline{Q}$  - sıranın orta qiymətidir.

Sonra  $\lambda_2$  və  $\lambda_3$  statistikalarına görə xüsusi nomogrammadan (şəkil 3.12)  $C_v$  və  $C_s$  tapılır.



*Şəkil 3.12. Üç parametrlı qamma paylanması parametrlərini ən çox həqiqətəbənzər üsul ilə qiymətləndirmək üçün nomogramma*

Parametrlər bu metodla hesablandıqda, sıranın ehtimalı daha böyük olan orta həddləri nisbətən böyük çəki ilə nəzərə alınır. Momentlər metodunda isə sıranın kənar həddlərinin çəkisi daha böyük olur.

Ən çox həqiqətəbənzər metodun əsas çatışmazlığı ondan ibarətdir ki, bu metodu tətbiq etmək üçün paylanması qanunu dəqiq bilmək tələb olunur. Hidroloji praktikada isə bu həmişə mümkün olmur.

Rusiyada bu metodun nomogrammları Kritski-Menkelin paylanması üçün işlənmişdir. Lakin praktikada bəzən  $\lambda_2$  və  $\lambda_3$  statistikalarının qiymətləri nomogrammalardan kənara çıxır, yəni variasiya və asimmetriya əmsallarını təyin etmək mümkün olmur. Belə hallarda ən çox həqiqətəbənzər metodun qısalılmış variantından istifadə edilir. Bu variantda  $\lambda_3$  statistikası hesablanır və onun əvəzinə  $C_s / C_v$  nisbətinin orta rayon qiymətindən istifadə olunur. Məlum  $\lambda_2$  və  $C_s / C_v$  nisbətinə görə nomogram-

madan variasiya əmsali tapılır.

Qısalılmış ən çox həqiqətəbənzər metod Pirsonun III tip əyriləri üçün də istifadə olunur. Bu paylanma üçün variasiya əmsalının  $\lambda_2$  və  $C_s / C_v$  nisbətindən asılılığı cədvəl şəkilində tərtib edilmişdir (Сикан, 2007).

**Misal 3.9.** 1954-1985-ci illəri əhatə edən dövrün maksimal su sərflərinin müşahidə sırasına əsasən (cədvəl 3.2) paylanmanın parametrlərini ən çox həqiqətəbənzər üslub ilə qiymətləndirin.

**Həlli:** 1. Sıranın orta qiyməti və  $\lambda_2$ ,  $\lambda_3$  statistikalarını hesablamaq üçün köməkçi cədvəl (cədvəl 3.5) tərtib olunur.

**Cədvəl 3.5**

Paylanma parametrlərinin qiymətlərini ən çox həqiqətəbənzər üslub ilə hesablamaq üçün köməkçi cədvəl

| Nö   | $Q_i, \text{m}^3/\text{s}$ | K    | $\lg(k)$ | $k \cdot \lg(k)$ |
|------|----------------------------|------|----------|------------------|
| 1    | 71.4                       | 1.22 | 0.086    | 0.1054           |
| 2    | 22.1                       | 0.38 | -0.4202  | -0.1435          |
| 3    | 32.7                       | 0.56 | -0.2518  | -0.1410          |
| ...  | ...                        | ...  | ...      | ...              |
| 30   | 39.2                       | 0.67 | -0.1739  | -0.1165          |
| 31   | 66.0                       | 1.13 | 0.0531   | 0.0600           |
| 32   | 84.4                       | 1.45 | 0.1614   | 0.2340           |
| Cəm  | 1868                       |      | -2.697   | 2.573            |
| Orta | 58.4                       |      |          |                  |

1. Aşağıdakı düsturlara görə  $\lambda_2$  və  $\lambda_3$  statistikaları hesablanır:

$$\lambda_2 = \frac{\sum_{i=1}^n \lg k_i}{n-1} = \frac{-2.697}{31} = 0.087, \lambda_3 = \frac{\sum_{i=1}^n k_i \lg k_i}{n-1} = \frac{2.573}{31} = 0.083$$

3.  $\lambda_2$  və  $\lambda_3$ -ün qiymətlərinə görə nomogrammdan istifadə etməklə (şəkil 3.12) paylanmanın parametrləri təyin edilir:

$$C_v = 0.67; C_s / C_v = 2.8.$$

**L-momentlər metodu.** Artıq qeyd olunduğu kimi, hidrometeoroloji müşahidə sıraları qısa olduğuna görə, adətən onların üçüncü və daha yüksək momentləri qiymətləndirilmir. Bu səbəbdən, təsadüfi kəmiyyətlərin paylanma funksiyalarının parametrlərini hesablamaq üçün L-momentlər adlanan alternativ qiymətləndirmə sistemi təklif olunmuşdur. Paylanmanın  $r$  dərəcəli ehtimallı-çəki momenti,  $\beta_r$ , aşağıdakı düstura görə təyin olunur:

$$\beta_r = \int_{-\infty}^{\infty} x[F_X(x)]^r f_X(x) dx, \quad (3.22)$$

burada  $F_X$  və  $f_X$ -müvafiq olaraq,  $X$  təsadüfi kəmiyyətinin integrallı paylanma funksiyası və ehtimalının sıxlıq funksiyasıdır. L-momentlər,  $\lambda_r$ ,  $r$  dərəcəli ehtimallı-çəki momentlərinin,  $\beta_r$ , xətti kombinasiyalarıdır və ilk dörd L-moment aşağıdakı kimi hesablanır:

$$\lambda_1 = \beta_0, \quad (3.23)$$

$$\lambda_2 = 2\beta_1 - \beta_0, \quad (3.24)$$

$$\lambda_3 = 6\beta_2 - 6\beta_1 + \beta_0, \quad (3.25)$$

$$\lambda_4 = 20\beta_3 - 30\beta_2 + 12\beta_1 - \beta_0. \quad (3.26)$$

Ehtimallı-çəki momentlər  $F_X$  funksiyasının artan qiymətlərini nəzərə alıǵına və  $F_X \leq 1$  olduğuna görə, ehtimallı-çəki momentləri və L-momentlərin qiymətlərinin müşahidə sırasının ekstremal (ən böyük və ya ən kiçik) həddlərinə həssaslığı çox zəifdir. Beləliklə, hidroloji dəyişənlərin paylanma funksiyalarının parametrlərini qiymətləndirdikdə momentləri hesablamaq üçün L-momentlər metodunun tətbiqi daha məqsədə uyğundur.

Tutaq ki,  $X$  təsadüfi kəmiyyəti üzərində  $N$  sayda müşahidə yerinə yetirilmiş və sıra tərtib olunmuşdur. Bu sıranın paylanma funksiyasının L-momentlərini qiymətləndirmək üçün əvvəlcə dəyişənlərin artan sırası  $x_1 \leq x_2 \leq x_3 \leq \dots \leq x_N$  tərtib olunur və sonra ehtimallı-çəki momentləri hesablanır (Hosking and Wallis, 1997):

$$b_0 = \frac{1}{N} \sum_{i=1}^N x_i, \quad (3.27)$$

$$b_1 = \frac{1}{N(N-1)} \sum_{i=2}^N (i-1)x_i, \quad (3.28)$$

$$b_2 = \frac{1}{N(N-1)(N-2)} \sum_{i=3}^N (i-1)(i-2)x_i, \quad (3.29)$$

$$b_3 = \frac{1}{N(N-1)(N-2)(N-3)} \sum_{i=4}^N (i-1)(i-2)(i-3)x_i, \quad (3.30)$$

Müşahidə sırası üçün ilk dörd L-moment qiymətləndirildikdə, əvvəlcə (3.27)-(3.30) düsturlarına görə  $b_0$ ,  $b_1$ ,  $b_2$ , və  $b_3$  (empirik ehtimallı-çəki momentləri) təyin olunur, sonra isə  $\beta_0=b_0$ ,  $\beta_1=b_1$ ,  $\beta_2=b_2$  və  $\beta_3=b_3$  əvəzləmələrini edərək (3.23)-(3.26) düsturlarına görə  $\lambda_1$ - $\lambda_4$  momentləri hesablanır.

**Misal 3.10.** 1946-1970-ci illər üçün çayın maksimal su sərfələri aşağıdakı cədvəldə verilir:

| Il   | Maksimal su sərfi, m <sup>3</sup> /s | Il   | Maksimal su sərfi, m <sup>3</sup> /s | Il   | Maksimal su sərfi, m <sup>3</sup> /s |
|------|--------------------------------------|------|--------------------------------------|------|--------------------------------------|
| 1946 | 126                                  | 1955 | 3                                    | 1964 | 11                                   |
| 1947 | 178                                  | 1956 | 2                                    | 1965 | 1122                                 |
| 1948 | 251                                  | 1957 | 141                                  | 1966 | 2                                    |
| 1949 | 35                                   | 1958 | 282                                  | 1967 | 1259                                 |
| 1950 | 71                                   | 1959 | 112                                  | 1968 | 158                                  |
| 1951 | 501                                  | 1960 | 40                                   | 1969 | 126                                  |
| 1952 | 891                                  | 1961 | 63                                   | 1970 | 25                                   |
| 1953 | 18                                   | 1962 | 398                                  |      |                                      |
| 1954 | 2239                                 | 1963 | 708                                  |      |                                      |

Bu maksimal su sərfələri loq-normal paylanma qanununa tabedir.

L-momentlər metodundan istifadə edərək sıranın orta qiyməti və standart meyletməsini hesablayın və alınmış qiymətləri momentlər metodu ilə hesablanmış müvafiq qiymətlərlə müqayisə edin.

**Həlli:** Hesablamaların əvvəl hissəsinin nəticələri cədvəldə verilir:

| <i>i</i> | $Q_i$ ( $\text{m}^3/\text{s}$ ) | $(1-i)Q_i$ | $\ln Q_i$ | $(\ln Q_i - \mu_Y)^2$ |
|----------|---------------------------------|------------|-----------|-----------------------|
| 1        | 2                               |            | 0.693     | 15.314                |
| 2        | 2                               | 2          | 0.693     | 15.314                |
| 3        | 3                               | 6          | 1.099     | 12.305                |
| 4        | 11                              | 33         | 2.398     | 4.878                 |
| 5        | 18                              | 72         | 2.890     | 2.945                 |
| 6        | 35                              | 175        | 3.555     | 1.105                 |
| 7        | 35                              | 210        | 3.555     | 1.105                 |
| 8        | 40                              | 280        | 3.689     | 0.842                 |
| 9        | 63                              | 504        | 4.143     | 0.215                 |
| 10       | 71                              | 639        | 4.263     | 0.118                 |
| 11       | 112                             | 1120       | 4.718     | 0.013                 |
| 12       | 126                             | 1386       | 4.836     | 0.053                 |
| 13       | 126                             | 1512       | 4.836     | 0.053                 |
| 14       | 141                             | 1833       | 4.949     | 0.117                 |
| 15       | 158                             | 2212       | 5.063     | 0.208                 |
| 16       | 178                             | 2670       | 5.182     | 0.331                 |
| 17       | 251                             | 4016       | 5.525     | 0.844                 |
| 18       | 282                             | 4794       | 5.642     | 1.072                 |
| 19       | 398                             | 7164       | 5.986     | 1.904                 |
| 20       | 501                             | 9519       | 6.217     | 2.592                 |
| 21       | 708                             | 14.160     | 6.562     | 3.826                 |
| 22       | 891                             | 18.711     | 6.792     | 4.778                 |
| 23       | 1122                            | 24.684     | 7.023     | 5.839                 |
| 24       | 1259                            | 28.957     | 7.138     | 6.409                 |
| 25       | 2239                            | 53.736     | 7.714     | 9.655                 |
| Cəm      | 8772                            | 178.395    | 115.163   | 91.836                |

Birinci dərəcəli ehtimalli-çəki momenti,  $b_0$  düstur (3.27)-yə görə təyin olunur.  $b_0 = \frac{1}{N} \sum_{i=1}^N Q_i = \frac{1}{25} \cdot (8772) = 350.9$

Yuxarıdakı cədvəlin 3-cü sütununda göstərilmiş  $(1-i)Q_i$  kəmiyyətinin yekun cəmi nəzərə alınmaqla düstur (3.28)-ə görə ikinci dərəcəli ehtimalli-çəki momenti,  $b_1$  hesablanır:

$$b_1 = \frac{1}{N(N-1)} \sum_{i=2}^N (i-1)Q_i = \frac{1}{25(25-1)} \cdot (178,395) = 297.3$$

Birinci L-moment,  $\lambda_1$ , düstur (3.23)-ə görə

$$\lambda_1 = b_0 = 350.9$$

və ikinci L-moment,  $\lambda_2$ , isə düstur (3.24)-ə görə hesablanır.

$$\lambda_2 = 2b_1 - b_0 = 2(297.3) - 350.9 = 243.8$$

Birinci və ikinci L-momentlər,  $\lambda_1$  və  $\lambda_2$ , ilə loq-normal paylanmasıın parametrləri,  $\mu_Y$ ,  $\sigma_Y$  (burada  $y = \ln Q$ ) arasında asılılıq aşağıdakı kimidir:

$$\lambda_1 = Y = \exp\left(\mu_Y + \frac{\sigma_Y^2}{2}\right),$$

$$\lambda_2 = Y = \exp\left(\mu_Y + \frac{\sigma_Y^2}{2}\right) \operatorname{erf}\left(\frac{\sigma_Y}{2}\right),$$

burada  $\operatorname{erf}(\sigma/2)$  xəta funksiyasıdır (cədvəl 3.6).

$\lambda_1$ -in qiymətindən istifadə etməklə  $\lambda_2$ -nin ifadəsindən əvvəlcə  $\operatorname{erf}(\sigma_Y/2)$ , sonra isə cədvəl 3.6-ya görə  $\sigma_Y$  tapılır:

Sonra isə  $\mu_Y$  təyin olunur:  $\mu_Y = 4.81$ .

Yuxarıdakı cədvəlin müvafiq olaraq 4-cü cə 5-ci sütunlarında verilmiş  $\ln Q_i$  və  $(\ln Q_i - \mu_Y)^2$  kəmiyyətlərinin cəmlərini nəzərə almaqla momentlər metodu ilə loq-normal paylanmasıın orta qiyməti ( $\mu_Y$ ) və standart meyletməsi ( $\sigma_Y$ ) hesablanır.

$$\mu_Y = \frac{1}{N} \sum_{i=1}^N \ln Q_i = \frac{1}{25} \cdot (115.163) = 4.61,$$

$$\sigma_Y = \sqrt{\frac{1}{N-1} \sum_{i=1}^N (\ln Q_i - \mu_Y)^2} = \sqrt{\frac{1}{25-1} 913.836} = 1.96$$

Beləliklə, verilmiş maksimal su sərfələri sırasının L-momentlər metodu və momentlər metodu ilə hesablanmış parametrləri bir qədər fərqlənir. L-momentlər metodu ilə hesablanmış qiymətlər daha etibarlı olduğu üçün, üstünlük onlara verilməlidir.

Belə hesab olunur ki, L-momentlər metodu və ən çox həqiqətəbənzər metodun effektivlikləri çox yaxındır.

Cədvəl 3.6

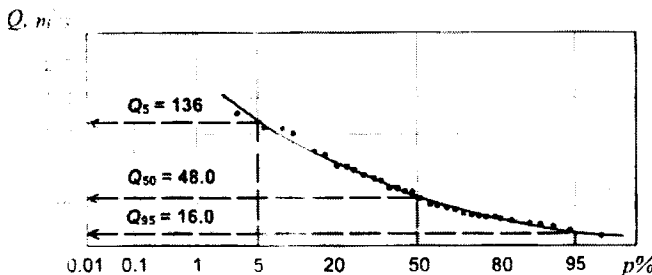
## Xəta funksiyası

| $z$ | $erf(z)$ | $z$      | $erf(z)$ |
|-----|----------|----------|----------|
| 0.0 | 0.00000  | 1.6      | 0.97635  |
| 0.1 | 0.11246  | 1.7      | 0.98379  |
| 0.2 | 0.22270  | 1.8      | 0.98909  |
| 0.3 | 0.32863  | 1.9      | 0.99279  |
| 0.4 | 0.42839  | 2.0      | 0.99532  |
| 0.5 | 0.52050  | 2.1      | 0.99702  |
| 0.6 | 0.60386  | 2.2      | 0.99814  |
| 0.7 | 0.67780  | 2.3      | 0.99886  |
| 0.8 | 0.74210  | 2.4      | 0.99931  |
| 0.9 | 0.79691  | 2.5      | 0.99959  |
| 1.0 | 0.84270  | 2.6      | 0.99976  |
| 1.1 | 0.88021  | 2.7      | 0.99987  |
| 1.2 | 0.91031  | 2.8      | 0.99992  |
| 1.3 | 0.93401  | 2.9      | 0.99996  |
| 1.4 | 0.95229  | 3.0      | 0.99998  |
| 1.5 | 0.96611  | $\infty$ | 1.00000  |

**Qraf-analitik metod (kvantillər metodu).** Paylanma parametrlərinin qraf-analitik metodla hesablanmasında həm qrafiki, həm də analitik analiz istifadə olunur. Bu metodu tətbiq etdikdə istifadə olunacaq analitik əyrinin tipi əvvəlcədən məlum olmalıdır.

Pirsonun III tip əyirləri üçün bu metodu G.A.Alekseyev (1960-cı il) işləmişdir.

Əvvəlcə, ehtimallar damasında empirik nöqtələr qeyd edilir (Şəkil 3.13).



**Şəkil 3.13. Empirik təminat əyrisinə görə dayaq ordinatlarının təyiini sxemi**

Ordinat oxunda modul əmsalları deyil, hidroloji xarakteristikənin (məsələn, su sərflərinin) öz qiymətləri göstərilməlidir. Sonra empirik nöqtələr səlis əyri ilə ortalaşdırılır. Bu əyridən üç dayaq ordinat (5, 50 və 95%-li təminatlar üçün) təyin olunur:  $Q_5$ ,  $Q_{50}$  və  $Q_{95}$ .

Növbəti hesablamalarda paylanması parametrlərinin elə qiymətləri ( $\bar{Q}, C_v, C_s$ ) tapılır ki, bu qiymətlərdə analitik əyri  $Q_5$ ,  $Q_{50}$  və  $Q_{95}$  nöqtələrindən keçsin. Bunun üçün aşağıdakı düsturlardan istifadə olunur:

$$Q_5 = \sigma_Q \cdot t_5 + \bar{Q}, \quad (3.31)$$

$$Q_{50} = \sigma_Q \cdot t_{50} + \bar{Q}, \quad (3.32)$$

$$Q_{95} = \sigma_Q \cdot t_{95} + \bar{Q}, \quad (3.33)$$

burada  $t_5, t_{50}, t_{95}$  - Pirsonun III tip əyrisinin normalaşdırılmış ordinatları;  $\sigma_Q$  - sıranın orta kvadratik meyl etməsi;  $\bar{Q}$  - sıranın orta qiymətidir. Beləliklə, üç tənlik və qiymətləri məlum olmayan üç parametr var.

Asimetriya əmsalını qiymətləndirmək üçün əvvəlcə, əyintilik əmsalı (S) hesablanır:

$$S = \frac{Q_p + Q_{100-p} - 2Q_{50}}{Q_5 - Q_{95}}. \quad (3.34)$$

Birinci dayaq ordinatın təminatı  $P=5\%$  olduğu üçün:

$$S = \frac{Q_5 + Q_{95} - 2Q_{50}}{Q_5 - Q_{95}}. \quad (3.35)$$

(3.31)-(3.33) ifadələrini axırıncı düsturda yerinə yazırıq:

$$S = \frac{t_5 + t_{95} - 2t_{50}}{t_5 - t_{95}}. \quad (3.36)$$

Pirsonun III tip normalasdırılmış paylanması üçün əyintilik əmsalının asimetriya əmsalından birmənli asılılığı mövcuddur. Beləliklə, əyintilik əmsalını hesablayıb, sonra asimetriya əmsalını təyin etmək olar.

Sıranın orta kvadratik meyl etməsi, orta qiyməti və variasiya əmsalı, müvafiq olaraq aşağıdakı düsturlara görə hesablanır:

$$\sigma_Q = \frac{Q_5 - Q_{95}}{t_5 - t_{95}} ; \quad (3.37)$$

$$\bar{Q} = Q_{50} - \sigma_Q t_{50} ; \quad (3.38)$$

$$C_v = \frac{\sigma_Q}{\bar{Q}} . \quad (3.39)$$

Loqarifmik normal paylanması üçüncü parametri (**a**) təminat əyrisinin formasına təsir göstərmir. Buna görə bu paylanması üçün əyintilik əmsalının asimetriya əmsalından birmənli asılılığı mövcuddur. Beləliklə, bu paylanması üçün də Pirsonun III tip əyrilərinə tətbiq edilən yanaşma istifadə oluna bilər. Metodika yalnız onunla fərqlənir ki, əlavə olaraq **a** parametri hesablanmalıdır.

G.A.Alekseyev göstərmişdir ki, **a** parametri ilə təminat əyrisinin dayaq ordinatları arasındaki əlaqə aşağıdakı düsturla ifadə olunur:

$$a = \frac{Q_5 Q_{95} - Q_{50}^2}{Q_5 + Q_{95} - 2Q_{50}} . \quad (3.40)$$

Qalan hesablamalar standart sxem üzrə yerinə yetirilir:

- düstur (3.35)-ə görə əyintilik əmsalı qiymətləndirilir;
- əyintilik əmsalına görə loqarifmik normal paylanması cədvəlindən üç normalasdırılmış dayaq ordinatları və asimetriya əmsalı təyin olunur;
- (3.37)-(3.39) düsturlarına görə  $\sigma_Q, \bar{Q}, C_v$  hesablanır.

Kritski-Menkelin əyriləri əsasında qraf-analitik metodun tətbiq metodikası 1996-cı ildə Rusiya Dövlət Hidrometeorologiya Universitetinin Qurunun hidrologiyası kafedrasında işlənmişdir.

Bu metodikaya görə, standart yanaşmadan fəqli olaraq adı

əyintilik əmsalı,  $S$ , ilə yanaşı,  $S_2$ , əmsalı da hesablanır:

$$S_2 = \frac{2Q_{50}}{Q_5 - Q_{95}} = \frac{2K_{50}}{K_5 - K_{95}}. \quad (3.41)$$

$C_s / C_v$  nisbətinin konkret qiymətləri üçün  $S_2$  və  $S$  arasında birmənalı əlaqə mövcuddur. Bu əlaqə əsasında xüsusi nomogramma hazırlanmışdır.

Beləliklə,  $S$  və  $S_2$  əmsallarını hesablayıb, nomogrammadan  $C_s / C_v$  nisbətini təyin etmək olar.  $C_s / C_v$  nisbətinin qiymətini 0,5-ə kimi yuvarlaqlaşdırmaq lazımdır.

Əyintilik əmsalinin böyük qiymətləri ( $S > 0,6$ )  $C_v > 1$  olduğunu göstərir. Bu halda  $C_s / C_v$  nisbətinin seçmə qiyməti çox dayanıqsız olduğu üçün, onu qraf-analitik metodla təyin etmək məqsədə uyğun deyildir və bu nisbətin orta rayon qiymətindən istifadə etmək olar.

$C_s / C_v$  nisbətinin konkret qiyməti üçün variasiya əmsalı ilə əyintilik əmsalı arasında birmənalı əlaqə mövcuddur.  $C_s / C_v$  məlum olduqda, xüsusi cədvəldən variasiya əmsalı təyin oluna bilər.

Sıranın orta qiymətini hesablamaq üçün Kritski-Menkel əyrisinin 50% təminatlı modul əmsalı,  $K_{50}$ , tapılır. Onda:

$$\bar{Q} = \frac{Q_{50}}{K_{50}}. \quad (3.42)$$

Ümumiyyətlə, qraf-analitik metod kifayət qədər sadə və əyanıdır. Lakin bu metodu ehtiyatla tətbiq etmək lazımdır, çünkü empirik əyrinin səlisləşdirilməsi subyektiv xarakter daşıyır və müəyyən tacrübə tələb edir.

**Misal 3.11.** Maksimal su sərflərinin müşahidə sırasına əsasən (cədvəl 3.2) paylanması parametrlərini qraf-analitik üsul ilə qiymətləndirir. Analitik təminat əyrisi kimi Pirsonun III tip əyrisindən istifadə edin.

**Həlli:** 1. Sıra azalma qaydasında düzülür və  $P = \frac{m}{n+1} \cdot 100\%$  düsturuna görə empirik təminat əyrisinin ordinatları hesablanır.

2. Mülaim asimmetriyalı ehtimal damasında empirik təminat əyrisi qurulur (şəkil 3.13).

3. Hamarlaşdırılmış empirik təminat əyrisinin dayaq ordinatları təyin edilir:  $Q_5^* = 136$ ;  $Q_{50}^* = 46$ ;  $Q_{95}^* = 16$ .

4. Əyrintilik əmsalı hesablanır:

$$S^* = (Q_5 + Q_{95} - 2Q_{50}) / (Q_5 - Q_{95}) = (136 + 16 - 2 \cdot 48) / (136 - 16) = 0.47$$

5. Əyrintilik əmsalına görə xüsusi cədvələ əsasən Pirsonun III tip əyrisinin üç normalaşdırılmış ordinatı və asimetriya əmsalı təyin edilir:

$$t_5 = 1,98; t_{50} = -0,26; t_{95} = -1,07; C_s^* = 1.67$$

6. Aşağıdakı düstura görə orta kvadratik meyletmə hesablanır:

$$\sigma_Q = (Q_5 - Q_{95}) / (t_5 - t_{95}) = (136 - 16) / (1.98 + 1.07) = 39.3$$

7. Riyazi gözləmənin qiyməti hesablanır:

$$\bar{Q} = Q_{50} - \sigma_Q^* \cdot t_{50} = 46 - 39.3(-0.26) = 58.2$$

8. Variasiya əmsalının ( $C_v$ ) qiyməti hesablanır:

$$C_v^* = \sigma_Q^* / \bar{Q} = 39.3 / 58.2 = 0.68$$

9. Beləliklə, verilmiş sıranın əsas parametrləri aşağıdakılardır:

$$\bar{Q} = 58.2; C_v^* = 0.68; C_s^* = 1.67; C_s^* / C_v^* = 2.46$$

**Qrafiki metod.** Paylanması parametrləri qrafiki metodla qiymətləndirildikdə, istifadə olunacaq analitik əyrinin tipi əvvəlcədən məlum olmalıdır. Bu üsul həm iki parametrlı, həm də üç parametrlı paylanması əyriləri üçün istifadə oluna bilər.

Üç parametrlı əri üçün  $C_s$  və  $C_v$  əmsallarının müxtəlif nisbətlərində analitik əyrini düzləndirən ehtimallar damaları istifadə olunur. Ehtimallar damasında modul əmsallarına görə empirik təminat əyrisi qurulur. Yekun hesablamalar üçün düz xətt şəkilini alan empirik təminat əyrisinə uyğun  $C_s / C_v$  nisbəti qəbul edilir. Alınmış düz xəttin üfüqi xəttlə əmələ gətirdiyi bucaq variasiya əmsalından asılıdır. Bunu nəzərə alaraq ehtimallar damasının yuxarı sol və aşağı sağ künclərində  $C_v$  şkalası qurulur (şəkil 3.14).

**Misal 3.12.** Maksimal su sərfərinin müşahidə sırasına əsasən

(cədvəl 3.2) paylanmanın parametrlərini qrafiki üsulla qiymətləndirin. Analitik təminat əyrisi kimi Kritski-Menkel əyrisindən istifadə edin.

**Həlli:** 1. Riyazi gözləmənin qiyməti hesablanır:

$$\bar{Q} = \frac{\sum_{i=1}^n Q_i}{n} = \frac{1868}{32} = 58.4$$

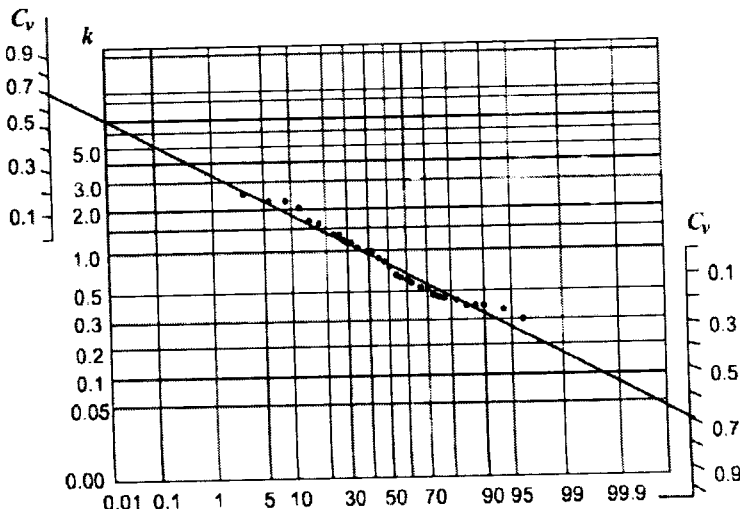
2.  $k_i = Q_i / \bar{Q}$  düsturuna əsasən modul əmsalları hesablanır.

3. Modul əmsalları sırası azalan qaydada düzülür və

$$P = \frac{m}{n+1} \cdot 100\% \text{ düsturuna əsasən empirik təminat əyrisinin ordinatları hesablanır.}$$

4. Kritski-Menkel əyrisini düzləndirən xüsusi ehtimal damalarında beş dəfə empirik təminat əyriləri qurulur ( $C_s / C_v = 1; 1.5; 2.0; 3.0; 4.0$  üçün).

5. Hesablamlar üçün  $C_s / C_v = 3$  qiymətini qəbul edirik, beləki, bu nisbətdə ehtimal damasında empirik nöqtələr düz xətt boyunca qruplaşırlar (şəkil 3.14).



**Şəkil 3.14. Kritski-Menkelin əyrisini düzləndirən ehtimallar daması və təminat əyriləri ( $C_s / C_v = 3$ )**

6. Nöqtələri ortalaşdırın düz xətt keçirilir və ehtimal dama-sının künclərindəki şkalalara əsasən variasiya əmsalı təyin edilir  $C_v^* = 0.70$ .

Beləliklə, verilmiş sıranın əsas parametrləri aşağıdakılardır:

$$\bar{Q} = 58.4; C_v^* = 0.70; (C_s/C_v)^* = 3$$

və müvafiq olaraq  $C_s^* = 2.1$ .

Beləliklə, qrafiki metod paylanması variasiya əmsalı və  $C_s/C_v$  nisbətini təyin etməyə imkan verir. Sıranın orta qiyməti momentlər metodunun məlum düsturuna görə hesablanır.

### 3.3.3. Tarixi maksimumların nəzərə alınması və qarantiyalı düzəliş

Çox nadir hallarda təkrarlanan tarixi daşqınların maksimal su sərfəri haqqında məlumatlardan istifadə etməklə təminat əyrilərinin parametrlərini dəqiqləşdirmək olar. Əgər, belə maksimumlar hidroloji müşahidə məntəqəsində qeydə alınmamışlarsa, onlar yüksək su səviyyələrinin izlərinə, arxiv və ədəbiyyat mənbələrinə, qonşu çayların məlumatlarına görə və ya yaşlı insanlarla sorğu nəticəsində təyin oluna bilər. Tarixi maksimumlar haqqında müxtəlif mənbələrdən alınmış məlumatlar ətraflı təhlil və müqayisə olunmalıdır. Tarixi səviyyəyə müvafiq su sərfi sərfər əyrisinin ekstrapolyasiyası yolu ilə təyin edilir. Tarixi səviyyə haqqında məlumatın etibarlılığına əmin olmaq üçün məcranın dayanıqlığı qiymətləndirilməlidir.

Maksimal su sərfəri sıralarının parametrlərinin qiymətləndirilməsində tarixi maksimumun nəzərə alınma metodunu Kritski və Menkel 1960-cı ildə təklif etmişlər və bu metod hazırda Rusiyada hidroloji xarakteristikaların hesablanması üzrə normativ sənədə daxil edilmişdir. Əgər, yalnız bir tarixi maksimum haqqında məlumat varsa və o, müşahidə sırasına daxil deyilsə, onda təminat əyrisinin əsas parametrləri, olan  $\bar{Q}$  və  $C_v$ , həm momentlər, həm də təqribi ən çox həqiqətəbənzər metodları ilə hesablanıa bilər:

a) momentlər metodu:

$$\bar{Q} = \frac{1}{N} \left( Q_N + \frac{N-1}{n} \sum_{i=1}^n Q_i \right), \quad (3.43)$$

$$C_v = \sqrt{\frac{1}{N} \left[ \left( \frac{Q_n}{\bar{Q}} - 1 \right)^2 + \frac{N-1}{n-1} \sum_{i=1}^n \left( \frac{Q_i}{\bar{Q}} \right)^2 \right]} \quad (3.44)$$

b) təqribi ən çox həqiqətəbənzər metod:

$$\lambda_2 = \frac{1}{N} \left( \lg \frac{Q_N}{\bar{Q}} + \frac{N-1}{n-1} \sum_{i=1}^n \lg \frac{Q_i}{\bar{Q}} \right) \quad (3.45)$$

$$\lambda_3 = \frac{1}{N} \left( \frac{Q_N}{\bar{Q}} \lg \frac{Q_N}{\bar{Q}} + \frac{N-1}{n-1} \sum_{i=1}^n \frac{Q_i}{\bar{Q}} \lg \frac{Q_i}{\bar{Q}} \right). \quad (3.46)$$

Əgər, yalnız bir tarixi maksimum varsa və o müşahidə sırasına daxildirsə, onda hesablamalar aşağıdakı düsturlara görə yerinə yetirilir:

a) momentlər metodu:

$$\bar{Q} = \frac{1}{N} \left( Q_N + \frac{N-1}{n-1} \sum_{i=1}^{n-1} Q_i \right), \quad (3.47)$$

$$C_v = \sqrt{\frac{1}{N} \left[ \left( \frac{Q_n}{\bar{Q}} - 1 \right)^2 + \frac{N-1}{n-2} \sum_{i=1}^{n-1} \left( \frac{Q_i}{\bar{Q}} \right)^2 \right]} \quad (3.48)$$

b) təqribi ən çox həqiqətəbənzər metod:

$$\lambda_2 = \frac{1}{N} \left( \lg \frac{Q_N}{\bar{Q}} + \frac{N-1}{n-2} \sum_{i=1}^{n-1} \lg \frac{Q_i}{\bar{Q}} \right), \quad (3.49)$$

$$\lambda_3 = \frac{1}{N} \left( \frac{Q_N}{\bar{Q}} \lg \frac{Q_N}{\bar{Q}} + \frac{N-1}{n-2} \sum_{i=1}^{n-1} \frac{Q_i}{\bar{Q}} \lg \frac{Q_i}{\bar{Q}} \right). \quad (3.50)$$

Yuxarıdakı düsturlarda:  $\bar{Q}$ -maksimal axımın tarixi maksimum nəzərə alınmaqla təyin olunmuş norması;  $N$ -tarixi maksimumun

$Q_N$  ötülmədiyi illərin sayı;  $n$ -maksimal axımın müşahidə sırasının uzunluğuudur.

Tarixi maksimumun empirik təminatı aşağıdakı düstura görə təyin olunur:

$$P_{Q_N} = \frac{1}{N+1} \cdot 100\%. \quad (3.51)$$

Yuxarıda göstərilən düsturlar yalnız o zaman tətbiq oluna bilər ki, tarixi maksimum və onun ötülmədiyi illərin sayı haqqında məlumatlar etibarlı olsun.  $Q_N$  və  $N$ -nin ixtiyari təyini yolverilməzdir.

İki tarixi maksimum haqqında məlumat olduqda, onları nəzərə almaq üçün də düsturlar təklif edilmişdir (Владимиров, 1990).

Tarixi maksimumların nəzərə alınması maksimal su sərfərinin hesablanması dəqiqliyini əhəmiyyətli dərəcədə artırmağa imkan verir. Eyni zamanda kiçik təminatlı ( $P=1-2\%$ ) maksimal su sərfələri təminat əyrisi ekstrapolyasiya olunmadan təyin edilir. Lakin I sinifə aid edilən hidrotxeniki qurğuların uzun müddət qəzasız şəraitdə fəaliyyət göstərməsini və əhalinin təhlükəsizliyini təmin etmək üçün 0,1, hətta 0,01% təminatlı maksimal su sərfərini hesablamaya lazım gəlir. Bu halda müşahidə sırasının uzunluğunun kifayət qədər olmaması ilə bağlı hesablama xətalarını konpensasiya etmək üçün maksimal su sərfərinin çox kiçik təminatlı qiymətlərinə qarantiya düzəlişi əlavə edilir. Praktiki olaraq bu o deməkdir ki, dağılıması fəlakətlə nəticələnə bilən bütün hidrotxeniki qurğular qarantiya düzəlişi də nəzərə alınmaqla 0,01% təminatlı maksimal su sərfinin buraxılması üçün hesablanmalıdır.

Aydındır ki, müşahidə sırasına görə hesablanmış çox kiçik təminatlı maksimal su sərfi öz həqiqi qiymətindən kiçikdir və gələcəkdə müşahidə sırası uzandıqca, maksimal su sərfərinin qiymətləri də artacaq.

Məsələn, 1957-ci ildə Çirçik çayı üzərində Çarvak SES-nin lajihə tapşırığı hazırlananda tarixi mənbələrə və arxiv materiallarına görə  $1650 \text{ m}^3/\text{s}$  su sərfinin təminatı 1% qəbul olunmuşdu. Lakin 1959-cu ildə çayda daşqın zamanı  $1960 \text{ m}^3/\text{s}$  su qeydə

alınmış və bu səbəbdən 1% təminatlı maksimal su sərfinin əvvəlki qiyməti 30% artırılmışdır.

Qarantiyalı düzəliş,  $\Delta Q_{0,01\%}$ , aşağıdakı düstura görə təyin olunur:

$$\Delta Q_{0,01\%} = \frac{\alpha E_{0,01\%}}{\sqrt{N}} \cdot Q_{0,01\%}, \quad (3.52)$$

burada  $\alpha$ -çayın hidroloji öyrənilməsini xarakterizə edən əmsaldır; öyrənilmiş çaylar üçün  $\alpha = 1,0$ , qalan bütün çaylar üçün isə  $\alpha = 1,5$ ;

$N$ -çoxillik dövrə gətirilmə də nəzərə alınmaqla müşahidə illərinin sayı;  $E_{0,01\%}$ -0,01 % təminatlı maksimal su sərfinin təsadüfi orta kvadratik xətasını xarakterizə edən kəmiyyətdir (cədvəl 3.7).

Cədvəl 3.7

Qarantiyalı düzəlişlərin qiymətləri

| $C_s / C_v$                    | Variasiya əmsalları, $C_v$ |      |      |      |      |       |      |      |      |      |      |      |      |      |      |
|--------------------------------|----------------------------|------|------|------|------|-------|------|------|------|------|------|------|------|------|------|
|                                | 0.1                        | 0.2  | 0.3  | 0.4  | 0.5  | 0.6   | 0.7  | 0.8  | 0.9  | 1    | 1.1  | 1.2  | 1.3  | 1.4  | 1.5  |
| nisbəti                        |                            |      |      |      |      |       |      |      |      |      |      |      |      |      |      |
| Üç parametrlı qamma paylanması |                            |      |      |      |      |       |      |      |      |      |      |      |      |      |      |
| Ən çox həqiqətəbənzər metod    |                            |      |      |      |      |       |      |      |      |      |      |      |      |      |      |
| 2                              | 0.25                       | 0.45 | 0.60 | 0.75 | 0.88 | 0.96  | 1.05 | 1.14 | 1.22 | 1.30 | 1.38 | 1.46 | 1.54 | 1.60 | 1.67 |
| 3                              | 0.30                       | 0.50 | 0.75 | 1.00 | 1.18 | 1.130 | 1.43 | 1.55 | 1.68 | 1.78 | 1.90 | 2.00 | 2.10 | 2.24 | 2.33 |
| 4                              | 0.40                       | 0.70 | 1.00 | 1.30 | 1.48 | 1.60  | 1.74 | 1.88 | 2.00 | 2.15 | 2.27 | 2.40 | 2.58 | 2.65 | 2.77 |
| Momentlər metodu               |                            |      |      |      |      |       |      |      |      |      |      |      |      |      |      |
| 2                              | 0.25                       | 0.45 | 0.60 | 0.75 | 0.88 | 0.96  | 1.05 | 1.14 | 1.22 | 1.30 | 1.38 | 1.46 | 1.54 | 1.60 | 1.67 |
| 3                              | 0.30                       | 0.57 | 0.84 | 1.10 | 1.34 | 1.55  | 1.74 | 1.93 | 2.12 | 2.28 | 2.42 | 2.56 | 2.68 | 2.80 | 2.92 |
| 4                              | 0.40                       | 0.77 | 1.12 | 1.43 | 1.73 | 2.00  | 2.22 | 2.42 | 2.60 | 2.77 | 2.94 | 3.10 | 3.26 | 3.11 | 3.57 |
| Binomial paylanması            |                            |      |      |      |      |       |      |      |      |      |      |      |      |      |      |
| Momentlər metodu               |                            |      |      |      |      |       |      |      |      |      |      |      |      |      |      |
| 2                              | 0.25                       | 0.45 | 0.60 | 0.75 | 0.88 | 0.96  | 1.05 | 1.14 | 1.22 | 1.30 | 1.38 | 1.46 | 1.54 | 1.60 | 1.67 |
| 3                              | 0.28                       | 0.52 | 0.75 | 0.97 | 1.19 | 1.135 | 1.59 | 1.63 | 1.96 | 2.14 | 2.31 | 2.49 | 2.66 | 2.84 | 3.01 |
| 4                              | 0.30                       | 0.61 | 0.91 | 1.20 | 1.49 | 1.66  | 2.04 | 2.30 | 2.56 | 2.82 | 3.09 | 3.35 | 3.62 | 3.89 | 4.15 |

Cədvəl 3.7-dən göründüyü kimi,  $E_{0,01\%}$ -in kəmiyyəti analitik təminat əyrisinin tipindən və parametrlərinin təyini metodundan,  $C_v$  və  $C_s/C_v$  qiymətlərindən asılıdır.

Əgər, düzəliş,  $\Delta Q_{0,01\%}$ , əvvəlcə (düzəlişsiz) hesablanmış  $0,01\%$  təminatlı maksimal su sərfinin  $20\%-dən$  çoxdursa, onda o, elə  $20\%$  səviyyəsində saxlanılır.  $P=0,01\%$  təminatlı maksimal su sərfinin qarantiyalı düzəlişi nəzərə alınmaqla yekun qiyməti müşahidə edilmiş ən böyük su sərfindən kiçik olmamalıdır.

### 3.3.4. Paylanmanın seçmə parametrlərinin xətalarının qiymətləndirilməsi

Paylanma funksiyasının parametrlərinin qiymətləri müəyyən səpələnmə ilə səciyyələnən təsadüfi kəmiyyətlərdir. Başqa sözlə, eyni bir baş çoxluğun müxtəlif seçimləri üçün hesablanmış parametrlərin qiymətləri fərqlənir. Buna görə də hidroloji sıraların parametrlərinin xətaları qiymətləndirilir. Bu qiymətləndirilmədə istifadə olunan düsturlar, parametrin hesablanması metodundan asılıdır.

**Momentlər metodu.** Sıranın orta kəmiyyətinin mütləq xətası aşağıdakı düstura görə hesablanır:

$$\sigma_{\bar{Q}} = \frac{\sigma}{\sqrt{n}}, \quad (3.53)$$

burada  $\sigma$ -sıranın orta kvadratiki meyl etməsi;  $n$ -sıranın uzunluğudur.

Orta kəmiyyətin nisbi xətası:

$$E_{\bar{Q}} = \frac{\sigma_{\bar{Q}}}{Q} \cdot 100 = \frac{\sigma}{Q\sqrt{n}} \cdot 100\% = \frac{C_v}{\sqrt{n}} \cdot 100\%, \quad (3.54)$$

burada  $C_v$ -variasiya əmsalıdır.

Variasiya əmsalının mütləq və nisbi xətaları aşağıdakı düsturlara görə hesablanır:

$$\sigma_{C_v} = \frac{C_v \sqrt{1 + a C_v^2}}{\sqrt{2n}}, \quad (3.55)$$

$$E_{C_v} = \frac{\sqrt{1 + a C_v^2}}{\sqrt{2n}} \cdot 100\% \quad (3.56)$$

burada  $a = 2$  (normal paylanma üçün) və  $a = 1$  (iki parametrlı qamma paylanma üçün).

Məlumdur ki, iki parametrlı qamma paylanma üçün  $C_s/C_v = 2$ , normal paylanma üçün isə  $C_s=0$ . Hidroloji sıralar adətən mülayim müsbət asimmetriya ilə səciyyələndiklərinə görə, yuxarıdakı düsturlarda  $a = 1$  qəbul olunması məqsədə uyğun hesab edilir.

Düstur (3.55)-dən başqa, Y.Q.Bloxinovun düsturundan da istifadə olunur:

$$\sigma_{C_v} = \frac{Cv}{n + 4C_v^2} \sqrt{\frac{n(1 + C_v^2)}{2}}, \quad (3.57)$$

Bu düstur da iki parametrlı qamma paylanma üçün alınmışdır.

Asimetriya əmsalının xətalarını qiymətləndirmək üçün aşağıdakı düsturlar təklif olunmuşdur:

S.N.Kritski və M.F.Menkelin düsturları:

$$\sigma_{C_s} = \sqrt{\frac{6}{n}(1 + 6C_v^2 + 5C_v^4)}, \quad (3.58)$$

$$E_{C_s} = \frac{1}{C_s} \sqrt{\frac{6}{n}(1 + 6C_v^2 + 5C_v^4)} \cdot 100\%. \quad (3.59)$$

A.Ş.Reznikovskinin düsturları:

$$\sigma_{C_s} = \sqrt{\frac{6}{n}(1 + C_v^2)}, \quad (3.60)$$

$$E_{C_s} = \frac{1}{C_s} \sqrt{\frac{6}{n}(1 + C_v^2)} \cdot 100\%. \quad (3.61)$$

**Ən çox həqiqətəbənzər metod.** Sıranın orta kəmiyyəti və asimmetriya əmsalının mütləq və nisbi xətaları elə momentlər metodunda istifadə olunan (3.53)-(3.54) və (3.58)-(3.59) düsturlarına görə qiymətləndirilir.

Variasiya əmsalının xətalarını təqribi hesablamaq üçün aşağıdakı düsturlar tətbiq edilir:

$$\sigma_{C_v} = \frac{C_v}{\sqrt{2n}} \sqrt{\frac{3}{3 + C_v^2}}, \quad (3.62)$$

$$E_{C_v} = \sqrt{\frac{3}{2n(3 + C_v^2)}} \cdot 100\%. \quad (3.63)$$

Hidroloji hesablamalar praktikasında belə qəbul olunmuşdur ki, əgər, sıranın orta kəmiyyətinin nisbi xətası 10%-dən, variasiya əmsalınıninki isə 15%-dən azdırsa, onda sıranın parametrləri etibarlı hesablanmışdır.

Hidroloji sıralar, adətən qısa olduqları üçün asimmetriya əmsalının xətası böyük olur və buna görə də bu əmsalın qiyməti təyin olunduqda  $C_s/C_v$  nisbətinin orta rayon qiymətindən və ya fərdi yolla seçilmiş qiymətindən istifadə olunur.

**Kvantillər metodu.** Paylanmanın parametrləri bu metodla hesablandıqda mütləq və nisbi xətalar qiymətləndirilmir. Bu halda analitik əyri üçün aşağıdakı bərabərsizliyin ödənilməsi şərti istifadə oluna bilər:

$$|\bar{Q} - \bar{Q}_q| < 0,02 \bar{Q}, \quad (3.64)$$

burada  $\bar{Q}$  – faktiki sıraya görə hesablanmış orta qiymət;  $\bar{Q}_q$  – qrafanalitik metodla təyin olunmuş orta qiymətdir.

### 3.4. Axımın təminatlı qiymətlərinin hesablanması

Beləliklə, müşahidə məlumatları kifayət qədər olduqda axımın təminatlı qiymətlərinin hesablanması aşağıdakı ardıcılıqla yerinə yetirilir:

1. Müşahidə məlumatları genetik təhlil olunur.  $Q = f(H)$  əyrisinin (sərflər əyrisinin) ekstrapolyasiyasının etibarlılığı qiymətləndirilir. Məqsəd, kobud xətaları müəyyən etmək və müşahidə sırasının genetik bircinsliyinə əmin olmaqdır.

2. Müşahidə sırasının strukturunun statistik analizi yerinə yetirilir. Sıraların təsadüfiliyi, dispersiya və orta kəmiyyətə görə bircinsliyi yoxlanılır. Bu təhlildə statistik meyarlardan istifadə olunur. Məqsəd, hidroloji sıranın çoxillik tərəddüdlərini təsvir etmək üçün münasib riyazi modelin seçilməsidir. Hidroloji hesablamalarda adətən təsadüfi kəmiyyət modelindən, bəzən isə Markov zənciri modelindən istifadə olunur.

3. Müşahidə sırasının (paylanması) statistik parametrləri hesablanır. Sıranın orta qiyməti, variasiya və asimmetriya əmsalları momentlər, L-momentlər, ən çox həqiqətəbənzər və qrafoanalitik metodlarından birinə görə qiymətləndirilir.

4. Paylanması parametrlərinin xətaları qiymətləndirilir. Bu qiymətləndirmə paraqraf 3.3.4-də verilən düsturlara görə yerinə yetirilir. Sıranın orta qiymətinin xətası 10%-dən, variasiya əmsalinin xətası isə 15%-dən çox olmamalıdır. Maksimal axım üçün xəta 20%-ə qədər ola bilər.

5. Empirik və analitik təminat əyrlərinin qurulması. Empirik təminatlar Veybulun düsturuna (düstur 3.12) görə hesablanır. Analitik əyri kimi daha çox Pirsonun III tip və Kritski-Menkelin əyrlərindən istifadə olunur.

6. Axımın təminatlı qiymətləri analitik təminat əyrisinə və ya təkrarlanma faktoruna görə hesablanır (bax aşağıdakı misallara).

**Misal 3.13.** Çay üzərində 150 il ərzində yerinə yetirilmiş müşahidə məlumatlarına əsasən maksimal su sərflərinin integrallı paylanması funksiyasının koordinatları hesablanıb və aşağıdakı cədvəldə verilib. Təkrarlanma dövrü 10, 50 və 100 il olan maksimal su sərflərini təyin edin.

| n  | Su sərfəri, $x_n$<br>(m <sup>3</sup> /s) | P(X < x <sub>n</sub> ) |
|----|--|------------------------|
| 1  | 0  | 0                      |
| 2  | 25                                       | 0,19                   |
| 3  | 50                                       | 0,35                   |
| 4  | 75                                       | 0,52                   |
| 5  | 100                                      | 0,62                   |
| 6  | 125                                      | 0,69                   |
| 7  | 150                                      | 0,88                   |
| 8  | 175                                      | 0,92                   |
| 9  | 200                                      | 0,95                   |
| 10 | 225                                      | 0,98                   |
| 11 | 250                                      | 1,00                   |

**Həlli:** Düstur (3.1)-ə görə, təkrarlanma dövrü T, 10, 50, və 100 il olan su sərfərinin təminatı, müvafiq olaraq  $1/10=0.10$ ,  $1/50=0.02$  və  $1/100=0.01$  təşkil edir. Bu təminatlara müvafiq integrallar  $1-0.1=0.9$ ,  $1-0.02=0.98$  və  $1-0.01=0.99$  alınır. Verilmiş integral paylanması funksiyasından interpolasiya yolu ilə aşağıdakı nəticələr alınır.

| Təkrarlanma dövrü<br>(illər) | Su sərfi<br>m <sup>3</sup> /s |
|------------------------------|-------------------------------|
| 10                           | 163                           |
| 50                           | 225                           |
| 100                          | 238                           |

**Misal 3.14.** Qvadalupe (Guadalupe) çayının Viktoriya yaxınlığında (Texas) maksimal su sərfinin orta çoxillik qiyməti  $801\text{m}^3/\text{s}$ , standart meyletməsi  $851\text{ m}^3/\text{s}$ , məcranın suburaxma qabiliyyəti  $900\text{ m}^3/\text{s}$  təşkil edir. Su sərfəri log-normal qanuna müvafiq paylanarsa, maksimal su sərfinin məcranın suburaxma qabiliyyətini ötmə (aşma) ehtimalını təyin edin.

**Həlli:** Şərtə görə  $\mu_x = 801\text{m}^3/\text{s}$ ; və  $\sigma_x = 851\text{m}^3/\text{s}$ .

$$\exp(\mu_y + \sigma_y^2 / 2) = 801 \quad (= \mu_x)$$

və

$$(801)^2 [\exp(\sigma_y^2) - 1] = (851)^2 \quad (= \sigma_x^2)$$

buradan

$$\mu_y = 6.31 \text{ və } \sigma_y = 0.870$$

Əgər,  $x = 900 \text{ m}^3/\text{s}$  olarsa, onda loqarifmik dəyişdirilmiş  $y$  dəyişəni  $y = \ln 900 = 6.80$  və normallaşdırılmış təsadüfi  $z$  kəmiyyəti

$$z = \frac{y - \mu_y}{\sigma_y} = \frac{6.80 - 6.31}{0.870} = 0.563$$

Standart normallaşdırılmış kəmiyyət  $z > 0$  ( $z \leq 0,563$ ) olduğuna görə  $F(x) = F(0,563) = 1 - B$

$$B = \frac{1}{2} \left[ 1 + 0.196854|z| + 0.115194|z|^2 + 0.000344|z|^3 + 0.019527|z|^4 \right]^4$$

$$= \frac{1}{2} \left[ 1 + 0.196854|0.563| + 0.115194|0.563|^2 + 0.000344|0.563|^3 + 0.019527|0.563|^4 \right]^4 = 0.286$$

buradan  $F(0.563) = 1 - B = 1 - 0,286 = 0,714 = 71,4\%$  alınır.

Çayın maksimal su sərfinin məcranın suburaxma qabiliyyətini ötmə ehtimalı  $1 - 0,714 = 0,286 = 28,6\%$  təşkil edir. Bu kifayət qədər böyük ehtimaldır və faktiki olaraq baxılan hadisə hər il baş verə bilər.

**Misal 3.15.** Çayın maksimal su sərflerinin orta kəmiyyəti  $811 \text{ m}^3/\text{s}$ , standart meyletməsi  $851 \text{ m}^3/\text{s}$  və asimmetriya əmsalı  $0,94$ -ə bərabərdir. Maksimal su sərfleri Pirsonun III tip əyrilərinə uyğun

paylanır. Təkrarlanması 100 ildə 1 dəfə olan maksimal su sərfini qiymətləndirin. Əgər asimetriya əmsalı 1,52 olarsa, bu, hesabi maksimal su sərfinə necə təsir göstərər?

**Həlli:** Verilənlərə görə:  $\mu_x = 811 \text{ m}^3/\text{s}$ ,  $\sigma_x = 851 \text{ m}^3/\text{s}$ , və  $g_x = 0.94$ . Təkrarlanması dövrü 100 il (empirik təminatı 1%) olan standart normal kəmiyyət,  $x'_{100} = 2.33$  (cədvəl 3.8).  $k = g_x / 6 = 0.94 / 6 = 0.157$ . Təkrarlanması faktoru,  $K_{100}$ , (və ya analitik əyriinin 1% təminatlı ordinatı) hesablanır:

$$K_{100} = \frac{1}{3k} \left\{ (x'_{100} - k)k + 1 \right\}^3 \\ = \frac{1}{3(0.157)} \left\{ (2.33 - 0.157)(0.157) + 1 \right\}^3 - 1 = 3.00$$

Artıq standart normal kəmiyyətdən həqiqi su sərfinə,  $x_{100}$ , keçmək olar:

$$x_{100} = \mu_x + K_{100}\sigma_x = 811 + (3.00)(851) = 3364 \text{ m}^3/\text{s}$$

Əgər, asimetriya əmsalı 1,52 olarsa, artıq bu qiymət  $[-1, +1]$  intervalından kənara çıxır və buna görə də təkrarlanması faktoru,  $K_{100}$ , yuxarıdakı düstura görə təyin edilə bilməz. Bu halda  $K_{100}$  xüsusi cədvəldən tapılır. Bu misal üçün  $K_{100} = 3.342$  və

$$x_{100} = \mu_x + K_{100}\sigma_x = 811 + (3.342)(851) = 3655 \text{ m}^3/\text{s}$$

Bələliklə, asimetriya əmsalının qiymətinin 0.94-dən 1.52-yə ki-mi artırılması (62%), 100 ildə 1 dəfə təkrarlanan maksimal su sərfinin 9% çoxalmasına səbəb olmuşdur.

Pisoun III tip analitik taminat ayristisinin normallasdirilmiş ordinallari

$$t_p = f(C_s, p); \quad t_{\bar{p}} = \left( \bar{x}_p - \bar{x} \right) / \sigma = (k_p - 1) / C_s;$$

| $C_s$ | 0.01  | 0.1  | 1.0  | 5.0  | 10   | 20   | 25   | 30    | 50    | 70    | 75    | 80    | 90    | 95    | 97    | 99    | 99.9  | S     |
|-------|-------|------|------|------|------|------|------|-------|-------|-------|-------|-------|-------|-------|-------|-------|-------|-------|
| -1.8  | 1.11  | 1.11 | 1.09 | 1.02 | 0.94 | 0.80 | 0.72 | 0.64  | 0.28  | -0.24 | -0.42 | -0.64 | -1.32 | -1.99 | -2.46 | -3.50 | -5.64 | -0.51 |
| -1.6  | 1.26  | 1.24 | 1.20 | 1.10 | 0.99 | 0.81 | 0.73 | 0.64  | 0.25  | -0.28 | -0.46 | -0.68 | -1.33 | -1.97 | -2.42 | -3.39 | -5.37 | -0.45 |
| -1.4  | 1.41  | 1.39 | 1.32 | 1.17 | 1.04 | 0.83 | 0.73 | 0.64  | 0.22  | -0.31 | -0.49 | -0.71 | -1.34 | -1.95 | -2.37 | -3.27 | -5.09 | -0.39 |
| -1.2  | 1.68  | 1.58 | 1.45 | 1.24 | 1.08 | 0.84 | 0.74 | 0.63  | 0.19  | -0.35 | -0.52 | -0.73 | -1.34 | -1.92 | -2.31 | -3.15 | -4.81 | -0.34 |
| -1.0  | 1.92  | 1.79 | 1.59 | 1.32 | 1.13 | 0.85 | 0.73 | 0.62  | 0.16  | -0.41 | -0.55 | -0.76 | -1.34 | -1.88 | -2.25 | -3.02 | -4.53 | -0.27 |
| -0.8  | 2.23  | 2.02 | 1.74 | 1.38 | 1.17 | 0.86 | 0.73 | 0.60  | 0.13  | -0.44 | -0.58 | -0.79 | -1.34 | -1.84 | -2.18 | -2.89 | -4.24 | -0.22 |
| -0.6  | 2.57  | 2.27 | 1.88 | 1.45 | 1.20 | 0.85 | 0.72 | 0.59  | 0.10  | -0.47 | -0.61 | -0.80 | -1.33 | -1.80 | -2.12 | -2.75 | -3.96 | -0.17 |
| -0.4  | 2.98  | 2.54 | 2.03 | 1.52 | 1.23 | 0.85 | 0.71 | 0.57  | 0.07  | -0.50 | -0.63 | -0.82 | -1.32 | -1.75 | -2.04 | -2.61 | -3.66 | -0.11 |
| -0.2  | 3.37  | 2.81 | 2.18 | 1.58 | 1.26 | 0.85 | 0.69 | 0.55  | 0.03  | -0.55 | -0.65 | -0.83 | -1.30 | -1.70 | -1.96 | -2.47 | -3.38 | -0.05 |
| 0.0   | 32.72 | 3.09 | 2.33 | 1.64 | 1.28 | 0.84 | 0.67 | 0.52  | 0.00  | -0.52 | -0.67 | -0.84 | -1.28 | -1.64 | -1.88 | -2.33 | -3.09 | 0.00  |
| 0.2   | 4.16  | 3.38 | 2.47 | 1.70 | 1.30 | 0.83 | 0.65 | 0.50  | -0.03 | -0.50 | -0.69 | -0.85 | -1.26 | -1.58 | -1.79 | -2.81 | -3.81 | 0.06  |
| 0.4   | 4.61  | 3.66 | 2.61 | 1.75 | 1.32 | 0.82 | 0.63 | 0.47  | -0.07 | -0.52 | -0.71 | -0.85 | -1.23 | -1.52 | -1.70 | -2.03 | -2.54 | 0.11  |
| 0.6   | 5.05  | 3.96 | 2.75 | 1.80 | 1.33 | 0.80 | 0.61 | 0.44  | -0.10 | -0.55 | -0.72 | -0.85 | -1.20 | -1.45 | -1.61 | -1.88 | -2.27 | 0.17  |
| 0.8   | 5.50  | 4.24 | 2.89 | 1.84 | 1.34 | 0.78 | 0.58 | 0.41  | -0.13 | -0.59 | -0.73 | -0.86 | -1.17 | -1.38 | -1.52 | -1.74 | -2.02 | 0.22  |
| 1.0   | 5.96  | 4.53 | 3.02 | 1.88 | 1.34 | 0.76 | 0.55 | 0.38  | -0.16 | -0.60 | -0.73 | -0.85 | -1.13 | -1.32 | -1.42 | -1.59 | -1.79 | 0.28  |
| 1.2   | 5.41  | 4.81 | 3.15 | 1.92 | 1.34 | 0.73 | 0.52 | 0.35  | -0.19 | -0.62 | -0.74 | -0.84 | -1.08 | -1.24 | -1.33 | -1.45 | -1.58 | 0.34  |
| 1.4   | 6.87  | 5.09 | 3.27 | 1.95 | 1.34 | 0.71 | 0.49 | 0.31  | -0.22 | -0.63 | -0.73 | -0.83 | -1.04 | -1.17 | -1.23 | -1.32 | -1.39 | 0.39  |
| 1.6   | 7.31  | 5.37 | 3.39 | 1.97 | 1.33 | 0.68 | 0.46 | 0.28  | -0.25 | -0.64 | -0.73 | -0.81 | -0.99 | -1.10 | -1.14 | -1.20 | -1.24 | 0.45  |
| 1.8   | 7.76  | 5.64 | 3.50 | 1.99 | 1.32 | 0.64 | 0.42 | 0.24  | -0.28 | -0.64 | -0.72 | -0.80 | -0.94 | -1.02 | -1.06 | -1.09 | -1.11 | 0.51  |
| 2.0   | 8.21  | 5.91 | 3.60 | 2.00 | 1.30 | 0.61 | 0.39 | 0.20  | -0.31 | -0.64 | -0.71 | -0.78 | -0.90 | -0.95 | -0.97 | -0.99 | -1.00 | 0.57  |
| 2.2   | 8.63  | 6.14 | 3.68 | 2.02 | 1.27 | 0.57 | 0.35 | 0.16  | -0.33 | -0.64 | -0.69 | -0.75 | -0.84 | -0.88 | -0.90 | -0.91 | -0.92 | 0.62  |
| 2.4   | 9.00  | 6.37 | 3.78 | 2.00 | 1.25 | 0.52 | 0.29 | 0.12  | -0.35 | -0.62 | -0.67 | -0.72 | -0.79 | -0.82 | -0.83 | -0.83 | -0.87 | 0.67  |
| 2.6   | 9.39  | 6.54 | 3.86 | 2.00 | 1.21 | 0.48 | 0.25 | 0.085 | -0.37 | -0.61 | -0.66 | -0.70 | -0.75 | -0.76 | -0.77 | -0.77 | -0.77 | 0.72  |
| 2.8   | 9.77  | 6.86 | 3.96 | 2.00 | 1.18 | 0.44 | 0.22 | 0.057 | -0.39 | -0.60 | -0.64 | -0.67 | -0.70 | -0.71 | -0.72 | -0.72 | -0.72 | 0.76  |
| 3.0   | 10.16 | 7.10 | 4.05 | 1.97 | 1.13 | 0.39 | 0.19 | 0.027 | -0.40 | -0.59 | -0.62 | -0.64 | -0.66 | -0.67 | -0.67 | -0.67 | -0.67 | 0.80  |

**Misal 3.16.** Maksimal su sərfərinin natural loqarifmləri sırasının orta qiyməti 6,33, standart meyletməsi 0,862 və asimetriya əmsali -0,833-dür. Pirsonun III tip loqarifmik paylanmasından istifadə edərək 100 ildə 1 dəfə təkrarlanan maksimal su sərfini təyin edin.

**Həlli:** Verilənlərə görə  $\mu_y = 6.33$ ,  $\sigma_y = 0.862$ , və  $g_y = -0.833$ . Onda,  $k = g_y / 6 = -0.833 / 6 = -0.139$ . Təkrarlanma dövrü 100 il olan  $x'_{100} = 2.33$  (cədvəl 3.8).

Təkrarlanma faktoru,  $K_{100}$ , (və ya analitik əyrinin 1% təminatlı ordinat) hesablanır:

$$K_{100} = \frac{1}{3k} \left\{ (x'_{100} - k)k + 1 \right\}^3 - 1 \\ = \frac{1}{3(-0.139)} \left\{ (2.33 + 0.139)(-0.139) + 1 \right\}^3 - 1 = 1.72$$

Təkrarlanma dövrü 100 il olan su sərfinin loqarifmi,  $y_{100}$ ,

$$y_{100} = \mu_y + K_{100}\sigma_y = 6.33 + (1.72)(0.862) = 7.81$$

və maksimal su sərfinin həqiqi qiyməti,  $x_{100}$ , tapılır.

$$x_{100} = e^{y_{100}} = e^{7.81} = 2465 \text{ m}^3/\text{s}$$

**Misal 3.17.** Çayın orta çoxillik maksimal su sərfi  $811 \text{ m}^3/\text{s}$ , standart meyletməsi  $851 \text{ m}^3/\text{s}$  təşkil edir. Maksimal su sərfəri Qumbel paylanmasına (I tip ekstremal kəmiyyət paylanması) uyğundur. Təkrarlanma dövrü 100 il olan su sərfini təyin edin..

**Həlli:** Şərtə görə  $\mu_x = 811 \text{ m}^3/\text{s}$ . Paylanmanın  $a$  və  $b$  parametrləri  $\mu_x$  və  $\sigma_x$ -ə görə tapılır.

$$a = \frac{\sigma_x}{\sqrt{1.645}} = \frac{851}{\sqrt{1.645}} = 664 \text{ m}^3/\text{s}$$

$$b = \mu_x - 0.577a = 811 - 0.577(664) = 428 \text{ m}^3/\text{s}$$

Bu parametrlərdən istifadə etməklə maksimal su sərfləri,  $X$ , normalaşdırılmış kəmiyyətə,  $Y$ , transformasiya olunur (çevrilir):

$$Y = \frac{X - b}{a} = \frac{X - 428}{664}$$

100 illik təkrarlanma dövrü üçün maksimal su sərfinin ötülmə ehtimalı (təminatı)  $1/100 = 0,01$  və integrallı (kumulyativ) ehtimalı isə  $F(y) = 1 - 0,01 = 0,99$ . Qumbel paylanmasıın tənliyinə görə

$$0.99 = \exp[-\exp(-y_{100})]$$

burada  $y_{100}$  təkrarlanma dövrü 100 il olan kəmiyyətdir. Buradan

$$y_{100} = -\ln(-\ln 0.99) = 4.60$$

Təkrarlanma dövrü 100 ildə bir dəfə olan maksimal su sərfi,  $X_{100}$ , aşağıdakı ifadəyə görə hesablanır:

$$y_{100} = \frac{x_{100} - 428}{664}$$

və

$$x_{100} = 428 + 664y_{100} = 428 + 664(4.60) = 3482 \text{ m}^3/\text{s}$$

**Misal 3.18.** Müşahidə dövrü 25 il olan hidroloji məntəqədə maksimal su sərfləri sırasının orta qiyməti 1000 kub fut/s, orta kvadratik meyletmə 400 kub. fut/s təşkil edir. Ötülmə (aşma) ehtimalı 50 ildə 1 dəfə olan maksimal su sərfini hesablayın.

**Həlli:** Cədvəl 3.9-a görə təkrarlanma faktoru  $K=3.088$ ,  
 $x = \bar{x} + K_s = 1000 + 3.088 \cdot 400 = 2235$  kub. fut/s.

**Cədvəl 3.9**  
 Qumbel paylanması üçün təkrarlanma faktorunun ( $K$ ) qiymətləri

| Sıranın<br>uzunluğu | Təkrarlanma dövrü |       |       |       |       |       |       |       |       |
|---------------------|-------------------|-------|-------|-------|-------|-------|-------|-------|-------|
|                     | 2.33              | 5     | 10    | 20    | 25    | 50    | 75    | 100   | 1000  |
| 15                  | 0.065             | 0.967 | 1.703 | 2.410 | 2.632 | 3.321 | 3.721 | 4.005 | 6.265 |
| 20                  | 0.052             | 0.919 | 1.625 | 2.302 | 2.517 | 3.179 | 3.563 | 3.386 | 6.006 |
| 25                  | 0.044             | 0.888 | 1.575 | 2.235 | 2.444 | 3.088 | 3.463 | 3.729 | 5.842 |
| 30                  | 0.038             | 0.866 | 1.541 | 1.188 | 2.393 | 3.026 | 3.393 | 3.653 | 5.727 |
| 40                  | 0.031             | 0.838 | 1.495 | 2.126 | 2.326 | 2.943 | 3.301 | 3.554 | 5.476 |
| 50                  | 0.026             | 0.820 | 1.466 | 2.086 | 2.283 | 2.889 | 3.241 | 3.491 | 5.478 |
| 60                  | 0.023             | 0.807 | 1.446 | 2.059 | 2.253 | 2.852 | 3.200 | 4.446 | 5.410 |
| 70                  | 0.020             | 0.797 | 1.430 | 2.038 | 2.230 | 2.824 | 3.169 | 3.413 | 5.359 |
| 75                  | 0.019             | 0.794 | 1.423 | 2.029 | 2.220 | 2.812 | 3.155 | 3.400 | 5.338 |
| 100                 | 0.015             | 0.779 | 1.401 | 1.998 | 2.187 | 2.770 | 3.109 | 3.340 | 5.261 |
| $\infty$            | -0.067            | 0.720 | 1.305 | 1.866 | 2.044 | 2.592 | 2.911 | 3.137 | 4.900 |

**Misal 3.19.** 30 illik müşahidə məlumatlarına görə çayın maksimal su sərfəri sırasının orta kəmiyyəti  $811 \text{ m}^3/\text{s}$  və standart meyletməsi  $851 \text{ m}^3/\text{s}$  təşkil edir. Qumbel paylanmasından (I tip ekstremal kəmiyyət paylanması) istifadə edərək təkrarlanma dövrü 100 ildə 1 dəfə olan maksimal su sərfini təyin edin. Əgər, sıranın uzunluğu 60 il və ya sonsuz olarsa, hesabi su sərfi necə dəyişər?

**Həlli:** Şərtə görə  $\mu_x = 811 \text{ m}^3/\text{s}$  və  $\sigma_x = 851 \text{ m}^3/\text{s}$ . 100 ildə 1 dəfə təkrarlanan su sərfi,  $x_{100}$ , aşağıdakı ifadəyə görə hesablanır:

$$x_{100} = \mu_x + K_{100}\sigma_x = 811 + K_{100}851$$

Sıranın uzunluğu 30 il olduqda, 100 ildə 1 dəfə təkrarlanan su sərfi üçün təkrarlanma faktoru,  $K_{100} = 3,653$  (cədvəl 3.9) alınır. Onda

$$x_{100} = 811 + (3.653)851 = 3920 \text{ m}^3/\text{s}$$

Əgər, sıranın uzunluğu 60 il olarsa, onda  $K_{100} = 3.446$  (cədvəl 3.9) və hesabi su sərfi

$$x_{100} = 811 + (3.446)851 = 3740 \text{ m}^3/\text{s}.$$

Əgər, sıranın uzunluğu sonsuz olarsa,

$$K_{100} = -\frac{\sqrt{6}}{\pi} \left\{ 0.5772 + \ln \left[ \ln \left( \frac{100}{100-1} \right) \right] \right\} = 3.137$$

(cədvəl 3.9-dan da eyni qiymət alınır)

Onda

$$x_{100} = 811 + (3.137)851 = 3480 \text{ m}^3/\text{s}.$$

Beləliklə, sıranın uzunluğu 30, 60 il və sonsuz olarsa, 100 ildə 1 dəfə təkrarlanan maksimal su sərfəri müvafiq olaraq  $3920 \text{ m}^3/\text{s}$ ,  $3740 \text{ m}^3/\text{s}$  olar. Bu onu göstərir ki, müşahidə illərinin sayı artıqca 100 ildə 1 dəfə təkrarlanan maksimal su sərfinin qiyməti azalır.

**Misal 3.20.** Mauri çayının Leksinqton məntəqəsində 26 illik müşahidə dövrü üçün maksimal su sərfəri aşağıdakı kimidir:

| Hidroloji il | Sərf, kub fut/s | Hidroloji il | Sərf, kub fut/s | Hidroloji il | Sərf, kub fut/s |
|--------------|-----------------|--------------|-----------------|--------------|-----------------|
| 1926         | 6 730           | 1935         | 13 800          | 1944         | 6 680           |
| 1927         | 9 150           | 1936         | 40 000          | 1945         | 6 540           |
| 1928         | 6 310           | 1937         | 10 200          | 1946         | 5 560           |
| 1929         | 10 000          | 1938         | 13 400          | 1947         | 7 700           |
| 1930         | 15 000          | 1939         | 8 950           | 1948         | 8 630           |
| 1931         | 2 950           | 1940         | 11 900          | 1949         | 14 500          |
| 1932         | 8 650           | 1941         | 5 840           | 1950         | 23 700          |
| 1933         | 11 100          | 1942         | 20 700          | 1951         | 15 100          |
| 1934         | 6 360           | 1943         | 12 300          |              |                 |

5, 10, 50 və 100 ildə bir dəfə təkrarlana bilən maksimal su sərflərini təyin edin və cədvəl 3.10-dan istifadə edərək onların aşağı və yuxarı etibarlılıq sərhədlərini göstərin.

**Cədvəl 3.10**  
Daşqınların təkrarlanması əyriləri üçün xətaların sərhədləri

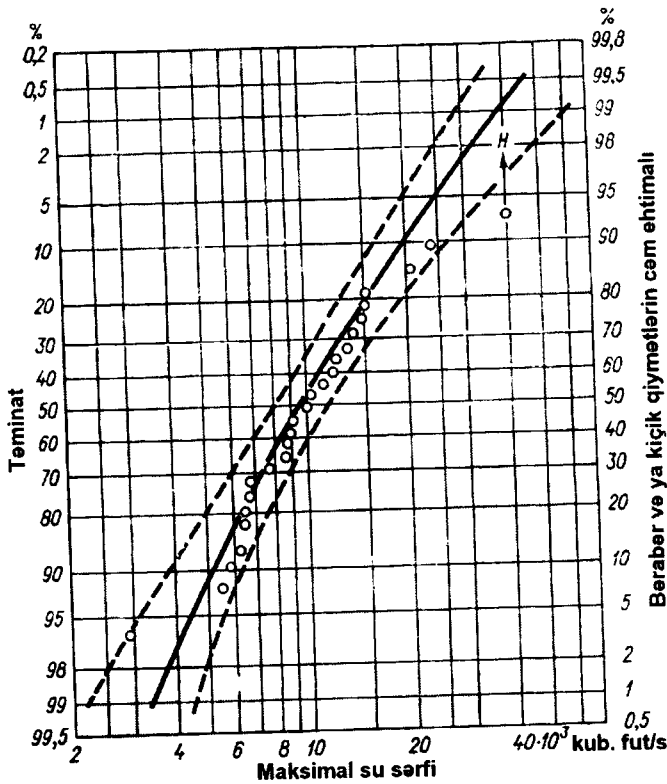
| Müshahidə<br>dövrü, il | Etibarlılıq intervalı (%), 5%-li əhəmiyyətlilik səviyyəsi |      |      |      |      |      |      |
|------------------------|---|------|------|------|------|------|------|
|                        | 99,9  | 99   | 90   | 50   | 10   | 1    | 0,1  |
| 5                      | 1.22  | 1.00 | 0.76 | 0.95 | 2.12 | 3.41 | 4.41 |
| 10                     | 0.94  | 0.76 | 0.57 | 0.58 | 1.07 | 1.65 | 2.11 |
| 15                     | 0.80  | 0.65 | 0.48 | 0.46 | 0.79 | 1.19 | 1.52 |
| 20                     | 0.71  | 0.58 | 0.42 | 0.39 | 0.64 | 0.97 | 1.23 |
| 30                     | 0.60  | 0.49 | 0.35 | 0.31 | 0.50 | 0.74 | 0.93 |
| 40                     | 0.53  | 0.43 | 0.31 | 0.27 | 0.42 | 0.61 | 0.77 |
| 50                     | 0.49  | 0.39 | 0.28 | 0.24 | 0.36 | 0.54 | 0.67 |
| 70                     | 0.42  | 0.34 | 0.24 | 0.20 | 0.30 | 0.44 | 0.55 |
| 100                    | 0.37  | 0.29 | 0.21 | 0.17 | 0.25 | 0.36 | 0.45 |
|                        | 0,1   | 1    | 10   | 50   | 90   | 99   | 99,9 |

Etibarlılıq intervalı (%), 95%-li əhəmiyyətlilik səviyyəsi

**Həlli:** 1. Ösas statistik parametrlərin hesablanmış qiymətləri aşağıdakı cədvəldə verilmişdir:

| Sıranın parametrləri     | Mütləq             | Loqarifmik |
|--------------------------|--------------------|------------|
| Sıranın uzunluğu         | 26                 | 26         |
| Orta kəmiyyət            | 11 606             | 4, 001     |
| Dispersiya, $s^2$        | $53,87 \cdot 10^6$ | 0, 0516    |
| Asimetriya əmsalı, $C_s$ | 2,4                | 0, 38      |

2. Məlumatları artan sıra ilə düzdükdən sonra onlar ehtimallar damasına köçürülmüşdür (şəkil 3.15).



*Şəkil 3.15. Mauri çayının maksimal su sərfərinin təkrarlanması əyrisi və etibarlılıq sərhədləri (Leksinqton məntəqəsi, Virciniya ştatı)*

3. Şəkil 3.15-də Pirsonun III tip loqarifmik paylanma əyrisi keçirilmişdir. Əyrinin koordinatları məlumat kitablarında verilən cədvəllər əsasında müəyyən edilmişdir. Hesablamaların nəticələri aşağıdakı cədvəldə verilmişdir:

| Təminat, % | $C_s=0.38 K$ | $\bar{y} = 4.001,$<br>$s = 0.227,$<br>$y + K_s \log Q$ | $Q, m^3/s$ |
|------------|--------------|--|------------|
| 99         | -2.050       | 3.535  | 3 424      |
| 95         | -1.532       | 3.653  | 4 496      |
| 90         | -1.241       | 3.719  | 5 235      |
| 80         | -0.855       | 3.760  | 5 752      |
| 50         | -0.062       | 3.987  | 9 700      |
| 20         | 0.818        | 4.187  | 15 370     |
| 10         | 1.315        | 4.300  | 19 930     |
| 4          | 1.872        | 4.426  | 26 670     |
| 2          | 2.248        | 4.511  | 32 470     |
| 1          | 2.597        | 4.590  | 38 950     |
| 5          | 2.924        | 4.665  | 46 290     |

Cədvəl 3.10-nun məlumatlarına əsasən təyin olunmuş etibarlılıq sərhədləri şəkil 3.15-də göstərilmişdir. Bir nöqtənin etibarlılıq intervalı sərhədlərindən kənara çıxmazı diqqəti cəlb edir. Meyl edən  $H$  nöqtəsinin qrafikdə yeri Hazen metoduna görə dəqiqləşdirilmişdir.

**Misal 3.21.** Roki (Rocky) çayı üzərində 1960-1980-ci illərdə yerinə yetirilmiş müşahidələrin məlumatlarına görə maksimal su sərfərinin orta çoxillik qiyməti  $52 m^3/s$ , standart meyletməsi  $21 m^3/s$  və asimetriya əmsali  $0,8$ -dir. Bu parametrlərin standart (mütləq) və nisbi xətalarını hesablayın.

**Həlli:** Şərtə görə  $N = 21$  (1960-1980),  $\hat{\mu} = 52 m^3/s$ ,  $\hat{\sigma} = 21 m^3/s$ , və  $\hat{g} = 0.8$ . Əvvəlcə orta kəmiyyət,  $\mu$ , və standart meyletmənin,  $\sigma$ , mütləq xətaları ( $S_\mu$  və  $S_\sigma$ ) hesablanır:

$$\hat{S} = \frac{\hat{\sigma}}{\sqrt{N}} = \frac{21}{\sqrt{21}} = 4.6 m^3/s$$

$$S_\sigma = \hat{\sigma} \sqrt{\frac{1 + 0.75\hat{g}}{2N}} = \sqrt{\frac{1 + 0.75(0.8)}{2(21)}} = 4.1 m^3/s$$

Asimetriya əmsalinin,  $\hat{g}$ , mütləq xətası,  $S_g$  aşağıdakı düstu-

ra görə təyin olunur:

$$S_{\hat{g}} = \left[ 10^{A - B \log_{10}(N/10)} \right]^{0.5}$$

$|g_x| \leq 0,9$  olduğuna görə

$$A = -0.33 + 0.08|g_x| = -0.33 + 0.08|0.8| = -0.27$$

və  $|g_x| \leq 1,50$  olduğuna görə

$$B = 0,94 - 0,26|g_x| = 0.94 - 0.26|0.8| = 0.73$$

və beləliklə

$$S_{\hat{g}} = \left[ 10^{-27 - 0.73 \log_{10}(21/10)} \right]^{0.5} = 0.56$$

Beləliklə, orta kəmiyyət, standart meyletmə və asimetriyanın mütləq xətaları müvafiq olaraq  $4.6 \text{ m}^3/\text{s}$ ,  $4.1 \text{ m}^3/\text{s}$ , və  $0.56$  təşkil edir.

Nisbi xətalar aşağıdakı ifadələrə görə hesablanır:

$$\text{orta kəmiyyətin nisbi xətası} = \frac{S_{\bar{\mu}}}{\bar{\mu}} \times 100 = \frac{4.6}{52} \times 100 = 8.8\%$$

$$\text{standart meyletmənin nisbi xətası} = \frac{S_{\hat{\sigma}}}{\hat{\sigma}} \times 100 = \frac{4.1}{21} \times 100 = 20\%$$

$$\text{asimetriyanın nisbi xətası} = \frac{S_{\hat{g}}}{\hat{g}} \times 100 = \frac{0.56}{0.8} \times 100 = 70\%.$$

Parametrlərin təyininin nisbi xətalarının təhlili göstərir ki, momentlərin dərəcələri artdıqca, xətalar da artır.

**Misal 3.22.** Yaşayış məntəqəsini içməli su ilə təchiz etmək üçün su götürülməsi nəzərdə tutulan çayın orta çoxillik minimal su sərfi  $123 \text{ m}^3/\text{s}$ , standart meyletməsi isə  $37 \text{ m}^3/\text{s}$  təşkil edir. Minimal su sərfinin ən kiçik qiyməti  $0 \text{ m}^3/\text{s}$  olarsa Veybul paylanmasından (III tip ekstremal kəmiyyət paylanması) istifadə etməklə minimal su sərfinin  $80 \text{ m}^3/\text{s}$ -dən az olma ehtimalını hesablayın.

**Həlli:** Şərtə görə  $\mu_x = 123 \text{ m}^3/\text{s}$  və  $\sigma_x = 37 \text{ m}^3/\text{s}$ . Veybul paylanmasıının  $a$  və  $b$  parametrlərini təyin etmək üçün aşağıdakı ifadələrdən istifadə olunur:

$$b\Gamma\left(1 + \frac{1}{a}\right) = 123 \quad (= \mu_x)$$

və

$$b^2 \left[ \left( 1 + \frac{2}{a} \right) - \Gamma^2 \left( 1 + \frac{1}{a} \right) \right] = (37)^2 \quad (= \sigma_x^2)$$

Bu iki tənliyi birgə həll edərək  $b$  parametrini  $a$ -dan asılı tapıb o biri tənlikdə yerinə yazsaq aşağıdakı tənliyi ala bilərik:

$$\frac{123^2}{\Gamma^2\left(1 + \frac{1}{a}\right)} \left[ \Gamma\left(1 + \frac{2}{a}\right) - \Gamma^2\left(1 + \frac{1}{a}\right) \right] = 37^2$$

və ya

$$\frac{\Gamma\left(1 + \frac{2}{a}\right) - \Gamma^2\left(1 + \frac{1}{a}\right)}{\Gamma^2\left(1 + \frac{1}{a}\right)} = 0.0905$$

Bu tənliyi iterasiya yolu ilə həll edib  $f(a)$  funksiyasına görə  $a$  parametrini təyin etmək olar.

$$f(a) = \frac{\Gamma\left(1 + \frac{2}{a}\right) - \Gamma^2\left(1 + \frac{1}{a}\right)}{\Gamma^2\left(1 + \frac{1}{a}\right)} = \frac{\Gamma\left(1 + \frac{2}{a}\right)}{\Gamma^2\left(1 + \frac{1}{a}\right)} - 1$$

Qamma funksiyasının aşağıdakı cədvəldə verilmiş qiymətlərinən istifadə etməklə də  $a$  parametrini tapmaq olar:  $f(a) = 0,0905$  qiymətinə uyğun  $a = 3,65$ .

| $a$  | $\Gamma\left(1 + \frac{2}{a}\right)$ | $\Gamma\left(1 + \frac{1}{a}\right)$ | $f(a)$ |
|------|--------------------------------------|--------------------------------------|--------|
| 2.00 | 1.000                                | 0.886                                | 0.273  |
| 3.00 | 0.903                                | 0.893                                | 0.132  |
| 4.00 | 0.886                                | 0.906                                | 0.079  |
| 3.79 | 0.888                                | 0.904                                | 0.0866 |
| 3.69 | 0.888                                | 0.903                                | 0.0890 |
| 3.65 | 0.889                                | 0.903                                | 0.0903 |

beləliklə,  $a = 3.65$  və

$$b = \frac{123}{\Gamma\left(1 + \frac{1}{a}\right)} = \frac{123}{\Gamma\left(1 + \frac{1}{3.65}\right)} = \frac{123}{0.903} = 136$$

Minimal su sərfləri üçün Veybulun kumulyativ (integral) paylanmasıının tənliyinə görə

$$F(x) = 1 - \exp\left[-\left(\frac{x}{b}\right)^a\right] = 1 - \exp\left[-\left(\frac{x}{136}\right)^{365}\right]$$

və  $X \leq 80 \text{ m}^3/\text{s}$  hadisəsinin ehtimalı

$$F(80) = 1 - \exp\left[-\left(\frac{80}{136}\right)^{365}\right] = 0.134 = 13.4\%.$$

## **4. QISA MÜŞAHİDƏ SIRALARINA GÖRƏ AXIM XARAKTERİSTİKALARININ QİYMƏTLƏNDİRİLMƏSİ**

### ***4.1. Ümumi müddəələr***

Müşahidə məlumatları əsasında tərtib edilmiş su sərfləri sıraları həmişə reprezentativ olmur, yəni bütöv tsiklləri əhatə etmir və sıranın orta kəmiyyətinin nisbi orta kvadratik xətası 10-20%-dən çox olur. Belə sıraların uzunluğu axım normasını hesablamaq üçün kifayət etmir.

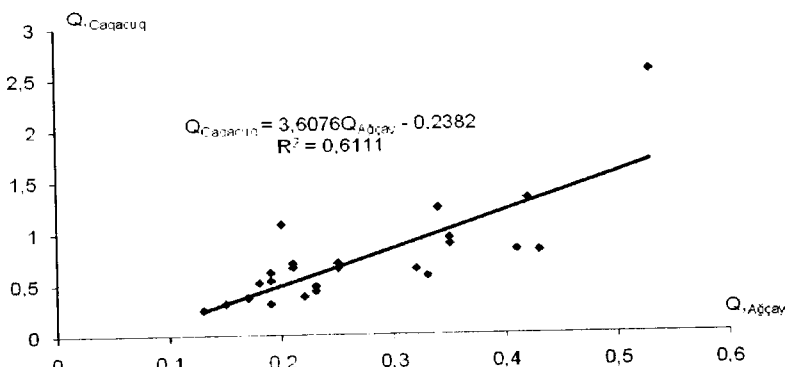
Əgər, müşahidə sırası qıсадırsa, onda belə çayın axım norması analoq çayın məlumatlarından istifadə edilməklə təyin olunur.

Aaloq çay seçilərkən aşağıdakılardan nəzərə alınır:

- hesabi (axımının hesablanması tələb olunan) və analoq çay coğrafi baxımdan mümkün qədər bir-birinə yaxın yerləşməlidirlər, çünki onların arasında məsafə artıqca axımın əmələgəlmə şəraiti daha çox fərqlənir;
- hər iki çay hövzəsində iqlim şəraiti eyni olmalıdır;
- hər iki çayın müvafiq axım xarakteristikasının tərəddüdləri sinxron olmalıdır, çünki sinfaz tərəddüdlərdə baxılan əlaqə adətən zəif olur;
- çay hövzələrinin relyefi, torpaq və bitki örtükləri, hidrogeoloji xüsusiyyətləri çox fərqli olmamalıdır;
- çay sutoplayıcılarının göllük və meşəlik əmsalları yaxın olmalıdır;
- düzənlik çaylarının sutoplayıcı sahələrinin nisbəti 10 dəfədən, dağ çaylarının sutoplayıcılarının orta hündürlüklər fərqi isə təqribən 300 m-dən az olmalıdır;
- hövzələrdə çayların zonal rejimini pozan amillər (karst, artezian suları və s.) olmamalıdır;
- hər iki çay üzərində paralel müşahidələr dövrü 10 ildən az olmamalıdır, belə ki, adətən bu müddət ərzində çayların ümumi rejim xüsusiyyətlərini müəyyən etmək olur.

Aaloq çayın düzgün seçiləsinin iki obyektiv meyarı var:

- paralel müşahidələr dövründə axım xarakteristikaları arasındaki əlaqənin korrelyasiya əmsalı  $r \geq 0,7$  olmalıdır (şəkil 4.1);
- bu əlaqənin analitik ifadəsinin regressiya əmsalının,  $k$ , onun orta kvadratik xətasına,  $\sigma_k$ , nisbəti  $k/\sigma_k \geq 2$  olmalıdır.



*Şəkil 4.1. Ağçay (Suktakala məntəqəsi) və Cəqacuqçayın (Rustov məntəqəsi) orta illik su sərfləri arasında əlaqə qrafiki*

Müşahidə sırası qısa olan çayla analog çayın müvafiq axım xarakteristikaları arasında əlaqə qrafiki qurulduğda (şəkil 4.1) axım norması iki yolla hesablanı bilər:

- analog çayın axım normasına görə hesabi (kısa sıralı) çay üçün birbaşa norma təyin olunur;
- əlaqəyə görə qısa sıra uzadılır və uzadılmış sıra üçün axım norması hesablanır.

Təqribən 2000-ci ilə kimi, müşahidə məlumatları kifayət qədər olmadıqda hidroloji sıranın parametrləri yuxarıda göstərilən sxemə müvafiq yerinə yetirilirdi. Lakin son illərdə bu sxem təkmilləşdirilmişdir. Hazırda müşahidə illərinin sayından asılı olaraq müxtəlif hesablama metodlarından istifadə olunur. Bu metodlara növbəti iki paraqrafda baxılır.

## **4.2. Müşahidələrin davamiyyyəti 6 ildən az olduqda istifadə edilən hesablama metodları**

Hidroloji müşahidə məlumatları 6 ildən az olduqda onların parametrlərini çoxillik dövrə gətirmək, buraxılmış müşahidələri bərpa etmək və paylanması kuantillərini təyin etmək üçün üç metoddan istifadə olunur: nisbətlər metodu, regressiya tənlikləri metodu və qrafiki metod.

### **4.2.1. Nisbətlər metodu**

Bu metod tətbiq olunduqda belə hesab edilir ki, qısa müşahidələr yerinə yetirilmiş məntəqədə və analoq məntəqədə modul əmsalları təqribən bərabərdir. Axımın illik qiymətini bərpa etmək, norma və təminatlı qiymətlərini çoxillik dövrə gətirmək üçün müvafiq olaraq aşağıdakı düsturlardan istifadə olunur:

$$y_{i-k} = x_{i-k} \frac{y_i}{x_i}, \quad (4.1)$$

$$\bar{y} \cong \bar{x} \frac{y_i}{x_i}, \quad (4.2)$$

$$y_p \cong x_p \frac{y_i}{x_i}, \quad (4.3)$$

burada  $y$  və  $x$  – müvafiq olaraq, qısa sıralı və analoq məntəqədə çay axımının müşahidə olunmuş qiymətləri;  $\bar{y}$  və  $\bar{x}$ , həmçinin  $y_p$  və  $x_p$  – müvafiq olaraq, qısa sıralı məntəqədə və analoq məntəqədə axım norması və axımın P% təminatlı qiymətləridir.

Nisbətlər metodu istifadə olunduqda qısa sıralı çayın axım kəmiyyətləri ilə analoq çayın axım kəmiyyətləri arasında əlaqənin korrelyasiya əmsalı,  $R$ , bu əmsalın böhran qiymətindən,  $R_b$ , böyük olmalıdır ( $R \geq R_b$ ). Mövcud tələblərə görə  $R_b \geq 0,7$  olmalıdır.  $R$  məkan korrelyasiya funksiyası və ya analoq məntəqələrin məlumatlarına görə tərtib edilmiş cüt korrelyasiya əmsallarının matrisindən təyin olunur.

Hesablamalarda yalnız bir analoqdan deyil, bir neçə analoq məntəqənin məlumatından istifadə etmək olar. Müəyyən edilmişdir ki, təsadüfi orta kvadratik xətalar analoqların sayı yalnız üçə qədər artdıqda azalır.

Axımın illik qiyməti, norması və təminatlı qiymətlərinin hesablanmasıının orta kvadratik (standart) xətası analoq məntəqələrin məlumatlarına görə qiymətləndirilir. Bu məqsədlə layihə yerinə yetiriləcək bircins hidroloji rayonda iki hidroloji müşahidə məntəqəsi seçilir. Bu məntəqələrdən biri şərti olaraq hesabi (axımı öyrənilən) məntəqə, o biri isə analoq məntəqə qəbul edilir. Axımın qiyməti, hesabi məntəqədəki müşahidə illerinin sayı dəfə 4.1-4.3 düsturlarına görə hesablanır.

Yalnız bir ilin müşahidə məlumatlarından istifadə edildikdə, axımın illik qiyməti, norması və paylanması kuantilləri qiymətlərinin təyininin standart xətası aşağıdakı düstura görə hesablanır:

$$\sigma = \sqrt{\sum_{i=1}^n \frac{(y_m - y_n)^2}{n-1}}, \quad (4.4)$$

burada  $y_m$ -konkret il üçün axımın müşahidə olunmuş qiymətləri və ya axım norması və ya paylanması kuantilləri;  $y_n$ - konkret il üçün axımın hesablanmış qiymətləri və ya axım norması və ya paylanması kuantilləridir.

Əgər hidroloji xarakteristikanın standart xətası bir ilin müşahidə məlumatlarına görə təyin edilibsə, onda 2-5 illik müşahidə məlumatlarına görə yerinə yetirilmiş hesablamaların standart xətaları təqribi olaraq aşağıdakı düstura görə tapıla bilər:

$$\sigma_{y(1)} = \frac{\sigma_{y(1)}}{\sqrt{n}}, \quad (4.5)$$

burada  $\sigma_{y(1)}$ -hidroloji xarakteristikanın bir illik müşahidə məlumatlarına görə hesablanmış qiymətinin standart xətası;  $\sigma_{y(n)}$ -hidroloji xarakteristikanın  $n$  illik müşahidə məlumatlarına görə hesablanmış qiymətinin standart xətası;  $n$ -müshahidə illerinin sayıdır.

Bu düstura görə hidroloji xarakteristikanın verilən dəqiqliklə (standart xəta ilə) hesablanması üçün tələb olunan müşahidə

illərinin sayını təyin etmək olar. Bu, hidrometeoroloji çöl tədqiqat işlərinin müddətinin təyinində istifadə oluna bilər.

Nisbətlər metodu çox etibarlı analoq olduqda istifadə edilə bilər. Müşahidə məntəqələri eyni çay üzərində yerləşdikdə və ya müşahidə məntəqəsinin yeri dəyişdirildikdə bu metodun tətbiqi kifayət qədər effektivdir.

#### 4.2.2. Regressiya tənlikləri metodu

Bu metoda görə hər bir il üçün axımın qiymətini bərpa etmək olar. Bunun üçün hesabi çay yerləşən bircins hidroloji rayonda ən azı 5 analoq məntəqə olmalıdır. Əgər, hesabi çayda axımın hər hansı bir xarakteristikası üzərində yalnız 1 il müşahidə aparılıbsa, onda analoq məntəqələrin məlumatlarına görə həmin ilin su sərfləri ilə qalan bütün müşahidə illərinin müvafiq su sərfləri arasında ardıcıl olaraq regressiya tənlikləri hesablanır:

$$Q_{h,h} = KQ_{h,m} + b, \quad (4.6)$$

burada  $Q_{h,h}$  və  $Q_{h,m}$ -hesabi çay üçün müvafiq olaraq axımın bərpa olunan və müşahidə olunmuş qiymətləridir.

Hesablamalarda yalnız o tənliklərdən istifadə edilir ki,  $r \geq 0,7$  şərti ödənilsin.

Tutaq ki, Kiçik Qafqaz təbii vilayətinin bircins hidroloji rayonlarından birində 9 hidroloji müşahidə məntəqəsi var. Bu məntəqələrdə müşahidə dövrü 1935-2009-cu illəri əhatə edir (müşahidə dövrləri fərqli də ola bilər). Bu rayonun çaylarından birində (hesabi çayda) yalnız 1 il (məsələn, 2007-ci il) su sərfləri (məsələn, minimal su sərfləri) üzərində müşahidələr yerinə yetirilib. 9 məntəqənin minimal su sərflərinə görə aşağıdakı regressiya tənlikləri hesablanır:

$$\begin{aligned} Q_{1935} &= K_{1935}Q_{2007} + b_{1935} \\ Q_{1936} &= K_{1936}Q_{2007} + b_{1936} \end{aligned} \quad (4.7)$$

$$Q_{2009} = K_{2009} Q_{2007} + b_{2009}$$

Bu tənliklərdən istifadə edərək, hesabi çayda 2007-ci ildə müşahidə olunmuş minimal su sərfinə görə qalan illərin (1935, 1936,..., 2009) müvafiq su sərfləri bərpa olunur.

Minimal su sərflərinin bərpa olunmuş qiymətlərinə görə çox-illik hidroloji sıra tərtib edilir və paylanmasıın parametrləri (norma, variasiya və asimmetriya əmsalları) və kvantilləri, həmçinin avtokorrelasiya əmsalı hesablanır.

Əgər, hesabi çayda müşahidələr 2-5 il yerinə yetirilibsə, hesablamalar oxşar yolla aparılır.

Tutaq ki, 2 illik (2007 və 2008-ci illər) müşahidə məlumatları var. Onda, 2007-ci ilin məlumatlarına görə alınmış (4.7) tənliklərinə oxşar regressiya tənlikləri 2008-ci ilin su sərflərinə görə də tərtib olunur. Belə olduqda, hər bir il üçün (məsələn, 1935-ci il) hesabi çayda su sərfinin 2 bərpa olunmuş qiyməti alınır. Hesabi qiymət kimi, bu 2 su sərfinin ədədi ortası qəbul olunur.

Aydındır ki, hesabi çayda müşahidə illərinin sayı artıqca, baxılan axım xarakteristikasının hesablanması dəqiqliyi də artır.

#### 4.2.3. Qrafiki metod

Çay axımının variasiya əmsalını və təminatlı qiymətlərini təqribi qiymətləndirmək üçün qrafiki metod tətbiq oluna bilər. Tədqiq olunan çayın yerləşdiyi bircins hidroloji rayon üçün  $C_s/C_v$  nisbətinin təyin olunmuş qiymətindən istifadə etməklə təminat əyrisi qurulur. Ehtimallar damasında ordinat oxunda modul əmsalinin qiymətləri göstərilir. Modul əmsallarının qiymətləri layihələndirilən məntəqənin faktiki müşahidə məlumatlarına və axım normasına görə hesablanır. Axım norması isə nisbətlər metoduna və ya regressiya metoduna görə təyin olunur. Axımın təminatlı qiymətlərini hesablamaq üçün tədqiq olunan məntəqədə ən azı iki illik müşahidə məlumatları olmalıdır.

Layihələndirilən məntəqədə müşahidələrin yerinə yetirildiyi konkret illər üçün analoq məntəqənin (və ya məntəqələrin) məl-

matlarına görə axımın empirik təminatı hesablanır. Bu empirik təminatlara uyğun modul əmsallarının qiymətləri  $C_s/C_v$  nisbətinin müəyyən olunmuş qiymətində ehtimallar damasında qeyd edilir. Müşahidə olunmuş su sərflərinin empirik təminatlarının fərqi 10%-dən az olmamalıdır.

Ehtimallar damasında empirik nöqtələr düz xəttlə approksimasiya olunur və variasiya əmsalları şkalası ilə kəsişənə qədər uzadılır.

Məlum axım normasına və modul əmsallarının qiymətlərinə görə axımın müxtəlif təminatlı qiymətləri hesablanır.

Qrafiki metod yalnız layihə işlərinin ilk mərhələlərində istifadə oluna bilər.

#### **4.3. Müşahidələrin davamiyyəti 6 il və daha çox olduqda istifadə edilən hesablama metodları**

Hidroloji müşahidələrin davamiyyəti 6 il və daha çox olduqda sıraların və onların parametrlərinin çoxillik dövrə gətirilməsi analitik, qraf-analitik və qrafiki metodlarla yerinə yetirilir.

##### **4.3.1. Analitik metodlar**

Axımın paylanmasıının parametrlərini və kvantillərini, həmçinin ayrı-ayrı illərdə axım qiymətlərini obyektiv hesablamaq üçün analitik üsullardan istifadə olunur. Bu metodlar regression analizə əsaslanır və bir və ya bir neçə analoq məntəqənin məlumatlarından istifadə etməyə imkan verir. Analoq kimi meteoroloji informasiya, həmçinin axımın əmələgəlmə şəraitinin əsas amilləri də istifadə oluna bilər.

Analitik metodların tətbiqi aşağıdakı şərtlərin ödənilməsini tələb edir:

$$n \geq 6-10; R \geq R_b; R/\sigma_R \geq 2; K/\sigma_K \geq 2; y/\sigma_y \geq 2, \quad (4.8)$$

burada  $n$ -hesablamalar yerinə yetirilən məntəqədə və analoq məntəqələrdə (bir analoq üçün  $n \geq 6$ , iki və daha çox analoq üçün  $n \geq 10$ ) paralel müşahidə illərinin sayı;  $R$ -cüt və ya çoxhədli korrelyasiya əmsali;  $K$ -regressiya tənliklərinin əmsalları;  $R_b$ -cüt

və ya çoxhədli korrelyasiya əmsalının böhran qiyməti ( $R_b \geq 0,7$ );  $y$ -tədqiq olunan hidroloji xarakteristikanın bərpa olunmuş qiyməti;  $\sigma_y$ -bərpa olunmuş hidroloji xarakteristikanın orta kvadratik xətasıdır.

Əgər, rəgressiya tənliyinin hətta bir əmsalı üçün yuxarıda göstərilən şərt ödənilmirsə, onda çoxillik dövrə gətirmədə həmin tənlik istifadə olunmur.

Analitik metodlarla parametrlərin çoxillik dövrə gətirilməsi mərhələ-mərhələ yerinə yetirilir:

- yuxarıda göstərilən şərtləri ödəyən bütün tənliklər korrelyasiya əmsallarının azalma qaydasında düzülür;
- axımın illik qiymətləri ən böyük korrelyasiya əmsalına malik tənliyə görə bərpa olunur;
- axımı bərpa olunmamış illər və ya onların bəziləri üçün korrelyasiya əmsalı əvvəlkindən kiçik, lakin qalanlardan böyük olan rəgressiya tənliyi istifadə olunur;
- axımın illik qiymətlərinin mərhələ-mərhələ bərpası bu qaydada axıra kimi davam etdirilir.

Axımı bərpa etmək üçün istifadə olunan çoxhədli rəgressiya tənliyi aşağıdakı kimidir:

$$y = k_0 + k_1 x_1 + k_2 x_2 + \dots + k_j x_j + \dots + k_l x_l, \quad (4.9)$$

burada  $y$ -qısa müşahidə sırası olan məntəqədə axımın qiymətləri;  $x_j$ - analoq məntəqələrdə axımın qiymətləri;  $k_0$ -sərbəst hədd;  $k_j$ ;  $j=1,2,\dots,l$  olduqda xətti rəgressiya tənliklərinin əmsalları;  $l$ -analoq məntəqələrin sayıdır.

Bu rəgressiya tənliyinin əmsalları ən kiçik kvadratlar metodu görə təyin olunur.

Əgər, hesablamalarda yalnız bir analoqdan istifadə olunursa, onda axımın kəmiyyəti çoxillik dövrə aşağıdakı düstura görə gətirilə bilər:

$$\bar{y}_N = \bar{y}_n + r \frac{\sigma_n}{\sigma_{n,a}} (\bar{y}_{n,a} - \bar{y}_{n,a}), \quad (4.10)$$

burada  $\bar{y}_n$ ,  $\bar{y}_{n,a}$  -müvafiq olaraq tədqiq olunan çay və analoq çayın paralel müşahidələr dövrü üçün hidroloji xarakteristikasının

orta qiyməti;  $\bar{y}_N, \bar{y}_{N,a}$ -müvafiq olaraq, tədqiq olunan çay və analoq çayın  $N$ -illik dövr üçün axım norması;  $\sigma_n, \sigma_{n,a}$ -müvafiq olaraq, tədqiq olunan çay və analoq çayın hidroloji xarakteristikasının paralel müşahidələr dövrü,  $n$ , üçün orta kvadratik meyletməsidir.

Coxillik dövrə gətirilmiş axım normasının nisbi orta kvadratik xətası aşağıdakı düstura görə qiymətləndirilir:

$$E_{\bar{y}_N} = \frac{\sigma_n}{\bar{y}_N \sqrt{n}} \sqrt{1 + r^2 \left( \frac{n}{N} \frac{\sigma_{N,a}^2}{N \sigma_{n,a}^2} - 1 \right)} \cdot 100\%. \quad (4.11)$$

Variasiya əmsalı isə bu düstura görə hesablanır:

$$C_{V,N} = \frac{\sigma_n}{\bar{y}_N \sqrt{1 - [r^2 (1 - \sigma_{n,a}^2 / \sigma_{N,a}^2)]}}. \quad (4.12)$$

Axırıncı hər iki düsturda  $\sigma_{N,a}$ -analoq çayın hidroloji xarakteristikasının  $N$ -illik dövr üçün orta kvadratik meyletməsidir

Coxhədli regressiya tənliyinə görə bərpa olunmuş məlumatların dispersiyası həqiqi dispersiya ilə müqayisədə kiçik alınır. Dispersiyanın sistematik azalması iki üsulla aradan götürülsə bilər.

1. Regressiya tənliyinə görə hesablanmış axımın illik qiymətlərinə düzəliş etməklə:

$$y_i = \frac{y_i - \bar{y}_n}{r} + \bar{y}_n, \quad (4.13)$$

burada  $y_i$ -axımın regressiya tənliyinə gərə hesablanmış illik qiymətləri;  $\bar{y}_n$ -paralel müşahidələr dövrü üçün qısa sıranın orta qiyməti;  $r$ -paralel müşahidələr dövrü üçün qısa sira və analoq məntəqənin sırası arasında əlaqənin cüt korrelyasiya əmsalıdır.

2. Müşahidə olunmuş məlumatların regressiya tənliyinə görə hesablanmış qiymətlərdən meyletməsinin təsadüfi toplananı nəzərə almaqla:

$$y'_i = y_i + \varphi \sigma \sqrt{1 - r^2}, \quad (4.14)$$

burada  $\varphi$ -riyazi gözlemesi (orta kəmiyyəti) sıfır, dispersiyası vahidə bərabər və normal paylanma qanununa tabe olan təsadüfi kəmiyyətdir. Bu kəmiyyət, bərabər paylanan təsadüfi ədədlər cədvəlindən təyin olunan ehtimala görə tapılır;  $\sigma$ -müşahidə sırasının orta kvadratik meyletməsidir.

İkinci üsuldan istifadə axımın bərpa olunmuş qiymətlərinin sayı 30-dan çox olduqda məqsədə uyğundur.

Çay axımının norması, axımın hər bir il üçün müxtəlif təminathlı qiymətləri, onların konkret illərin axım kəmiyyəti ilə əlaqələrinə görə təyin olunur (bax paraqraf 4.2-yə).

Qısa sırə bərpa olunduqdan sonra, alınmış yeni (uzun) sıranın parametrləri hesablanır: orta çoxillik qiymət, variasiya və asimetriya əmsalları, sıranın qonşu həddləri arasında korrelyasiya əmsalı və kvantillər.

Asimetriya əmsalı və sıranın qonşu həddləri arasında korrelyasiya əmsalının  $r(1)$  qiymətləri kimi  $C_s/C_v$  nisbəti və  $r(1)$ -in orta rayon qiymətləri qəbul olunur.

Bərpa olunmuş məlumatların etibarlığı və dayanıqlığı yalnız tədqiq olunan çay üzərindəki müşahidə illərinin sayından deyil, həm də müşahidə məlumatlarına ekvivalent olan informasiyanın həcmindən asılıdır.

Müşahidə məlumatlarına ekvivalent informasiyanın həcmi, müvafiq olaraq axım norması və orta kvadratik meyletmə üçün aşağıdakı düsturlara görə təyin olunur:

$$N_{e,y} = \frac{N}{1 + \frac{N-n}{n-2} \cdot (1 - r^2)}, \quad (4.15)$$

$$N_{e,\sigma} = \frac{Nn}{n + (N-n)(1 - R^4)}, \quad (4.16)$$

burada  $n$ -tədqiq olunan çay və analoq çayda paralel müşahidə illərinin sayı;  $(N-n)$ -reqressiya tənliyinə görə axımı bərpa olunmuş illərin sayı;  $R$ -cüt və ya çoxhədli korrelyasiya əmsalıdır.

Hidroloji xarakteristikalar arasında funksional asılılıqlar olmadığından ( $R < 1$ ), ekvivalent asılı olamayan informasiyanın həcmi  $N_e$ , həmişə n-dən böyük, lakin  $N$ -dən kiçik olur. Yalnız  $R = 1$  olduqda,  $N_e = N$  olur.

**Misal 4.1.** Cekson  $x$  və Kaupeyşçer  $y$  çaylarının orta sutkalıq minimal su sərfləri arasında korrelyasiya əmsalını hesablayın və regressiya tənliyini tərtib edin. Sıraların uzunluğu 12 ilə bərabərdir. Müşahidə məlumatları aşağıdakı cədvəldə verilir.

| İl                      | Cekson çayı | Kaupeyşçer çayı |
|-------------------------|-------------|-----------------|
| 1941                    | 61          | 58              |
| 1942                    | 92          | 81              |
| 1943                    | 65          | 70              |
| 1944                    | 72          | 63              |
| 1945                    | 82          | 68              |
| 1946                    | 67          | 58              |
| 1947                    | 74          | 74              |
| 1948                    | 118         | 105             |
| 1949                    | 124         | 134             |
| 1950                    | 108         | 108             |
| 1951                    | 65          | 93              |
| 1952                    | 88          | 85              |
| Orta                    | 84,7        | 83,1            |
| Orta kvadratik meyletmə | 20,8        | 22,3            |

**Həlli:** 1. Əvvəlcə cəm ifadələr hesablanır:  $\sum x = 1016$ ,  $\sum y = 997$ ,  $\sum x^2 = 91216$ ,  $\sum xy = 89299$ .

2. Regressiya tənliyinin  $\alpha$  və  $\beta$  parametrləri tapılır:

$$\beta = \frac{\sum x_i y_i - \frac{\sum x_i y_i}{n}}{\sum x_i^2 - \frac{(\sum x_i)^2}{n}} = \frac{89299 - \frac{1016 \cdot 997}{12}}{91216 - \frac{(1016)^2}{12}} = 0.941$$

$$\alpha = \frac{\sum y_i}{n} - \beta \frac{\sum x_i}{n} = \frac{997}{12} - 0.941 \frac{1016}{12} = 3.44.$$

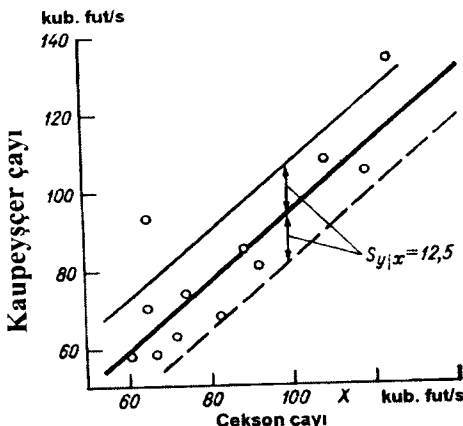
Regressiya tənliyi belə alınır:  $y = 3.44 + 0.941 x$ .

$$3. \text{ Korrelyasiya əmsalı hesablanır: } r = \beta \frac{\sigma_y}{\sigma_x} = \frac{0.941 \cdot 20.8}{22.3} = 0.86$$

4. Əlaqənin orta kvadratik xətası hesablanır:

$$S_{y/x} = \frac{n}{n-2} S_y^2 (1 - r^2) \quad \text{Xəta } \pm 12,5 \text{ təşkil edir. Bu xətanın}$$

qiymətini nəzərə almaqla şəkil 4.2-də əlaqələrin dayanıqlıq dərəcəsini göstərən iki düz xətt keçirilmişdir. Onlar regressiya xəttinə paraleldir.



*Şəkil 4.2. Kaupeyşer və Cekson çaylarının orta sutkalıq minimal su sərfliyi arasında əlaqə qrafiki*

#### 4.3.2. Qrafiki metod

Layihələndirmənin ilkin mərhələlərində axım parametrlərini çoxillik dövrə gətirmək üçün qrafiki metoddan istifadə oluna bilər. Adətən, bu metodla axımın orta çoxillik kəmiyyəti (norması) təyin edilir. Əlaqə qrafikləri öyrənilən məntəqədə və analoq məntəqədə ən azı 6 il paralel yerinə yetirilmiş müşahidə məlumatlarına görə qurula bilər. Əlaqələr o halda istifadəyə yararlı hesab olunurlar ki, onların korrelyasiya əmsalı 0,7-dən kiçik olmasın. Əlaqə düzxətli olduqda axım norması birbaşa analoq çayın axım normasına görə təyin edilir.

Əlaqə əyrixətli olduqda, onun xətti olmamasının statistik əhə-

miyyətliliyi qiymətləndirilməlidir.

Öyrixətli əlaqədən istifadə etdiqdə, əvvəlcə, analoq çayın məlumatlarına görə öyrənilən çayın qısa sırası uzadılır və bərpa olunmuş sıranın parametrləri hesablanır.

#### 4.3.3. Qraf-analitik metod

Qraf-analitik metoddan istifadəyə də yalnız layihələndirmənin ilkin mərhələlərində yol verilir. Paylanması parametrlərinin çoxillik dövrə gətirilməsi aşağıdakı ardıcılıqla yerinə yetirilir:

1. Paralel müşahidələr dövrü üçün öyrənilən çay və analoq çayın axım kəmiyyətləri arasında əlaqə qrafiki qurulur.
2. Analoq çayın axım sırasının parametrləri qraf-analitik metodla hesablanır və analitik təminat əyrisi qurulur.
3. Analoq çayın analitik təminat əyrisindən paylanması üç kvantili (5%, 50%, 95%) təyin olunur.
4. Analoq çayın 5%, 50% və 95% təminatlı axım kəmiyyətlərinə görə əlaqə qrafikindən qısa sıranın çoxillik dövrə gətirilmiş müvafiq təminatlı axım qiymətləri tapılır.
5. Öyrənilən çayın çoxillik dövrə gətirilmiş 5%, 50% və 95% təminatlı qiymətlərinə görə paylanması parametrləri hesablanır:

$$S = \frac{Q_{5\%} + Q_{95\%} - 2Q_{50\%}}{Q_{5\%} - Q_{95\%}}, \quad (4.17)$$

$$\sigma = \frac{Q_{5\%} - Q_{95\%}}{\phi_{5\%} - \phi_{95\%}}, \quad (4.18)$$

$$\bar{Q} = Q_{50\%} - \phi_{50\%} \cdot \sigma, \quad (4.19)$$

burada  $Q_{5\%}, Q_{50\%}, Q_{95\%}$ -su sərflərinin müvafiq təminatlı qiymətləri;  $\phi_{5\%}, \phi_{50\%}, \phi_{95\%}$  – binomial paylanması əyrisinin normallaşdırılmış ordinatları; S-əyintilik əmsali;  $\sigma$ -orta kvadratik meyletmədir.

Asimetriya əmsali əyintilik əmsalına görə təyin olunur.

Parametrlərin hesablanmış qiymətlərinə görə öyrənilən çay üçün analitik təminat əyrisi qurulur və tələb olunan təminatlı su sərfləri təyin edilir.

## **5. MÜSAHİDƏ MƏLUMATLARI OLMADIQDA AXIM XARAKTERİSTİKALARININ HESABLANMASI**

### ***5.1. İllik aximin hesablanması***

Ölçülmüş su sərfləri haqqında məlumatlar olmadıqda illik axımı hesablamaq üçün aşağıdakı metodlardan istifadə olunur:

1. İnterpolyasiya metodu;
2. İllik axım xəritələri;
3. Empirik rayon əlaqələri;
4. Su balansı metodu.

*İnterpolyasiya metodu* sadə və asandır. Əgər, hesabi kəsik çay üzərindəki iki müşahidə məntəqəsinin arasında yerləşirsə, onda bu metodun tətbiqi məqsədə uyğundur. Düzənlik çaylarında xətti interpolyasiyadan istifadə olunur, dağ çaylarında isə axım qarşıyentinin hündürlüyü görə dəyişməsi nəzərə alınır.

*İllik axım xəritələri*, adətən orta çayların məlumatları əsasında tərtib olunur. Dağlıq ərazilər üçün axım xəritələri tərtib edilərkən bir sıra obyektiv çətinliklər ortaya çıxır. Bu, ilk növbədə relyefin mürəkkəbliyi və hidroloji şəbəkənin kifayət qədər sıx olmaması ilə əlaqədardır. Buna görə də dağlıq ərazilərdə axım izoxətləri təxminini keçirilir və onlar illik axımın ərazi üzrə paylanmasıının ümumi qanuna uyğunluqlarını eks etdirir. Dağlıq ərazilərdə xəritələrin dəqiqliyi az olduğuna görə, onlardan hidroloji hesablamalarda istifadə olunmur. Azərbaycan çaylarının ilk illik axım xəritəsini S.H.Rüstəmov hazırlamışdır (Rüstəmov, 1960).

Kiçik düzənlik, həm kiçik, həm də orta dağ çaylarının illik axımının hesablanmasından *empirik rayon əlaqələrindən* geniş istifadə olunur. İllik axımın əmələgəlmə şəraiti bircins olan hidroloji rayonlar üçün illik axım modulu ilə sutoplayıcının sahəsi, orta hündürlüyü, meşəlik, göllük əmsali və s. parametrlər arasında əlaqə qrafikləri qurulur, onların analitik ifadələri alınır.

Kiçik düzənlik çaylarının illik axımını hesablamaq üçün çox zaman axım modulu ilə sutoplayıcının sahəsi arasında asılılıqdan istifadə olunur.

Dağılıq ərazilərdə əsas axım əmələgətirən amillərin dəyişməsində ən mühüm və ümumi qanunauyğunluq yüksəklik qurşaqlığının mövcudluğudur. Buna görə də çoxsaylı amillərin illik axıma birgə təsirini qiymətləndirmək üçün integrall göstəricisi kimi sutoplayıcının orta hündürlüyündən istifadə edilir. Illik axımın çoxillilik kəmiyyətinin ərazi üzrə paylanması qanunauyğunluqlarını müəyyən etmək üçün axım modulunun,  $q$ , sutoplayıcının orta hündürlüyündən,  $H$ , asılılığı təhlil olunur. Əslində  $q=f(H)$  əlaqəsinin qurulması coğrafi ümumiləşdirmə metodunun realizə olunmasıdır: çay axımı və onun amillərinin ərazi üzrə paylanması haqqında məlumatlar çay hövzəsinin coğrafi mövqeyi ilə qiymətləndirilir. Bu zaman, düzənlik ərazilərdən fərqli olaraq sutoplayıcının planda yeri ilə yanaşı yüksəkliyi də nəzərə alınır. Baxılan əlaqənin etibarlığı ilk növbədə hidroloji rayonda fəaliyyət göstərən müşahidə məntəqələrinin sayından asılıdır.

Ərazinin hidroloji öyrənilmə səviyyəsi yaxşılaşdıqca, illik axımın paylanmasında yeni detallar aşkarlanır və bu, ortalaşdırılmış (təxminə) əlaqələrin əvəzinə daha differensasiyalı (dəqiq) əlaqələr almağa imkan verir.

Coxillik dövr üçün çay hövzəsinin *su balansı tənliyi* aşağıdakı kimidir:

$$R=P-E, \quad (5.1)$$

burada R-orta axım layı, mm; P-sutoplayıcıya düşən atmosfer yağıntıları, mm; E-sutoplayıcının səthindən cəm buxaranmadır, mm.

Su balansının bu tənliyi aşağıdakı şərtlər ödənilidikdə doğrudur:

- Hövzədəki qrunt suları çayın qidalanmasında iştirak edir;
- Qonşu çaylarla yeraltı su mübadiləsi olmur;
- Atmosfer yağıntılarının əmələgətirdiyi sular fəal su mübadiləsi zonasından kənara infiltrasiya olunmur;
- Çayın qidalanmasında artezian suları iştirak etmir.

Bu sadalanan şərtlər ödənilmirsə, onda su balansı tənliyi aşağıdakı şəkildə yazılır:

$$R=P-E \pm R_y, \quad (5.2)$$

burada  $R_y$ -suyun dərin su horizontlarına infiltrasiyanı ( $-R_y$ ) və ya çayın əlavə yeraltı sularla ( $+R_y$ ) qidalanmasını səciyyələndirir.

Öyrənilən çayla qonşu çaylar arasında yeraltı su mübadiləsini hidrodinamik metodlarla birbaşa qiymətləndirmək üçün geniş hidrogeoloji tədqiqatlar və quyuların su rejimi üzərində müşahidələr yerinə yetirilməlidir. Belə tədqiqatlarsız, daha doğrusu öyrənilməmiş çaylar üçün  $\pm R_y$  elementini təyin etmək və ya qiymətləndirmək qeyri mümkündır. Hətta, hidrogeoloji şəraitini yaxşı öyrənilmiş çay hövzələri üçün bu elementin kəmiyyəti su balans hesablamalarının xətası səviyyəsində olur.

İllik axım normasını təyin etmək üçün su balansı tənliyi o halda tətbiq edilə bilər ki,  $\pm R_y$  elementinin kəmiyyəti o qədər də böyük olmasın və onda o, hesablamalarda nəzərə alınmaya bilər. Belə yanaşma hövzələri çox da mürəkkəb olmayan geoloji şəraitdə yerləşən orta çaylar üçün düzgündür. Hətta, bu halda da su balansı tənliyi ilə bağlı bir sıra hidrometeoroloji problemlər nəzərə alınmalıdır.

Atmosfer yağışları haqqında məlumatlar təsadüfi və sistematik xətalarla səciyyələnir. Çoxillik dövr üçün su balansı tənliyi tərtib edildikdə təsadüfi xətaların təsiri əhəmiyyətli deyildir. Yağıntı haqqında məlumatlar ortalaşdırıldıqda sistematik xətalar kənarlaşdırılmışdır və azalmır, nəticədə onlar yağıntı normasının qiymətinə təsir göstərir. Keçən əsrin 60-ci illərində müəyyən olunmuşdur ki, keçmiş SSRİ ərazisində ölçülülmüş maye yağışlarının kəmiyyəti 15-45%, sülb yağışlarının isə 60%-ə qədər sistematik azaldılmışdır. Yağışların miqdarı dəqiqləşdirilərək orta hesabla 34% artırılmışdır. Nəticədə, buxarlanmanın orta kəmiyyəti 56% artırılmışdır.

Çay sutoplayıcısına düşən atmosfer yağışlarının orta qiymətinin təyini kifayət qədər mürəkkəb məsələdir. Bu hesablamalar aşağıdakı metodlara görə yerinə yetirilir:

- ədədi ortalaşdırma metodu;
- orta çəki metodu;
- poligonlar metodu [ingilis dilli ədəbiyyatda Tissen metodu (Thiessen polygon method, 1911)];

- kvadratlar metodu;
- izogiyet metodu.

Bu metodlar düzənlilik çaylar üçün daha effektivdir.

Dağ çaylarının sutoplayıcılarına düşən yağıntıların normasını hesablamaq üçün illik yağıntı cəmləri ilə meteoroloji müşahidə məntəqələrinin yerləşdiyi hündürlük arasında əlaqə qrafiklərindən istifadə olunur. Belə qrafiklər səmti və relyefi bircins olan nisbətən kiçik yamaclar üçün qurulur. Bu qrafikdə  $3-5 \text{ min km}^2$  ərazidə olan məntəqələrin məlumatları ümumiləşdirilir. Əgər yağıntılar üzərində müşahidələr çay hövzəsinin bütün hündürlük zonalarında aparılırsa, onda hündürlükləri yaxın olan müşahidə məntəqələrinin məlumatlarını ortalaşdırmaq olar. Ortalaşdırılmış cəm yağıntılar qrafikdə müvafiq məntəqələrin orta hündürlüyüünə aid edilir. Əlaqə əyri və ya düzxətli ola bilər. Yerli amillər yağıntının miqdarına böyük təsir göstərdiyi üçün bəzi nöqtələr əlaqə xəttindən kəskin meyl edə bilər. Belə nöqtələrin uyğun olduğu məntəqələrin məlumatları qonşu məntəqələrin məlumatları ilə tutuşdurulmalıdır. Yalnız hərtərəfli təhlildən sonra bu nöqtələri nəzərə almamaq olar.

Dağ çayı hövzəsinə düşən orta yağıntı layı aşağıdakı düstura görə hesablanır:

$$\bar{P} = \frac{P_1 f_1 + P_2 f_2 + \dots + P_n f_n}{F}, \quad (5.3)$$

burada  $\bar{P}$  - hövzəyə düşən orta yağıntı layı;  $f_1, f_2, \dots, f_n$  - ayrı-ayrı hündürlük zonalarının hipsometrik əyriyə görə hesablanmış sahələri;  $P_1, P_2, \dots, P_n$  - müxtəlif hündürlük zonaları üçün orta yağıntı layı (yağıntının hündürlükdən asılılıq əlaqəsinə görə təyin olunur);  $F$  - hövzənin sahəsi.

Aydındır ki, istənilən metodla yağıntıların orta kəmiyyətinin qiymətləndirilmə dəqiqliyi ilk növbədə ölçmə məntəqələrinin sayından asılıdır. ABŞ-in Milli Hava Xidməti (National Weather Service) meteoroloji müşahidə məntəqələrinin minimal sayını təyin etmək üçün aşağıdakı düsturu tövsiyə edir:

$$N=0,73 A^{0,33}, \quad (5.4)$$

burada N-məntəqələrin minimal sayı; A-ərazinin (sutoplayıcının) sahəsidir,  $\text{km}^2$ .

Çay sutoplayıcısının səthindən buxarlanması dəqiqlik hesablaması üçün hər bir landşaft tipindən buxarlanma nəzərə alınmalıdır. Lakin real şəraitdə öyrənilməmiş çayların axım norması hesablaşdırıqda ayrı-ayrı landşaft tiplərinin yayıldığı sahələrdən buxarlanma haqqında mövcud informasiya kifayət qədər olmur və buna görə də sutoplayıcıdan cəm buxarlanma təyin edilir.

İlk dəfə alman alimi R.Şreyber (Schreiber, 1904) və rus alimi E.M.Oldekop (Ольдекоп, 1911) müxtəlif fiziki-coğrafi şəraitlərdə buxarlanma normasını hesablamaq üçün düsturlar təklif etmişlər.

Müxtəlif səthlərdən buxarlanmayı hesablamak üçün su və istilik balansı təhlilcərindən, turbulent diffuziya metodundan, empirik əlaqələrdən və buxarlandırıcıların məlumatlarından istifadə olunur. Keçmiş SSRİ-də buxarlanmanın orta çoxillik kəmiyyətini təyin etdiyidə daha çox A.R.Konstantinov (Константинов, 1968) və M.İ.Budikonun (Будыко, 1956) metodlarına üstünlük verilirdi.

Qərb ölkələrində son bir neçə onillikdə buxarlanmayı qiymətləndirmək üçün 100-dən artıq empirik və yarım-empirik metodlar işlənilmişdir. Bu metodlar 4 qrupa bölündür: radasiya, temperatur, qarışiq (kombinə olunmuş) və buxarlandırıcı metodları. İlk 2 qrup metodun əsas parametrləri müvafiq olaraq cəm günəş radasiyası və havanın temperaturudur. Bu qrup metodlarda küləyin sürəti və buxarlandırıcı səth üzərində xüsusi-rütubətlik qradiyenti nəzərə alınmir. Kombinə olunmuş metodlarda yuxarıda qeyd olunan bütün parametrlər nəzərə alınır. Hazırda hidroloqlar buxarlanmayı hesablaşdırıqda məhz bu qrup metodlara aid edilən və fiziki-nöqtəyi nəzərdən yaxşı əsaslandırılmış Penman-Monteys (Penman-Monteith, 1981) metodundan daha çox istifadə edirlər. Buxarlanmanın bu metodla hesablanmış və ölçülmüş qiymətləri bir-birinə kifayət qədər yaxındır (ASCE, 1990).

Penman-Monteys təhlili aşağıdakı kimi yazılır:

$$ET_c = \frac{1}{\rho_w \lambda} \left[ \frac{\Delta(R_n - G) + \rho_a C_p \frac{e_s - e_a}{r_a}}{\Delta + \gamma \left( 1 + \frac{r_s}{r_a} \right)} \right], \quad (5.5)$$

burada  $ET_c$  -cəm buxaranma, mm/sutka;  $p_w$  -suyun sıxlığı;  $\lambda$  - buxar əmələgəlmənin gizli istiliyi;  $\Delta$  -döymüş su buxarının elastikliyinin qradiyenti;  $R_n$  -cəm günəş radiasiyası;  $G$  -torpağın qızmasına sərf olunan enerji;  $p_a$  -havanın sıxlığı;  $C_p$  -havanın xüsusi istilik tutumu;  $e_s$  -döymüş su buxarının elastikliyi;  $e_a$  -havadakı su buxarının elastikliyi;  $r_a$  - aerodinamik müqavimət;  $\gamma$  -psi-xrometrik sabit;  $r_s$  -səthin müqavimət əmsalıdır.

Su balansı metodu tətbiq edildikdə nəzərə almaq lazımdır ki, nə yağıntılar, nə də buxaranma haqqında dəqiq məlumatlar yoxdur. Hər iki elementin hövzə üçün hesablanmış qiymətlərinin sistematik xətalarına nəzarət etmək mümkün deyildir. Buna görə də su balansı metodunun dəqiqliyini qiymətləndirmək üçün statistik metodlardan istifadə olunur. Bu məqsədlə, əvvəlcə bircins hidroloji rayonda hidrometrik müşahidə məlumatları olan hər bir çay üçün axım norması iki müxtəlif metodla təyin olunur:

- faktiki hidrometrik məlumatlara görə ("hidrometrik axım"),
- yağıntı və buxaranmanın hesablanmış qiymətlərinin fərqi -nə görə,  $(P_h - E_h)$  ("iqlim axımı").

Sonra illik axım normasının bu iki yolla müəyyən edilmiş qiymətləri müqayisə olunur. Belə təhlil rəgressiya tənliyinə görə yerinə yetirilə bilər:

$$R_f = a(P_h - E_h), \quad (5.6)$$

burada  $R_f$ -illik axım normasının faktiki hidrometrik müşahidə məlumatlarına görə təyin olunmuş qiyməti;  $P_h$ -sutoplayıcı üçün atmosfer yağıntılarının orta qiyməti;  $E_h$ -sutoplayıcı səthdən buxaranmanın orta qiyməti;  $a$ -reqressiya əmsalıdır.

Bu halda illik axım normasının yağıntı və buxarlanmaya görə hesablanmış qiymətinin sistematik xətaları repressiya tənliyinin parametrləri ilə nəzərə alınır. Təsadüfi xətalar isə faktiki nöqtələrin repressiya xəttindən meyl etmələrinə görə qiymətləndirilir. Bu yolla tərtib edilmiş repressiya tənliyindən müşahidə məlumatları olmayan çayların illik axım normasını hesablamaq üçün istifadə etmək olar.

Müşahidə məlumatları olmayan çayların illik axımının variasiya əmsalını hesablamaq üçün empirik əlaqələrdən istifadə olunur (şəkil 5.1). Əsas empirik əlaqə kimi K.P.Voskresenskinin (Воскресенский, 1962) düsturu qəbul edilmişdir:

$$C_v = \frac{A}{q^{0.4}(F + 1000)^{0.1}}, \quad (5.7)$$

burada  $A$  -coğrafi parametr (analоq çayların məlumatlarına görə təyin olunur və 1-3 arasında qiymətlər alır);  $q$  -orta çoxillik axım modulu;  $F$  -sutoplayıcının sahəsidir.

Digər regional empirik düturlar da var:

$$C_v = a - b \lg q - c \lg F, \quad (5.8)$$

$$C_v = \frac{A}{q^m F^n}, \quad (5.9)$$

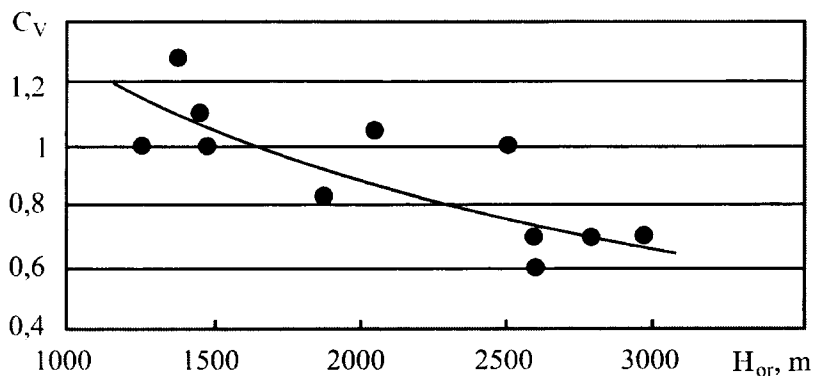
burada  $a, b, c, A, m, n$  - hövzənin coğrafi şəraitini səciyyələndirən parametrlərdir.

Dağ çaylarının illik axımının variasiya əmsali aşağıdakı düsturlara görə təyin oluna bilər:

$$C_v = \frac{a}{H^m}, \quad (5.10)$$

$$C_v = \frac{b}{H^m F^n}, \quad (5.11)$$

burada  $H$  -sutoplayıcının orta hündürlüyü;  $a, b, m, n$ -asılılığının parametrləridir.



**Şəkil 5.1.** Böyük Qafqazın şimal-şərqi yamacı çayları üçün variasiya əmsalının hövzənin orta hündürlüyündən asılılıq qrafiki

Asimetriya əmsalını təyin etmək üçün analoq çayın asimetriya əmsalının variasiya əmsalına nisbətindən istifadə olunur. Analoq çay olmadığıda bircins hidroloji rayonun digər çayları üçün hesablanmış  $C_s / C_v$  nisbətinin orta qiyməti qəbul edilir.

Adətən, ifrat və dəyişən rütubətli zonaların çayları üçün  $C_s = 2C_v$  arid zona üçün  $C_s = 1,5-1,8 C_v$  və epizodik quruyan çaylar üçün  $C_s = 1,5 C_v$  təşkil edir. Dağ çayları üçün bu nisbət 2,5-3,0-ə çata bilər.

## 5.2. Maksimal axımın hesablanması

### 5.2.1. Maksimal axımın əmələ gəlməsinin genetik düsturu

Yaz gursuluğu və yağış daşqlarının maksimal axımını hesablamak üçün istifadə olunan düsturların əksəriyyəti səth axımının formallaşmasının genetik nəzəriyyəsinə və axımın genetik düsturuna əsaslanır. Genetik nəzəriyyə çay sutoplayıcısında səth axımı əmələ gələrkən yaranan səbəb-nəticə əlaqələrini əks etdirir.

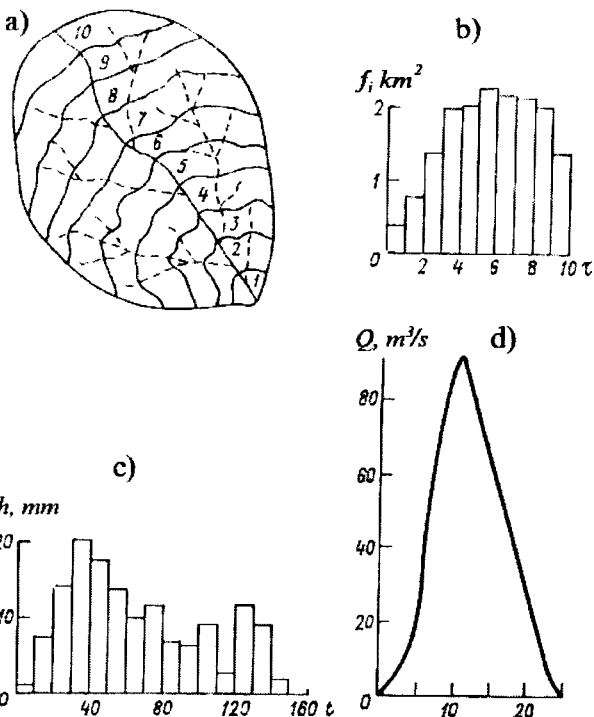
O, qarın əriməsi və ya yağışın yağması nəticəsində sutoplayıcıdan suvermənin gedisi, çay hövzəsinin bəzi fərdi xüsusiyyətlərini nəzərə almağa və bunların nəticəsində gursululuq və ya daşqının sxematik hidroqrafını tərtib etməyə imkan verir.

Maksimal axımın formalaşmasının genetik nəzəriyyəsi ilk dəfə N.Y.Dolqov tərəfindən 1916-cı ildə təklif olunmuşdur.

Yaz gursululuğu və yağış daşqınları ərinti və yağış sularının sutoplayıcının yamacları ilə axması, onların hidroqrafik şəbəkəyə gəlib çatması və qapayıcı məntəqədə elementar su sərflərinin cəmlənməsi nəticəsində formalaşır. Buna görə də gursululuq və daşqınların əmələgəlmə sxeminin əsasını suyun qapayıcı məntəqəyə qədər qaçış müddətinin nəzərə alınması təşkil edir. Sutoplayıcıda suyun əmələgəlmə intensivliyi ( qarın əriməsi və ya yağışın yağması) zamana görə sabit qəbul olunur.

Sutoplayıcının səthində formalaşan suyun qapayıcı məntəqəyə qədər qaçış müddəti ( $\tau$ ) onun yamaclarda və məcrada keçdiyi yolun uzunluğundan,  $\ell$ , və axının sürətindən,  $v$ , asılıdır. Beləliklə,  $\tau = \ell / v$ .

Qaçış müddətinin,  $\tau$ , davamiyyətindən asılı olaraq, hesabi zaman intervalı  $\tau_0$  təyin olunur: 10, 20, 30, 60 dəq, 2 saat və s. Adətən,  $\tau/\tau_0$  nisbəti 10-20 arasında dəyişir. Sonra suyun  $\tau_0$  zaman intervalı ərzində keçdiyi çay hissəsinin uzunluğu hesablanır, yəni  $\ell_0 = v\tau_0$ . Sutoplayıcının planında qapayıcı məntəqədən başlayaraq hidroqrafik şəbəkə boyu və yamaclarda  $\ell_0$  məsafələri qeyd olunur. Beləliklə, sutoplayıcıda qapayıcı məntəqədən qaçış müddətinə görə eyni məsafədə yerləşmiş nöqtələr sistemi alınır. Bu nöqtələr əyri xətlə birləşdirilir və alınan xətlər izoxronlar adlanır. Izoxronlar sutoplayıcını bir neçə ( $\tau/\tau_0$ ) hissəyə böllür. Qonşu izoxronlar arasında məsafə  $\ell_0$ -dır. Izoxronları keçirdikdə belə hesab olunur ki, su yamaclardan ən yaxın məcraya relyefin horizontallarına perpendikulyar istiqamətdə daxil olur. Buna görə də izoxronların istiqaməti, ümumi halda, horizontalların istiqamətinə uyğun gəlir (şəkil 5.2).



*Şəkil 5.2. Sutoplayıcıda izoxronların sxemi (a), vahid sahələrdən eyni zamanda axımın paylanması qrafiki (b), yağıntıların gedişi (c) və daşqın hidroqrafi (d)*

Beləliklə, genetik nəzəriyyəyə görə daşqın əmələ gəldikdə sutoplayıcının müxtəlif hissələrində formalanmış elementar su hacmləri (sərfləri) toplanır və qapayıcı mövqeyə doğru hərəkət edir. Əgər daşqının formalanma prosesinə mərhələ-mərhələ baxılarsa, axımın genetik nəzəriyyəsini riyazi formada ifadə etmək olar. Qar əridikdə və yağış yağdıqda əvvəlcə sutoplayıcının səthi islanır, sonra isə axım başlayır. Axım başlıqdandan sonra birinci hesabi zaman intervalında qapayıcı mövqeyə ən yaxın hövzə hissəsindən axım müşahidə olunur və elementar su sərfi aşağıdakı düsturla hesablanır:

$$Q_1 = h_1 f_1. \quad (5.12)$$

Eyni vaxtda hər bir hövzə hissəsində elementar su sərfi əmələ gələcək. İkinci zaman intervalının sonunda müşahidə məntəqəsinə həm birinci və həm də ikinci meydançadan su gəlib çatacaq:

$$Q_2 = h_1 f_2 + h_2 f_1 \quad (5.13)$$

Lakin yuxarıda qeyd olunduğu kimi, maksimal axımın formallaşmasının baxılan sxemində yağışın yağma intensivliyi zamana görə dəyişməz (sabit) qəbul edilir. Buna görə də  $h_1 = h_2 = \dots = h_n$  və  $Q_2 = h(f_1 + f_2)$ . Üçüncü zaman intervalının axırında:

$$Q_3 = h \sum_1^3 f_i \quad (5.14)$$

və ümumi halda:

$$Q_i = h \sum_1^i f_i \quad \text{və ya} \quad Q_i = \int_0^i h \frac{\partial f}{\partial \tau} d\tau, \quad (5.15)$$

burada  $Q_i$ -daşqın və ya gursululuq başlandıqdan sonra i zamanında su sərfləri ;  $h$ -i-zamanında yamac axımının layı;  $\tau$ -qaçış müddəti;  $f$ -qonşu izoxronlar arasında sahədir.

Tənlik (5.15) axımın genetik düsturu adlanır və adətən səth axımının formallaşma prosesinin nəzəri təhlilində istifadə olunur. Bu onun praktiki tətbiqinin və vahid axım layının (modulunun) təyininin mürəkkəbliyi ilə əlaqədardır. Təbii çay sutoplayıcılarında axımın bir hissəsi müxtəlif növ itkilərə sərf olunur və buna görə də tənlik (5.15) aşağıdakı kimi yazılı bilər:

$$Q_i = \int_0^i (x - p) \frac{\partial f}{\partial t} dt, \quad (5.16)$$

burada  $x$ -t zaman intervalı ərzində yağış və ya ərinti sularının layı;  $p$ -həmin zamanda axım itkisiidir.

Hər iki tənliyə (5.15 və 5.16) dəyişən kəmiyyətlər və bir-biri ilə əlaqəli parametrlər daxildir. Bunlar isə təbii çay sutoplayıcısı

üçün qeyri-müəyyən funksiyalarıdır. Buna görə də bu tənlikləri müəyyən sadələşdirmələrsiz həll etmək qeyri-mümkündür. Əgər, yağış yağan zaman əmələ gələn suyun hərəkət sürəti bütün daşqın üçün sabit, sutoplayıcının müxtəlif hissələri üçün eyni qəbul edilərsə və axım itkisi nəzərə alınarsa, onda axımın genetik düsturunu aşağıdakı kimi yazmaq olar:

$$Q_t = h_1 f_{t-1} + h_2 f_{t-2} + \dots + h_l f_{t-l} \quad (5.17)$$

Axımın genetik düsturu (5.17) daşqının məcrada hərəkəti zamanı onun yastılaşmasını və məcra şəbəkəsinin axım tənzimləyici rolunu nəzərə almır. Kiçik çayların məcra şəbəkəsi zəif olduğuna görə daşqın az yastılanır. Bu səbəbdən, axımın genetik düsturu praktikada kiçik çaylar üçün daha yaxşı nəticələr verir.

Daşqın və ya gursululuğun formallaşması öyrənildikdə qacış müddəti,  $\tau$ , ilə suvermənin davamiyyətinin,  $t_s$ , nisbətindən asılı olaraq üç hala baxılır. Bu barədə "Çay axımı" dərsliyində geniş məlumat verilir (İmanov, 2002).

Bəzi məlum şərtlərə (axım sürətlərinin dəyişməməsi, izoxronların stasionarlığı) baxmayaraq, axımın genetik düsturu yağış və qarın suverməsinin gedişini, habelə yamacların və məcranın uzunluğunu, hidroqrafik şəbəkənin sıxlığını, sutoplayıcının formasını qacış müddətinin vasitəsilə nəzərə almağa imkan verir. Buna görə də axımın genetik düsturunun istifadəsi ilə hesablanmış su sərfərinin cəmi daşqının ümumi həcmini verir:

$$W = \tau_o \sum_{i=1}^{i=\tau+t_s} Q_i = 1000HF, \quad (5.18)$$

burada  $\tau_0$  – hesabi zaman intervalında saniyələrin sayı; H-suvermənin ümumi layı;  $H = \sum h_i$ ; F-sutoplayıcının ümumi sahəsi; 1000-keçid əmsalıdır ( $W \text{ m}^3$ ,  $H \text{ mm}$  və  $F \text{ km}^2$ -lə ifadə olunduqda).

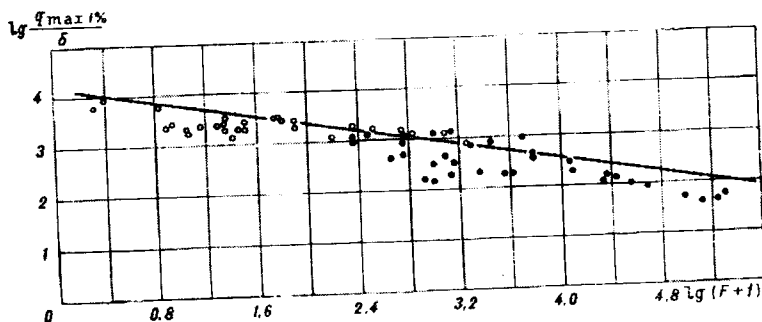
### 5.2.2. Maksimal axımın reduksiyası

Axımın genetik nəzəriyyəsinə görə, daşqın və ya gursululuğun davamiyyəti qacış müddəti ilə suvermənin davamiyyətinin

cəminə bərabərdir:  $T=\tau+t_s$ . Onda, axımın maksimal modulu daşqın axımının layı ilə ifadə edilərsə,  $q_{\max} = h/T = h/(T+\tau)$  olar. Bu ifadədən görünür ki, qacış müddəti nə qədər böyük olarsa, maksimal axım modulu bir o qədər kiçik olar. Qacış müddətinin kəmiyyəti sutoplayıcının sahəsindən asılıdır: sutoplayıcı sahə böyüdükcə, qacış müddəti də artır. Beləliklə, sutoplayıcının sahəsi böyüdükcə, maksimal axım modulunun azalması (reduksiyası) müşahidə olunur. Bunu axım və suvermənin maksimal intensivliklərinin nisbətinin təhlili də təsdiqləyir. Suvermənin maksimal intensivliyi,  $A_{\max}$ , suvermə layının zamana nisbətinə bərabərdir:  $A_{\max}=h_s/t_s$ . Əgər, axım layı suverməyə bərabər olarsa, yəni  $h=h_s$ , onda  $h=A_{\max}t_s$  və

$$q_{\max} = A_{\max}t_s/(t_s + \tau) = A_{\max}/(1 + \tau/t_s) = \varphi A_{\max}, \quad (5.19)$$

burada  $\varphi$ -maksimal axım modulunun reduksiya əmsalıdır. Bu düsturdan görünür ki, maksimal axımın reduksiya əmsali həmişə vahiddən kiçikdir. Axımın maksimal intensivliyi də həmişə suvermənin maksimal intensivliyindən azdır:  $q_{\max} < A_{\max}$ . Suvermənin davamiyyəti sabit qalarsa ( $t_s=\text{const}$ ), qacış müddəti və ya sutoplayıcı sahə böyüdükcə,  $q_{\max}$  və  $A_{\max}$  arasında fərq də artar. Qeyd etmək lazımdır ki, sutoplayıcı sahə böyüdükcə də maksimal axım modulunun reduksiyası müşahidə olunur (şəkil 5.3).



*Şəkil 5.3. Maksimal axım modulunun sutoplayıcının sahəsinə görə reduksiya qrafiki*

Maksimal axım modulunun mümkün qiymətlərinin hüdudları qəçış müddətindən asılıdır:  $\tau \rightarrow 0$  olduqda  $q_{\max} \rightarrow A_{\max}$  və  $\tau \rightarrow \infty$  olduqda isə  $q_{\max} \rightarrow 0$ .

Yağış daşqınlarının maksimal modulunun reduksiyası yaz gursuluğu ilə müqayisədə daha qabarlıq şəkildə müşahidə olunur, çünki leysan yağışları zamanı suvermənin davamiyyəti qarın ərimə müddətinə nisbətən xeyli azdır. Axımın maksimal modulunun azalma sürəti  $\tau < t_s$  olduqda kiçik sutoplayıcılar üçün daha azdır.

Daşqın və gursuluğun maksimal axım modulunun reduksiyası haqqında yuxarıda qeyd olunanlar yamac axımının torpağın səthində müşahidə olunduğu rayonlara tətbiq oluna bilər. Meşəli çay hövzələrində yamac axımı əsasən torpaq qatında baş verir. Belə hallarda kiçik çaylar üçün  $t/t_s$  nisbəti çox kiçik olur, reduksiya əmsalı vahidə yaxınlaşır və maksimal axım modulu sutoplayıcının sahəsi artdıqca nəinki azalmır, bəzən dəyişməz qalır və ya artır. Yerli şəraitdən asılı olaraq, maksimal axım modulunun mütəmadi azalması sutoplayıcı sahənin  $100-300 \text{ km}^2$ -dən böyük qiymətlərində müşahidə olunur. Geniş ərazilərdə daşqın və gursuluq sularının rəngarəng formalışma və axım şəraitini maksimal axım modulunun sahəyə görə reduksiyasının müxtəlif xarakterli olması ilə nəticələnir.

**Misal 5.1.** Aşağıda verilmiş məlumatlardan istifadə etməklə yağıntıların 10% təminatlı intensivlik-davamiyyət-təkrarlanması ayrisini qurun.

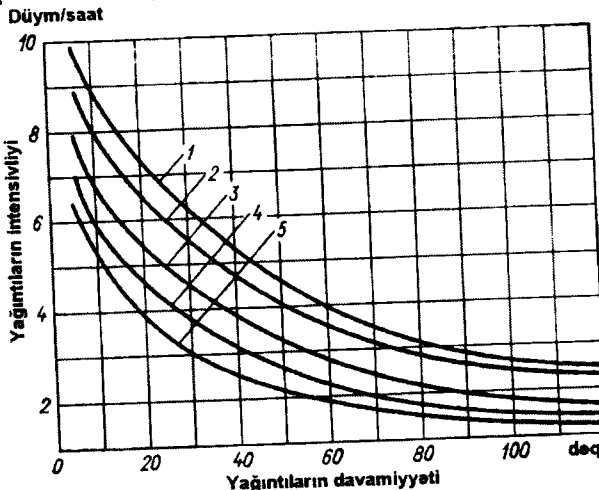
| Davamiyyət, t dəq        | 0.5 | 10  | 15  | 30  | 60  | 120 |
|--------------------------|-----|-----|-----|-----|-----|-----|
| İntensivlik, i düym/saat | 7.1 | 5.9 | 5.1 | 3.8 | 2.3 | 1.4 |
| 1/i                      | 1.4 | 1.7 | 2.0 | 2.6 | 4.3 | 7.1 |

**Həlli:** 1.  $i = \frac{A}{t + B}$  bərabərliyi aşağıdakı xətti şəklə salına bilər:

$$\frac{1}{i} = \frac{t}{A} + \frac{B}{A}$$

2.  $1/i$ -nin zamandan ( $t$ ) asılılıq qrafikini quraraq,  $\frac{1}{i} = 0.005t \pm 0.12$  reqressiya tənliyini alırıq. Bu tənlikdən görünür ki,  $A=200$ ,  $B=24$ .

3. Beləliklə, yağışının intensivliyi üçün düstur belə yazılır:  
 $i = \frac{200}{(t + 24)}$ . Korrelyasiya əmsalı – 0.997-ə bərabərdir. Empirik nöqtələr şəkil 5.4-də göstərilən 4-cü əyriyə tam uyğundur.



*Şəkil 5.4. Intensivlik-davamiyyət-təkrarlanma ayrılları*

1-100 ildə 1 dəfə təkrarlanma; 2- 50 ildə 1 dəfə təkrarlanma; 3- 20 ildə 1 dəfə təkrarlanma; 4- 10 ildə 1 dəfə təkrarlanma; 5- 5 ildə 1 dəfə təkrarlanma.

### 5.2.3. Yaz gursulu dövrünün maksimal su sərfərinin hesablanması

Maksimal su sərfəri hidroloji müşahidə məlumatlarının coğrafi-hidroloji ümumiləşdirilməsi yolu ilə hesablanır. Bunun bir neçə əsas səbəbi var:

- yaz gursulu dövründə axımın əmələgəlmə prosesi çox mürəkkəb olduğundan və hidrometeoroloji müşahidə məntəqələr şəbəkəsi zəif inkişaf etdiyinə görə, bu prosesi analitik şəkildə ifadə etmək çox çətindir;
- hidroloji hesablamalar təcrübəsində nisbətən sadə metodlara üstünlük verilir, çünki bu halda hidroloji axtarışlara və hesablama işlərinə minimal həcmdə vəsait sərf olunur;

- kütləvi şəkildə istifadəyə yararlı riyazi modellər hələlik işlənilməmişdir.

Yuxarıda qeyd olunanlar göstərir ki, hələ uzun müddət ərzində su sərflərinin hesablanmasında istifadə edilən mövcud metodologiya alternativ metod kimi qiymətləndirilən fiziki-riyazi axım modelləri ilə uğurla rəqabət aparacaqdır.

Maksimal su sərflərinin hesablanması üçün təklif olunmuş bütün düsturlar iki qrupa bölünür:

1. Reduksion düsturlar-sutoplayıcı sahə artıqca maksimal axım modulunun azalmasını (reduksiyasını) nəzərə alır;

2. Həcmi düsturlara-maksimal su sərfinə gursulu dövrün axım həcmi, davamiyyəti və formasının funksiyası kimi baxılır.

Reduksion düsturlar birləşmiş hesab olunurlar, çünki onlar gursulu dövrün yalnız bir xarakteristikasını – su sərfini hesablamaga imkan verirlər.

Həcmi düsturlarda isə reduksiya dolayı yolla-gursulu dövrün davamiyyəti ilə nəzərə alınır.

Qar sularının əriməsi nəticəsində formalanmış maksimal su sərflərini hesablamaq üçün ilk reduksion düsturu A.O.Karaçayevski-Volk (1899-cu il) təklif etmişdir:

$$q_{\max} = \frac{12}{\sqrt{F + 114}} + 0,05, \quad (5.20)$$

burada  $F$ -sutoplayıcının sahəsidir,  $\text{km}^2$ .

F.Q.Zbrojekin (1901-ci il) düsturu aşağıdakı kimidir:

$$Q_{\max} = Q_0 + K\alpha \frac{H}{T} Fz, \quad (5.21)$$

burada  $Q_{\max}$  – yaz gursulu dövrün maksimal su sərfi;  $H$ -qar örtüyündəki su layı və gursulu dövrdə düşən atmosfer yağıntılarının cəmi;  $T$ -gursulu dövrün davamiyyəti;  $\alpha$ -axım əmsali;  $Q_0$  – gursulu dövrün başlandığı gündən əvvəlki günün orta su sərfi;  $F$ -sutoplayıcı sahə;  $K$ -mütənasiblik əmsali;  $z$ -qarın ərimə intensivliyinin sahə üzrə və zamana görə qeyri-bərabərliyini nəzərə alan əmsaldır.

Y.V.Lanqe 1907-1914-cü illərdə Rusyanın Zavoljye regionu üçün reduksion düstur almışdır:

$$q_{\max} = K \left( \frac{9,1}{\sqrt{F}} + 0,17 \right), \quad (5.22)$$

burada  $K$ -sutoplayıcıının meyilliyi, forması və səthinin xüsusiyyətlərindən asılı olan parametrdir ( $K=0,75-1,25$ ).

O, həmçinin Rusyanın Avropa hissəsi və Qərbi Sibir çayları üçün daha sadə düstur təklif etmişdir:

$$Q_{\max} = 3,53 F^{0,75}. \quad (5.23)$$

Q.I.Tarlovski 1913-cü ilə kimi məlum olan bütün düsturları təhlil etmiş və onları ümumi bir riyazi ifadə şəklinə gətirmişdir:

$$q_{\max} = \frac{A}{\sqrt[n]{F}}, \quad (5.24)$$

burada  $n$ -reduksiya əmsali;  $A$ -vahid sutoplayıcı sahədən ( $1\text{km}^2$ ) maksimal axımın norması ( $\text{m}^3 / \text{s} \cdot \text{km}^2$ );  $F$ -sutoplayıcı sahədir.

D.İ.Koçerin 1926-1928-ci illərdə keçmiş SSRİ-nin Avropa çaylarının maksimal su sərfəri haqqında məlumatları ümumiləşdirmiş və belə nəticəyə gəlmüşdir ki, bircins hidroloji rayon daxilində maksimal su sərfinə yalnız sutoplayıcı sahənin funksiyası kimi baxıla bilər:

$$q_{\max} = \frac{A}{F^n} - B, \quad (5.25)$$

burada  $A$ ,  $B$ ,  $n$ -rayon parametrləridir.

1927-1937-ci illərdə keçmiş SSRİ ərazisində müşahidə məlumatları olmadıqda hidrotexniki qurğuların dəliklərinin ölçüləri Koçerinin düsturuna görə hesablanmışdır.

D.L.Sokolovski hesab edir ki, Koçerinin düsturu, Şezi düsturuna görə hesablanmış və buna görə də dəqiqliyi az olan məlumatlar əsasında alınmışdır. Digər tərəfdən, bu düstura daxil olan parametrlərin fiziki mənası tam aydın deyil. Bunları nəzərə alaraq Sokolovski 1937-ci ildə reduksion tipli yeni düstur təklif etmişdir:

$$q_{\max} = \frac{KA_{\max}}{(F+1)^{0.25}} \delta, \quad (5.26)$$

burada  $A_{\max}$  -sahəsi  $1\text{km}^2$  olan ərazidən çay şəbəkəsinə daxil olan maksimal axımın modulu (elementar axımın maksimal modulu);  $K$  -mütənasiblik əmsalı ( $K=1$ , əgər,  $A_{\max}$   $\text{m}^3/\text{s}$  və  $K=0,278$ , əgər,  $A_{\max}$   $\text{mm/saat}$  ilə ifadə olunduqda);  $\delta$ -göl, bataqlıq və meşənin təsiri nəticəsində maksimal axımın azalmasını nəzərə alan əmsaldır.

İ.F.Qoroşkovun fikrincə, Sokolovskinin düsturunun əsas üs-tünlüyü onun sadəliyi və maksimal axımın fiziki cəhətdən mümkün ən böyük qiymətini təyin etməyə imkan verməsi idi. Buna görə də faktiki olaraq 1951-ci ilə qədər hidroloji hesablamalarda bu düsturdan daha geniş istifadə olunmuşdur. Bu düsturun əsas nöqsan cəhəti reduksiya əmsalının bütün çaylar üçün eyni;  $n=0,25$ , qəbul edilməsidir. Bu halda kiçik sutoplayıcı sahəyə malik çayların maksimal axım modulu üçün şisirdilmiş qiymətlər alınır, çünki sutoplayıcı sahənin kiçik qiymətlərində reduksiya zəifləyir. Bu çatışmazlığı aradan götürmək üçün hesablama düsturunda “ $n$ ” və “ $A$ ” parametrlərinin qiymətləri dəyişən olmalıdır. Lakin kütləvi hesablamalarda bu müəyyən problemlər yaradır. Buna görə də, K.P.Voskresenski (1951-ci il) həm böyük, həm də kiçik çay sutoplayıcıları üçün reduksiya əmsalının qiymətini eyni ( $n=0,25$ ) saxlamaqla aşağıdakı düsturdan istifadə olunmasını tövsiyə etmişdir:

$$q_{\max} = \frac{K_0 h}{(F+10)^{0.25}} \delta, \quad (5.27)$$

burada  $h$  -yaz gursulu dövrün axım layı,  $\text{mm}$ ;  $K_0$  - sutoplayıcıda qarın əriməsinin qeyri-bərabərliyini nəzərə alan əmsaldır ( $K_0 = A/h$ ). Beləliklə, Voskresenski Sokolovskinin düsturunu təkmilləşdirmiştir:  $A$  parametrinin qiymətləri ərazi üzrə böyük diapazonda dəyişdiyinə görə o, gursulu dövrün axım layı ilə əvəz

olunmuş, sutoplayıcı sahəyə  $10 \text{ km}^2$  əlavə edilməsi ilə kiçik sutoplayıcılarında reduksiyanın zəifləməsi nəzərə alınmışdır.

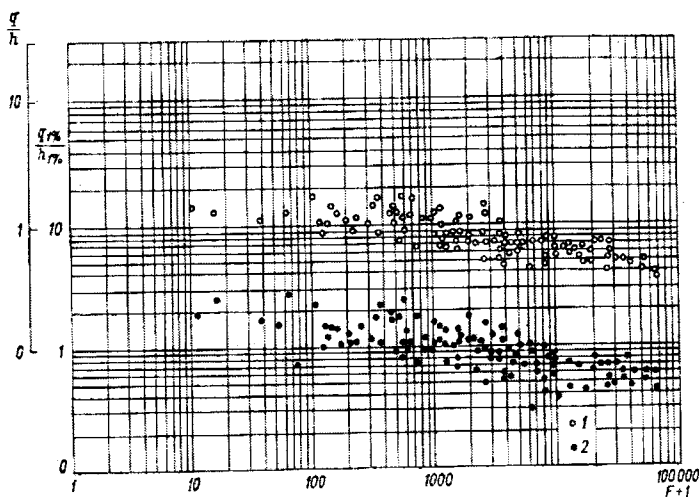
$K_0$  və  $h$  parametrlərindən istifadə hesablamaların dəqiqliyini artırılmış və praktikada düsturdan istifadəni asanlaşdırılmışdır.

K.P.Voskresenskinin təklif etdiyi yanaşma sonradan A.A.Sokolovun rəhbərliyi altında daha da təkmilləşdirilmiş və indi QQİ (Dövlət Hidrologiya İstututu) metodu kimi tanınır.

Bu metod 1966-cı ildə keçmiş SSRİ-də hidroloji hesablamalar üzrə təsdiq olunmuş normativ sənədə daxil edilmişdir.

1972 və 1983-cü illərdə hazırlanmış normativ sənədlərdə də bu metod kiçik dəqiqləşdirmələr və düzəlişlərlə saxlanılmışdır.

Hesablama düsturunun əsas parametrləri  $K_0$  və  $h$  regional reduksiya əlaqələrinə  $q_{1\%}/h_{1\%} = f(F)$  görə təyin olunur. A.A.Sokolov göstərmişdir ki,  $K_0$  parametri üçün orta çoxillik  $\bar{q}/\bar{h}$  və bərabər təminatlı  $q_{1\%}/h_{1\%}$  kəmiyyətlərin loqarifmik formada qurulmuş qrafikləri bir-birinə paraleldir (şəkil 5.5).



Şəkil 5.5.  $q_{1\%} = \psi(F)$  (1) və  $q_{\max} = \psi(F)$  (2) qrafikləri

Reduksiya tənliklərinin bu xüsusiyyəti imkan verir ki, maksimal su sərflərinin orta çoxillik kəmiyyəti ilə yanaşı müxtəlif təminatlı maksimumları da hesablansın. Əgər, 1% təminatlı maksimal su sərfini təyin etmək tələb olunursa, onda, əvvəlcə mövcud xəritələrdən  $\bar{h}$  və  $C_{vh}$  tapılır və  $h_{1\%}$  hesablanır. Bundan sonra isə  $q_{1\%} / h_{1\%} = f(F)$  qrafikinə və ya onun analitik ifadəsinə görə  $q_{1\%}$  təyin olunur:

$$q_{1\%} = \frac{K_0 h_{1\%}}{(F + 1)^n} \quad (5.28)$$

Maksimal axımın digər təminatlı ( $P \neq 1\%$ ) qiymətlərini hesablaşdırıqda yaz gursulu dövrün maksimal su sərfləri və axım layının variasiya əmsallarının fərqli olduğu nəzərə alınmalıdır:  $C_{vg} > C_{vh}$ . Bu fərq  $\mu$  əmsalı ilə nəzərə alınır və yekun düstur aşağıdakı kimi yazılır:

$$q_{p\%} = \frac{K_0 h_{p\%}}{(F + 1)^n} \mu_{p\%} \quad (5.29)$$

Düstura daxil olan  $\mu_{p\%}$  parametri aşağıdakı düstura görə təyin olunur:

$$\mu_{p\%} = \frac{\lambda_{p\%}}{\eta_{p\%}}, \quad (5.30)$$

burada  $\lambda_{p\%}$  və  $\eta_{p\%}$ , müvafiq olaraq maksimal axım modulu və gursululuğun axım layının 1% təminatlı qiymətindən digər təminatlı qiymətlərə keçid əmsalıdır ( $P=1\%$  olduqda  $\mu=1$ ,  $P \leq 1\%$  olduqda  $\mu > 1$ ,  $P > 1\%$  olduqda  $\mu < 1$ ).

Rusiya Federasiyasının “Əsas hidroloji xarakteristikaların təyini” adlı normativ sənədində yuxarıdakı reduksion düsturun dəqiqləşdirilmiş son variantı aşağıdakı kimi verilmişdir (Определение..., 2004):

$$Q_{p\%} = \frac{K_0 h_{p\%}}{(F + F_1)^n} \mu_{p\%} \delta \delta_1 \delta_2 F, \quad (5.31)$$

burada  $F_1$ -sutoplayıcı sahə kiçildikcə maksimal axım modulunun azalmasını nəzərə alan əlavə sahə,  $\text{km}^2$ ;  $\delta$ ,  $\delta_1$ ,  $\delta_2$ -axarlı göllər və su anbarlarının ( $\delta$ ), meşə örtüyünün ( $\delta_1$ ) və bataqlıqlaşmış ərazilərin ( $\delta_2$ ) maksimal su sərfərinə təsirini nəzərə alan əmsallardır.

Bu düstura daxil olan  $K_0$  parametri analoq çayın məlumatlarına görə elə bu düsturla tapılır. Əgər, etibarlı analoq çaylar varsa, onda  $K_0$  iki-üç analoqa görə hesablanır və alınmış qiymətlərin ədədi ortası təyin olunur.

Yaz gursulu dövrün axım layının müxtəlif təminatlı qiymətləri,  $h_{p\%}$ , variasiya əmsalı, asimmetriya və variasiya əmsallarının nisbəti və axım layının orta çoxillik kəmiyyətinə,  $h_o$ , görə hesablanır. Düzənlik çayları üçün  $h_o$  parametri analoq çaylara və ya yaz gursulu dövrünün axım layı xəritəsinə görə təyin olunur. Dağ çayları üçün  $h_o = f(H)$  əlaqələrindən istifadə edilir. Variasiya əmsalı da  $C_v = f(H)$  əlaqəsinə görə tapılır.

Göllərin maksimal axıma təsiri aşağıdakı düstura görə hesablanır:

$$\delta = \frac{1}{1 + Cf_g}, \quad (5.32)$$

burada  $C$ -əmsaldır (meşə və meşə çöl zonası üçün  $C=0,2$ , çöl zonası üçün  $C=0,4$ );  $f_g$ - gölün aynasının onun sutoplayıcı sahəsinə nisbətidir (%-lə).

Dağ çayları üçün  $\delta_1$  və  $\delta_2$  əmsalları vahidə bərabər qəbul olunur.

Qeyd etmək lazımdır ki, M.Ə.Məmmədov Qafqaz, o çələbdən Azərbaycan çaylarında yaz gursululuğunun maksimal su sərfərini bu tip düstur ilə hesablamağı tövsiyə etmişdir. O, müxtəlif rayonlar üçün  $K_0 = f(H)$  və  $K_o = f(F)$  əlaqələrini almış,  $\mu_{p\%}$  parametrinin qiymətlərini hesablamışdır.

Hidroloji hesablamalarda geniş istifadə olunan (5.31) düsturunun əsas çatışmazlığı onun yalnız bir qanuna uygunluğu (suytopluyıcı sahə artdıqca maksimal axım modulunun azalmasını) nəzərə alması hesab olunur.

G.A.Alekseyev maksimal axımın reduksiyasını daha dəqiq nəzərə almağa çalışmışdır:

$$Q_{p\%} = \frac{K_0 h_{p\%} K_1}{(K_2 K_0 \tau + \delta_{mb})} \delta_g F, \quad (5.33)$$

burada  $K_1$ -maksimal su sərfinin orta sutkalıq qiymətindən onun müşahidə saatındaki qiymətinə keçid əmsalı;  $K_2$ -suyun qaçış (hərəkət) sürətindən asılı olan əmsal;  $\delta_{mb}$ -meşə və bataqlığın təsirini nəzərə alan əmsal;  $\delta_g$ -gölün təsirini nəzərə alan əmsal;  $\tau$ -suyun qaçış müddəti (əsas axının uzunluğunun suyun hərəkət sürətinə nisbəti) aşağıdakı düstura görə təyin olunur:

$$\tau = \frac{L}{v} = \frac{L}{aI^{0,33} Q_{max}^{0,25}}, \quad (5.34)$$

burada  $L$ -əsas çayın uzunluğu;  $v$ -suyun hərəkət sürəti;  $a$ -çayın məcra və subasının kələkötürlüyündən asılı parametr;  $I$ -çayın orta meyilliyyi;  $Q_{max}$ -orta sutkalıq maksimal su sərfidir.

Alekseyevin düsturu fiziki nöqtəyi-nəzərdən ən yaxşı əsaslanır, dırılmış düsturlardan hesab olunur: maksimal axım modulunun zamana görə reduksiyasını və su sərfinin sutka daxili tərəddüdünü nəzərə alır. Lakin praktikada bu düsturdan az istifadə olunur və bu  $\tau$  parametrinin təyinindəki çətinliklərlə bağlıdır.

**Həcmi düsturlar** yaz gursululuğu hidroqrafının bu və ya digər həndəsi sxematizasiyasına əsaslanır. Onların əsasını maksimal axım modulunun aşağıdakı düsturu təşkil edir:

$$q_{max} = \frac{h}{T_{ad}} K_f K_o = \frac{h}{T_s + \tau} K_f K_o, \quad (5.35)$$

burada  $h$ -gursulu dövrün axım layının orta çoxillik kəmiyyəti, mm;  $T_{ad}$  - gursulu dövr axımının davamiyyəti ( $T_{ad} = T_s + \tau$ ),

sutka;  $T_s$  - qarın suvermə müddəti, sutka;  $\tau$  -yamac və məcra qaçış müddəti; sutka;  $K_f$  - gursulu dövr hidroqrafının forma əmsalı ( $K_f = Q_{\max} / \bar{Q}_{gur}$ ),  $K_f = 2$ - üçbucaq formalı hidroqraf üçün,  $K_f = 3$  -parabolik formalı hidroqraf üçün;  $K_0$ -ölçü vahidindən asılı olan əmsaldır,  $h$  mm-lə ifadə olunduqda  $K_0 = 0,0116$ .

İlk belə düsturları F.Q.Zbrojek (1901-ci il) və A.V.Oqiyevski (1938) təklif etmişlər. Məsələn,  $K_f = 2$  olduqda A.V.Oqiyevskinin düsturu alınır:

$$Q_{\max} = 0,0116 \frac{hF}{T_s + \tau} 2 = \frac{0,023hF}{T_s + \tau}. \quad (5.36)$$

Həcmi düsturlara əsaslanan hesablama sxemləri işlənilək də bir sıra ehtimal xarakterli çətinliklər ortaya çıxır:  $P(Q)$  paylanması  $P(K_f)$ ,  $P(h)$  və  $P(1/T_{ad})$  paylanması funksiyalarının kompozisiyasıdır. Buna görə də həcmi düsturlar yalnız  $h$ ,  $T$  və  $K_f$ -in konkret qiymətlərində formalışmış gursulu dövr üçün doğrudur. Maksimal su sərflərinin 1% və başqa təminatlı qiymətlərini hesablaşmaq tələb olunduqda nəzərə almaq lazımdır ki, bu su sərfləri  $h$ ,  $T$  və  $K_f$  parametrlərinin çoxsaylı kombinasiyaları nəticəsində əmələ gələ bilər. Buna görə də müşahidə məlumatları olmayan çayların maksimal axımını təyin etmək üçün işlənən hesablama metodlarında bir sıra kobud fərziyyələr qəbul olunur. Məsələn, hidroqrafın forma əmsalı sabit qəbul edilir. Əslində o, xüsusilə kiçik çay sutoplayıcıları üçün dəyişən kəmiyyətdir.

Daha bir çətinlik qarın suvermə müddəti və axımın qaçış müddətinin təyini ilə bağlıdır. Bu səbəblərə görə hidroloji hesablamalar təcrübəsində daha çox reduksion tipli düsturlardan istifadə olunur.

Yaz gursulu dövrün maksimal axımını hesablaşmaq üçün təklif olunmuş hesablama metodları təkmilləşdirilməlidir. Yeni metod-

lar təkcə maksimal su sərfini yox, gursulu dövrün bütün hidroqrafını hesablamağa imkan verməlidir. Gələcəkdə bu problem axımın əmələgəlməsinin fiziki-riyazi modellərinin tətbiqi ilə həll oluna bilər. Lakin belə modellər üçün gursulu dövr axımının formallaşmasına təsir göstərən çoxsaylı fiziki-coğrafi amillər haqqında məlumatlar tələb olunur. Bu məlumatların kifayət qədər olmaması hazırda praktikada geniş tətbiq edilə bilən riyazi modellərin işlənməsinə imkan vermir.

#### **5.2.4. Yağış daşqınlarının maksimal su sərflerinin hesablanması metodları**

Yağış daşqınlarının maksimal su sərflerini hesablamak üçün təklif olunmuş düsturlar, yaz gursululuğunun maksimal axımını hesablamak üçün işlənmiş düsturlarla müqayisədə sayca daha çoxdur. Tarixi nöqteyi-nəzərdən də bu düsturlar daha əvvəl işlənmiş və praktikada tətbiq olunmuşlar. Mövcud düsturlar nəzəri əsaslarına və istifadə olunan məlumatların xarakterinə görə də fərqlənirlər. Onlar üç əsas qrupa bölündür:

1. Maksimal intensivlik düsturları-izoxron nəzəriyyəsindən alınır və suvermənin orta intensivliyinin maksimal kəmiyyətinin reduksiyasına əsaslanır.

2. Reduksion düsturlar- açıq şəkildə sutoplayıcı sahə böyüdükçə maksimal axım modulunun azalmasını nəzərə alır.

3. Həcmi düsturlar-maksimal su sərfi daşqın hidroqrafının digər elementləri (axım layı, daşqının davamiyyəti, hidroqrafın forma əmsalı) ilə ifadə olunur.

Maksimal su sərfini hesablamak üçün ilk düsturu avstriyalı Kestlin 1868-ci ildə təklif etmişdir. 1884-cü ildən bu düstur rəsmi olaraq Rusiyada tətbiq olunmağa başlanmışdır:

$$Q = K_p a \alpha F, \quad (5.37)$$

burada  $a$ -leysanın hesabı intensivliyi ( $a=0,96 \text{ mm/dəq}$ );  $F$ -sutoplayıcı sahə,  $\text{km}^2$ ;  $\alpha$ -leysan sularının süzülməyə sərf olunan itki-lərini, həmçinin qapayıcı məntəqəyə kimi qaçış müddətinin qeyri-

bərabərliyini nəzərə alan əmsal;  $K_p$ -ölçü vahidindən asılı olan əmsaldır və metrik sistemdə 16,67 təşkil edir (beləki, 1mm/dəq intensivlikli yağış 1 saniyə ərzində  $1\text{km}^2$  sahədən

$$\frac{1 \cdot 10^6}{10^3 \cdot 60} = \frac{1000}{60} = 16,67 \text{ m}^3/\text{san axım verir}.$$

Kiçik sutoplayıcıların ( $F < 200 \text{ km}^2$ ) maksimal su sərfini he-sablamaq üçün daha çox *maksimal intensivlik düsturlarından* istifadə olunur:

$$Q_p = A_{1\%} \alpha H_{1\%} F \delta_g \lambda_p, \quad (5.38)$$

burada  $Q_p$ -P% təminatlı ani maksimal su sərfi;  $A_{1\%}$ -1% təminatlı

nisbi maksimal axım modulu  $A_{1\%} = \frac{q_{1\%}}{\alpha H_{1\%}}$ ;  $\alpha$ -axım əmsali;  $H_{1\%}$ -

1% təminatlı maksimal sutkaliq yağış layı;  $\delta_g$ -sutoplayıcının göl-lük əmsali;  $\lambda_p$ - maksimal su sərfinin müxtəlif təminatlı qiymət-lərinə keçid əmsalıdır.

$A_{1\%}$  parametri məcranın hidromorfometrik xarakteristikasından, yamac qəçış müddətindən və yağışın intensivliyinin reduksiya əy-risinin tipindən asılıdır. Məcranın hidromorfometrik xarakteris-tikası aşağıdakı düstura görə təyin olunur:

$$\Phi_m = \frac{1000L}{mI^{1/3}F^{1/4}(\alpha H_{1\%})^{1/4}}, \quad (5.39)$$

burada  $L$ -məcranın uzunluğu;  $m$ -məcranın kələ-kötürlüyüünü nəzərə alan əmsal;  $I$ -məcranın meyilliyidir.

Axımın yamac qəçış müddəti öz növbəsində yamacın hidro-morfometrik xarakteristikasından asılıdır:

$$\Phi_y = \frac{(1000\bar{\ell})^{1/2}}{m_y I_y^{1/4} (\alpha H_{1\%})^{1/2}}, \quad (5.40)$$

burada  $\bar{\ell}$ -yamacın orta uzunluğuudur:

$$\bar{\ell} = \frac{1000}{1,8\rho}, \quad (5.41)$$

$m_y$  və  $\dot{I}_y$  -müvafiq olaraq, yamacın kələ-kötürlüyüünü səciyyələndirən əmsal və onun meyilliyi;  $\rho$  – çay və yarğan-qobu şəbəkəsinin sıxlığıdır.

Beləliklə, maksimal intensivlik düsturu tətbiq olunduqda hesablamlar aşağıdakı ardıcılıqla yerinə yetirilir:

1.  $\alpha H_{1\%}$  hasili tapılır.

2.  $\Phi_m$  və  $\Phi_y$  hesablanır.

3. Yağışın reduksiya əyrisinin nömrəsinə (keçmiş SSRİ ərazisi üçün 34 əyri alınmışdı) və  $\Phi_y$  parametrinin qiymətinə görə yamac qəçiş müddəti,  $\tau_y$ , təyin olunur.

4. Reduksiya əyrisinin (rayonun) nömrəsinə,  $\Phi_m$  və  $\tau_y$  parametrlərinə görə  $A_{1\%}$  qiymətləndirilir.

5. Əvvəlcə,  $Q_{1\%}$ , sonra isə  $\lambda_p$  əmsallarından istifadə etməklə  $Q_{p\%}$  hesablanır.

Qeyd etmək lazımdır ki, maksimal intensivlik düsturu daha çox dəmir yolları və avtomobil yolları yarğan və qobuları kəsdiqdə axırıncılarda formalasən daşqınların maksimal su sərflərini buraxmaq üçün en kəsik sahələrinin hesablanmasında istifadə olunur.

**Misal 5.2.** Sutoplayıcı sahəsi  $15 \text{ km}^2$ , uzunluğu  $7,5 \text{ km}$ , orta çəki meyilliyi  $\dot{I}=50\%$ , yamaclarının meyillyi  $\dot{I}_y=250\%$ , meşəlik əmsalı  $f_m=0,8$  məcrası əyrintili və daşlı, torpaqları gilicəli olan kiçik çayda yağış daşqınının 1 və 5% təminatlı maksimal su sərflərini hesablayın.

**Həlli:** Hesablamlar maksimal intensivlik düsturuna (5.38) görə yerinə yetirilir. Bu düsturun parametrləri aşağıdakılardır: sutkalıq maksimal yağış layının 1% təminatlı qiyməti  $H_{1\%}=96,0 \text{ mm}$  (xəritə və ya  $H_{1\%}=f(H)$  əlaqəsinə görə təyin olunur); axım əmsalı  $\alpha=0,65$  (xüsusi cədvəldən sutoplayıcının sahəsi və torpaq tipinə görə tapılır):

$$\alpha H_{1\%}=62,4.$$

Yamac qacış müddəti mövcud təlimatlara görə təyin olunur:  $\tau_y=100$  dəqiqə. Məcranın kələ-kötürlüyü nəzərə alan əmsal  $m=9$  (xüsusi cədvəldən götürülür).

Məcranın hidromorfometrik xarakteristikası hesablanır:

$$\Phi_m = \frac{1000 \cdot 7,5}{9 \cdot 50^{1/3} 15^{1/4} (62,4)^{1/4}} = 43,8.$$

$\Phi_m$ ,  $\tau_y$  və yağıntıların reduksiya əyrisinə görə xüsusi cədvəldən maksimal axım modulunun nisbi qiyməti təyin olunur:

$$\frac{q_{1\%}}{\alpha H_{1\%}} = 0,038.$$

1% təminatlı maksimal su sərfi :

$$Q_{1\%} = q_{1\%} F = 0,038 \cdot 62,4 \cdot 15 = 35,5 \text{ m}^3/\text{s}.$$

5% təminatlı maksimal su sərfi:

$$Q_{5\%} = Q_{1\%} \lambda_{5\%} = 35,5 \cdot 0,69 = 24,5 \text{ m}^3/\text{s}.$$

*Reduksion düsturlar* ümumi halda aşağıdakı kimi yazıla bilər:

$$Q_p = q_p F = \frac{A_p}{(F + C)^n} \delta F, \quad (5.42)$$

burada  $q_p$ - maksimal axım modulu;  $F$ -sutoplayıcı sahə;  $A_p$ - vahid sutoplayıcı sahədə ( $F=1 \text{ km}^2$  və ya  $F \rightarrow 0$ ) maksimal axım modulu;  $n$ -reduksiya əmsali;  $C$ -sutoplayıcının kiçik qiymətlər zonasında reduksiyanın zəifləməsini nəzərə alan parametr ( $C \geq 1$ );  $\delta$ -göl və bataqlıqların təsiri nəticəsində maksimal axımın azalmasını nəzərə alan parametrdir.

Bu düsturun parametrlərini təyin etmək üçün bircins hidroloji rayon çaylarının məlumatları əsasında ikioxlu loqarifmik miqyasda maksimal axım modulu və sutoplayıcı sahə arasında əlaqə qrafiki qurulur. Bu əlaqə düzxətlidir:

$$\lg q_p = \lg A_p - n \lg (F+C). \quad (5.43)$$

Reduksion düsturların əsas üstünlükleri onların sadəliyi, parametrlərin hidrometrik müşahidə məlumatları əsasında təyin edilməsi və bu səbəbdən hesablamaların xətalarına nəzarətin mümkündür.

Reduksion sxemin əsas çatışmazlığı onun sutoplayıcı sahəsi kiçik olan çaylarda tətbiqi ilə əlaqədardır. C parametrinin qiymətinin zəif əsaslandırılması hesablamaların xətasını kəskin artırıbilər. Bunun izahı axımın genetik düsturundan alınır: sutoplayıcı sahənin kiçik qiymətlərində maksimal su sərflərinin azalmasında əsas rolu yamac axımının transformasiyası oynayır. "Böyük" və "kiçik" sutoplayıcıların sərhəddi yalnız empirik yolla təyin oluna bilər. Bu halda şərti olaraq sutoplayıcı sahənin müəyyən bir böhran qiyməti qəbul olunur və bundan kiçik qiymətlərdə  $\lg q_p = f[\lg(F+1)]$  əlaqə qrafikində nöqtələr çox səpələndiyindən, reduksion düsturun tətbiqi effektiv olmur.

Təcrübə göstərir ki, reduksion düsturlar  $F > 200 \text{ km}^2$  olduqda daha yaxşı nəticə verir.

Keçmiş SSRİ-də və indi Rusiya Federasiyasında çayların əsas hidroloji xarakteristikalarını hesablamaq üçün qəbul olunmuş normativ sənədlərə reduksion düsturların iki tipi daxil edilmişdir.

I tip reduksion düstur analoq çay olduğunu istifadə edilir:

$$Q_{p\%} = q_{p\%,a} \frac{\delta_g \delta_h}{\delta_{g_a} \delta_{h_a}} \varphi * F, \quad (5.44)$$

burada  $q_{p\%,a}$ -analoq çayın anı maksimal su sərfinin P% təminatlı moduludur,  $\text{m}^3 / \text{s} \cdot \text{km}^2$  və aşağıdakı düstura görə hesablanır:

$$q_{p\%,a} = \frac{Q_{p\%,a}}{F_a}, \quad (5.45)$$

burada  $Q_{p\%,a}$ -analoq çayda maksimal su sərfinin P% təminatlı qiyməti,  $\text{m}^3/\text{s}$ ;  $F_a$ -analoq çayın sutoplayıcı sahəsi,  $\text{km}^2$ ;  $\varphi$  -yağış daşqınının maksimal axım modulunun ( $q_{1\%}$ ) sutoplayıcı sahə ( $F$ ,

$\text{km}^2$ ) və ya məcra qaçış müddətinin ( $\tau_m$ , dəqiqə) artması ilə əlaqədar reduksiyasını nəzərə alan əmsaldır. Bu əmsal tədqiq olunan çay və analoq çayın sutoplayıcılarının forma əmsalının nisbətinə- $\eta_f$  əmsalına görə hesablanır:

$$\eta_f \approx \frac{LF_a^{0.56}}{L_a F^{0.56}}, \quad (5.46)$$

burada  $L$  və  $L_a$ -müvafiq olaraq, tədqiq olunan çayın və analoq çayın uzunluğu, km;  $F$  və  $F_a$ -müvafiq olaraq, tədqiq olunan çay və analoq çayın sutoplayıcı sahələridir,  $\text{km}^2$ .

$\eta_f < 1,5$  olduqda  $\phi^*$  əmsali aşağıdakı düstura görə təyin olunur:

$$\phi^* = \left( \frac{F_a}{F} \right)^n \quad (5.47)$$

$\eta_f > 1,5$  olduqda isə hesablamalar başqa düsturla yerinə yetirilir:

$$\phi^* = \left( \frac{\phi_a}{\phi} \right)^n, \quad (5.48)$$

burada  $\phi$  və  $\phi_a$ -müvafiq olaraq tədqiq olunan və analoq çay üçün məcranın hidromorfometrik xarakteristikasıdır:

$$\phi = \frac{1000L}{m_m I_m^m F^{0.25}}, \quad (5.49)$$

burada  $m_m$  və  $m$ -çayın məcrasının vəziyyətini və kələ-kötürlüyü xarakterizə edən hidravlik parametrlər;  $I_p$ -çay məcrasının orta çəki meyilliyi, %;  $n$  və  $n_1$ -müvafiq olaraq sutoplayıcı sahənin,  $F$ , və məcra qaçış müddətinin,  $\tau_m$ , artması ilə əlaqədar daşqının maksimal axım modulunun,  $q_{1\%}$ , reduksiyasını eks etdirən üst göstəricilərdir.

Məcra qaçış müddəti aşağıdakı düstura görə təyin olunur :

$$\tau_m = \frac{1000L}{v} = \frac{1000L}{m_m I_m^m Q_{1\%}^{0.25}}, \quad (5.50)$$

burada  $v$ -əsas çayda suyun orta qaçış sürətinin maksimal qiymətidir.

$\delta_g$  və  $\delta_a$ ,  $\delta_b$  və  $\delta_{b,a}$  – tədqiq olunan çay və analoq çayın maksimal axımına müvafiq olaraq göllər və bataqlıqların tənzimləyici təsirini nəzərə alan düzəliş əmsallarıdır.

II tip reduksion düstur analoq çay olmadıqda istifadə olunur:

$$Q_{P\%} = q_{200} \left( \frac{200}{F} \right)^n \delta_g \delta_b \delta_d \lambda_{p\%} F, \quad (5.51)$$

burada  $Q_{P\%}$ -P% təminatlı ani maksimal su sərfi;  $q_{200}$ -  $\delta_g = \delta_b = \delta_d = 1,0$  olduqda P=1% təminatlı ani maksimal axım modulunun sahəsi  $200 \text{ km}^2$  olan şərti sutoplayıcıya gətirilmiş qiyməti;  $\delta_d$ -dağlıq rayonlarda sutoplayıcının orta hündürlüyü artıraqca  $q_{200}$  parametrinin dəyişməsini nəzərə alan əmsal;  $\lambda_p$ -1% təminatlı su sərfindən hesabi təminatlı su sərfinə keçid əmsalıdır.

II tip reduksion düsturda əsas parametr  $q_{200}$  hesab olunur. Bu onunla izah edilir ki, elementar axım modulu, A, ilə müqayisədə  $q_{200}$  daha etibarlı təyin olunur. Həmçinin, bu parametr reduksiya əmsalından, n, az asılıdır və ərazi üzrə tədricən dəyişir. Buna görə də  $q_{200}$  parametrisini təyin etmək üçün onun axım izoxətləri xəritəsi tərtib oluna bilər.

Reduksiya əmsalı  $q_{200} = \frac{q_{1\%}}{\delta_g \delta_b} = f(F)$  rayon əlaqəsinə görə tə-

yin edilir.

Dağ çayları üçün  $\delta_d$  əmsalı  $q_{200} = f(H)$  əlaqəsinə görə qiymətləndirilir.

II tip reduksion düsturla yerinə yetirilmiş hesablamaların dəqiqliyi I tip düsturla müqayisədə nisbətən aşağıdır.

Qafqaz, o cümlədən Azərbaycan çaylarında yağış daşqınlarının maksimumunu hesablamaq üçün M.Ə.Məmmədov (Мамедов, 1989) II tip reduksion və maksimal intensivlik düsturlarının imkanlarını araşdırmış və göstərmişdir ki, hər iki düstur qənaətbəxş nəticələr verir.

**Misal 5.3.** Çayın sutowlayıcı sahəsi  $F=2830\text{km}^2$ , müşahidə məntəqəsindən ən uzaqda yerləşən nöqtəyə kimi məsafə  $L=135\text{ km}$ , çayın orta çəki meyilliyi  $\dot{I}=4,3\%$ , təşkil edir. Sutowlayıcıda bataqlıqlar  $\delta_b=6\%$ , meşələr isə  $\delta_m=75\%$  ərazi tutur. Bu çay üçün yağış daşqınlarının 1 və 5% təminatlı maksimal su sərfərini hesablayın.

**Həlli:** Hesablamalar II tip reduksion düstura (5.51) görə yerinə yetirilir. Baxılan çay hövzəsi üçün bu düsturun parametrləri hesablanır:

1. Sutowlayıcının ağırlıq mərkəzi üçün maksimal axım modulunun 1% təminatlı qiyməti müvafiq axım xəritəsi və ya  $q_{200}=f(H)$  əlaqəsinə görə təyin olunur:  $q_{200}=1,75 \text{ l/s/km}^2$ .

2. Reduksiya əmsali müvafiq cədvəldən tapılır:

$$n=0,35.$$

3. Maksimal su sərfinin bataqlıqların təsiri nəticəsində azalmasını nəzərə alan əmsal məlum düstura görə hesablanır:

$$\delta_b=1-0,8lg(1+0,1\cdot 6)=0,84.$$

Bu parametrləri hesablama düsturunda yerinə yazdıqda 1% təminatlı maksimal su sərfi alınır:

$$Q_{1\%}=1,75 \left( \frac{200}{2830} \right)^{0,35} \cdot 2830 \cdot 0,84 = 1680 \text{ m}^3/\text{s}.$$

Keçid əmsalını,  $\lambda_{5\%}=0,69$ , nəzərə alaraq  $Q_{5\%}$  də qiymətləndirilə bilər:

$$Q_{5\%}=1680 \cdot 0,69=1160 \text{ m}^3/\text{s}.$$

Hesablamalar I tip reduksion düstur ilə də yerinə yetirilə bilər. Analoq çayın müvafiq su sərfəri  $Q_{1\%}=2630 \text{ m}^3/\text{s}$  və  $Q_{5\%}=1630 \text{ m}^3/\text{s}$  təşkil edir. Analoq çayın digər xarakteristikaları belədir:  $F=5170 \text{ km}^2$ ,  $L=175 \text{ km}$ ,  $\dot{I}=1,9\%$ ,  $f_b=7\%$ ,  $f_m=79\%$ . Analoq çayın sutowlayıcısında bataqlıqların maksimal axıma təsirini nəzərə alan əmsal hesablanır:

$$\delta_{b,a} = 1 - 0,8 \lg(1 + 0,1 \cdot 7) = 0,82.$$

$Q_{1\%}$  və  $Q_{5\%}$  təyin olunur:

$$Q_{1\%} = 2630 \left( \frac{2830}{5170} \right)^{0,65} \frac{0,84}{0,82} = 1820 \text{ m}^3/\text{s},$$

$$Q_{5\%} = 1630 \left( \frac{2830}{5170} \right)^{0,65} \frac{0,84}{0,82} = 1130 \text{ m}^3/\text{s}.$$

Göründüyü kimi, hər iki düsturla çox yaxın qiymətlər alınır.

*Həcmi düsturlar* axımın genetik nəzəriyyəsinə əsaslanır və bu-na görə də yağış layının hesabi təminatlı kəmiyyəti bu tip düsturların əsas parametrlərindən biridir. Onlar ümumi şəkildə aşağıdakı kimi yazılı bilər:

$$Q_p = K_o K_f \frac{H_p F}{T_{sv} + \tau_m}, \quad (5.52)$$

burada,  $K_o$ - ölçü vahidini nəzərə alan əmsal;  $K_f$ - hidroqrafin formasını nəzərə alan əmsal;  $H_p$ -yağış layının  $P\%$  təminatlı qiyməti;  $\tau_m$ - məcra qaçış müddəti;  $T_{sv}$ - sutoplayıcıda yağış axımının (suvermənin) davamiyyətidir.

Hidroloji hesablamalar təcrübəsində həcmi düsturlardan ən geniş istifadə edilən D.L.Sokolovskinin düsturudur. Bu düsturun əsas parametri daşqının qalxma fazasının davamiyyəti və ya yağış və daşqın maksimumları arasındaki zaman fərqidir. Hidroqrafin forması isə parabola şəklindədir. Düstur aşağıdakı kimidir:

$$Q_p = K_o K_f \frac{H_p - H_o}{t_q} \alpha_p F_y \delta_g \delta_t + Q_{y,a}, \quad (5.53)$$

burada  $H_0$ -yağış layının itkisi;  $\alpha_p$ - daşqının axım əmsalının  $P\%$  təminatlı qiyməti;  $F_y$ - yağışın eyni vaxtda düşdürücü sutoplayıcı sahə;  $t_q$ - daşqının qalxma fazasının davamiyyəti;  $Q_{y,a}$ - daşqın keçməzdən əvvəl çayda qrunut sularının sərfi;  $\delta_g$ - göllərin maksimal

axımın azaltmasını nəzərə alan əmsal;  $\delta_t$ - maksimal axımın təbii və səni tənzimlənməsini nəzərə alan əmsaldır. Hazırda həcmi düsturlar çox az tətbiq edilir.

Yuxarıda təhlili verilən hesablama düsturları keçmiş SSRİ-də işlənmişlər və hazırda postsovət məkanında çox geniş tətbiq olunurlar.

Yağış daşqınlarının maksimal su sərfini təyin etmək üçün Qərb ölkələrində də çoxsaylı düsturlar təklif olunmuşdur.

Orta Avropa ölkələrində P.Kresnikin düsturundan istifadə olunur:

$$Q_{\max} = \frac{32cF}{0,5 + \sqrt{F}}, \quad (5.54)$$

burada  $c$ -sutoplayıcının formasından asılı olan əmsaldır və 0,6-6,0 arasında qiymətlər alır.

Avstriyada yağış daşqınlarının maksimal su sərfini hesablaşdırmaq üçün R.Hofbauerin düsturu tətbiq edilir:

$$Q_{\max} = [16,67a_{\text{saat}} \cdot 25 + 0,0116a_{\text{sut}}(F - 25)]\alpha, \quad (5.55)$$

burada  $a_{\text{saat}}$ -yağışın maksimal saatlıq intensivliyi;  $a_{\text{sut}}$ -yağışın maksimal sutkalıq intensivliyi;  $\alpha$ -axım əmsalıdır.

İngiltərədə Riçardsın (B.D.Richards) düsturundan istifadə olunur:

$$Q_{\max} = k a \alpha, \quad (5.56)$$

burada  $a$ -yağışın hesabı intensivliyi;  $\alpha$ -axım əmsali;  $k$ -keçid əmsalıdır.

ABŞ-da da bir sıra düsturlar işlənmişdir.

Cervisin (C.S.Jarvis) düsturu:

$$q = 100b \sqrt{A_d}, \quad (5.57)$$

burada  $q$ -daşqının maksimal su sərfi,  $\text{ft}^3/\text{s}$ ;  $A_d$ - sutoplayıcının sahəsi  $\text{kv.mil}$ ;  $b$ -əmsaldır, bəzən Mayers əmsalı adlanır.

Maksimal su sərflerinin təminatlı qiymətlərini hesablaşdırmaq

üçün ilk düsturu W.E.Fuller təklif etmişdir:

$$q = \bar{q}(1 + c \lg T_p), \quad (5.58)$$

burada  $\bar{q}$  -daşqın maksimumunun orta çoxillik kəmiyyəti; q- təkrarlanma dövrü  $T_p$  olan daşqının maksimal su sərfi; c- əmsaldır.

R.E.Hortonun düsturu:

$$q = \frac{KT_r^n}{A_d}, \quad (5.59)$$

burada  $T_r$ - daşqının təkrarlanması dövrü; K və n-əmsallardır.

Müasir dövrdə yağış daşqınlarının maksimal su sərfərini hesablamaq üçün ABŞ-da üç metoddan daha çox istifadə olunur (David A.Chin, 2007):

1. Rasional metod.
2. NRCS-TR-55 metodu.
3. USGS regional regressiya tənlikləri metodu

*Rasional metod* urbanizasiya olunmuş ərazilərdə daha geniş istifadə olunur. ABŞ-da şəhərlərin əksəriyyətində leysan suların kənarlaşdırma şəbəkəsi bu metod əsasında layihələndirilmişdir. Bu, rasional metodun sadə və etibarlı olması ilə bağlıdır. Rasional metod hələ XIX əsrəndə (Mulvaney, 1850; Kuichling, 1889) tətbiq edilir. Bu metoddə maksimal su sərfi,  $Q_p$ , yağışın intensivliyinə görə hesablanır:

$$Q_p = CiA, \quad (5.60)$$

burada C-axım əmsalı; i-yağışın intensivliyi; A-sutoplayıcının sahəsidir. Rasional metodun tətbiqi aşağıdakılara əsaslanır:

- Axımın əmələ gəlməsində bütün sutoplayıcı sahə iştirak edir və leysanın davamiyyəti sutoplayıcıda suyun cəm (yamac və məcra) qaçış müddətinə bərabər və ya ondan artıq olmalıdır;
- Yağış layı sutoplayıcı sahədə bərabər paylanır;
- Hövzədə bütün axım itkiləri axım əmsalı ilə nəzərə alınır.

Rasional metod çox kiçik sutoplayıcılarda formalaşan yağış daşqınlarının maksimal su sərflərini hesablamaya imkan verir: sutoplayıcı sahə 80 hektardan (200akr) kiçik (ASCE, 1992), cəm qaçış müddəti isə 20 dəqiqədən az olmalıdır (Wanielista et al., 1997).

Urbanizasiya olunmuş ərazilərdə səthin xarakterindən asılı olaraq axım əmsalı 0,05-0,95 arasında dəyişir. Bu əmsalin 2 və 10 ildə 1 dəfə təkrarlanan leysanlara müvafiq qiymətləri müxtəlif xarakterli sutoplayıcı səthlər üçün qiymətləndirilmişdir (ASCE, 1992; Виссмен и др., 1979).

Məlumdur ki, axım əmsalı 1-dən böyük ola bilməz. Hesablamalarda riski azaltmaq üçün Böyük Britaniyada urbanizasiya olunmuş ərazilərdə axım əmsalı 1-ə bərabər qəbul edilir. Başqa sözlə, belə hesab edilir ki, sutoplayıcının bütün (100%) səthi su keçirmir (Butler and Davies, 2000).

D.L. Sokolovski (Соколовский, 1968) qeyd edir ki, ABŞ-da və başqa Qərb ölkələrində geniş istifadə olunan rasional metod keçmiş SSRİ-də tətbiq edilən maksimal intensivlik metoduna uyğundur. Maksimal intensivlik metodunun əsas çatışmazlıqları (sutoplayıcı sahədə suyun sürəti və qaçış müddətinin, yağışın maksimal intensivliyinin və axım əmsalının qeyri-dəqiq təyin olunması) rasional metoda da aid edilir. Bu çatışmazlıqlara baxmayaraq, artıq üç əsrdir ki, rasional metod hidroloji hesablamalarda geniş istifadə edilir.

**Misal 5.4.** Sahəsi 1,2 ha olan yeni yaşayış məntəqəsindən yağış sularını kənarlaşdırma sistemi bələdiyyənin müvafiq şəbəkəsinə qoşulmalıdır. Bu ərazidə axım əmsalının orta qiyməti 0,4, Manninq əmsalı  $n=0,20$ , suları kənarlaşdırın xəttin uzunluğu  $L=70$  m, orta meyillik  $i=0,7\%$  təşkil edir. Suyun cəm qaçış müddəti kinematik dalğa tənliyinə görə təyin olunmalıdır. Suyu kənarlaşdırın borunun diametri 10 ildə 1 dəfə təkrarlanan leysan üçün hesablanmalıdır. Belə leysanın intensivliyi intensivlik-davamiyyət-təkrarlanma əyrisinə görə aşağıdakı düsturla təyin olunmalıdır:

$$i = \frac{315,5}{t^{0,81} + 6,19},$$

burada  $i$ -yağışın intensivliyi, sm/saat;  $t$ -yağışın davamiyyətidir, dəqiqə. Suyun minimal yığılma (qaçış müddəti) 5 dəqiqədir.

Maksimal su sərfini rasional metoda görə qiymətləndirin.

**Həlli:** Suyun qaçış müddəti kinematik dalğa tənliyinə görə hesablanır:

$$t_c = 6,99 \frac{(nL)^{0,6}}{i_e^{0,4} S_o^{0,3}} = 6,99 \frac{(0,20 \times 70)^{0,6}}{i_e^{0,4} (0,007)^{0,3}} = \frac{151}{i_e^{0,4}} \text{ dəq.,}$$

burada  $i_e$ - effektiv yağışlıların intensivliyidir, mm/saat. Təkrarlanma dövrü 10 ildə 1 dəfə olan leysan üçün

$$i_e = Ci = \frac{3155C}{t_c^{0,81} + 6,19} \text{ mm/saat.}$$

$C=0,4$  olduğunu nəzərə alsaq, axırıncı iki tənliyin birgə həllindən aşağıdakı ifadə alınır:

$$i_e = \frac{3155(0,4)}{\left(\frac{151}{i_e^{0,4}}\right)^{0,81} + 6,19} = \frac{1262 i_e^{0,324}}{58,2 + 6,19 i_e^{0,324}}$$

Bu tənliyi həll etdikdə  $i_e = 58 \text{ mm/saat}$ , ona müvafiq cəm qaçış müddəti 30 dəqiqə alınır ki, bu da qaçış müddətinin tələb olunan minimal qiymətindən (5 dəq) artıqdır.

Yaşayış məntəqəsindən maksimal su sərfi aşağıdakı düstura görə hesablanır:

$$Q_p = CiA = i_e A,$$

burada  $i_e = 58 \text{ mm/saat} = 1,61 \times 10^{-5} \text{ m/san}$  və  $A = 1,2 \text{ ha} = 1,2 \times 10^4 \text{ m}^2$ .

Beləliklə,

$$Q_p = (1,61 \times 10^{-5})(1,2 \times 10^4) = 0,19 \text{ m}^3/\text{s} \text{ alınır.}$$

*NRCS-TR-55 metodunu* ABŞ-ın Təbii Ehtiyatların Mühafizəsi Xidməti (The Resources Conservation Service, NRCS) təklif etmişdir. Bu metod kiçik və orta ölçülü sutoplayıcılarda formalaşan maksimal su sərfini hesablamaya imkan verir. Hesablamalar 24 saatlıq yağış layına görə yerinə yetirilir. NRCS əyri-nömrəsi modelinə görə effektiv yağıntılar, NRGS vahid-hidroqraf modelinə görə isə axım hidroqrafi hesablanır. Bu hesablamalar TR-20 komüuter programı (SCS, 1983) ilə yerinə yetirilir.

TR-55 metodу tətbiq olunan sutoplayıcılarda suyun cəm qacış (yığılma) müddəti 0,1-10 saat arasında olmalıdır. Bu metoda görə maksimal su sərfi,  $q_p$ , aşağıdakı düsturla hesablanır (SCS, 1986):

$$q_p = q_u A Q F_p, \quad (5.61)$$

burada  $q_u$ - $1\text{km}^2$  sutoplayıcıdan 1sm axım layına müvafiq vahid maksimal su sərfi,  $\text{m}^3/\text{s}$ ; A-sutoplayıcı sahə,  $\text{km}^2$ ; Q-verilmiş təkrarlanmaya malik 24 saatlıq leysanın əmələ gətirdiyi axım;  $F_p$ -nohur və bataqlıqların maksimal axımı azaltmasını nəzərə alan əmsal və ölçü vahidi olmayan parametrdür.

Axım, Q, birbaşa NRCS əyri-nömrəsi modelinə görə 24 saatlıq yağıntılar haqqında məlumatlardan istifadə etməklə tapılır.  $F_p$  parametri xüsusi cədvələ görə təyin olunur: əgər, sutoplayıcıda nohur və bataqlıqlar yoxdursa,  $F_p=1$ , onların sahəsi 5% təşkil edirsə,  $F_p=0,72$  qəbul olunur.

Vahid maksimal su sərfi,  $q_u$ , empirik düstura görə hesablanır:

$$\log(q_u) = C_0 + C_1 \log t_c + C_2 (\log t_c)^2 - 2,366. \quad (5.62)$$

$C_0$ ,  $C_1$  və  $C_2$  əmsallarının qiymətləri cədvəl 5.1-də tapılır.

**Cədvəl 5.1**

Vahid maksimal su sərfini,  $q_u$ , qiymətləndirmək üçün istifadə olunan parametrlər

| Yağışın<br>tipi | $I_a / P$ | $C_0$   | $C_1$    | $C_2$    |
|-----------------|-----------|---------|----------|----------|
| I               | 0.10      | 2.30550 | -0.51429 | -0.11750 |
|                 | 0.20      | 2.23537 | -0.50387 | -0.08929 |
|                 | 0.25      | 2.18219 | -0.48488 | -0.06589 |
|                 | 0.30      | 2.10624 | -0.45695 | -0.02835 |
|                 | 0.35      | 2.00303 | -0.40769 | 0.01983  |
|                 | 0.40      | 1.87733 | -0.32274 | 0.0574   |
|                 | 0.45      | 1.76312 | -0.15644 | 0.00453  |
|                 | 0.50      | 1.67889 | -0.06930 | 0.0      |
| IA              | 0.10      | 2.03250 | -0.31583 | -0.13748 |
|                 | 0.20      | 1.91978 | -0.28215 | -0.07020 |
|                 | 0.25      | 1.83842 | -0.25543 | -0.02597 |
|                 | 0.30      | 1.72657 | -0.19826 | 0.02633  |
|                 | 0.50      | 1.63417 | -0.09100 | 0.0      |
| II              | 0.10      | 2.55323 | -0.61512 | -0.16403 |
|                 | 0.30      | 2.46532 | -0.62257 | -0.11657 |
|                 | 0.35      | 2.41896 | -0.61594 | -0.08820 |
|                 | 0.40      | 2.36409 | -0.59857 | -0.05621 |
|                 | 0.45      | 2.29238 | -0.57005 | -0.02281 |
|                 | 0.50      | 2.20282 | -0.51599 | -0.01259 |
| III             | 0.10      | 2.47317 | -0.51848 | -0.17083 |
|                 | 0.30      | 2.39628 | -0.51202 | -0.13245 |
|                 | 0.35      | 2.35477 | -0.49735 | -0.11985 |
|                 | 0.40      | 2.30726 | -0.46541 | -0.11094 |
|                 | 0.45      | 2.24876 | -0.41314 | -0.11508 |
|                 | 0.50      | 2.17772 | -0.36803 | -0.09525 |

Cədvəldəki  $I_a$  kəmiyyəti aşağıdakı düstura görə təyin olunur:

$$I_a = 0,2S \quad (5.63)$$

burada S-torpağın maksimal (potensial) susaxlama qabiliyyəti, əyri nömrəsi nəzərə alınmaqla düstura görə tapılır; P-24 saatlıq yağış layıdır. Əgər,  $I_a/P < 0,1$  olarsa, onda  $C_0$ ,  $C_1$  və  $C_2$  əmsallarının qiymətləri  $I_a/P=0,1$  nisbətinə müvafiq qiymətlərə,  $I_a/P > 0,5$  olarsa, onda  $I_a/P=0,5$  nisbətinə müvafiq qiymətlərə bərabər qəbul edilir.

Nəzərə almaq lazımdır ki, NRGS-TR-55 metodu ilə hesablanmış maksimal su sərfərinin dəqiqliyi o qədər də yüksək deyil: standart xəta 25% və daha böyük olur (Mc Cuen, 2001)

**Misal 5.5.** Sutoplayıcı sahə  $A=2,25 \text{ km}^2$ , sutoplayıcıda nohurların sahəsi 0,2%, suyun yığılma (qaçış) müddəti  $t_c=2,4$  saat, 24 saatlıq (III tip) yağış layı  $P=13 \text{ sm}$ , əyri nömrəsi  $CN=85$  olarsa, NRGC-TR-55 metodu ilə maksimal su sərfini hesablayın.

**Həlli:**  $CN=85$  üçün torpağın potensial (maksimal) susaxlama qabiliyyəti, S, hesablanır:

$$S = \frac{1}{0,0394} \left( \frac{1000}{CN} - 10 \right) = \frac{1}{0,0394} \left( \frac{1000}{85} - 85 \right) = 45 \text{ mm}.$$

Yağıntı layı  $P=130 \text{ mm}$  olduğunu nəzərə alaraq axım, Q, təyin olunur:

$$Q = \frac{[P - 0,25]^2}{P + 0,8S} = \frac{[130 - 0,2(45)]^2}{130 + 0,8(45)} = 88 \text{ mm} = 8,8 \text{ sm}$$

Xüsusi cədvələ görə nohurların sahəsi 0,2% olduqda onların maksimal axımı azaltmasını nəzərə alan parametr  $F_p=0,97$  təşkil edir.

Aşağıdakı nisbət hesablanır:

$$\frac{I_a}{P} = \frac{0,2S}{P} = \frac{(0,2)(45)}{130} = 0,069.$$

$I_a/P < 0,1$  olduğuna görə cədvəl 5.1-dən  $C_0=2,47317$ ,  $C_1= -0,51848$ ,  $C_2= -0,17083$  tapılır. Tənlik 5.62-yə görə  $\log(qu)=C_0+C_1\log t_c+C_2(\log t_c)^2 - 2,366 = 2,47317 - 0,51848\log(2,4) - 0,17083(\log 2,4)^2 - 2,366 = -0,116$ .

buradan

$$q_u = 10^{-0.116} = 0,765 \text{ (m}^3/\text{s)}/\text{sm/km}^2.$$

Beləliklə, TR-55 metoduna görə maksimal su sərfi hesablanır:

$$q_p = q_u A Q F_p = 0,765(2,25)(8,8)(0,97) = 14,7 \text{ m}^3/\text{s}.$$

*USGS regional regressiya tənlikləri metodu* bircins hidroloji rayonlar üçün tərtib olunur. Bu tənliklər daşqının maksimal su sərfini hövzənin müxtəlif fiziki-coğrafi xarakteristikaları ilə əlaqələndirir. Ümumi halda maksimal su sərfinin regressiya tənliyi aşağıdakı şəkildədir:

$$Q_T = a x_1^b x_2^c x_3^d, \quad (5.64)$$

burada  $Q_T$ -təkrarlanma dövrü T il olan maksimal su sərfi;  $x_1$ ,  $x_2$  və  $x_3$ -hövzəni xarakterizə edən prediktorlar (parametrlər); a, b, c və d-regression analiz nəticəsində təyin olunan parametrlərdir.

Bu tənliyin ən mühüm parametri sutoplayıcı sahədir. Digər mühüm parametrlərə misal olaraq çayın (məcranın) və ya sutoplayıcının meyilliyini, sukeçirməyən ərazilərin, göl və nohurların hövzədə nisbi sahəsini, orta illik yağışların miqdarını və s. göstərmək olar.

1973-cü ildən başlayaraq ABŞ-ın Geoloji Xidmət İdarəesi (USGS), Federal Yol Administrasiyası (FHWA) və Federal Fövqəladə Hallar Agentliyi (FEMA) ilə birlikdə bütün ştatlar, Puerto-Riko, Samoa və bir sıra metropoliya əraziləri üçün regional regressiya tənlikləri tərtib və çap etdirmişdir.

Bu regressiya tənlikləri Milli Daşqın Təkrarlanması (National Flood Frequency, NFF) adlı xüsusi kompüter programında toplanmışdır. NFF programına ABŞ-ın yağış daşqınları müşahidə olunan 28<sup>th</sup> yonu üçün 2065 regressiya tənliyi daxil edilmişdir. Regressiya tənlikləri müxtəlif təkrarlanma dövrünə (təminata) malik olmayıla üçün tərtib olunmuşdur.

Məsələn, su sərflerinin təminatı Pirsonun III tip olunmuş loqaritmix Pirson paylanması görə təyin olunmuşlar.

Məsələn, Florida ştatında 4 hidroloji rayon ayrılmış və hər bir rayon üçün təkrarlanma dövrü 2, 5, 10, 25, 50, 100 və 500 il olan

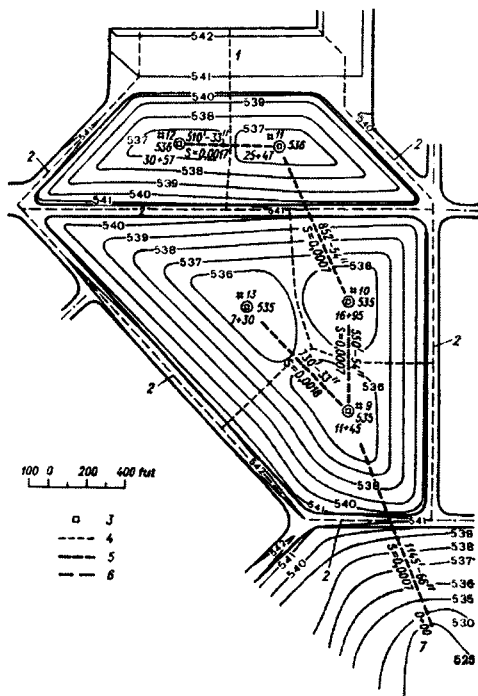
maksimal su sərfərinin sutoplayıcının morfometrik ünsürlərindən asılılıqları alınmışdır (Bridges, 1982). Rayonlardan biri üçün təkrarlanma dövrü 100 ildə 1 dəfə olan maksimal su sərfi,  $Q_{100}$ , aşağıdakı tənliyə görə hesablanır:

$$Q_{100}=609A^{0.685} S^{0.227}(L+3)^{-0.695}, \quad (5.65)$$

burada A-sutoplayıcı sahə, mil<sup>2</sup>; S-çayın meyilliyi, fut/mil; L-sutoplayıcıda göl və nohurların nisbi sahəsidir, %.

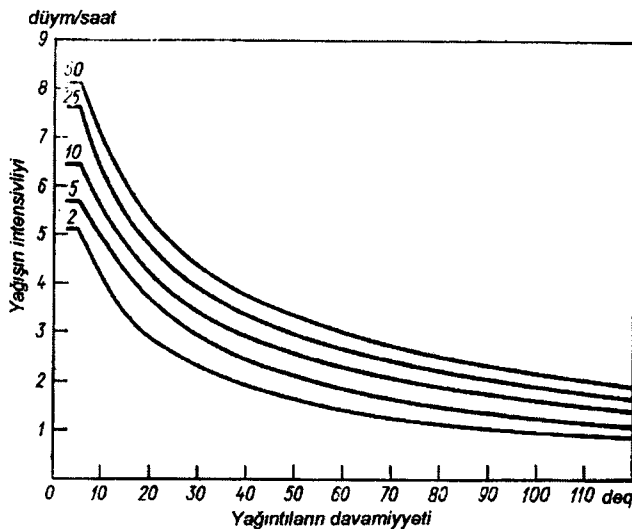
Müşahidə sıraları çox halda qısa olduğuna görə regressiya tənlikləri ilə hesablamaların xətası 15-100% arasında dəyişir.

**Misal 5.6.** Hava limanının verilmiş hissəsindən (şəkil 5.6) drenaj şəbəkəsinin köməyi ilə səth sularının kənarlaşdırılmasını hesablayın. Yağıntıların təkrarlanması müddəti 5 ildə 1 dəfədir. Müxtəlif təkrarlanmaya malik yağıntıların reduksiya əyriləri şəkil 5.7-də verilmişdir.



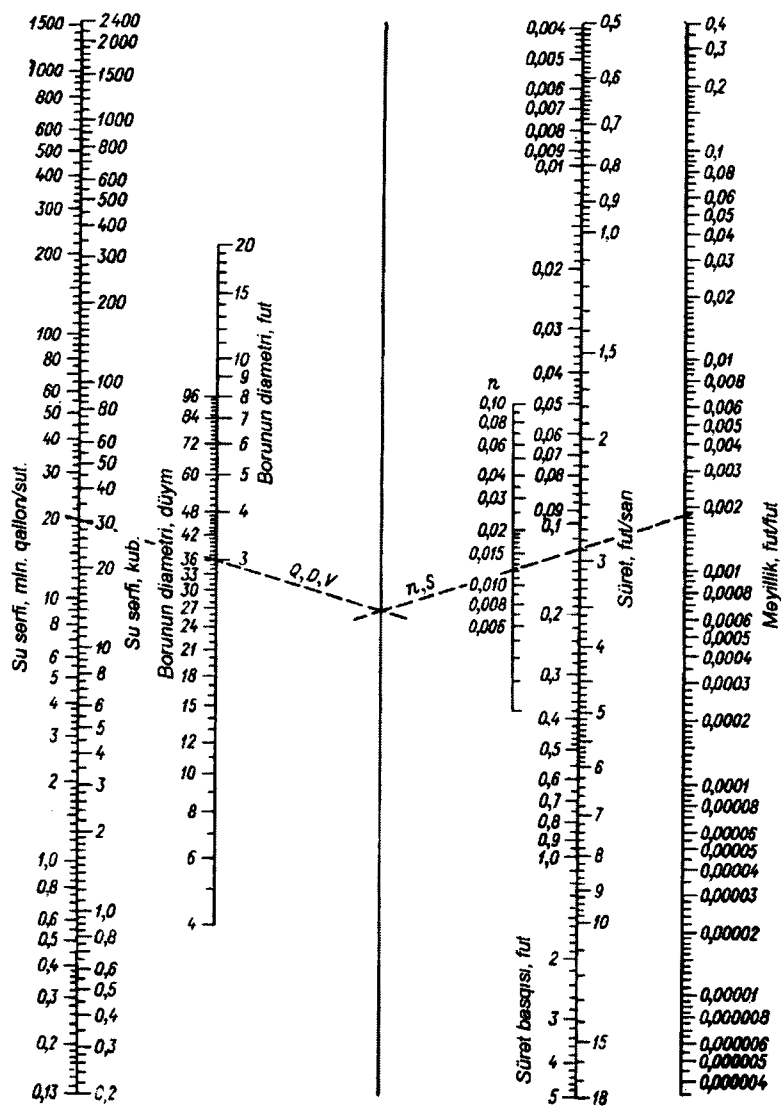
**Şəkil 5.6.** Yağıntı sularını kənarlaşdırmaq üçün layihələndirilən şəbəkənin sxemi (hava limanı hissəsi üçün)

- 1- dayanacaq meydançası;
- 2- dönməcək yolları;
- 3- yağış sularının qəbuledicisi;
- 4- arx;
- 5- yağış kanalizasiyası;
- 6- sutoplayıcıların sərhədləri;
- 7- çıxış.



**Şəkil 5.7. Leysanların şiddetliyinin onların davamiyyətinə və təkrarlanmasımasına görə reduksiya əyrləri  
(Əyrlərin yanında leysanın təkrarlanması (illərlə) göstərilmişdir)**

**Həlli:** Sutoplayıcı sahələrin, axım əmsallarının ortalaşdırılmış qiymətlərinin C və yamac qaçış müddətinin hesablanmasıının gedisəti cədvəl 5.2-də verilmişdir. Drenaj sisteminin hesablanması haqqında məlumatlar cədvəl 5.3-də göstərilmişdir. Suyu kənarlaşdırmaq üçün tələb olunan boruların en kəsiyinin sahəsi meyillik və kələ-kötürlük əmsalından asılıdır. Beton borular üçün kələ-kötürlük əmsali 0,015-ə bərabər qəbul edilir. Suyun sərfini borunun diametri və digər hidravlikı kəmiyyətlərlə əlaqələndirən nomogramma şəkil 5.8-də göstərilmişdir. Gətirmələrin çox çükiməsinin qarşısını almaq üçün boruda suyun minimal sürəti 2,5 fut/s qəbul edilir.



*Şəkil 5.8. Borularda su sərfini təyin etmək üçün nomogramma  
(Manning düstürünü görə)*

### Cədvəl 5.2

Axım əmsalları və yamac qacış müddətinin hesablanması

| Suqəbuledici<br>quyuların<br>nömrəsi | Sutoplayıcı sahə, akra |                     |       |           |      | Ən uzaq nöqtədən<br>məsafə, fut |                     | Yamac qacış<br>müddəti, dəq |                     |      |      |
|--------------------------------------|------------------------|---------------------|-------|-----------|------|---------------------------------|---------------------|-----------------------------|---------------------|------|------|
|                                      | Süni döşəmeli          | Torpaq örtükli sahə | Cəmi  | Ümumi çəm | C*   | Süni döşəmeli                   | Torpaq örtükli sahə | Cəmi                        | Torpaq örtükli sahə |      |      |
| 12                                   | 4.78                   | 9.91                | 14.69 | 14.69     | 0.49 | 100                             | 790                 | 890                         | 4                   | 37   | 41   |
| 11                                   | 5.48                   | 9.24                | 14.72 | 29.41     | 0.53 | 90                              | 750                 | 840                         | 4                   | 36   | 40   |
| 10                                   | 1.02                   | 10.95               | 11.97 | 41.38     | 0.35 | 65                              | 565                 | 630                         | 3.5                 | 31.3 | 34.8 |
| 13                                   | 1.99                   | 19.51               | 21.50 | 21.50     | 0.35 | 110                             | 1140                | 1250                        | 4.3                 | 44.3 | 48.6 |
| 9                                    | 1.46                   | 14.59               | 16.05 | 78.93     | 0.35 | 85                              | 612                 | 697                         | 3.9                 | 32.4 | 36.3 |
| Cəm                                  | 14.73                  | 64.20               | 78.93 |           |      |                                 |                     |                             |                     |      |      |

**Qeyd:**  $C^*$ - C əmsalının orta çəki qiymətidir: süni döşəməli səthlər üçün  $C=0.9$  və torpaq örtükli sahələr üçün isə  $C=0.3$ .

### Cədvəl 5.3

Drenaj sisteminin hesablanması üçün məlumatlar

| Suqəbuledici quyuların nömrələri | Müvafiq №-li quyular arasında | Kollektor hissələri | Kollektor hissəsinin uzunluğu, fut | Yamac qacış müddəti, dəq | Yağış sularının tam yığılma müddəti, dəq | Yağışın şiddetliyi, l dütüm/saat | Sutoplayıcı sahalar, A akr | Fərdi sutoplayıcılarından su sərfi, Q kub fu/san | Qapayıcı məntəqədə cəm su sərfi, kub fu/san | Drenaj şəbəkəsində suyun sürəti, fut/san (şəkil 4.31-a görə) | Borunun diametri, dütüm | Borunun meyilliyi, fut/fut | Borunun subarxma qabiliyyəti, kub fu/san (şəkil 4.31-e görə) | Borunun dibinin yüksəklüyü, fut |        |
|----------------------------------|-------------------------------|---------------------|------------------------------------|--------------------------|--|----------------------------------|----------------------------|--|---|--|-------------------------|----------------------------|--|---------------------------------|--------|
| 12                               | 12-11                         | 510                 | 41                                 | 2.7                      | 41.0                                     | 0.49                             | 2.40                       | 14.69  | 17.28                                       | 17.28  | 3.18                    | 33                         | 0.0017   | 18.90                           | 530.65 |
| 11                               | 11-10                         | 852                 | 40                                 | 5.0                      | 43.7                                     | 0.53                             | 2.31                       | 14.72  | 18.02                                       | 35.30  | 2.84                    | 54                         | 0.0007   | 45.00                           | 528.03 |
| 10                               | 10-9                          | 550                 | 34.8                               | 3.3                      | 48.7                                     | 0.35                             | 2.15                       | 11.97  | 9.01  | 44.31  | 2.84                    | 54                         | 0.0007   | 45.00                           | 527.44 |
| 13                               | 13-9                          | 730                 | 48.6                               | 3.7                      | 48.6                                     | 0.35                             | 2.16                       | 21.50  | 16.25                                       | 16.25  | 3.27                    | 33                         | 0.0018   | 19.44                           | 530.11 |
| 9                                | 9-çıxış                       | 1145                | 36.3                               | 5.9                      | 52.3                                     | 0.35                             | 2.03                       | 16.05  | 11.40                                       | 71.96  | 3.24                    | 66                         | 0.0007   | 77.00                           | 526.05 |
| Cıxış                            |                               |                     |                                    |                          |  |                                  |                            |  |   |  |                         |                            |  |                                 | 525.05 |

**Qeyd:** 1. Yamac qacış müddəti aşağıdakı düstura görə təyin olunub:

$$\tau = \frac{1.8(1.1 - C)\sqrt{D}}{\sqrt[3]{S}}$$

burada  $C$ - axım əmsalı;  $S$ -meyillik;  $D$ -yamacın uzunluğuudur.

2. Kollektor hissəsində suyun qacış müddətini tapmaq üçün hissənin uzunluğu boruda suyun hərəkət sürətinə bölünür.

3. Yağış sularının ümumi yiğilma müddəti yamacda (ən uzaqda yerləşən nöqtədən) və boruda suyun qacış müddətlərinin cəminə bərabərdir. Məsələn, 11Nö-li suqəbuledici quyu üçün yağış sularının ümumi yiğilma müddəti 43.7 dəqiqə ( $41+2.7=43.7$ ) təşkil edir. Eyni qayda ilə 10Nö-li suqəbuledici quyu üçün yağış sularının ümumi yiğilma müddəti 48.7 dəqiqə ( $41+2.7+5=48.7$ ) alınır.

4. Yağışın intensivliyi verilən təkrarlanma dövrü üçün (5 ildə bir dəfə) yağış sularının yiğilma müddətinə görə təyin olunur (şəkil 5.7).

5. Minimal sürət 2.5 fut/san təşkil edir.

6. Borunun minimal diametri 12 düym qəbul olunmuşdur.

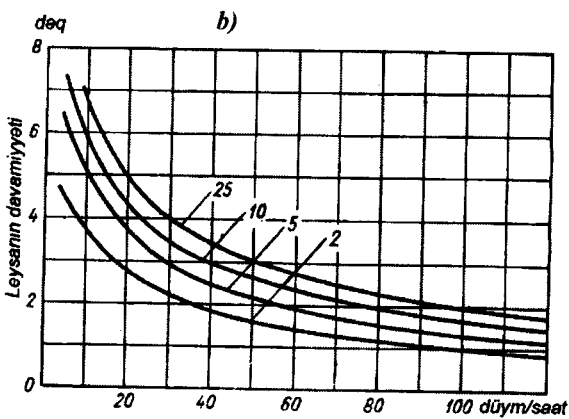
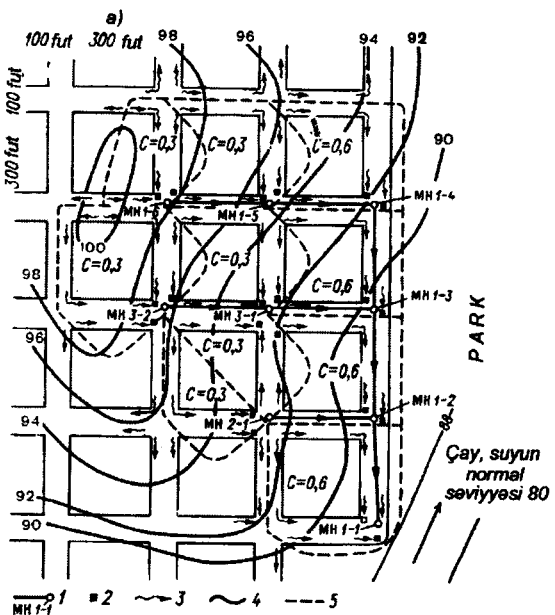
**Misal 5.7.** Şəkil 5.9-da göstərilmiş leysan kanalizasiyasının qapayıcı kəsiyində su sərfini təyin edin. Axım əmsalının ortalaşdırılmış  $C$  qiyməti yaşayış rayonları üçün 0,30, işgüzar məhəllələr üçün isə 0,60 qəbul edilib. Yağıntıların təkrarlanması 5 ildə 1 dəfə (şəkil 5.9b), yamac qacış müddətinin minimal kəmiyyəti 20 dəqiqə təşkil edir.

**Həlli:** Hesablamalar rasional düstura görə yerinə yetirilir:

$$Q = C \cdot I \cdot A$$

burada  $Q$  – su sərfi, kub.fut/s;  $I$  – leysanın şiddətliyi, düym/saat;  $A$  – sutoplayıcı sahədir, akra.

Hesablamaların gedişatı və alınmış nəticələr cədvəl 5.4-də göstərilmişdir.



**Şəkil 5.9.** Yağış sularının kənarlaşdırılması tələb olunan ərazinin sxemi  
(a) və leysanın davamiyyəti ilə intensivliyi arasında əlaqə qrafikləri (b)

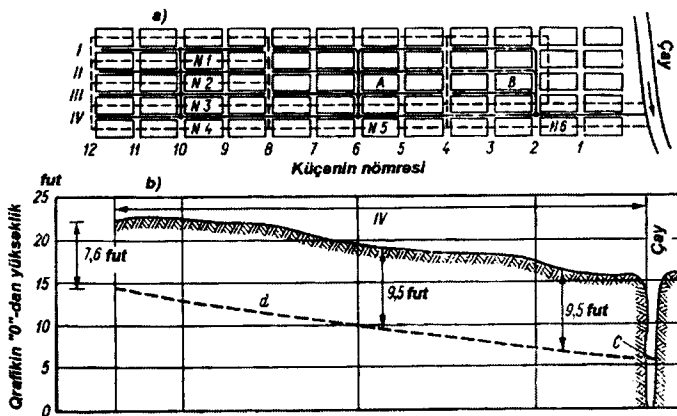
1-sutoplayıcı xətlər və baxış quyuları; 2- leysan sularının qəbuledicisi;  
3- yağış sularının küçələr boyu kənarlaşdırılma xətləri; 4- horizontallar;  
5- sutoplayıcıların sərhədləri. Öyrilərin yanındakı rəqəmlər leysanların  
təkrarlanması ilə göstərir.

Cedval 5.4.

$C = C \cdot I \cdot A$  rasiyal döşeturuna dayanıksızlıkının hesaplanması

Onde: 1-6-Cl-benzquinolamine (A) 1-5-cl-benzoquinolamine (B) kimi

**Misal 5.8.** Leysan kanalizasiya sisteminin baş kollektorunda su sərflərini təyin edin (şəkil 5.10).



**Şəkil 5.10.** Şəhər ərazisindən yağış sularının kənarlaşdırılma sxemi  
a-plan; b-uzununa profil; № 1-6 kiçik sutoplayıcı sahələrin nömrələri; I, II,  
III- küçələr; IV- əsas küçə; d- layihədə nəzərdə tutulan hidrovlik qradient; c-  
suqəbuləcici çayın səviyyəsi; A və B- yan kollektorlar.

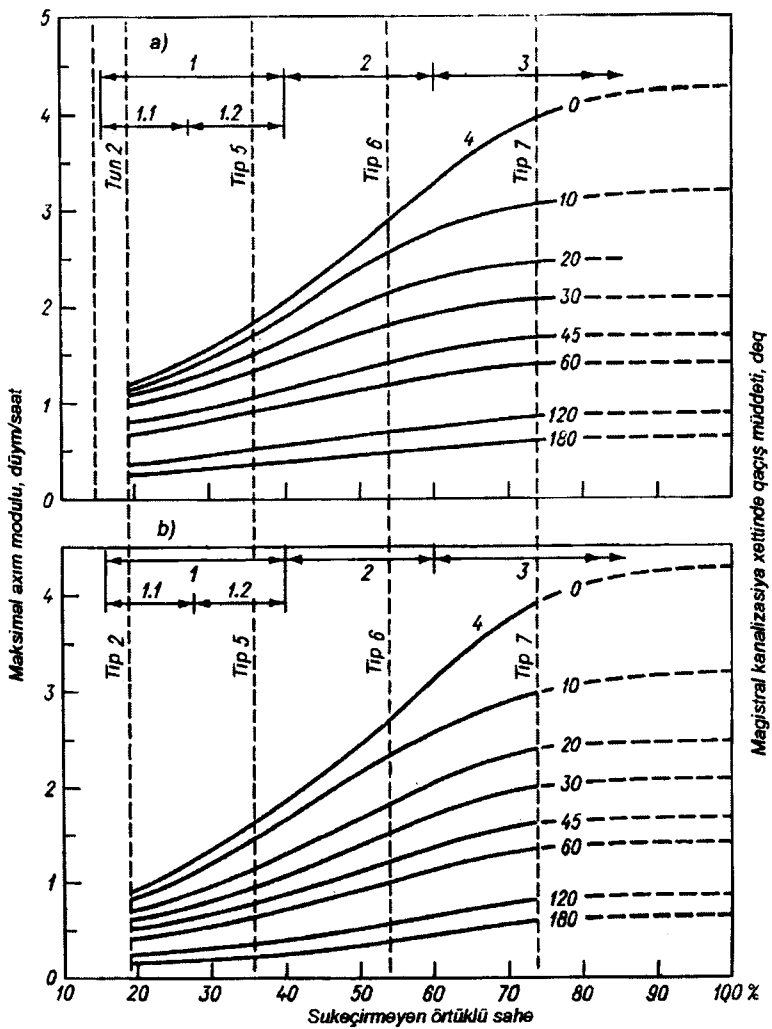
**Həlli:** Hesablamaların ardıcılılığı və nəticələri cədvəl 5.5-də verilmişdir. Bu cədvəlin 1-4 sütunlarının məlumatları şəkil 5.10-dan götürülmüşdür.

Cədvəlin 9-cu sütununda ərazinin bölündüyü hissələrin sahəleri, 11-ci sütununda bu ərazi hissələrində sukeçirməyən sahələr (%-lə) verilmişdir. Bu iki sütunun məlumatlarının hasili sukeçirməyən ərazinin həqiqi sahəsini (akra ilə) verir (12-ci sütun). 13-cü sütunda  $AI_n$  hasili göstərilmişdir (burada, A-ərazi hissələrinin sahəsi, atra;  $I_n$  – sutoplayıcıda kollektor kəsiyinə qədər sukeçirməyən ərazinin ümumi sahəsidir). Sonra 13-cü sütunun məlumatları 10-cu sütunun müvafiq məlumatlarına bölünür və alınan nəticələr 14-cü sütunda yazılır. Daha sonra 14-cü və 7-ci sütunların (suyun qaçış müddəti) məlumatlarına əsasən şəkil 5.11-in köməyi ilə axım modulu təyin olunur (15-ci sütun).

Cədvəl 5.5

Maksimal sərfin transformasiya üsulu ilə hesablanması

| 1                   | 2     | 3      | 4   | 5   | 6    | 7  | 8  | 9   | 10   | 11    | 12    | 13   | 14   | 15  | 16  |
|---------------------|-------|--------|-----|-----|------|----|----|-----|------|-------|-------|------|------|-----|-----|
| Korneliya<br>Avenyu |       |        |     |     | 0    | 1  | 20 | 20  | 38.6 | 7.72  | 7.72  | 38.6 | 1.82 | 36  |     |
| 10-eu<br>küçə       | 330   | 0.002  | 4.5 | 1.2 |      |    |    |     |      |       |       |      |      |     |     |
| Blekxok             |       |        |     |     | 1.2  | 2  | 20 | 40  | 34.5 | 6.90  | 14.62 | 36.5 | 1.69 | 68  |     |
| Eyni ilə            | 330   | 0.0017 | 4.9 | 1.1 |      |    |    |     |      |       |       |      |      |     |     |
| Olbani<br>Avenyu    |       |        |     |     | 2.3  | 3  | 20 | 60  | 36.0 | 7.20  | 21.82 | 36.4 | 1.67 | 100 |     |
| "                   | 330   | 0.0014 | 5.0 | 1.1 |      |    |    |     |      |       |       |      |      |     |     |
| Əsas küçə           |       |        |     |     | 3.4  | 4  | 20 | 80  | 45.5 | 9.10  | 30.92 | 38.6 | 1.75 | 140 |     |
| Əsas küçə           | 2.640 | 0.0012 | 5.2 | 8.5 |      |    |    |     |      |       |       |      |      |     |     |
| 6-ci küçə           |       |        |     |     | 5    | 20 |    |     | 42.8 | 8.56  |       |      |      |     |     |
| Eyni ilə            |       |        |     |     | 11.9 | 4  | 60 | 160 | 35.2 | 21.12 | 60.60 | 37.9 | 1.51 | 242 |     |
| Eyni ilə            | 2.640 | 0.001  | 5.5 | 8.0 |      |    |    |     |      |       |       |      |      |     |     |
| 2-ci küçə           |       |        |     |     | 6    | 23 |    |     | 50.1 | 11.52 |       |      |      |     |     |
| Eyni ilə            |       |        |     |     | 19.9 | B  | 34 | 217 | 37.2 | 12.68 | 84.80 | 390  | 1.30 | 282 |     |
| "                   | 1.650 | 0.0009 | 5.6 | 4.9 |      |    |    |     | 24.8 |       |       |      |      |     | 282 |
| Cəy                 |       |        |     |     |      |    |    |     |      |       |       |      |      |     |     |



**Şəkil 5.11. Kanalizasiya sistemlərində axının intensivliyinin qacış müddəti və sukeçirməyən ərazilərin sahəsindən asılılıqları**

a və b depressiyalarda suyun yiğilması; 1- bir ailə üçün tikili (1.1 şəhər ətrafında, 1.2-şəhərdə); 2- yaşayış və işgüzar rayonlar; 3- sənaye və ticarət rayonları; 4- qacış müddəti sıfıra uyğun olan əyri (yuxarı suqəbuləcicidə). Şəquli qırıq xətlər torpaqdan istifadənin tiplərini göstərir.

Kollektorun uzunluğu boyu su sərfi, axım modulu ilə verilən kəsiyə qədər sutoplayıcı sahənin hasili kimi tapılır (16-ci sütun).

Su sərfi (16-ci sütun) və meyillik (4-cü sütun) haqqında məlumatlara görə hidravlikanın mövcud diaqramlarından axının hesabi sürəti və qaçış müddəti təyin edilir.

Kollektor hissəsinin uzunluğunu axın sürətinə (5-ci sütun) bölməklə qaçış müddəti (6-ci sütun) hesablanır.

6-ci sütunda verilmiş rəqəmləri ardıcıl toplayaraq hər bir hesabi kəsiyə kimi qaçış müddəti təyin olunur. Əsas kollektora yan kollektorlar daxil olduqda (məsələn, 6-ci və IV küçələrin tinində) 9-cu və 10-cu sütunlarda 2 suyığılan ərazinin sahələri göstərilmişdir. Belə kəsişmələrdən aşağıda axımın şiddətliyini hesablamaq üçün kəsikdən yuxarıdakı bütün sahələrin cəmindən istifadə olunur. Məsələn, 160 akra (10-cu sütunun 10-cu sətiri), 80 akra (10-cu sütun və 7-ci sətir) 20 və 60 akra (9-cu sütunun 9-cu və 10-cu sətirləri) əlavə etməklə alınır. Analoji olaraq 13-cü sutunun (10-cu sətir) məlumatları 13-cü (7-ci sətir) və 12-ci sutunlardakı (9 və 10-cu sətirlər) rəqəmlərin cəminə bərabərdir.

### *5.3. Minimal axımın hesablanması*

Çayların böyük əksəriyyətinin su rejimində aydın şəkildə çoxsulu və azsulu mövsümlər seçilir. Gursulu dövr yazda müşahidə olunan çaylar üçün iki azsulu mövsüm səciyyəvidir: yay-payız və qış. Gursulu mövsüm yaz və yayın əvvəllərini əhatə etdikdə və payızda daşqınlar keçdikcə yalnız yay və qış azsulu mövsümlər qeydə alınır. Azsulu mövsümlər birlikdə ilin azsulu dövrünü təşkil edir. Qış mövsümü iki hissəyə bölünməsin deyə, təqvim ili əvəzinə su təsərrüfatı ili təhlil olunur.

Əhəmiyyətli daşqınlar olmadıqda azsulu mövsümdə müşahidə edilən çay axımı aralıq faza axımı adlanır. Bu axım müşahidə olunan müddətə isə aralıq faza deyilir. Aralıq faza çayın su rejimində qış və yay-payız mövsümlərində müşahidə olunan, kəmiyyətcə nisbətən kiçik və dayanıqlı su sərfləri ilə səciyyələnən fazadır. Bu su sərflərinin qiymətləri daşqın zamanı müşahidə

olunan su sərflərindən xeyli kiçik olur və hidroqrafin onlara uyğun hissəsi üfüqi xəttə yaxınlaşır.

Son dövrde Qərb ölkələrində hidrologiyaya aid ədəbiyyatda tez-tez hidroloji quraqlıq termininə rast gəlinir. Hidroloji quraqlıq dedikdə elə dövr başa düşülür ki, onun müşahidə olunduğu müd-dətdə çaydakı təbii su sərfləri təsərrüfatın müxtəlif sahələrinin tələbatını ödəmək üçün lazım olan su sərflərindən kiçik olur.

Hidroloji quraqlığın çoxsaylı meyarları var və onlar çay rejiminin kəmiyyət göstəricilərinə əsaslanır. Lakin indiyə kimi, bu hadisənin ümumi qəbul olunmuş meyarları işlənməmişdir.

Aralıq faza 2-4 aya qədər davam edir və bu dövrdə çay axımı illik axımın 10-20%-ni təşkil edir. Buna görə də il ərzində uzun müddət sudan istifadə məhdudlanır.

Aralıq fazada çaylar, əsasən, yeraltı və qismən (10-15%) səth suları ilə qidalanır. Qərbi Qafqaz və Lənkəran təbii vilayəti çaylarının qış aralıq faza axımında səth sularının payı 20-25%-ə qədər artır.

Müxtəlif formalı hidroqraflarda aralıq fazaları seçmək üçün A.M.Vladimirov metodika təklif etmişdir. Qış mövsümündə bu faza çaylarda buz hadisələri qeydə alındığı gündən başlanır. Əgər buz hadisələri müşahidə olunmursa, onda havanın temperaturunun  $0^{\circ}\text{C}$ -dən aşağı olduğu ilk gün qış aralıq fazanın başlanğıcı qəbul edilir. Bu faza yazda qarın əriməsi nəticəsində çayda səviyyənin kəskin qalxlığı günə qədər davam edir

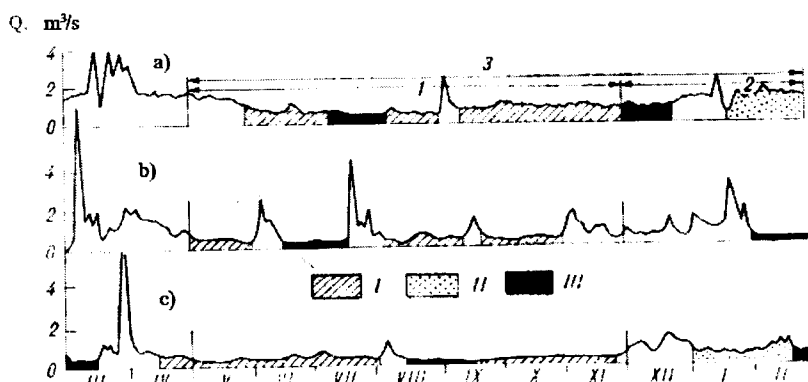
Yay aralıq faza yaz və yaz-yay gursulu dövrün sonundan payız daşqınlarına qədər olan dövrü əhatə edir. Payız daşqınları olma-dıqda yay-payız aralıq faza müşahidə olunur və o, qış mövsümü başlananda qurtarır.

Aralıq fazanın sərhədlərini müəyyən etdikdə çalışmaq lazımdır ki, bu zaman intervalında müşahidə olunan axım genetik cəhətdən bircins olsun. Buna görə azsulu dövrdə müşahidə olunmuş əhəmiyyətli yağış daşqınları aralıq fazaya daxil edilmir. Azsulu dövrün davamiyyəti 10 gündən az olduqda, hidroqrafda aralıq faza seçilmir.

Çayların hidroqraflarında aralıq fazanı seçmək, yəni onun

başlandığı və qurtardığı günləri müəyyən etmək üçün əsaslandırılmış kəmiyyət meyarları yoxdur. Bunu, nəzərə alaraq, hidroqraflarda aralıq fazaları, yuxarıda göstərildiyi kimi gözəyari seçirlər.

Aralıq fazada müəyyən müddət ərzində axım ən az olur və o, minimal axım dövrü adlanır. Bu dövrün davamiyyəti 1 gündən 30 günə (1 aya) qədər olur. Xarici ölkələrdə 5, 7, 10 və 15-günlük minimal axımdan daha geniş istifadə olunur. Keçmiş SSRİ-də və hazırda Azərbaycanda hidroloji hesablamalar minimal axımın 1 və 30 günlük qiymətlərinə görə yerinə yetirilir. Minimal axımın davamiyyətindən asılı olmayaraq, onun kəmiyyəti baxılan zaman intervalında ardıcıl müşahidə olunmuş su sərfərinin ən kiçik qiymətlərinin orta ədədi kəmiyyəti kimi təyin olunur (Şəkil 5.12).



**Şəkil 5.12. Çayın çoxsulu (a), orta sulu (b) və azsulu (c) illər üçün hidroqrafları**

1 – məhdudlaşdırıcı mövsüm; 2 – məhdudlaşdırılmayan (azsulu) mövsüm; 3 – məhdudlaşdırıcı dövr; I – yay-payız aralıq faza; II – qış aralıq faza; III – 30 sutkalıq minimal axım dövrü

Azərbaycan çaylarının 96%-də 30 günlük minimal yay-payız və qış su sərfəri demək olar ki, yalnız yeraltı sularla formalaşır.

Minimal sutkalıq (1 günlük) su sərfəri çox vaxt sərfər əyrisinin aşağıya ekstrapolyasiya olunmuş hissəsinə görə təyin edilir və bununla əlaqədar dəqiqliyi nisbətən aşağı olur. Minimal 30-gün-

lük su sərflərinin hidroloji sırasını tərtib etmək çoxlu vaxt və zəhmət tələb edir. Minimal aylıq su sərfləri isə bəzən mənşəcə bircins olmur.

Hidroloji müşahidə məlumatları olmadıqda minimal axımı hesablaşmaq üçün iki metoddan istifadə olunur:

1. Parametrlər metodu;
2. Keçid əmsalları metodu.

### 5.3.1. Parametrlər metodu

Bu metodu tətbiq etdikdə minimal su sərflərinin təminat əyri-lərinin üç parametrinin hər biri ayrılıqda təyin olunmalıdır.

Əvvəlcə, tədqiq olunan ərazinin minimal axımın əmələgəlmə şəraitinə görə hidroloji rayonlaşması yerinə yetirilir. Əsas diqqət iqlim amillərinə və hövzənin hidrogeoloji xüsusiyyətlərinə (süxurların sukeçirmə qabiliyyəti, bulaqların debiti və s.) yetirilir. İstənilən axım göstəricisinin formallaşmasına iqlim amillərinin təsir mexanizmi məlumdur. Hövzənin hidrogeoloji şəraiti isə ona görə nəzərə alınmalıdır ki, minimal axım dövründə çaylar başlıca olaraq yeraltı sularla qidalanır.

Ərazi rayonlaşdırıldıqdan sonra, hər bir bircins hidroloji rəyonda minimal axımın parametrləri ilə hövzənin əsas fiziki-coğrafi göstəriciləri arasında əlaqələr təhlil olunur. Minimal axımın əmələgəlmə şəraiti səciyyələndirən göstəricilər kimi, sutoplayıcının sahəsi, A, orta hündürlüyü, H, meyilliyi, i, və s. istifadə olunur.

**Minimal axımın orta çoxillik kəmiyyətinin təyini.** Bu məqsədlə, 1966-1991-ci illəri əhatə edən dövr ərzində keçmiş SSRİ ərazisində minimal su sərfi ilə sutoplayıcı sahə arasında əlaqə qrafikindən istifadə olunmuşdur (şəkil 5.13).

A.M.Vladimirov tərəfindən təklif olunan bu əlaqənin analitik ifadəsi aşağıdakı kimidir:

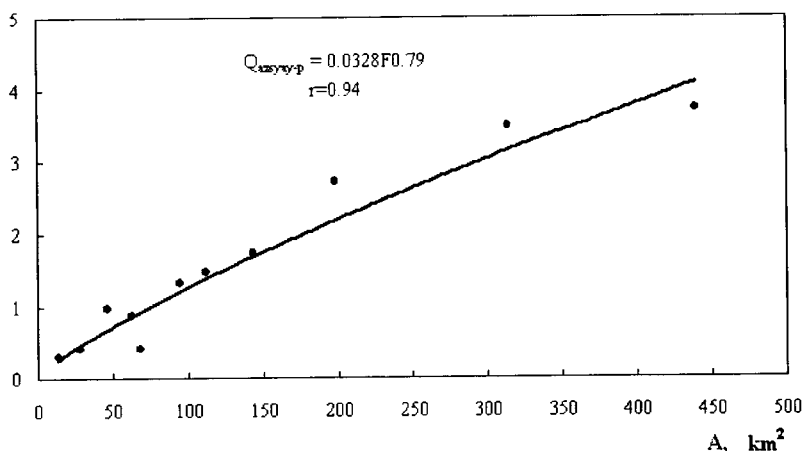
$$\bar{Q}_{\min} = a(A \pm f_0)^n, \quad (5.66)$$

burada  $\bar{Q}_{\min}$  –minimal yay-payız və ya qış su sərflərinin orta

çoxillik kəmiyyəti ,  $m^3/s$ ; A-sutoplayıcının sahəsi,  $km^2$  ; a, n,  $f_0$  - rayon parametrləridir.

$\bar{Q}_{\min} = f(A)$  əlaqəsi düzənlik çayları üçün daha yaxşı nəticələr verir. Sutoplayıcının orta hündürlüyü nisbətən az dəyişən dağlıq rayonlarda da bu əlaqədən istifadə etmək olar. Məsələn, Şərqi Qafqazda ayrılmış 22 hidroloji rayondan 14-də minimal axımın orta çoxillik kəmiyyətinin təyini xətası 20-25%-dən azdır.

$Q_{\text{axşay-p}}, m^3/s$



*Şəkil 5.13. Yay-payız azsulu dövrün orta su sərfi ilə sutoplayıcı sahə arasında əlaqə qrafiki*

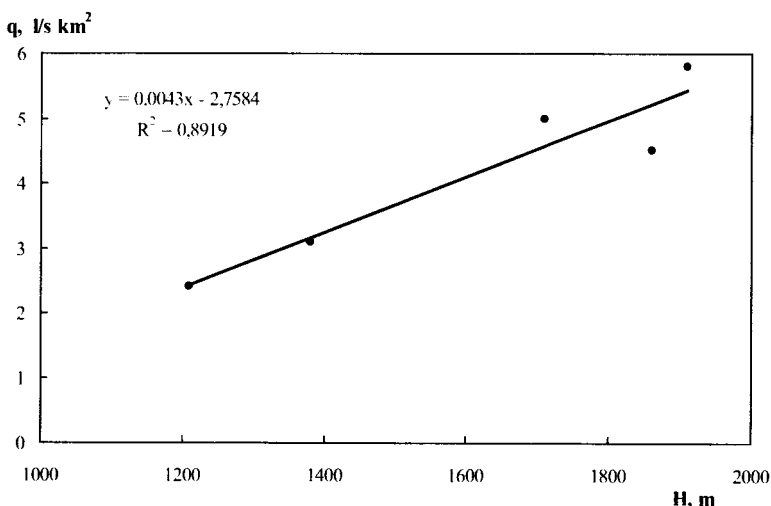
$\bar{Q}_{\min}=f(A)$  əlaqəsinin təhlili göstərir ki, faktiki olaraq bütün qrafiklərdə bir neçə (1-dən 3-ə qədər) nöqtə əlaqə xəttindən kəskin meyl edir. Çox zaman belə nöqtələr sutoplayıcı sahəsi kiçik olan ( $A < 50 \text{ km}^2$ ) çaylara uyğun gəlir və minimal axıma yerli amillərin (göl, buzlaq, karst və s.) təsiri ilə izah olunur.

Dağlıq ərazilərdə  $\bar{Q}_{\min}=f(A)$  əlaqəsinin tətbiqini məhdudlaşdırıran səbəblərdən biri də, çayın mənbəyindən onun mənsəbinə doğru ərazinin rütubətlənmə şəraitinin pisləşməsidir. Adətən, çay sutoplayıcısının mənsəbə yaxın hissəsində daha az yağıntı düşür, buxarlanma qabiliyyəti isə yüksək olur. Nəticədə, eyni bir hid-

roloji rayonda sutoplayıcının müxtəlif qiymətlər diapazonu üçün (məsələn,  $A \leq 200 \text{ km}^2$  və  $A > 200 \text{ km}^2$ ) iki əlaqə alınır.

Dağlıq rayonlarda minimal axımın orta kəmiyyətini hesablamak üçün ənənəvi olaraq axım modulunun sutoplayıcının orta hündürlüyündən asılılığından  $\bar{q} = f(H)$  istifadə olunur (şəkil 5.14). Belə asılılığın olmasına səbəb, minimal axımın formallaşmasına təsir göstərən iqlim amillərinin hündürlüyü görə qanuna uyğun şəkildə dəyişməsidir. Bu bir daha təsdiqləyir ki, dağlıq ərazilərdə sutoplayıcının orta hündürlüyü onun sahəsi ilə müqayisədə çayların minimal axımının əmələgəlmə şəraitinin daha effektiv integralları göstəricisidir.

$\bar{q}_{\min} = f(H)$  əlaqə qrafiki qurulduqda yalnız kiçik çayların yox, həm də orta çayların minimal axımı haqqında məlumatlardan istifadə olunur. Analizə əlavə məlumatların cəlb olunması daha əsaslandırılmış və etibarlı əlaqələr almağa imkan verir. Dağlıq ərazilərdə, adətən sutoplayıcının orta hündürlüyü artıqca, minimal axım modulu da artır. Lakin bəzi istisnalar da məlumdur: Qara dənizin Qafqaz sahillərində və Lənkəran təbii vilayətində minimal axım hündürlüyü görə azalır.



Şəkil 5.14. Yaz-payız azsulu dövrün axım modulu ilə hövzənin orta hündürlüyü arasında əlaqə qrafiki

Qeyd etmək lazımdır ki,  $\bar{q}_{\min}=f(H)$  qrafiklərində də əlaqə xəttindən kəskin meyl edən nöqtələr olur. Lakin belə nöqtələrin sayı  $\bar{Q}_{\min}=f(A)$  əlaqəsi ilə müqayisədə azdır.

Məlumdur ki, minimal axım çoxsaylı fiziki-coğrafi amillərin birgə təsiri altında formalasılır. Buna görə də hesablama düsturlarında yalnız bir amilin ( $A$  və ya  $H$ ) nəzərə alınması heç də həmişə minimal axımın kəmiyyətini tələb olunan dəqiqliklə təyin etməyə imkan vermir. Hesablamaların dəqiqliyini artırmaq üçün düstur (5.66)-dakı “ $a$ ” parametрini sutoplayıcının orta hündürlüyü görə dəqiqləşdirmək olar (Иманов, 2000). Düstur (5.66)-dan göründüyü kimi, “ $a$ ” parametrinin qiyməti hidroloji rayonun bütün çayları üçün eyni (sabit) qəbul olunur. Lakin Qafqaz çaylarının misalında göstərilmişdir ki, eyni hidroloji rayon daxilində müxtəlif çaylar üçün “ $a$ ” parametrinin qiyməti 2-3 dəfə və daha çox fərqlənir.

$\bar{Q}_{\min}=f(A,H)$  əlaqəsinin analitik ifadəsini almaq üçün hesablamalar aşağıdakı ardıcılıqla yerinə yetirilir.

1. Baxılan hidroloji rayonun hər bir çayı üçün düstur 5.66-dan “ $a$ ” parametrinin qiyməti təyin olunur:

$$a = \frac{\bar{Q}_{\min}}{(A \pm f_0)^n}. \quad (5.67)$$

2.  $a=f(H)$  əlaqə qrafiki qurulur və onun analitik ifadəsi tapılır:

$$a=bH^m, \quad (5.68)$$

burada  $b$  və  $m$  rayon parametrləridir.

3. “ $a$ ” parametrinin analitik ifadəsi düstur (5.66)-da yerinə yazılır:

$$\bar{Q}_{\min} = bH^m(A+f_0)^n. \quad (5.69)$$

Hesablamalar göstərir ki, düstur (5.66) ilə müqayisədə, düstur (5.69)-dan istifadə minimal axımın orta çoxillik kəmiyyətinin qiymətləndirilmə dəqiqliyini 7-9% artırmağa imkan verir.

Minimal axımın hesablanmasında çoxhədli xətti rəqressiya tənliklərindən də istifadə oluna bilər:

$$\bar{q}_{\min} = k_1x_1 + k_2x_2 + k_3x_3 + \dots + k_nx_n, \quad (5.70)$$

burada  $k_i$  –rəqressiya əmsalları;  $x_i$  –fiziki coğrafi parametrlərdir.

Rəqressiya tənliklərinin əsas üstünlüyü axımın çoxsaylı amillərinin təsirinin eyni zamanda nəzərə alınmasıdır. Lakin təcrübə göstərir ki, bu üsul hidroloji baxımdan yaxşı öyrənilmiş düzənlik ərazilərin çayları üçün yaxşı nəticə verir.

Azərbaycan şəraitində bircins hidroloji rayonlarda müşahidə məntəqələrinin sayı azdır. Digər tərəfdən, minimal axımın əmələgəlmə şəraitini səciyyələndirən bir sıra amillərin, məsələn, hövzənin hidrogeoloji xüsusiyyətlərinin kəmiyyət meyari yoxdur. Bu iki səbəbə görə, müasir dövrdə dağlıq ərazi çaylarının minimal axımını hesablaşmaq üçün çoxhədli rəqressiya tənliklərindən az istifadə olunur və üstünlük  $\bar{Q}_{\min} = f(A)$ ,  $\bar{q}_{\min} = f(H)$  və  $\bar{Q}_{\min} = f(A, H)$  əlaqələrinə verilir.

Müşahidə məlumatları olmadıqda minimal axımı hesablayarkən aşağıdakılardan nəzərə alınmalıdır:

- $\bar{Q}_{\min} = f(A)$  və  $\bar{q}_{\min} = f(H)$  əlaqələrindən istifadə etdikdə onların korrelyasiya əmsalı 0,7-dən böyük olmalıdır;
- minimal axımı bir neçə üsulla hesablayıb yekun nəticə kimi orta kəmiyyəti tövsiyə etmək olar;
- mühüm layihələr həyata keçirildikdə əlavə olaraq epizodik müşahidələr təşkil edilməli və ölçülümuş su sərfləri hidrometrik planalma metodu ilə çoxillik dövrə gətirilməlidir (bax paraqraf 4.2-yə).

**Variasiya əmsalının təyini.** Müşahidə məlumatları olmayan çayların variasiya əmsalını hesablaşmaq üçün istifadə olunan metodlar bu əmsalın qiymətləri ilə fiziki-coğrafi amillər arasındakı əlaqələrə əsaslanır. Daha çox  $C_v = f(H)$ ,  $C_v = f(\bar{q}_{\min})$  və  $C_v = f(A)$  əlaqələrindən istifadə olunur. Bu əlaqələr hidroloji

bircins rayonlar üçün qurulur və sonra müvafiq əlaqəyə və ya əlaqələrə görə bu rayonların sərhədləri dəqiqləşdirilir.

Minimal su sərfləri başlıca olaraq yeraltı sularla formalaşır və bu suların ətalətli olması məlumdur. Məhz bu səbəbdən, adətən minimal su sərfləri sıralarının çoxillik dövr ərzində dəyişkənliyi (variasiyası) yüksək olmur. Dağılıq ərazilərdə yeraltı suların və həm də minimal axımın əmələgəlməsinə təsir edən iqlim amilləri hündürlüyü görə dəyişir. İqlim şəraitinin dolayı göstəricisi kimi minimal axım modulunun norması da istifadə oluna bilər. Minimal su sərflərinin dəyişkənliyinə hövzənin axımı tənzimləmə qabiliyyəti də təsir göstərir. Hövzənin sahəsi artdıqca, bu təsir də güclənir. Sutoplayıcı sahənin və axım modulunun variasiya əmsalına təsiri nəzəri cəhətdən D.L.Sokolovski və Q.P.Kalinin tərəfindən əsaslandırılmışdır. Minimal axımın dəyişkənliyinə buzlaqlar, göllər, karst hadisələri, bitki örtüyü və digər amillər də təsir edir.

Dağ çaylarının minimal axımının variasiya əmsalını hesablaşmaq üçün ənənəvi olaraq  $C_v=f(H)$  əlaqəsindən istifadə olunur. Sutoplayıcının orta hündürlüyü artdıqca, variasiya əmsalının qiyməti azalır. Bu qanuna uyğunluq, hündürlük artdıqca iqlim amillərinin dəyişkənliyinin azalması ilə izah olunur.

Adətən,  $C_v=f(H)$  əlaqəsi kifayət qədər sıx olan hidroloji rayonlarda  $C_v=f(\bar{q}_{\min})$  əlaqəsi də aşkarlanır.

Dağ çayları üçün  $C_v=f(A)$  əlaqəsi çox az hallarda praktik əhəmiyyət kəsb edir. Bunun səbəblərindən biri belə ərazilərdə  $\bar{q}_{\min}=f(A)$  əlaqəsinin çox zəif olması və ya heç olmamasıdır.

Düzenlik ərazi çayları üçün daha çox variasiya əmsalının xəritəsindən istifadə olunur.

Bəzən hidroloji rayon üçün yuxarıda göstərilən əlaqələri aşkar etmək mümkün olmur və ya bu əlaqələrin sıxlığının zəif olması onlardan istifadə etməyə imkan vermir. Belə rayonlarda variasiya əmsallarının qiymətlərinin bir-birindən fərqlənməsi təsadüfi amillərlə izah olunur. Ona görə də rayonun bütün çaylarının variasiya əmsallarının orta qiyməti hesablanır və alınmış bu

qiymət rayonun qalan çaylarına da aid edilir.

**Asimetriya əmsalı.** Müşahidə məlumatları olmadiqda asimetriya əmsalı və ya asimetriya əmsalının variasiya əmsalına nisbəti iki üsulla təyin oluna bilər:

- analoq çay (və ya çaylar) seçilir və onun (onların)  $C_s/C_v$  nisbəti hesabi çaya tətbiq olunur;
- hidroloji rayon üçün  $C_s/C_v$  nisbətinin qəbul olunmuş orta qiyməti tədqiq olunan çaya tətbiq edilir.

Asimetriyanın göstəricilərini ( $C_s$  və  $C_s/C_v$ ) daha dəqiq qiymətləndirmək üçün onların ərazi üzrə paylanma qanuna uyğunluqlarını müəyyən etmək lazımdır. Lakin bu çox mürəkkəb məsələdir. Əvvəla, hətta müşahidə məlumatları olduqda belə asimetriya əmsalının hesablanması xətası çox böyükdür. Digər tərəfdən, faktiki olaraq bu əmsalın kəmiyyətinə təsir edən amillər məlum deyildir.

Bəzi regionlarda məsələn, Şərqi Qafqazda minimal axımın asimetriya və variasiya əmsalları arasında əlaqələr  $C_s=f(C_v)$  alınmışdır. Lakin bu əlaqələr kifayət qədər sıx olmadığından, hidroloji hesablamalarda istifadəyə yararlı deyillər. Buna baxmayaraq,  $C_s=f(C_v)$  əlaqəsinin mövcudluğu göstərir ki, asimetriyanın göstəriciləri variasiya əmsalını hesablaşdırmaq üçün ayrılmış hidroloji rayonlar üzrə ümumiləşdirilə (ortalaşdırılı) bilər.

### 5.3.2. Keçid əmsalları metodu

Bu metodu tətbiq etmək üçün əvvəlcə iki parametr təyin olunmalıdır:

- Minimal su sərflerinin dayaq təminatlı qiyməti;
- Keçid əmsalları.

Hidroloji hesablamalar praktikasında minimal su sərflerinin böyük təminatlı qiymətlərindən istifadə olunur. Bu təminatlar 75-99% arasında dəyişir. Adətən dayaq təminat kimi 80% qəbul olunur. Başqa sözlə, müşahidə məlumatları olmadiqda, əvvəlcə 80% təminatlı minimal yay-payız və ya qış su sərfi hesablanır:

$$Q_{80\%} = d(A \pm f_0), \quad (5.71)$$

burada A-sutoplayıcı sahə,  $\text{km}^2$ ; d,  $f_0$  və  $\ell$  rayon parametrləridir.

Göründüyü kimi, bu düstur öz strukturuna görə A.M.Vladimirovun düsturu (5.66) ilə eynidir. Təcrübə göstərir ki, əgər, hidroloji rayonda  $\bar{Q}_{\min} = f(A)$  əlaqəsi varsa, onda  $Q_{80\%} = f(A)$  əlaqəsi də alınır. Bu onunla izah olunur ki, minimal su sərfərinin orta çoxillik və 80% təminatlı qiymətlərinin mənşəyi eynidir-hər ikisi başlıca olaraq yeraltı suların hesabına formalaşır. Bu səbəbdən, bircins hidroloji rayonlar üçün kifayət qədər sıx  $Q_{80\%} = f(\bar{Q}_{\min})$  əlaqəsi alınır.

Anoloji olaraq  $q_{80\%} = f(H)$  və  $Q_{80\%} = f(A, H)$  əlaqələrindən istifadə oluna bilər.

Minimal su sərfərinin digər təminatlı (75, 85, 90, 95, 97 və 99) qiymətlərini hasablamak üçün keçid əmsallarından istifadə olunur. Bu əmsalların qiymətləri aşağıdakı kimi təyin olunur:

1.Bircins hidroloji rayonun çayları üzərində fəaliyyət göstərən (və ya göstərmış) və müşahidə illərinin sayı 9 ildən az olmayan bütün hidroloji məntəqələr üçün empirik və analitik təminat əyriləri qurulur;

2.Analitik təminat əyrisindən  $Q_{75\%}$ ,  $Q_{80\%}$ ,  $Q_{85\%}$ ,  $Q_{90\%}$ ,  $Q_{95\%}$ ,  $Q_{97\%}$  və  $Q_{99\%}$  təyin olunur;

3.  $Q_{75\%} = f(Q_{80\%})$ ,  $Q_{85\%} = f(Q_{80\%})$ ,  $Q_{90\%} = f(Q_{80\%})$  və s. əlaqə qrafikləri qurulur və onların analitik ifadəsi tapılır. Baxılan əlaqələr düzgünə olduğuna görə, ümumi halda analitik ifadə aşağıdakı kimidir:

$$Q_{p\%} = \lambda_{p\%} Q_{80\%}, \quad (5.72)$$

burada  $Q_{p\%}$ -minimal su sərfinin P% təminatlı qiyməti;  $\lambda_{p\%}$ -80% təminatlı minimal su sərfindən P% təminatlı su səfincə keçid əmsalıdır.

Artıq qeyd olunduğu kimi, minimal axımın əsas göstəriciləri sutkaliq və 30- sutkaliq (və ya aylıq) minimal su sərfəridir. Müşahidə məlumatları olmayan çaylar üçün hesablama üsulu 30-

sutkalıq minimal su sərflərinə görə işlənir. Sutkalıq minimal su sərflərini təyin etmək üçün isə  $Q_1 = f(Q_{30})$  əlaqəsindən istifadə olunur. Bircins hidroloji rayon üçün qurulan bu düzxətli əlaqələrin korrelyasiya əmsalları 0,9-dan böyükdür.

Parametrlər və keçid əmsalları metodlarının müqayisəli təhlili bir sıra nəticələrə gəlməyə imkan verir. Keçid əmsalları metodу daha sadədir və onu tətbiq etmək üçün yalnız iki parametr ( $\lambda_p\%$ ;  $Q_{80\%}$  və ya  $q_{80\%}$ ) təyin olunur. Lakin bu metodla minimal su sərflərinin yalnız böyük təminatlı (75-99%) qiymətlərini hesablamaq mümkündür. Hidroloji hesablamalarda bu metod daha geniş tətbiq olunur.

Parametrlər metodundan istifadə etmək üçün üç parametr ( $\bar{Q}_{\min}$  və ya  $\bar{q}_{\min}$ ,  $C_v$ ,  $C_s$  və ya  $C_s/C_v$ ) təyin edilməlidir. Bu metod minimal su sərflərinin istənilən təminatlı qiymətini hesablamayaq imkan verir.

Qafqaz çaylarının misalında göstərilmişdir ki, minimal su sərflərinin 75, 80, 90 və 95% təminatlı qiymətlərini hesablamaq üçün hər iki metodun imkanları eynidir. Lakin 97% təminatlı minimal su sərflərinin hesablanması dəqiqliyi keçid əmsalları üsuluna görə daha yüksəkdir. Bu onunla izah olunur ki, xüsusilə quraq ərazi çaylarının minimal su sərflərinin empirik təminat əyri ləri  $P > 95\%$  olduqda aşağıya doğru kəskin əyilir. Belə empirik əyri lərə analitik əyri seçmək mümkün olmur.

### 5.3.3. Çayların quruması

Çay məcrasının quruması iqlim və hidrogeoloji amillər kompleksinin müəyyən nisbətində müşahidə olunur. Axımın olmaması yalnız müəyyən fiziki-coğrafi rayonların çayları və çay hissələri üçün səciyyəvidir.

Çayda axımın olmaması sudan istifadəni məhdudlaşdırır və buna görə də bu hadisənin davamıyyəti haqqında məlumatlar böyük praktiki əhəmiyyət kəsb edir. Çayların quruması epizodik (bəzi illərdə) və ya hər il onları qidalandıran su horizontlarında

ehtiyatların tüketməsi nəticəsində müşahidə olunur. Uzun müddət yağışlarının düşməməsi, havanın yüksək temperaturu və rütbət çatışmazlığı, həmçinin intensiv buxarlanma da çayların qurumasına təsir göstərir.

Quruma hadisəsinin müşahidə olunma vaxtı sutoplayıcının coğrafi mövqeyindən, ölçülərindən, ərazinin hündürlüyündən, hövzənin tənzimləyici rolundan asılıdır.

Volqa, Ural, Kuma çaylarının hövzələrində sutoplayıcılarının sahəsi  $200 \text{ km}^2$ -dən  $1000 \text{ km}^2$ -ə qədər, minimal 30 günlük axım modulu isə  $0,1\text{-}0,2 \text{ l/s} \cdot \text{km}^2$  qədər olan çaylar hər il quruyur. Şimali Qazaxstanda bu hadisə sutoplayıcının sahəsi  $900\text{-}1000 \text{ km}^2$  olan çaylar üçün səciyyəvidir.

*Çayların epizodik quruması* ən quraq illərdə müşahidə olunur.

Hövzənin orta hündürlüyü arttıkca çaylarda quruma hadisəsinin davamiyyəti azalır və bu, baxılan istiqamətdə ərazinin ümumi rütbətlənmə şəraitinin yaxşılaşması ilə izah olunur.

Quraq ərazilərdə çayların su ehtiyatları, sudan istifadə haqqında məlumatlarla yanaşı çaylarda quruma hadisəsinin davamiyyəti və başqa zaman göstəriciləri də nəzərə alınmalıdır.

Hidroloji hesablamalar praktikasında qurumanın davamiyyətinin müxtəlif təminatlı qiymətləri haqqında məlumatlar tələb olunur. Əgər, çay hər il quruyursa, onda qurumanın davamiyyətinin empirik və analitik təminat əyriləri qurulur və məsələ asanlıqla həll olunur. Lakin nəzərə almaq lazımdır ki, çay sularından istifadə baxımından qurumanın davamiyyətinin ən böyük qiymətləri ən əlverişsiz haldır. Buna görə də qurumanın davamiyyət sırası hidroloji hesablamalarda qəbul olunduğu kimi azalma qaydasında yox, əksinə artma qaydasında tərtib olunmalıdır. Bu uyğunsuzluğu aradan götürmək üçün A.M.Vladimirov təklif etmişdir ki, təminat əyriləri birbaşa qurumanın davamiyyətinə ( $T$ ) görə yox,  $1/T$  parametrinə görə qurulsun. Bu halda təminat əyriləri həm öz ənənəvi formasını, həm də məzmununu qoruyub saxlayır.

M.Ə.Məmmədov hər il və epizodik qurulan çaylarda qurumanın davamiyyətini statistik metodlarla təhlil etmiş və

göstərmişdir ki, hər il quruyan çaylarda qurumanın davamiyyəti Pirsonun III tip paylanması uyğundur. O, empirik təminatları hesablamaq üçün düstur təklif etmişdir:

$$P = \frac{m}{n + t^\alpha} \cdot 100\%, \quad (5.73)$$

burada  $t$ -qurumanın davamiyyətidir və modul əmsalı ilə ifadə olunur ( $t_i = T_i / T_{or}$ -burada,  $T_i$ -konkret ildə qurumanın davamiyyəti,  $T_{or}$ -bütün müşahidə dövründə qurumanın orta davamiyyəti, sutka);  $\alpha$ -üst göstəricisidir və  $\alpha=2$ ;  $m$ -qurumanın davamiyyətinin azalma sırasında hədlərin sıra nömrəsi;  $n$ -siranın uzunluğuudur.

Epizodik quruyan çaylar üçün təklif olunan düstur bir qədər fərqlidir.

$$P = \frac{m}{n + k^z + (at)^\alpha} \cdot 100\%, \quad (5.74)$$

burada  $k$ -minimal su sərfinin modul əmsalıdır;  $z$ -üst göstəricisidir;  $a$ -əmsaldır.

Axırıncı düsturun əsas üstünlüyü ondan ibarətdir ki, çayların minimal axımı və qurumanın davamiyyəti haqqında məlumatları ümumi bir statistik çoxluqdə birləşdirmək imkanı yaranır.

Azərbaycan ərazisində bəzi çayların quruması antropogen amillərin təsiri nəticəsində baş verir.

Əgər çay epizodik quruyursa və belə illərin sayı azdırsa (məsələn, 10 ildən az), onda qurumanın davamiyyətinin müxtəlif təminatlı qiymətlərini hesablamaq praktiki olaraq mümkün deyildir. Bu halda çayda quruma hadisəsinin hansı ehtimalla baş verə biləcəyini qiymətləndirmək olar (məsələn, yaxın 10, 20, 30 ildə və s.).

Bu tipli məsələ diskret binomial paylanma qanunu və ya Puasson paylanması istifadəsi ilə həll oluna bilər.

V.Evdjeviç və D.M.Herşfield qurumanın davamiyyətini təhlil edərkən seriyalar nəzəriyyəsindən istifadə etmişlər. Onlar qurumanın davamiyyətinin paylanma qanununu almışlar:

$$P=p^{k-1}(1-p), \quad 0 < p < 1 \quad (5.75)$$

burada  $P$ -k sutka ərzində qurumanın ehtimalıdır;  $p$ -paylanmasıın parametridir və 1 sutka ərzində qurumanın baş verməsinin şərti ehtimalıdır.

Bu həndəsi paylanmasıın  $p$  parametrini hesablamaq üçün aşağıdakı düstur təklif olunur:

$$\frac{1}{1-p} = \frac{T_0}{N_0}, \quad (5.76)$$

burada  $T_0$ -bütün müşahidə illerində çayda quruma hadisəsinin qeydə alındığı günlərin cəmidir;  $N_0$ -quruma hadisəsi qeydə alınmış bütün periodların ümumi sayıdır (əgər hər hansı bir ildə çay müəyyən fasılələrlə 3 dəfə quruyubsa, onda həmin il üçün  $N_0=3$  qəbul edilir).

Əgər, nəzərə alsaq ki,  $T_0/N_0$  nisbəti müxtəlif davamiyyətli qurumanın orta kəmiyyətidir ( $T_{or}$ ), onda düstur (5.76)-dan aşağıdakı ifadə alınar:

$$p = 1 - \frac{1}{T_{or}}. \quad (5.77)$$

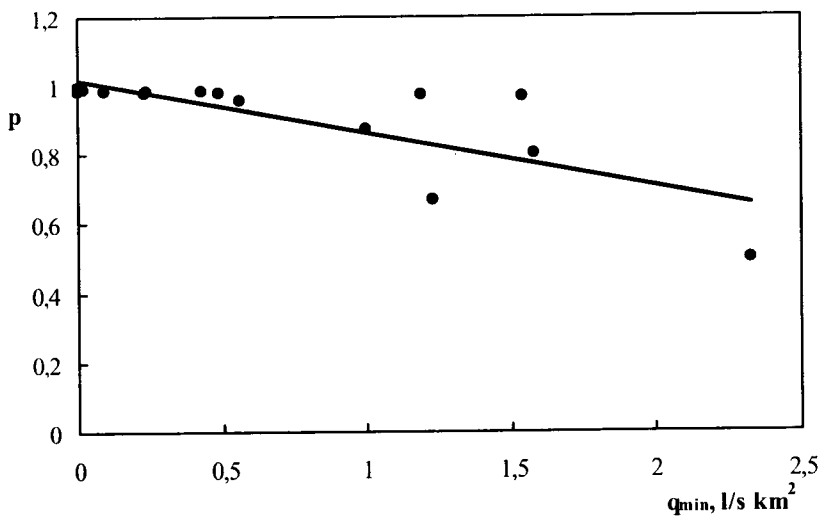
Beləliklə, müşahidə məlumatları olduqda,  $p$  parametrini hesablayaraq qurumanın ehtimalını qiymətləndirmək olar.

Müşahidə məlumatları kifayət qədər olmayan və ya heç olmayan hallar üçün  $p$  parametrinin kəmiyyəti ərazi üzrə ümumiləşdirilə bilər.

Çinin şimalındaki Futoxe və Luanxe çay hövzələri üçün  $p$ -nin sutoplayıcının sahəsindən və minimal axım modulundan asılılıq əlaqələri alınmışdır.

Abşeron-Qobustan rayonunda  $p$  parametri ilə hövzənin orta hündürlüyü arasında əlaqə var (şəkil 5.15). Hündürlük artıqca,  $p$  azalır.

$p$  parametrinin qiymətləri minimal axım modulu artıqca da azalır və bu əlaqənin korrelyasiya əmsali  $r=0,80$  təşkil edir.



*Şəkil 5.15. Lənkəran təbii vilayəti və Qobustan-Abşeron çayları üçün  
 $p=f(q_{min})$  əlaqə qrafiki*

**Misal 5.9.** Çayın su rejimi üzərində 20 il müşahidələr yerinə yetirilmiş və 4 ildə quruma hadisəsi qeydə alınmışdır. Növbəti 20 il ərzində çayın 8 dəfə qurumasının ehtimalını təyin edin.

**Həlli:** Hesablamalar aşağıdakı ardıcılıqla yerinə yetirilir:

1. Müşahidə dövrü ərzində çayın qurumasının ehtimalı tapılır:

$$P = n/N = 4/20 = 0.2.$$

2. Binomial paylanmasından dərhal 8 dəfə quruma ehtimalı hesablanır:

$$P_{20}(8) = \frac{N!}{n!(N-n)!} P^n (1-P)^{N-n} = \frac{20!}{8 \cdot (20-8)!} 0.2^8 (1-0.2)^{20-8} = 0.0221$$

## **6. AXIMIN İL DAXİLİ PAYLANMASI**

Axımın il daxili paylanması hesablandıqda ayrı-ayrı mövsümlər, aylar və dekadalarda keçən axımın kəmiyyətcə qiymətləndirilməsi tələb olunur. Bu məlumatlar su anbarları layihələndirildikdə, minimal və maksimal su sərfərinin qarantiyalı qiymətləri təyin olunduqda, su anbarlarının su balansı tərtib edildikdə, su ehtiyatlarından istifadə planlaşdırıldıqda, həmçinin daşqınlarla mübarizə tədbirləri işləndikdə, kənd təsərrüfatı, sənaye və yaşayış məntəqələrinin su təchizatı layihələri həyata keçirildikdə istifadə olunur.

### ***6.1. Müşahidə məlumatları kifayət qədər olduqda axımın ildaxili paylanmasıının hesablanması***

Müşahidə məlumatları kifayət qədər olduqda (15 il və daha çox) axımın ildaxili paylanmasıının mövcud hesablanması sxemləri iki qrupa bölünə bilər:

- axımın təqvim (xronoloji) paylanmasıının hesablanması metodları;
- axımın qeyri-təqvim paylanmasıının (sutkalıq və su sərfərinin davamiyyət əyriləri) hesablanması metodları.

Hidroloji hesablamalar praktikasında birinci sxemdən daha geniş istifadə olunur. Bu sxemə görə hesablamalar xronoloji ardıcılıqla mövsümlər və aylar (bəzən dekadalar) üçün yerinə yetirilir.

Axımın təqvim paylanması üç metodla hesablanır:

1.Komponovka metodu

2.Real il metodu

3.Səciyyəvi sululuqlu illərdə axımın orta paylanması metodu.

Bu metodlarla hesablamalar, adətən su təsərrüfatı ili üçün aparılır. Su təsərrüfatı ili çoxsulu mövsümün birinci ayından başlayır. Şərqi Avropa ölkələrində hesablamalar hidroloji il üçün yerinə yetirilir. Hidroloji il, hövzədə rütubətin yüksılmasına başlandığı noyabr (bəzən oktyabr) ayından başlayır.

Aylıq axım haqqında ilkin məlumatlar  $m^3 / s$  ilə ifadə olunur.

Lakin axımın ildaxili paylanması hesablaşdırıldıqda bu məlumatları  $\text{km}^3$  və ya  $\text{m}^3$  ilə göstərmək daha məqsədə uyğundur. Belə olduqda, ilin günlərinin (365 və ya 366) və ay ərzindəki saniyələrin sayının fərqli olması nəzərə alınır.

Tədqiq olunan çayın su rejiminin tipindən, layihələndirilən obyektdən və çay sularından istifadənin xarakterində asılı olaraq su təsərrüfatı ili iki dövrə bölünür-məhdudlaşdırın və məhdudlaşdırmayan dövrlər. Məhdudlaşdırın dövr isə öz növbəsində iki mövsümə bölünür-məhdudlaşdırın və məhdudlaşdırmayan mövsümlər. Mövsümlərin zaman sərhədləri bütün müşahidə illəri üçün eyni qəbul edilir və ay dəqiqliyi ilə yuvarlaqlaşdırılır.

Yuxarıda göstərilən metodlara görə axımın ildaxili paylanması hesabi təminatın qiymətinə və çay sularından istifadənin məqsədinə müvafiq olaraq təyin edilir.

Müşahidə illərinin sayı 15-30 il olduqda, üç sululuq qrupu ayrılır: çoxsulu illər ( $p < 33,3\%$ ), orta sulu illər ( $33,3\% \leq P \leq 66,7\%$ ) və azsulu illər ( $P > 66,7\%$ ). Müşahidə dövrü 30 ildən çox olduqda 5 sululuq qrupu ayrılır: həddən artıq çoxsulu illər ( $P < 16,7\%$ ), çoxsulu illər ( $16,7\% \leq P < 33,3\%$ ), orta sulu illər ( $33,3\% \leq P < 66,7\%$ ), azsulu illər ( $66,7\% \leq P < 83,3\%$ ) və həddən artıq azsulu illər ( $P \geq 83,3\%$ ). İlləri səciyyəvi sululuqlu qruplara böldükdə çalışmaq lazımdır ki, üç əsas qrupa (çoxsulu, ortasulu və azsulu) aid edilən illərin sayı təqribən bərabər olsun.

Ayrı-ayrı su təsərrüfatı illərinin, onların müxtəlif dövrləri, mövsümləri və aylarının axım kəmiyyətlərinə görə analitik paylanma (təminat) əyrilərinin parametrləri və tələb olunan kvantillər hesablanır. Təminat əyrilərinin standart kvantilləri aşağıdakılardır: çoxsulu illər, dövrlər, mövsümlər və aylar üçün - 1, 3, 5, 10 və 25 % ; azsulu zaman intervalları üçün -75, 90, 95, 97 və 99% və orta sulu zaman intervalları üçün-50% .

### **6.1.1 Komponovka metodu**

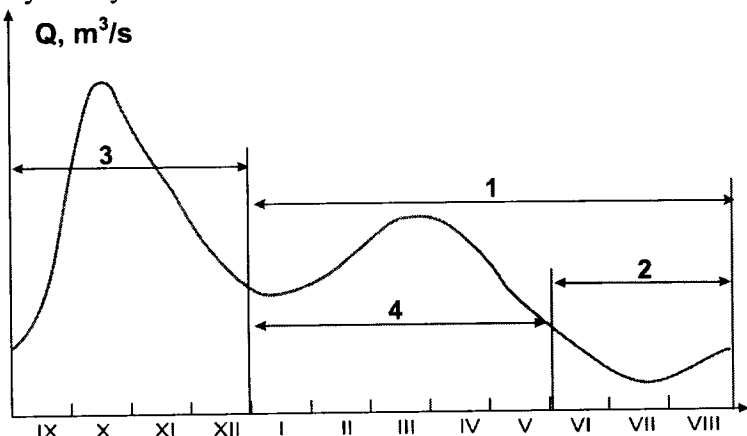
A.V.Ogiyevskinin təklifi etdiyi bu metod V.Q.Andreyanov tərəfindən təkmilləşdirilmişdir. Ən vacib layihələr üçün çay axımının ildaxili paylanması bugün də komponovka metodu ilə

hesablanır.

Bu metod istifadə olunduqda məhdudlaşdırılmayan dövrün axımı su təsərrüfatı ili və məhdudlandırın dövrlərin axımlarının fərqi kimi tapılır. Anoloji olaraq, məhdudlaşdırılmayan mövsümün axımı, məhdudlandırın dövrə məhdudlandırın mövsümün axımlarının fərqi kimi hesablanır. Nəhayət bütün məhdudlaşdırılmayan ayların axımlarının cəmi, məhdudlandırın mövsümlə məhdudlandırın ayın axımlarının fərqi kimi təyin olunur. Su təsərrüfatı ili, məhdudlandırın dövr, məhdudlandırın mövsüm və məhdudlandırın ayın təminatlı axım kəmiyyətləri analitik təminat əyrilərinə görə hesablanır. Bu hesablamaşların və ümumiyyətlə komponovka metodunun əsas prinsipi ondan ibarətdir ki, su təsərrüfatı ili ( $P_{sti}$ ), məhdudlandırın dövr ( $P_{md}$ ), məhdudlandırın mövsüm ( $P_{mm}$ ) və məhdudlandırın ay ( $P_{ma}$ ) üçün axımın təminati eyni olmaqla tələb olunan hesabi təminata ( $P_h$ ) bərabər qəbul edilir:

$$P_{sti} = P_{md} = P_{mm} = P_{ma} = P_h \quad (6.1)$$

Verilmiş təminat üçün axımın ildaxili paylanması əvvəlcə, mövsümlər üzrə, sonra isə mövsümün ayları, bəzən isə dekadalar üçün yerinə yetirilir.



*Şəkil 6.1. Mövsümlərin və dövrlərin seçilmə sxemi.*

- 1 - Məhdudlandırın dövr, 2 - Məhdudlandırın mövsüm,
- 3 - Məhdudlaşdırılmayan dövr, 4 - Məhdudlaşdırılmayan mövsüm.

Axımın mövsümdaxili paylanması xüsusi metodikaya əsasən hesablanır. Məhdudlaşdırılan və məhdudlaşdırılmayan mövsümlər daxilində axımın aylar üzrə paylanması elə hesablanır ki, bu mövsümlər üçün axımın paylanması mümkün qədər qeyri-bərabar olsun. Bunun üçün bütün müşahidə illəri üç və ya beş müxtəlif sululuq qrupuna bölünür. Hər bir qrup üçün ayrılıqda mövsümi axımının, məsələn, qış axımının kəmiyyətləri azalma qaydasında düzülür. Sonra hər bir il üçün konkret mövsümə aid edilən ayların orta aylıq su sərfləri öz növbəsində azalma qaydasında düzülür. Bu sıradə hər bir su sərfinin yanında onun müşahidə olunduğu təqvim ayı göstərilir.

Daha sonra hər bir sululuq qrupu üçün ayrılıqda azalma sırasında eyni nömrəyə malik ayların su sərflərinin orta qiyməti tapılır. Məsələn, qış mövsümü üç aydan ibarətdirsə (cəmi üç nömrə), əvvəlcə su sərfləri daha böyük olan birinci ayın, axırda isə su sərfləri daha kiçik olan üçüncü ayın su sərfləri ortalaşdırılır. Bu yolla hesablanmış hər bir orta axım kəmiyyəti eyni nömrəli ayların sırasında daha tez-tez rast gəlinən təqvim ayına aid edilir. Nəhayət hər bir sululuq qrupu üçün bütün mövsümlər daxilində axımın aylar üzrə nisbi (faizlə) və mütləq ( $\text{km}^3$ ) paylanması hesablanır.

### 6.1.2. Real il metodu

Axımın ildaxili paylanması bu metoda görə təyin olunduqda müşahidə illərindən biri hesabi il qəbul olunur və hesablamalar həmin ilin məlumatları əsasında yerinə yetirilir. Komponovka metodunda olduğu kimi, bu metodun da tətbiqinin əsas şərti baxılan zaman intervallarında (il, məhdudlaşdırılan dövr və mövsüm, axımı ən az və ən çox olan aylar) axımın təminatlarının bir-birinə çox yaxın olmasıdır.

Real il metoduna görə hesablamalar aşağıdakı ardıcılıqla yerinə yetirilir:

1. Hər bir müşahidə ili, məhdudlaşdırılan dövr və mövsüm üçün orta aylıq su sərflərinin cəmi tapılır;

2. Hər bir müşahidə ili üçün orta aylıq minimal (və ya maksimal) su sərfi təyin olunur;
3. Hər bir axım xarakteristikasının qiymətləri (illik, minimal axım və s.) azalma qaydasında düzülür və bu sıraların hər həddinin yanında su təsərrüfatı ili və empirik təminat göstərilir;
4. Müxtəlif axım xarakteristikalarının təminatları tələb olunan hesabi təminata ən yaxın olan real (konkret) il seçilir.

Real il üçün axımın mövsümlər və aylar üzrə paylanması hesablanır:

Komponovka metodu ilə müqayisədə real il üsulu daha asandır və onun istifadəsi ilə axımın il ərzində paylanması kifayər qədər dəqiq hesablamamaq mümkündür. Buna görə də real il metodu əksər su təsərrüfatı layihələrində tədbiq oluna bilər.

### **6.1.3. Səciyyəvi sululuqlu illərdə axımın paylanması metodu**

Bu metoda görə müşahidə dövrü su təsərrüfatı ilinin sululuğundan asılı olaraq bir neçə qrupa bölünür: məsələn, orta, çox və azsulu illər. Konkret qrupa aid edilən hər bir su təsərrüfatı ilinin hər bir ayı üçün axımın illik axımda payı hesablanır. Sonra qrup daxilində hər bir ayın nisbi axımı ortalaşdırılır. Faktiki olaraq, bu yolla verilmiş sululuqlu illər üçün orta aylıq axımın nisbi paylanması alınır. Konkret sululuq qrupunda aylıq axımın mütləq kəmiyyətini hesablamamaq üçün axımın aylıq payı (nisbi axım, %-la) verilmiş təminatlı təsərrüfat ilinin axım həcmində vurulur. Illik axım həcmimin hesabi qiymətləri analitik təminat əyrisinə görə təyin olunur.

Əgər, baxılan hidroloji rayonda axımın mövsümlər və aylar üzrə paylanması praktiki olaraq ilin sululuğundan asılı deyildirsə, onda müşahidə dövrünü müxtəlif sululuqlu illərə bölməyə ehtiyac yoxdur. Hesablamalar bütün müşahidə illəri üçün eyni qaydada yerinə yetirilir və illik axımın aylar üzrə nisbi (%) paylanması alınır.

Axımın mövsümdaxili paylanması qarşıya qoyulan vəzifədən asılı olaraq iki üsulla hesablanır bilər. Birinci üsul su balansı he-

sablamlarında, ekohidroloji qiymətləndirmələrdə istifadə olunur. Bu variantda mövsüm daxilində ayların təbii təqvim ardıcılılığı pozulmur və hesablamalar müxtəlif sululuqlu illər qrupu (və ya mövsümlər) üçün ayrılıqda aparılır. İkinci üsul su təsərrüfatı hesablamaları üçün nəzərdə tutulmuşdur və o, komponovka metodunda istifadə olunur (bax bölmə 6.1.1-ə).

## ***6.2. Sutkaliq su sərflərinin paylanması hesablanması***

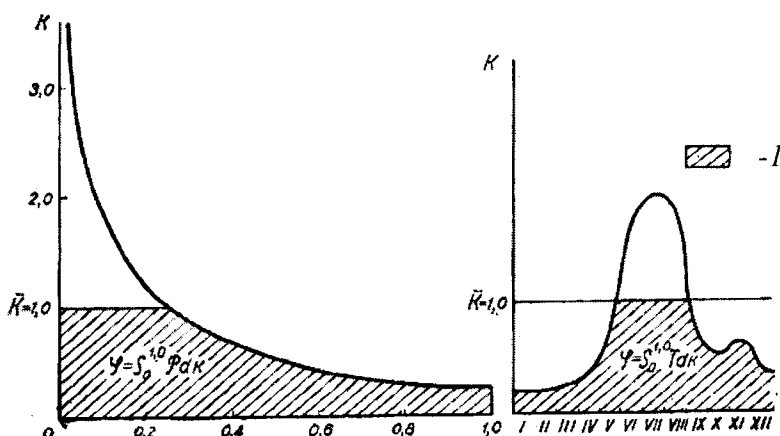
Axımın ildaxili paylanması hesablandıqda, adətən, onun aylar və mövsümlər üzrə paylanması xronoloji ardıcılılığı gözlənilir. Lakin energetika, su təchizatı, suyun keyfiyyətinin qiymətləndirilməsi məsələlərində sutkaliq su sərflərinin davamiyyət əyrlərindən də istifadə olunur. Bu əyrlər qurulduğda su sərflərinin müşahidə olunma ardıcılılığı pozulur. Məlum olduğu kimi, sutkaliq su sərflərinin davamiyyət əyrləri konkret qiymətə bərabər və ondan böyük olan su sərflərinin ilin neçə sutkası ərzində müşahidə olunduğunu göstərir. Bu əyrlər hidrologiyada geniş istifadə edilən təminat əyrlərinə oxşayırlar. Ancaq təminat əyrləri bircins su sərflərinə (minimal, maksimal və s.) görə qurulduğu halda, davamiyyət əyrləri çayın su rejiminin müxtəlif sululuqlu fazalarında müşahidə olunmuş su sərfləri haqqında məlumatlar əsasında tərtib olunur. Təqvim, hidroloji və ya su təsərrüfatı ili ərzində müşahidə olunmuş bütün su sərfləri azalma qaydasında düzülür və davamiyyət əyrisi qurulur. Bu əyrlər konkret illər üçün qurulduğundan adı təminat əyrlərindən fərqli olaraq onların ucları, daha doğrusu, mütləq minimal və maksimal su sərfləri məlumdur.

Sutkaliq su sərflərinin davamiyyət əyrləri konkret ilin və ya çoxillik dövrün məlumatlarına görə qurula bilər.

Əyri konkret il üçün qurulduğda, 365 (və ya 366) su sərfi azalma qaydasında düzülür. Davamiyyəti bir sutka və 365 (və ya 366) sutka olan su sərfləri kimi müvafiq olaraq, ilin mütləq maksimal və minimal su sərflərinin qiymətlərindən istifadə olunur. Maksimal və minimal su sərflərinin orta sutkaliq qiymətlərindən istifadə tövsiyə olunmur.

Çoxillik dövr üçün orta davamiyyət əyrisi qurulduğda hər bir müşahidə ilinin məlumatları əsasında tərtib edilmiş əyrinin 30, 90, 180, 270 və ya 355 sutkalıq davamiyyətə malik ordinatları, həmçinin maksimal və minimal su sərfərinin mütləq qiymətləri ortalaşdırılır.

Qeyd etmək lazımdır ki, hazırda fərdi kompyuterlərdən istifadə çoxillik dövr üçün davamiyyət əyrilərini bütün müşahidə illərinin məlumatlarına görə qurmağa imkan verir (şəkil 6.2).



*Şəkil 6.2. Təbii tənzimlənmə əmsalının təyini sxemi  
I- bazis axımı*

İlk dəfə davamiyyət əyrilərini D.İ.Koçerin (1929-cu ildə) tərtib etmişdir. O, göstərmışdır ki, meşə zonasından meşə-çöl, çöl və yarımsəhra zonası istiqamətində sutkalıq su sərfərinin ildaxili paylanması qeyri-bərabərliyi güclənir. D.L.Sokolovski keçmiş SSRİ çaylarının sutkalıq su sərfərinin davamiyyət əyrilərini 13 tipə ayırmışdır (Соколовский, 1968).

Sutkalıq su sərfərinin ildaxili paylanması kəmiyyətçə qiymətləndirmək üçün axımın təbii tənzimlənmə əmsalından,  $\varphi$ , istifadə olunur:

$$\varphi = \int_0^1 p dK \quad (6.2)$$

burada  $p$ -vahidin hissələri ilə ifadə olunmuş təminat;  $K$ -modul əmsalıdır.

Axımın təbii tənzimlənmə əmsalının kəmiyyəti hidroqrafın və ya davamiyyət əyrisinin orta illik su sərfinə uyğun xəttdən aşağı hissəsinin sahəsinə bərabərdir (şəkil 6.2). Sutoplayıcısında göl, meşə, suyu yaxşı keçirən torpaq və sűxurlar olan çayların təbii tənzimlənmə əmsali daha böyük olur. Bu əmsal hövzənin hündürlüyüünə görə də dəyişir. Cənubi Qafqazın çox hissəsində hündürlük artdıqca, axımın təbii tənzimlənməsi də güclənir.

Sutkalıq su sərflərinin davamiyyət əyrilərinin analitik ifadələri müşahidə məlumatları olmayan oxşar çaylar üçün istifadə oluna bilər. İlk dəfə belə ifadəni V.A.Urivayev (1941-ci il) təklif etmişdir. Sonralar V.Q.Andreyanov bu metodu təkmilləşdirmişdir. Davamiyyət əyrisini approksimasiya etmək üçün Qudriçin asimetrik əyrisinin analitik ifadəsindən istifadə olunmuşdur:

$$P = 1 - 10^{-c \left( \frac{K_{\max} - K}{K_{\max} - K_{\min}} \right)^n} \quad (6.3)$$

burada  $K_{\max}$  və  $K_{\min}$  -orta illik su sərfinin hissələri ilə ifadə olunan orta maksimal və minimal su sərfləri;  $K$ -hesabi təminatlı modul əmsali;  $P$ -vahidin hissələri ilə ifadə olunan təminat;  $c$  və  $n$  əyrinin asimetrləridir.

Bu tənliklər dəfə loqarifmi tətqiqdə, o, aşağıdakı şəkildə yazılıbilər:

$$[-\lg(1 - P)] = \lg \frac{K_{\max} - K}{K_{\max} - K_{\min}}. \quad (6.4)$$

Müvafiq ordinat oxları - bu tənliklə ifadə olunan əlaqə düzxətlidir. Bu səbəbdə davamiyyət əyrisinin məlum ordinatları  $(K, K_{\max}, K_{\min})$  görə  $c$  və  $n$  parametrləri təyin oluna bilər.

Ümumi vətlə, sutkalıq su sərflərinin davamiyyət əyriləri yalnız ilə əman inteqrasiya üçün yox, istənilən axım fazası və ya vegetasiya rü üçün tətbiqlərə bilər.

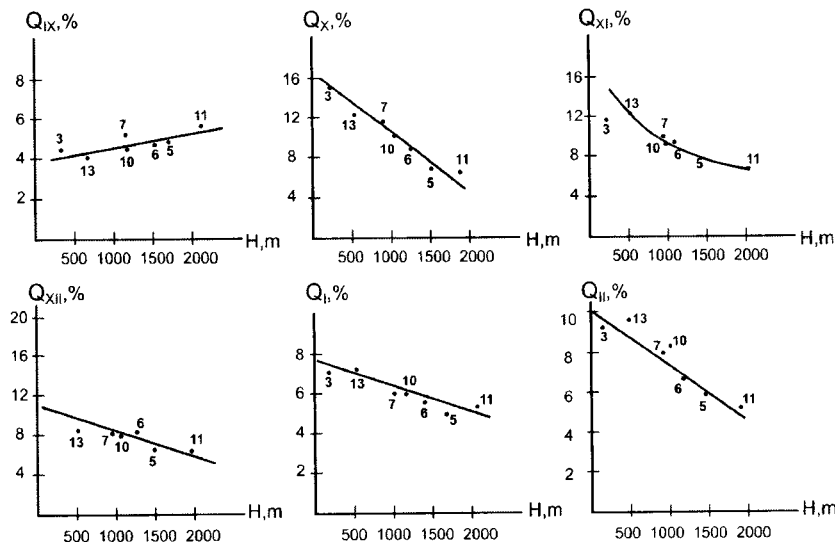
### **6.3. Müşahidə məlumatları olmadıqda axımın ildaxili paylanması hesablanması**

Müşahidə məlumatları olmadıqda axımın ildaxili paylanması onun parametrlərinin əsas fiziki-coğrafi amillərdən asılılıqlarına və ya bircins hidroloji rayon üçün işlənmiş hesablama sxemlərinə görə yerinə yetirilir. Bu halda iki məsələ həll edilməlidir:

1. Müxtəlif zaman intervalları (il, mövsüm, ay) üçün axımın təyini.

2. Tələb olunan hesabi təminatlı il üçün axımın ildaxili paylanması hesablanması.

Birinci məsələ hidroloji hesablamaların ümumi məsələlərindəndir. Məlumatlar olmadıqda, məsələn, illik axımın təyinində istifadə edilən yanaşma burada da tətbiq oluna bilər (şəkil 6.3).



**Şəkil 6.3. Viləşçay hövzəsi və Lənkəran-Muğanı rayonu üzrə aylıq axımın (illik axıma nisbətən faizlə) hövzənin orta hündürlüyündən asılılığı**

İkinci məsələ isə, bilavasitə axımın ildaxili paylanması məsələsidir.

Hidroloji müşahidə məlumatları olmayan çayların axımının ildaxili paylanması analogiya metoduna görə də hesablana bilər.

Analoq çay (məntəqə) seçmək mümkün olmadıqda hesabi çayın yerləşdiyi bircins hidroloji rayon üçün məhdudlandırılan dövr və mövsümün illik axımda payı ilə fiziki-coğrafi amillər (hövzənin sahəsi, orta hündürlüyü, illik axım norması və s.) arasında əlaqə qrafikləri qurulur (düzənlik çayları üçün daha çox sutoplayıcı sahədən, dağ çayları üçün hövzənin orta hündürlüyündən istifadə olunur). Bu yolla ilin dövr və mövsümləri üçün axımın orta çoxillik kəmiyyətləri qiymətləndirilir.

Tələb olunan hesabi təminatlı il üçün axımın paylanması hesablaşdırıldıqda modul əmsallarının  $K_d=f(K_{il})$  və  $K_m=f(K_{il})$  əlaqə qrafikləri tədbiq edilir. Bu qrafiklər qurulduğda bircins hidroloji rayondakı bütün müşahidə məntəqələrinin məlumatlarından istifadə olunur. Hər bir məntəqənin məlumatları əsasında 5%-dən 95%-ə qədər müxtəlif təminatlı modul əmsalları hesablanır və sonra hidroloji rayon üçün ümumi əlaqə alınır. Məhdudlandırılan dövr və mövsümün, həmçinin illik axımın orta çoxillik qiymətlərini müvafiq modul əmsallarına ( $K_d$ ,  $K_m$ ,  $K_{il}$ ) vurmaqla baxılan zaman intervalları üçün tələb olunan təminatlı axım kəmiyyətlərini hesablamaq olar. Məhdudlandırılan dövr və ya mövsümün axımının illik axıma nisbəti, müvafiq zaman intervalı üçün axımın illik axımda payını göstərir.

Əgər, tədqiq olunan çay hövzəsinin yerləşdiyi ərazidə axımın əmələgəlmə şəraitinə əhəmiyyətli təsir göstərən azonal amillər (göl, karst və s.) yoxdursa, onda axımın ildaxili paylanması rayon üçün qəbul edilmiş ümumi (orta) paylanması sxemində görə hesablana bilər. Belə sxemin hazırlanmasında hidroloji rayonun zonal rejimli çaylarının məlumatlarından istifadə olunur. Məsələn, rayon üçün ortalaşdırılmış hidroqraf qurulur. Dağlıq ərazi çayları üçün aylıq və ya mövsümi axımın yüksəklik intervalları üzrə paylanması sxemi tərtib olunur (cədvəl 6.1).

Cədvəl 6.1

Böyük Qafqaz təbii vilayətində mövsümi axımın yüksəklik qurşaqları üzrə paylanması (illik axım həcminin % -i ilə) [Рустамов, Кашкай, 1989]

| Yüksəklik<br>qurşaqları | Mövsümlər      |              |                |                |
|-------------------------|----------------|--------------|----------------|----------------|
|                         | Qış<br>XII-II  | Yaz<br>III-V | Yay<br>VI-VIII | Pavız<br>IX-XI |
|                         | a) Cənub yamac |              |                |                |
| 500                     | 31,0           | 40,5         | 8,5            | 20,0           |
| 1000                    | 19,5           | 41,5         | 25,0           | 23,0           |
| 1500                    | 14,0           | 42,5         | 33,0           | 24,0           |
| 2000                    | 12,0           | 43,5         | 38,0           | 23,0           |
| 2500                    | 11,0           | 44,5         | 39,0           | 23,0           |
| b) Şimal-şərq yamac     |                |              |                |                |
| 500                     | 19,5           | 49,0         | 12,0           | 19,5           |
| 1000                    | 14,0           | 45,5         | 22,5           | 18,0           |
| 1500                    | 12,5           | 40,0         | 30,5           | 18,0           |
| 2000                    | 9,5            | 33,5         | 39,0           | 18,0           |
| 2500                    | 9,0            | 27,0         | 46,0           | 18,0           |
| 3000                    | 8,0            | 18,5         | 56,5           | 17,0           |

## 7. DAŞQIN HİDROQRAFLARININ HESABLANMASI

Müxtəlif hidrotexniki qurğular və su təsərrüfatı obyektləri layihələndirildikdə ilk növbədə daşqının maksimal su sərfi haqqında məlumat tələb olunur. Lakin bir sıra hallarda, məsələn, daşqın su anbarından keçdikdə orada yığılan suyun həcmini hesablamaq və maksimal su sərfinin transformasiya dərəcəsini təyin etmək üçün su anbarına axımın hesabi hidroqrafını tərtib etmək lazımdır. Daşqın hidroqrafının əsas parametrləri onun həcmi,  $W$ , maksimal su sərfi,  $Q_{\max}$ , və davamiyyyətidir,  $T$ .

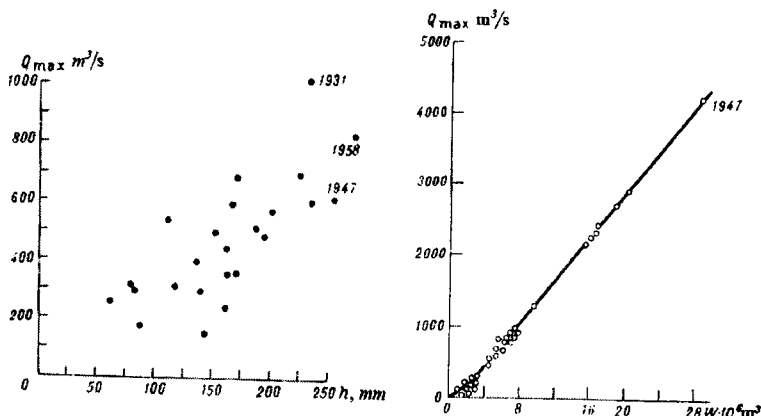
Daşqın hidroqraflarının hesablanmasından dörd metodu var:

- Model hidroqraf metodu;
- Həndəsi fiqur və tənliklər metodu;
- İzoxron metodu;
- Vahid hidroqraf metodu.

### 7.1. Model hidroqraf metodu

Bu metod hesabi və ya analoq çayda ən azı 10-15 il müşahidə məlumatları olduqda istifadə edilə bilər. O həm birpikli, həm də çoxpikli daşqınlara tətbiq olunur.

Əvvəlcə, müşahidə məlumatlarından istifadə etməklə maksimal su sərfi ilə daşqının axım həcmi arasında əlaqə qrafiki qurulur (şəkil 7.1).



Şəkil 7.1. Maksimal su sərfi və yaz gursuluğunu axım layı (həcmi) arasında əlaqə qrafikləri

Əgər,  $Q_{\max}$  və  $W_{\max}$  parametrlərinin ən böyük qiymətləri eyni ildə müşahidə olunubsa, onda hesablamalar həmin ilin məlumatlarına görə yerinə yetirilir (şəkil 7.1). Bu iki parametrin ən böyük qiymətləri müxtəlif illərdə müşahidə olunduqda (şəkil 7.1), yəni onların empirik təminatları fərqləndikdə, iki hidroqraf - model seçilir:

- $Q_{\max}$  müşahidə olunduğu ilin hidroqrafi;
- $W_{\max}$  müşahidə olunduğu ilin hidroqrafi.

Yekunda, bu iki hidroqrafdan biri-daha təhlükəlisi seçilir. Bu seçim su anbarının konkret xarakteristikalarından asılı olaraq edilir. Daha təhlükəli hidroqraf- transformasiya olunmuş maksimal su sərfi daha böyük olan hidroqrafdır.

Əgər, çay üzərində su anbarı yoxdur, onda layihədə müvafiq olaraq yuxarıda göstərilən iki hidroqrafdan biri model kimi istifadə oluna bilər.

Müşahidə olunmuş hidroqraf metodu iki hal üçün işlənmişdir:

- 1.Çayın hesabi kəsiyində müşahidə məlumatları olduqda;
- 2.Çayın hesabi kəsiyində müşahidə məlumatları olmadıqda, lakin ondan xeyli aralıda (yuxarıda və aşağıda) yerləşən kəsikdə və ya analoq çayda müşahidə məlumatları olduqda.

Birinci hal daha sadədir. Əvvəlcə, müşahidə məlumatlarına görə daşqının ən böyük su sərfi,  $Q_{\max}$ , ən böyük axım həcmi,  $W_{\max}$ , hesablanır. Sonra aşağıdakı əmsallar təyin olunur:

$$K_1 = \frac{Q_{p\%}}{Q_{\max}} \text{ və ya } K_2 = \frac{W_{p\%}}{W_{\max}}. \quad (7.1)$$

Hesabi hidroqrafın ordinatlarını hesablamaq üçün müşahidə olunmuş hidroqrafın (modelin) müvafiq ordinatları  $K_1$  (və ya  $K_2$ ) əmsalına vurulur.

Hesabi daşqın hidroqrafının davamiyyəti müşahidə olunmuş hidroqrafın davamiyyətinə bərabər qəbul edilir.

**Misal 7.1.** Tobol çayının (Kustanay şəhəri) maksimal su sərfi və yaz gursulu dövrün axım həcmi haqqında 1931-1966-cı

illərin müşahidə məlumatlarından (cədvəl 7.1) istifadə etməklə model hidroqraf metoduna görə 1% təminatlı hidroqrafi tərtib edin.

**Cədvəl 7.1**

Tobol çayının Kustanay məntəqəsində yaz gursulu dövrün maksimal su sərfləri və axım həcmələri

| Nº  | il   | $Q_{\max}$ , $m^3/s$ | Tarix | $W \cdot 10^6 m^3$ |
|-----|------|----------------------|-------|--------------------|
| 1   | 1931 | 103                  | 8 V   | 2,10               |
| 2   | 32   | 659                  | 21 IV | 5,62               |
| ... | ...  | ...                  | ...   | ...                |
| 16  | 46   | 2310                 | 23 IV | 16,5               |
| 17  | 47   | 4200                 | 4 V   | 28,8               |
| 18  | 48   | 2165                 | 21 IV | 15,5               |
| ... | ...  | ...                  | ..    | ...                |
| 35  | 65   | 1260                 | 24 IV | 9,60               |
| 36  | 66   | 590                  | 17 IV | 5,21               |

**Həlli:** 1. Cədvəl 7.1-in məlumatlarına görə  $Q_{\max} = f(W_{\max})$  əlaqə qrafiki tərtib olunur. Qrafikdən göründüyü kimi,  $Q_{\max}$  və  $W_{\max}$  eyni ildə-1947-ci ildə keçmişlər. Buna görə də 1947-ci ilin hidroqrafi model-hidroqraf qəbul edilir.

2. Cədvəl 7.1-də verilmiş maksimal su sərflərinə görə ( $n=36$  il) empirik təminat əyrisi qurulur və ona uyğun nəzəri təminat əyrisi seçilir. Axırıncı əyridən 1% təminatlı maksimal su sərfi tapılır:  $Q_{1\%} = 4370 m^3/s$ .

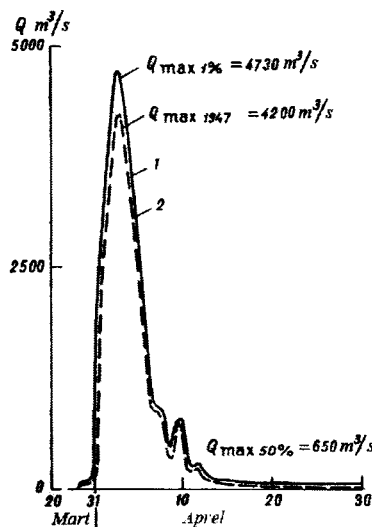
3. 1931-1966-ci illərdə müşahidə olunmuş ən böyük su sərfi seçilir:  $Q_{\max} = 4200 m^3/s$  (cədvəl 7.1).

4.  $K_1$  əmsalı təyin olunur:

$$K_1 = \frac{Q_{1\%}}{Q_{\max}} = \frac{4730 m^3 / s}{4200 m^3 / s} = 1,25.$$

5. 1947-ci il üçün yaz gursulu dövrün sutkalıq su sərfləri cədvəl 7.2-yə yazılır.

Bu su sərflərinin hər biri 1,25-ə vurulur və 1% təminatlı hidroqrafin ordinatları hesablanır (şəkil 7.2).



*Şəkil 7.2. Müşahidə olunmuş və hesabi hidroqraflar*

### Cədvəl 7.2

Tobol çayının Kustanay məntəqəsində yaz gursulu dövrün müşahidə olunmuş (1947-ci il) və 1% təminatlı hidroqraflarının ordinatları

| Tarix | Mart  |              | Aprel |              |
|-------|-------|--------------|-------|--------------|
|       | $Q_i$ | $Q_{i, 1\%}$ | $Q_i$ | $Q_{i, 1\%}$ |
| 1     |       |              | 1510  | 1700         |
| 2     |       |              | 3300  | 3720         |
| 3     |       |              | 4200  | 4730         |
| 4     |       |              | 3880  | 4370         |
| 5     |       |              | 2600  | 2930         |
| 6     |       |              | 1540  | 1735         |
| 7     |       |              | 856   | 964          |
| ...   | ...   |              | ...   | ...          |
| 29    | 3,78  | 4,26         | 30,7  | 34,6         |
| 30    | 5,22  | 5,87         | 29,7  | 33,5         |
| 31    | 2,23  | 2,51         |       |              |

İkinci halda isə müşahidə olunmuş və hesabi daşqın hidroqraflarının maksimal su sərflerinin (və ya axım həcmərinin) fərqi ilə yanaşı, bu iki daşqının (və ya gursulu dövrün) davamiyətlərinin

fərqi də nəzərə alınır. Hesabi hidroqrafın koordinatları aşağıdakı düsturlara görə təyin olunur:

$$Q_i = Q_{im} \frac{Q_{p\%}}{Q_{\max,m}}, \quad (7.2)$$

$$t_i = t_{im} \frac{q_{\max,m}}{h_m} \cdot \frac{h_{p\%}}{q_{p\%}}, \quad (7.3)$$

burada  $Q_{im}$  və  $t_{im}$  -model hidroqrafın koordinatları ( $Q_{im}$ ,  $\text{m}^3/\text{s}$  və  $t_{im}$ , sutka);  $Q_i$  və  $t_i$  -hesabi hidroqrafın koordinatları;  $Q_{\max}$ ,  $m$ ,  $q_{\max}$ ,  $m$  və  $h_m$  müvafiq olaraq, model hidroqrafın orta sutkalıq maksimal su sərfi,  $\text{m}^3/\text{s}$ , axım modulu,  $\ell/\text{s} \cdot \text{km}^2$  və axım layıdır, mm;  $Q_{p\%}$ ,  $q_{p\%}$  və  $h_{p\%}$  -hesabi hidroqrafın  $p\%$  təminatlı, müvafiq olaraq orta sutkalıq maksimal su sərfi, axım modulu və axım layıdır.

Model hidroqraf metodunun əsas çatışmazlığı onun yalnız birpikli (birmodalı) daşqınlar müşahidə olunan orta və böyük çaylar üçün yararlı olmasıdır. Daşqının qalxma fazasının dəmiyyəti 1 sutka və ya bir neçə saat olan kiçik çaylar üçün bu metod istifadə edilə bilməz.

## 7.2. Həndəsi fiqur və tənliklər metodu

Daşqın hidroqraflarını hesablaşdırıldığda onların formaları sadələşdirilib müxtəlif həndəsi fiqurlarla təsvir edilə bilər. Bu metod ilk dəfə D.İ.Koçerin təklif etmişdir. O, hidroqrafi üçbucaq formasında sxematikləşdirmişdir.

Daşqının qalxma və enmə fazalarında su sərfləri, müvafiq olaraq, aşağıdakı düsturlara görə təyin edilə bilər:

$$Q_t = Q_{\max} \left( \frac{t}{t_q} \right), \quad (7.4)$$

$$Q_{t_1} = Q_{\max} \left( \frac{t_e - t_1}{t_e} \right), \quad (7.5)$$

burada  $t$  -daşqının qalxma fazasında sutkaların sıra nömrəsi;  $t_1$  -daşqının enmə fazasında sutkaların sıra nömrəsi;  $t_q$  və  $t_e$  -müvafiq olaraq qalxma və enmə fazalarının davamiyyəti;  $Q_{\max}$  -daşqının maksimal su sərfi;  $Q$ , və  $Q_{t_1}$  müvafiq olaraq, qalxma və enmə fazalarında hidroqrafin ordinatlarıdır.

Məlum düsturlara görə  $Q_{\max}$ ,  $t_q$  və  $t_e$  parametrlərini təyin edib və  $t$  parametrinə müxtəlif qiymətlər ( $t = 1, 2, 3, \dots$ ) sutka və s.) verib, hidroqrafin bütün ordinatlarını hesablamaq olar.

Hidroqrafin üçbucaq formasında sxematikləşdirilməsi yalnız qısa davamiyyətli və iti pikli daşqınlar üçün qənaətbəxş nəticə verir. Axımın genetik nəzəriyyəsinə görə daşqının gedisi düzxətli yox, əyrixətlidir. Bunu nəzərə alaraq D.L.Sokolovski hidroqrafları parabola formasında sxematikləşdirmiştir:

$$Q_t = Q_{\max} \left( \frac{t}{t_q} \right)^m, \quad (7.6)$$

$$Q_{t_1} = Q_{\max} \left( \frac{t_e - t_1}{t_e} \right)^n, \quad (7.7)$$

burada  $m$  və  $n$  – müvafiq olaraq qalxma və enmə fazaları üçün üst göstəricisidir (Şərqi Avropa çayları üçün  $m = n = 2,0$ ).

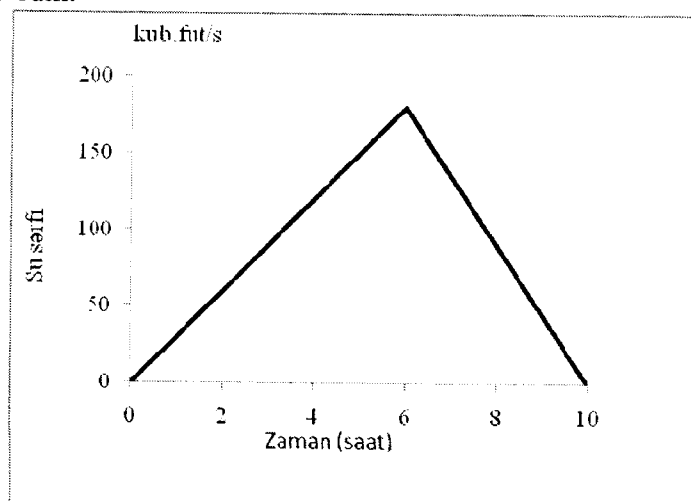
Əgər, daşqının maksimal su sərfinin davamiyyəti 1 sutkadan (və ya 1 saatdan, zaman vahidi 1 saat olarsa) çox olarsa, onda bu düsturlar məqbul nəticə vermir.

Hidroqrafların sxematikləşdirilməsində başqa bir yanaşma da mövcuddur. Real hidroqrafin formasının təsadüfi kəmiyyətlərin (məsələn, su sərfərinin) ehtimalının paylanması əyriləri ilə oxşar olmasını nəzərə alaraq, əvvəlcə, D.İ.Koçerin, sonra S.İ.Ribkin və

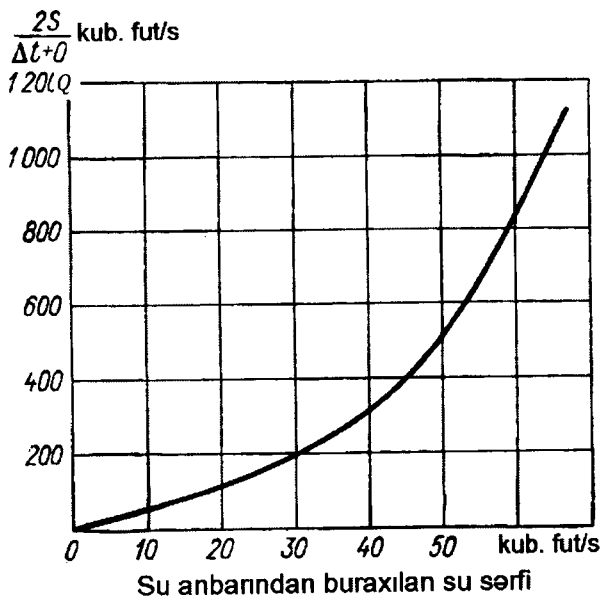
nəhayət, G.A.Alekseyev sxematikləşdirmədə Pirsonun III tip və Qudriçin əyrilərindən istifadə etmişlər. Lakin belə yanaşmada hesablamalara çox vaxt sərf olunur, həmçinin o qədər də dəqiq nəticələr alınmır. Buna görə də bu yanaşma faktiki olaraq praktiki hesablamalarda istifadə olunmur. Qeyd etmək lazımdır ki, təsadüfi kəmiyyətlərin paylanması əyrilərinin daşqınların xronoloji qrafiklərinə (hidroqraflara) tətbiqi kifayət qədər əsaslandırılmış hesab olunmur.

Ümumiyyətlə, heç bir həndəsi fiqur müxtəlif fiziki-coğrafi şəraitdə formalanmış real hidroqrafin formasını tam şəkildə əks etdirə bilmir.

**Misal 7.2.** Axımın üçbucaq formalı hidroqrafi (şəkil 7.3) və həcm əyrisi  $\left(\frac{2S}{\Delta t} + Q\right)$  verilmişdir (şəkil 7.4). Leysan başlanğıcdan əvvəl su anbarının ölü həcmimin tam dolmuş olduğunu nəzərə almaqla, su anbarının transformasiya etdiyi hidroqrafi tərtib edin.



*Şəkil 7.3. Üçbucaq formalı axım hidroqrafi*



*Şəkil 7.4.*  $\frac{2S}{\Delta t} + Q = f(Q)$  əyrisi

**Həlli:** Su anbarından buraxılan su sərfi ilə anbardakı su həcmi arasında əlaqə qrafiki qurmaq olar. Belə asılılıq, aşağıdakı tənliyi addım-addım həll etməyə imkan verir:

$$I_n + I_{n+1} + \left( \frac{2S_n}{\Delta t} - Q_n \right) = \frac{2S_{n+1}}{\Delta t} + Q_{n+1},$$

burada  $I_n$  və  $I_{n+1}$  – müvafiq olaraq  $n$  və  $n+1$  intervallarında çay hissəsinə daxil olan su sərfəri;  $Q_n$  və  $Q_{n+1}$  – çay hissəsindən axım;  $S_n$  və  $S_{n+1}$  – çay hissəsində akumulyasiya olunan suyun miqdardır.

$S_n$  və  $Q_n$ -in məlum qiymətlərinə əsasən  $S_{n+1}$  və  $Q_{n+1}$ -in qiymətləri təyin olunur. Misalın həllinin gedişatı axımın üçbucaq formalı hidroqrafi üçün cədvəl 7.3-də göstərilmişdir.

Cədvəl 7.3.

Transformasiyanın hesablanması cədvəli

| Zaman,<br>saat | n  | $I_n$ ,<br>kub fut/s | $I_n + I_{n+1}$ ,<br>kub fut/s | $\frac{2S_n}{\Delta t} + Q_n$<br>kub fut/s | $\frac{2S_{n+1}}{\Delta t} + Q_{n+1}$<br>kub fut/s | $Q_{n+1}$ ,<br>Kub fut/s |
|----------------|----|----------------------|--------------------------------|--|--|--------------------------|
| 1              | 2  | 3                    | 4                              | 5  | 6  | 7                        |
| 0              | 1  | 0                    | 30                             | 0  |  | 0                        |
| 1              | 2  | 30                   | 90                             | 20   | 30   | 5                        |
| 2              | 3  | 60                   | 150                            | 74   | 110  | 18                       |
| 3              | 4  | 90                   | 210                            | 160  | 224  | 32                       |
| 4              | 5  | 120                  | 270                            | 284  | 370  | 43                       |
| 5              | 6  | 150                  | 330                            | 450  | 554  | 52                       |
| 6              | 7  | 180                  | 315                            | 664  | 780  | 58                       |
| 7              | 8  | 135                  | 225                            | 853  | 976  | 63                       |
| 8              | 9  | 90                   | 135                            | 948  | 1078   | 65                       |
| 9              | 10 | 45                   | 45                             | 953  | 1085   | 65                       |
| 10             | 11 | 0                    | 0                              | 870  | 998  | 64                       |
| 11             | 12 | 0                    | 0                              | 746  | 870  | 62                       |
| 12             | 13 | 0                    | 0                              | 630  | 746  | 58                       |

$\Delta t$  hesabi interval adətən elə seçilir ki, verilmiş hidroqrafın qalxma əyrisini ən azı beş intervala bölmək mümkün olsun. Qalxma əyrisində nöqtələrin sayının artırılması, yəni,  $\Delta t$ -nin azalması ədədi ineqrallamanın dəqiqliyini artırır.

Yuxarıda göstərilən tənliyi həll etmək üçün aşağıdakı düsturdan da istifadə olunmalıdır:

$$Q = CLH^x,$$

burada,  $Q$  – suaşırıcıdan keçən su sərfi, kub fut/s;  $C$  – sərf əmsali;  $L$  – suaşırıcının yalının eni, fut;  $H$  – suaşırıcının yəli üzərində basqı, fut;  $x$  – üst göstəricisi, adətən  $x=3/2$ .

Hər bir hesablama intervalında su anbarının müxtəlif səviyyələri üçün onun həcm əyrisindən istifadə etməklə  $S$  və  $Q$ , daha sonra isə  $\frac{2S}{\Delta t} + Q$  funksiyasının qiymətləri təyin olunur. Bu funksiyanın su anbarından buraxılan su sərfindən asılılıq qrafikini qurduqda, şəkil 7.4-də verilmiş əyri alınır. Bu əyriyə əsasən cədvəl 7.3-də göstərilmiş 13 zaman intervalının hər biri üçün hesabat aparılıb. Cədvəlin 3-cü sütununda anbara axım hidroqrafının ordinatları  $I_n$ , 4-cü sütununda isə  $I_n + I_{n+1}$  cəmləri yazılmışdır.

Şərtə əsasən ölü həcm tamamilə dolu olduğundan 5 və 7-ci sütunların ilk qiymətləri sıfır bərabərdir.

6-cı sütunun ilk qiyməti, yəni, 30 kub.fut/s, yuxarıdakı əsas tənlikdən alınıb:

$$I_1 + I_2 + \frac{2S_1}{\Delta t} - Q_1 = \frac{2S_2}{\Delta t} + Q_2,$$

$$30 + 0 = \frac{2S_2}{\Delta t} + Q_2,$$

Su sərfi  $Q_2 = 5 \text{kub.fut/s}$  şəkil 7.4-də verilən əyridən  $\frac{2S_2}{\Delta t} + Q_2 = 30 \text{kub.fut/s}$ -qiymətinə görə təyin olunub. Sonra ikinci interval üçün ( $n=2$ )  $Q_2$ -nin məlum kəmiyyətinə görə 5-ci sütunda verilmiş funksiya alınıb. Bunun üçün  $\frac{2S_2}{\Delta t} + Q_2$  kəmiyyətindən  $Q_2$  kəmiyyətini iki dəfə çıxmaq yetərlidir. Nəticədə 20 kub fut/s alınır.

Bütün  $n$  intervallar üçün su anbarından buraxılan sərflərin cədvəl üzrə hesablanması aşağıdakı ardıcılıqla yerinə yetirilir:

1. 1 və 3-cü sütunlardakı kəmiyyətlər su anbarına axım hidroqrafının məlumatlarından məlumdur.

2. 4-cü sütundakı məlumatlar 3-cü sütundan götürülmüş rəqəmlərin cəmini  $I_n + I_{n+1}$  göstərir.

3.  $\frac{2S}{\Delta t} + Q = f(Q)$  qrafikinə əsasən  $Q$ -nün qiyməti tapılır.

4. 6-cı sütunda olan rəqəmlərdən iki dəfə 7-ci sütunun uyğun rəqəmləri çıxılır və 5-ci sütuna yerləşdirilmiş  $\frac{2S}{\Delta t} + Q$  -nün qiyməti tapılır.

5. 4 və 5-ci sütunların rəqəmləri ardıcıl olaraq cəmlənir. Nəticə növbəti hesabi zaman intervalı üçün 6-cı sütuna yazılır.

6. Su anbarından buraxılan növbəti sərfin qiyməti şəkil 7.4-də gösterilmiş asılılıqdan istifadə etməklə,  $\frac{2S}{\Delta t} + Q$  kəmiyyətinə əsasən tapılır.

7. 3-6-cı əməliyyatlar su anbarından buraxılan su sərflərinin tam hidroqrafi alınana kimi təkrarlanır.

### **7.3. İzoxron metodu**

Bu metod daşqının ümumi əmələgəlmə şəraitini eks etdirir və axımın formallaşmasının genetik nəzəriyyəsinə əsaslanır. Hesablamalar hövzənin müxtəlif hissələrində əmələgələn elementar axım həcmərinin (su sərfərinin) cəmlənməsi yolu ilə yerinə yetirilir. Izoxron metodу yağışın intensivliyini, həmçinin suyun yamaclar və məcra şəbəkəsi ilə hərəkətini, başqa sözlə hövzənin fərdi xüsusiyyətlərini nəzərə almağa imkan verir. Bu metod hidroqrafi qabaqcadan sxematikləşdirmədən istənilən ölçülü çay, birpikli və çoxpikli daşqınlara tətbiq oluna bilər. Bu qeyd olunanlar izoxron metodunun əsas üstünlükleridir.

Lakin praktikada izoxron metodundan o qədər də geniş istifadə olunmur. Bunun əsas səbəbləri izoxronların keçirilməsinin, həmçinin axım itkilərinin dəyişməsini təyin etmək üçün sadə və etibarlı metodların olmamasıdır.

Bu metoddan daha çox daşqın hidroqrafinin ən böyük ordinatının (maksimal su sərfinin) hesablanmasında istifadə edilir.

Daşqın hidroqraflarının hesablanması sadələşdirmək üçün izoxronlar stasionar qəbul olunur, yəni suyun yamaclar və məcra boyu hərəkət sürətinin qiymətləri daşqın ərzində dəyişmir.

Daşqın hidroqrafinin ordinatları axımın genetik düsturuna görə hesablanır (bax bölmə 5.2.1-ə).

Hesablamları yerinə yetirmək üçün aşağıdakı məlumatlar tələb olunur:

- yağışın və ya qarın suverməsinin gedişi;
- çay hövzəsinin hidroqrafik şəbəkə göstərilən iri miqyaslı topoqrafik xəritəsi;
- yamaclar və məcra boyu suyun hərəkət sürətləri.

Yağışın gedişi qrafiki plynvioqrafın məlumatlarına görə qurulur. Qarın suverməsinin gedişi isə məlum metodlardan birinə görə hesablanıa bilər.

Suyun hərəkət sürəti haqqında məlumatlar izoxronları keçirmək üçün lazımdır. Kiçik dağ çayları və yarğanlarda daşqın zamanı suyun sürəti  $1,0\text{--}1,25 \text{ m/s}$ , orta və böyük çaylar üçün isə  $1,25\text{--}1,50 \text{ m/s}$  qəbul oluna bilər. Yamaclarda suyun hərəkət sürəti

yağış daşqınları üçün  $0,25\text{-}0,50$  m/s, yaz gursulu dövrü üçün isə  $0,05\text{-}0,10$  m/s arasında dəyişir.

Daşqın axımının itkiləri adətən axım əmsalı ilə nəzərə alınır. Bu əmsalin qiymətləri mövcud tövsiyələrə müvafiq təyin olunur. Məsələn, Qafqaz çayları üçün axım əmsalının 1% təminatlı qiyməti  $0,60\text{-}0,80$  arasındadır.

**Misal 7.3.** Aşağıdakı verilənlərə görə izoxron metodu ilə daşqın hidroqrafını hesablayın: hövzənin sxemi; sutoplayıcı sahə  $F=16,8 \text{ km}^2$ ; əsas çayın suayricisına qədər uzunluğu  $L=6 \text{ km}$ ; cəm yağış layı  $H=145,5 \text{ mm}$ ; davamiyyəti 160 dəq. olan yağışın gedişinin qrafiki (şəkil 5.2).

**Həlli:** 1. Məcrada suyun orta hərəkət sürəti (daşqının qalxma fazası üçün ortalaşdırılmış)  $\bar{v}_m = 1,0 \text{ m/s}$  və axım əmsalı  $\alpha = 0,25$  qəbul edilir.

2. Ümumi qaçış müddəti hesablanır:

$$\tau = 16,67 \frac{L}{v_m} = 16,67 \cdot \frac{6,0}{1,0} = 100 \text{ dəq.}$$

3. Zaman vahidi  $\tau_0 = 10 \text{ dəq.}$  qəbul edilir. Onda qonşu izoxronlar arasında məsafə

$$l_0 = \frac{L \cdot \tau_0}{\tau} = \frac{6 \cdot 10}{100} = 0,6 \text{ km.}$$

4. Hövzənin sxemində hesabi kəsikdən başlayaraq əsas çay və onun qollarında  $0,6 \text{ km-dən}$  bir nöqtələr qeyd olunur. Bu nöqtələr relyef nəzərə alınmaqla birləşdirilir və izoxronlar alınır. Qonşu izoxronlar arasındaki sahələr,  $f_i$ , hesablanır və onların paylanması qrafiki qurulur (şəkil 5.2).

5. Hər 10 dəqiqədən bir daşqının su sərflərini hesablamaq üçün axımın genetik düsturundan istifadə olunur:

$$Q_i = h_1 f_i + h_2 f_{i-1} + \dots + h_i f_1 = \sum_{k=1}^{k=i} h_k f_{i-k+1}$$

Hesablamaların nəticələri cədvəl 7.4-ə yazılır.

Cədvəl 7.4

| $\frac{C}{C_E}$ | h, mm |      |      |      |      |      |      |      |      |      |      |      | $\Sigma hf$ | $C_{eff}^2$ |      |        |         |
|-----------------|-------|------|------|------|------|------|------|------|------|------|------|------|-------------|-------------|------|--------|---------|
|                 | 7.8   | 7.3  | 14.4 | 20.5 | 18   | 14   | 10.1 | 11.8 | 7.1  | 6.4  | 9.3  | 2.7  | 1.7         | 9.2         | 1.9  | 0.3    |         |
| 1               | 3     | 4    | 5    | 6    | 7    | 8    | 9    | 10   | 11   | 12   | 13   | 14   | 15          | 16          | 17   | 18     | 19      |
| 0,78            | 3,0   | 5,9  | 11,2 | 8,4  | 7,4  | 5,7  | 4,1  | 4,8  | 2,9  | 2,9  | 3,8  | 1,1  | 1,1         | 1,1         | 1,1  | 0,3    | 0,13    |
| 1,43            | 1,2   | 1,6  | 14,0 | 20,6 | 16   | 25,7 | 10,9 | 7,9  | 4,8  | 9,2  | 2,9  | 2,9  | 2,9         | 2,9         | 2,9  | 3,6    | 1,51    |
| 2               | 2,28  | 1,8  | 15,2 | 28,8 | 29,3 | 14,0 | 5,7  | 4,1  | 4,8  | 9,2  | 2,9  | 2,9  | 2,9         | 2,9         | 2,9  | 12,8   | 5,38    |
| 2,08            | 1,7   | 1,7  | 14,0 | 20,6 | 16   | 30   | 41   | 41   | 41   | 41   | 41   | 41   | 41          | 41          | 41   | 31,6   | 13,3    |
| 2,28            | 1,8   | 1,8  | 16,6 | 32,6 | 42,6 | 36,0 | 20,0 | 20,0 | 20,0 | 20,0 | 20,0 | 20,0 | 20,0        | 20,0        | 20,0 | 60,3   | 25,1    |
| 2,16            | 1,7   | 1,7  | 16,1 | 32,6 | 42,6 | 37,4 | 28   | 28   | 28   | 28   | 28   | 28   | 28          | 28          | 28   | 187,8  | 78,5    |
| 2,04            | 1,6   | 1,6  | 15,8 | 31,7 | 46,8 | 45,1 | 41,0 | 41,0 | 41,0 | 41,0 | 41,0 | 41,0 | 41,0        | 41,0        | 41,0 | 38     | 187,5   |
| 1,42            | 1,2   | 14,9 | 31,4 | 45,1 | 41,0 | 29,1 | 20,2 | 16,8 | 16,8 | 16,8 | 16,8 | 16,8 | 16,8        | 16,8        | 16,8 | 207,5  | 87,0    |
| 10,4            | 29,4  | 44,3 | 39,6 | 31,9 | 21,0 | 23,6 | 10,2 | 5,0  | 5,0  | 5,0  | 5,0  | 5,0  | 5,0         | 5,0         | 5,0  | 219,2  | 92,0    |
| 20,4            | 41,8  | 38,8 | 30,8 | 23,0 | 24,5 | 14,2 | 9,1  | 7,8  | 7,8  | 7,8  | 7,8  | 7,8  | 7,8         | 7,8         | 7,8  | 211,5  | 88,9    |
| 29,1            | 36,7  | 30,2 | 22,2 | 26,9 | 14,8 | 12,8 | 13,3 | 2,1  | 2,1  | 2,1  | 2,1  | 2,1  | 2,1         | 2,1         | 2,1  | 192,9  | 81,0    |
| 25,5            | 28,6  | 21,8 | 26,0 | 16,2 | 13,3 | 18,6 | 3,9  | 9,1  | 9,1  | 9,1  | 9,1  | 9,1  | 9,1         | 9,1         | 9,1  | 166,8  | 70,0    |
| 19,9            | 20,6  | 25,5 | 15,6 | 14,6 | 19,3 | 5,4  | 16,7 | 7,2  | 7,2  | 7,2  | 7,2  | 7,2  | 7,2         | 7,2         | 7,2  | 145,6  | 61,1    |
| 14,3            | 24,0  | 15,3 | 14,1 | 21,4 | 5,6  | 23,4 | 13,2 | 1,5  | 1,5  | 1,5  | 1,5  | 1,5  | 1,5         | 1,5         | 1,5  | 132,9  | 55,8    |
| 16,7            | 14,5  | 13,8 | 20,5 | 6,2  | 24,6 | 18,4 | 2,7  | 0,2  | 0,2  | 0,2  | 0,2  | 0,2  | 0,2         | 0,2         | 0,2  | 117,6  | 49,3    |
| 10,1            | 13,0  | 20,1 | 5,2  | 26,7 | 19,1 | 3,8  | 0,4  | 0,4  | 0,4  | 0,4  | 0,4  | 0,4  | 0,4         | 0,4         | 0,4  | 99,1   | 41,6    |
| 9,1             | 19,0  | 5,8  | 25,7 | 21,0 | 4,0  | 0,6  | 0,6  | 0,6  | 0,6  | 0,6  | 0,6  | 0,6  | 0,6         | 0,6         | 0,6  | 85,1   | 35,7    |
| 13,2            | 5,5   | 25,3 | 20,2 | 4,3  | 0,6  | 0,6  | 0,6  | 0,6  | 0,6  | 0,6  | 0,6  | 0,6  | 0,6         | 0,6         | 0,6  | 69,1   | 29,0    |
| 3,8             | 23,9  | 19,9 | 4,2  | 0,7  | 0,7  | 0,7  | 0,7  | 0,7  | 0,7  | 0,7  | 0,7  | 0,7  | 0,7         | 0,7         | 0,7  | 52,5   | 22,0    |
| 16,6            | 18,8  | 4,1  | 0,7  | 0,7  | 0,7  | 0,7  | 0,7  | 0,7  | 0,7  | 0,7  | 0,7  | 0,7  | 0,7         | 0,7         | 0,7  | 40,2   | 16,9    |
| 13,1            | 3,9   | 0,6  | 0,6  | 0,6  | 0,6  | 0,6  | 0,6  | 0,6  | 0,6  | 0,6  | 0,6  | 0,6  | 0,6         | 0,6         | 0,6  | 17,6   | 7,40    |
| 2,7             | 0,6   | 0,4  | 0,4  | 0,4  | 0,4  | 0,4  | 0,4  | 0,4  | 0,4  | 0,4  | 0,4  | 0,4  | 0,4         | 0,4         | 0,4  | 3,3    | 1,39    |
| 0,4             | 0,4   | 0,4  | 0,4  | 0,4  | 0,4  | 0,4  | 0,4  | 0,4  | 0,4  | 0,4  | 0,4  | 0,4  | 0,4         | 0,4         | 0,4  | 0,17   | 0,17    |
| 0               | 0     | 0    | 0    | 0    | 0    | 0    | 0    | 0    | 0    | 0    | 0    | 0    | 0           | 0           | 0    | 0      | 0       |
|                 |       |      |      |      |      |      |      |      |      |      |      |      |             |             |      | 2444,5 | 1018,48 |
|                 |       |      |      |      |      |      |      |      |      |      |      |      |             |             |      | cam    |         |

Bu cədvəlin 2-17-ci sütunlarında daşqının tam axım həcmimin toplananları verilmişdir. Onlar vahid sahələrin,  $f_i$ , hər 10 dəq. ərzində qeydə alınmış yağış layına,  $h_i$ , hasili kimi tapılır. Hər növbəti sütunda yazıların bir sətir sürüşdürülməsi yağışın gedişinin ardıcılılığını eks etdirir.

6. Cədvəlin hər bir sətiri üzrə hissə axım həcmələrini toplamaqla qapayıcı kəsikdə 10 dəqiqədən bir daşqının ordinatları tapılır (18-ci sütun).

7. 18-ci sütunda verilmiş axım həcmələri (hidroqrafın ordinatları) axım əmsali nəzərə alınmaqla su sərfləri,  $Q_i$ , ilə ifadə olunur (sütun 19):

$$Q_i = 16,67 \frac{\sum hf}{\tau_0} \cdot \alpha = 16,67 \frac{\sum hf}{10} \cdot 0,25 = 0,414 \sum hf.$$

8. 19-cu sütunun məlumatlarına görə daşqının hidroqrafi quşrular (Şəkil 5.2).

#### *7.4. Vahid hidroqraf metodu*

Bu metodu L.K.Şerman (Sherman, 1932) təklif etmişdir. Metodun əsas ideyası ondan ibarətdir ki, davamiyyəti eyni olan yağışların əmələ gətirdiyi daşqınların davamiyyəti də təqribən eyni olur. Belə daşqınların hidroqrafları vahid hidroqraf adlanır. Müəllif bu metodu ABŞ-in orta və böyük çayları üçün işləmiş, yağışın effektiv (axım əmələgətirən) hissəsinin davamiyyəti 1 sutka, onun yaratdığı daşqının axım layı isə 1 düym (25,4 mm) olmuşdur. Vahid hidroqrafın ordinatları bazis (yeraltı) axım çıxıldıqdan sonra daşqının axım layına mütənasib paylanması.

Sonralar vahid hidroqrafın tərtibi proseduru M.Bernard (Bernard, 1934) tərəfindən sadələşdirilmişdir. O, vahid hidroqrafın ordinatlarını daşqının həcmimin və ya sutkalıq su sərfləri cəminin faizi ilə ifadə etmişdir.

Konkret davamiyyətli (məsələn, 1 sutka) yağış üçün tərtib edilmiş vahid hidroqrafdan digər davamiyyətli yağışlara uyğun

vahid hidroqraflara keçmək üçün S-hidroqraf metodu işlənmişdir (Morgan and Hillinhors, 1939). F.Snyder (Snyder, 1938) ilk dəfə olaraq vahid hidroqraf metodunu Appalaçın müşahidə məlumatları olmayan çaylarına tətbiq etmişdir. O, vahid hidroqrafın parametrləri ilə sutoplayıcının xarakteristikaları arasında əlaqələr müəyyən etmişdir.

Bu metodun müxtəlif variantları məlumdur və onlar iki qrupa bölünə bilər:

- vahid hidroqrafın çöl müşahidə məlumatlarına görə tərtibi və onun S-hidroqraf metoduna görə ümumiləşdirilməsi;
- sintetik vahid hidroqrafın tərtibi.

Hazırda ABŞ-da, İngiltərədə, Yaponiyada, Hindistanda və başqa ölkələrdə vahid hidroqraf metodunun geniş istifadə olunmasının əsas səbəbi onun axımın genetik nəzəriyyəsinə əsaslanmasıdır. Məhz bu səbəbdən Rusiya Federasiyasında vahid hidroqraf metoduna izoxron metodunun xüsusi hali kimi baxılır.

**Misal 7.4.** Hər yarım saatdan (30 dəqiqədən) bir ölçülmüş effektiv yağış layı və yağış axımı haqqında məlumatlara (cədvəl 7.5) görə vahid hidroqrafın ordinatlarını,  $U$ , təyin edin.

**Cədvəl 7.5**

Effektiv yağışlar və yağış axımı

| Zaman, 0,5 saat | Effektiv yağış layı, inç | Yağış axımı, kub fut/san |
|-----------------|--------------------------|--------------------------|
| 1               | 1.06                     | 428                      |
| 2               | 1.93                     | 1923                     |
| 3               | 1.81                     | 5297                     |
| 4               |                          | 9131                     |
| 5               |                          | 10625                    |
| 6               |                          | 7834                     |
| 7               |                          | 3921                     |
| 8               |                          | 1846                     |
| 9               |                          | 1402                     |
| 10              |                          | 830                      |
| 11              |                          | 313                      |

**Həlli:** Cədvəl 7.5-dən göründüyü kimi, 3 dəfə ( $M=3$ ) effektiv yağışlar və 11 dəfə ( $N=11$ ) yağış axımı ölçülüb. Buna görə də yarım saatlıq vahid hidroqrafın ordinatlarının sayı  $N-M+1=11-3+1=9$  olmalıdır.

### Cədvəl 7.6

Axının genetik düsturunda  $Q_n = \sum_{m=1}^{n \leq M} F_m U_{n-m+1}$  ( $n = 1, 2, \dots, N$ ) görə

hidroqrafın ordinatlarının hesablanması

|   |
|---|
| $Q_1 = P_1 U_1$   |
| $Q_2 = P_2 U_1 + P_1 U_2$   |
| $Q_3 = P_3 U_1 + P_2 U_2 + P_1 U_3$   |
| .....   |
| $Q_M = P_M U_1 + P_{M-1} U_2 + P_1 U_M$                                     |
| $Q_{M+1} = 0 + P_M U_2 + \dots + P_2 U_M + P_1 U_{M+1}$                     |
| .....   |
| $Q_{N-1} = 0 + 0 + \dots + 0 + 0 + \dots + P_M U_{N-M} + P_{M-1} U_{N-M+1}$ |
| $Q_N = 0 + 0 + \dots + 0 + 0 + \dots + 0 + P_M U_{N-M+1}$                   |

Cədvəl 7.6-dakı düsturlardan vahid hidroqrafın ordinatları təyin oluna bilər.

$$U_1 = \frac{Q_1}{P_1} = \frac{428}{1.06} = 404 \text{ kubfut/san/inç}$$

$$U_2 = \frac{Q_2 - P_2 U_1}{P_1} = \frac{1923 - 1.93 \times 404}{1.06} = 1079 \text{ kubfut/san/inç}$$

$$U_3 = \frac{Q_3 - P_3 U_1 - P_2 U_2}{P_1} = \frac{5297 - 1.81 \times 404 - 1.93 \times 1079}{1.06} = 2343 \text{ kubfut/san/inç}$$

$$U_4 = \frac{9131 - 1.81 \times 1079 - 1.93 \times 2343}{1.06} = 2506 \text{ kubfut/san/inç}$$

$$U_5 = \frac{10625 - 1.81 \times 2343 - 1.93 \times 2506}{1.06} = 1460 \text{ kubfut/san/inç}$$

$$U_6 = \frac{7834 - 1.81 \times 2506 - 1.93 \times 1460}{1.06} = 453 \text{ kubfut/san/inç}$$

$$U_7 = \frac{3921 - 1.81 \times 1460 - 1.93 \times 453}{1.06} = 381 \text{ kubfut/san/inç}$$

$$U_8 = \frac{1846 - 1.81 \times 453 - 1.93 \times 381}{1.06} = 274 \text{ kubfut/san/inç}$$

$$U_9 = \frac{1402 - 1.81 \times 381 - 1.93 \times 274}{1.06} = 173 \text{ kubfut/san/inç}$$

Cədvəl 7.7

Vahid hidroqrafın ordinatları

| n                       | 1   | 2    | 3    | 4    | 5    | 6   | 7   | 8   | 9   |
|-------------------------|-----|------|------|------|------|-----|-----|-----|-----|
| Un (kub<br>fut/san/inç) | 404 | 1079 | 2343 | 2506 | 1460 | 453 | 381 | 274 | 173 |

**Misal 7.5.** Effektiv yağış hayatı 6 inç olarsa, axım hidroqrafını tərtib edin. Birinci yarım saatda yağış hayatı 2 inç, ikinci yarım saatda 3 inç və üçüncü yarım saatda 1 inç təşkil etmişdir. Misalı həll edərkən vahid hidroqrafın əvvəlki misalda (misal 7.4) hesablanmış ordinatlarından istifadə edin. Bazis (yeraltı) axımı 500 kub. fut/san-dir. Nəzərə alın ki, yağış axımı yağış hayatı bərabər olmalıdır (sutoplayıcı sahə=7.03 mil<sup>2</sup>).

**Həlli:** Səth axımının hesablanması cədvəl 7.8-də verilir. Zaman intervalı  $\Delta t=0.5$  saat. Birinci zaman intervalı üçün  $n=1$ , yağış axımı aşağıdakı kimi hesablanır:

$$Q_1 = P_1 U_1 = 2.00 \times 404 = 808 \text{ kubfut/san}$$

İkinci zaman intervalı üçün

$$\begin{aligned} Q_2 &= P_2 U_1 + P_1 U_2 = 3.00 \times 404 + 2.00 \times 1079 \\ &= 1212 + 2158 \text{ kubfut/san} = 3370 \text{ kubfut/san} \end{aligned}$$

**Cədvəl 7.8**

Çay axımı hidroqrafının hesablanması

| Zaman, Effektiv<br>0.5<br>saat | yağış<br>layı,    | Vahid hidroqrafın ordinatları, kub fut/san/inç | Yağış<br>axımı,<br>kub Çay<br>fut/san axımı,<br>kub<br>fut/san |
|--------------------------------|-------------------|--|--|
| inç                            | 1 2 3 4 5 6 7 8 9 | 404 1079 2343 2506 1460 453 381 274 173        |  |
| 1                              | 2.00              | 808  | 808 1308   |
| 2                              | 3.00              | 1212 2158                                      | 3370 3870  |
| 3                              | 1.00              | 404 3237 4686                                  | 8327 8827  |
| 4                              |                   | 1079 7029 5012                                 | 13,120 13,620  |
| 5                              |                   | 2343 7518 2920                                 | 12,781 13,281  |
| 6                              |                   | 2506 4380 906                                  | 7792 8292  |
| 7                              |                   | 1460 1359 762                                  | 3581 4081  |
| 8                              |                   | 453 1143 548                                   | 2144 2644  |
| 9                              |                   | 381 822 346                                    | 1549 2049  |
| 10                             |                   | 274 519 793                                    | 1293   |
| 11                             |                   | 173 173  | 673  |

Cəm 54,438

Üçüncü zaman intervali üçün:

$$\begin{aligned}
 Q_3 &= P_3 U_1 + P_2 U_2 + P_1 U_3 \\
 &= 1.00 \times 404 + 3.00 \times 1079 + 2.00 \times 2343 \\
 &= 404 + 3237 + 4686 \\
 &= 8327 \text{ kubfut / san və s}
 \end{aligned}$$

Cəm yağış axımının həcmi belə hesablanır:

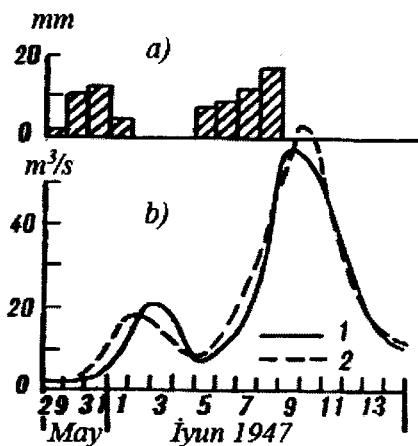
$$\begin{aligned}
 V_d &= \sum_{n=1}^N Q_n \Delta t \\
 &= 54,438 \times 0.5 \text{ kubfut / san · saat} \\
 &= 54,438 \times 0.5 \frac{\text{fut}^3 \cdot \text{saat}}{\text{san}} \times \frac{3600 \text{ san}}{1 \text{ saat}} \\
 &= 9.80 \times 10^7 \text{ fut}^3
 \end{aligned}$$

Nəzərə alsaq ki,  $A=7.03 \text{ mil}^2 = 7.03 \times 5280^2 \text{ fut}^2 = 1.96 \cdot 10^8 \text{ fut}^2$ , onda bu həcmə müvafiq yağış axımı layı:

$$\begin{aligned} r_d &= \frac{V_d}{A} \\ &= \frac{9.80 \times 10^7}{1.96 \times 10^8} \text{ fut} \\ &= 0.500 \text{ fut} \\ &= 6.00 \text{ inç} \end{aligned}$$

Çay axımı hidroqrafının ordinatlarını (cədvəlin axırıncı sütunu) təyin etmək üçün yağış axımı hidroqrafının müvafiq ordinatlarına 500 kub fut/san əlavə olunur.

**Misal 7.6.** Kuldur çayının Izvestkovaya məntəqəsi ( $F=1018 \text{ km}^2$ ) üçün yağış daşqını hidroqrafının ordinatlarını vahid hidroqraf metoduna görə hesablayın. Yağışın gedişi və müşahidə olunmuş hidroqraf şəkil 7.5-də verilir. Axım əmsali  $\alpha=0,35$ , daşqın başlamazdan əvvəl su sərfi  $Q_{da}=3,0 \text{ m}^3/\text{s}$  təşkil edir.



**Şəkil 7.5.** Çay hövzələrində yağıntı (a) və axımın (b) gedişi.  
1-müşahidə olunmuş hidroqraf; 2-hesablanmış hidroqraf

**Həlli:** 1. Hesablamaların nəticələri cədvəl 7.9-da göstərilir. Cədvəlin 2-ci sütununda yağış layları, 3-9-cu sütunlarda isə ümumi daşqın axımının hissə axım layları verilir. Cədvəlin hər bir sətiri üzrə hissə axım laylarını toplamaqla qapayıcı kəsikdə vahid hidroqrafın ordinatları tapılır (10-cu sütun).

2. Yalnız yağış suları hesabına formalaşan daşqın su sərfəri aşağıdakı düstura görə hesablanır:

$$Q = 0,0116 y_i F \cdot \alpha$$

burada  $y_i$  -axımın paylanması əyrisinin sutkalar üzrə ordinatlarıdır. Onlar daşqının ümumi həcminin hissələri ilə ifadə olunur və hesabi çayda müşahidə olunmuş bir neçə vahid hidroqrafın ordinatlarının ortalaşdırılması yolu ilə təyin edilmişlər.

3. Bu düsturla hesablanmış qiymətlərə daşqın başlamazdan əvvəl çayda olan su sərfi ( $3,0 \text{ m}^3/\text{s}$ ) əlavə edilir və yağış daşqını hidroqrafının ordinatları tapılır (11-ci sütun).

Cədvəl 7.9

Yağış daşqını hidroqrafının vahid hidroqraf metodu ilə hesablanması

| Tarix | h,<br>mm | Axımın paylanması əyrisinin ordinatları<br>(sutkalar üzrə) |      |      |      |      |      |      | $\Sigma$<br>$y_i, \text{m}$ | $Q_i, \text{m}^3/\text{s}$ |                     |
|-------|----------|--|------|------|------|------|------|------|-----------------------------|----------------------------|---------------------|
|       |          | 0,05   | 1,05 | 2,05 | 3,05 | 4,05 | 5,05 | 6,05 |                             | Hesablanmış                | Müşahidə<br>olunmuş |
| 1     | 2        | 3  | 4    | 5    | 6    | 7    | 8    | 9    | 10                          | 11                         | 12                  |
| 29 V  | 1,2      | 0,06   |      |      |      |      |      |      | 0,06                        | 3,26                       | 3,08                |
| 30 V  | 10,40    | 0,52   | 0,46 |      |      |      |      |      | 0,98                        | 7,28                       | 3,8                 |
| 31 V  | 11,6     | 0,58   | 3,95 | 0,29 |      |      |      |      | 4,82                        | 24,1                       | 5,36                |
| 1 VI  | 4,4      | 0,22   | 4,41 | 2,50 | 0,18 |      |      |      | 7,31                        | 34,9                       | 17,2                |
| 2 VI  |          |  | 1,67 | 2,78 | 1,56 | 0,11 |      |      | 6,13                        | 29,8                       | 22,0                |
| 3 VI  |          |  |      | 1,06 | 1,74 | 0,93 | 0,07 |      | 3,80                        | 19,6                       | 15,7                |
| 4 VI  |          |  |      |      | 0,66 | 1,04 | 0,62 | 0,04 | 2,36                        | 13,3                       | 7,70                |
| 5 VI  | 7,4      | 0,37   |      |      |      | 0,40 | 0,70 | 0,31 | 1,78                        | 10,8                       | 9,30                |
| 6 VI  | 8,8      | 0,44   | 2,81 |      |      |      | 0,26 | 0,35 | 3,86                        | 19,9                       | 18,3                |
| 7 VI  | 11,0     | 0,55   | 3,34 | 1,78 |      |      |      | 0,13 | 5,80                        | 28,4                       | 28,4                |

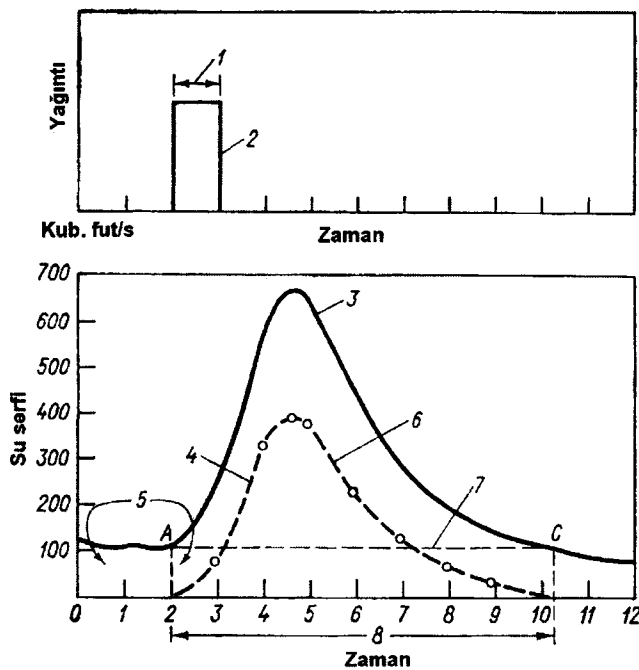
|      |                     |      |      |      |      |      |      |      |                     |                   |      |
|------|---------------------|------|------|------|------|------|------|------|---------------------|-------------------|------|
| 8 VI | 16,2                | 0,81 | 4,18 | 2,11 | 1,10 |      |      |      | 8,20                | 28,9              | 58,1 |
|      |                     |      | 6,16 | 2,64 | 1,32 | 0,66 |      |      | 10,8                | 50,3              | 55,8 |
|      |                     |      |      | 3,89 | 1,65 | 0,79 | 0,44 |      | 6,77                | 32,6              | 44,4 |
|      |                     |      |      |      | 2,43 | 0,99 | 0,53 | 0,22 | 4,17                | 21,2              | 27,8 |
|      |                     |      |      |      |      | 1,46 | 0,66 | 0,26 | 2,38                | 13,4              | 18,8 |
|      |                     |      |      |      |      |      | 0,97 | 0,33 | 1,30                | 8,07              | 14,7 |
|      |                     |      |      |      |      |      |      | 0,49 | 0,49                | 5,14              | 10,9 |
|      |                     |      |      |      |      |      |      |      | $\Sigma y_i = 71,0$ | $\Sigma = 361,55$ |      |
|      | $\Sigma h_i = 71,0$ |      |      |      |      |      |      |      |                     |                   |      |

**Misal 7.7.** Şəkil 7.6-da göstərilmiş hidroqrafdan istifadə etməklə sahəsi 3 kv.mil olan sutoplayıcı sahə üçün vahid hidroqraf qurun. Daha sonra alınmış vahid hidroqrafdan istifadə etməklə cədvəl 7.9-da verilmiş yağıntılar üçün daşqın axımı hidroqrafını tərtib edin.

**Həlli:** Bu misalın həlli aşağıdakı ardıcılıqla yerinə yetirilir:

1. Bazis, yaxud yeraltı axımı ayırmaqla daşqın axımının hidroqrafını alırıq. Bu, hidroqraf su sərfərinin nəzərə çarpacaq dərəcədə artdığı nöqtədən (A), daşqının qurtardığı nöqtəyə (C) AC düz xəttini keçirməklə alınır.

2. Səth axımını formalasdırıan effektiv yağıntıların davamiyyətini müəyyən edirik. Onların layı daşqın axımının həcmində bərabərdir. Öyrənilən hövzənin ölçülərindən asılı olaraq effektiv yağıntıların zaman vahidi sutka, yarım sutka, saat və ya istənilən zaman intervalı qəbul edilir. Leysanların davamiyyətinin vahidi sutoplayıcı hövzədə qəçış müddətinin maksimal qiymətinin 25%-ni aşmamalıdır. Baxılan misal üçün yağıntıların effektiv hissəsi və onun davamiyyəti şəkil 7.6-da göstərilmişdir. Bu misalda axım əmələgətirən yağıntı layı 1,4 düym təşkil edir.



**Şəkil 7.6. Yağışın əmələgətirdiyi vahid hidroqrafın tərtib olunması**  
 1-yağışın davamıyyətinin vahidi; 2- izafə yağışları (1,4 düym); 3- müşahidə olunmuş axım hidroqrafı; 4- daşqın axımı (axım layı 1,4 düym); 5- bazis axımı; 6- 1 düym axım layına müvafiq hidroqraf; 7- bazis axımını ayıran xətt; 8- vahid davamıyyətli leysanın əmələ gətirdiyi daşqının davamıyyəti.

3. Hidroqrafda qrunt sularının əmələ gətirdiyi hissəni ayıran AC xəttinin absis oxuna proyeksiyası vahid hidroqrafın davamıyyətini, yəni oturacağını verir. Vahid hidroqraf nəzəriyyəsinə əsasən, intensivliyindən asılı olmayaraq eyni davamıyyətə malik leysanlar eyni müddətli səth axımı yaradırlar.

4. Daşqın hidroqrafının ordinatlarını təyin edirik. Bunun üçün Şəkil 7.6-da verilmiş hidroqrafın ordinatlarından bazis axımının müvafiq ordinatları çıxılır.

5. Vahid hidroqrafın ordinatlarını təyin edirik:

$$\frac{Q_d}{V_d} = \frac{Q_v}{1},$$

burada,  $Q_d$  – axım layı  $V_d$ - daşqın hidroqrafının ordinatı;  $Q_v$  – eyni zaman anı üçün vahid hidroqrafın ordinatıdır. Vahid hidroqrafın axım layı 1 düym təşkil edir.

Baxılan misalda vahid hidroqrafın ordinatları daşqının ordinatlarını 1.4-ə bölməklə alınıb (cədvəl 7.10).

Konkret leysan üçün vahid hidroqrafın təyini

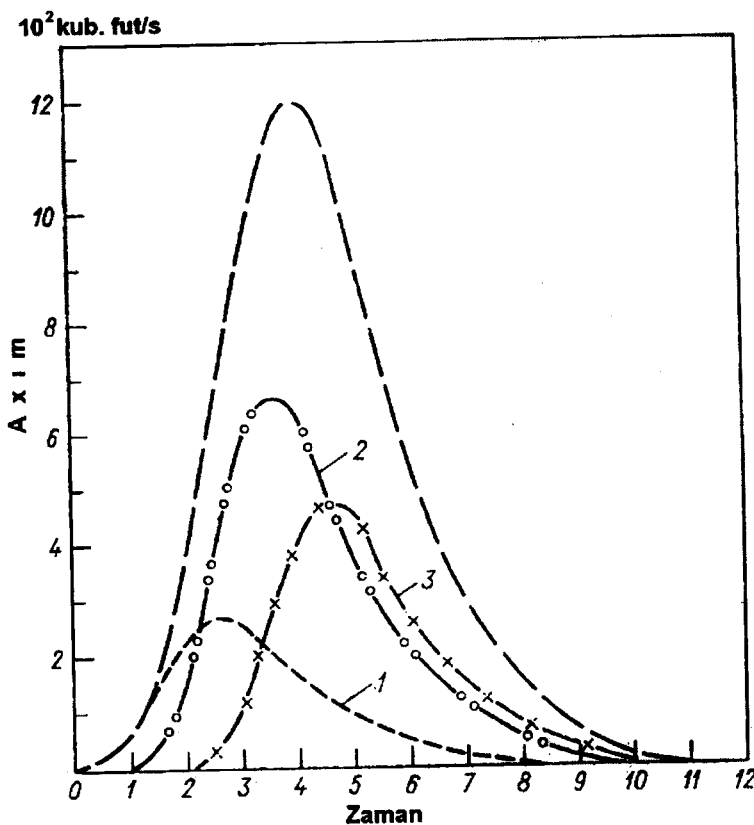
**Cədvəl 7.10**

| Zaman, hesabi vahidlərdə | Suyun ümumi sərfi, kub.fut/s | Qrant sularının sərfi, kub.fut/s | Daşqının su sərfi, kub.fut/s | Vahid hidroqrafın ordinatları, kub.fut/s |
|--------------------------|------------------------------|----------------------------------|------------------------------|--|
| 1                        | 110                          | 110                              | 0                            | 0  |
| 2                        | 122                          | 122                              | 0                            | 0  |
| 3                        | 230                          | 120                              | 110                          | 78.7                                     |
| 4                        | 578                          | 118                              | 460                          | 328                                      |
| 4.7                      | 666                          | 116                              | 550                          | 393                                      |
| 5                        | 645                          | 115                              | 530                          | 379                                      |
| 6                        | 434                          | 114                              | 320                          | 229                                      |
| 7                        | 293                          | 113                              | 180                          | 129                                      |
| 8                        | 202                          | 112                              | 90                           | 64.2                                     |
| 9                        | 160                          | 110                              | 50                           | 35.7                                     |
| 10                       | 117                          | 105                              | 12                           | 8.6                                      |
| 10.5                     | 105                          | 105                              | 0                            | 0  |
| 11                       | 90                           | 90                               | 0                            | 0  |
| 12                       | 80                           | 80                               | 0                            | 0  |

**Qeyd:** 1. Daşqın sərfi ümumi su sərfindən qrant sularının sərfini çıxmaqla alınır; 2. Vahid hidroqrafın ordinatları daşqının su sərfələrini 1.4 düymə bərabər olan yağıntı layına bölməklə alınır.

6. Vahid hidroqrafın hesablanmış ordinatları fərdi hidroqrafların hesablanmasında istifadə olunur. Fərdi hidroqraflar effektiv yağıntıların hər bir hissəsindən ardıcıl zaman vahidləri üçün hesablanır (cədvəl 7.11).

7. Su sərfələrinin sintez olunmuş hidroqrafi üç fərdi hidroqrafın ordinatlarının toplanması ilə alınır. Bu şəkil 7.7-də göstərilmişdir



*Şəkil 7.7. Vahid hidroqraf metodu ilə qurulmuş sintezləşdirilmiş hidroqraf (sintez olunmuş hidroqrafin ordinatları 1-3 fərdi hidroqrafların eyni vaxta uyğun ordinatlarının cəmlənməsi yolu ilə alınmışdır)*

**Cədvəl 7.11**

Vahid hidroqrafın tətbiqi

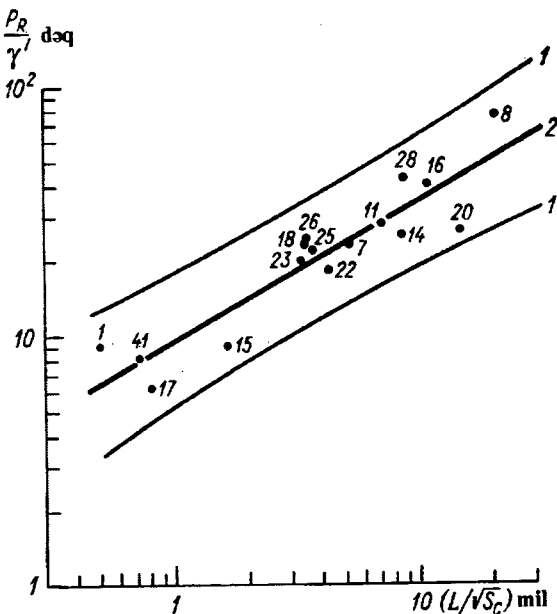
| Zaman, hesabi<br>vahidlərdə | Yağıntıların<br>vahid<br>hissəsinin<br>nömrəsi | Effektiv<br>yağıntılar,<br>düym | Yağıntı hissələri üçün<br>fərdi hidroqrafların<br>ordinatları |      |      |
|-----------------------------|--|---------------------------------|---|------|------|
|                             |  |                                 | 1   | 2    | 3    |
| 1                           | 2  | 3                               | 4   | 5    | 6    |
| 1                           | 1  | 0.7                             | 55.1  | -    | -    |
| 2                           | 2  | 1.7                             | 229   | 134  | -    |
| 2.7                         | 3  | 1.2                             | 275   | -    | -    |
| 3                           | -  | -                               | 265   | 558  | 94.3 |
| 03.7                        | -  | -                               | -   | 668  | -    |
| 4                           | -  | -                               | 161   | 644  | 393  |
| 4.7                         | -  | -                               | -   | -    | 472  |
| 5                           | -  | -                               | 90.5  | 389  | 455  |
| 6                           | -  | -                               | 44.9  | 219  | 275  |
| 7                           | -  | -                               | 25.0  | 109  | 155  |
| 8                           | -  | -                               | 6.0   | 60.7 | 77   |
| 9                           | -  | -                               | -   | 14.6 | 42.8 |
| 10                          | -  | -                               | -   | -    | 10.3 |

**Qeyd:** Yağıntı hissələri üçün fərdi hidroqrafların ordinatları effektiv  
yağıntılar və vahid hidroqrafın ordinatlarının hasili kimi hesablanır.

**Misal 7.8.** Sutoplayıcı sahəsi 0.62 kv. mil, uzunluğu  $L=0.98$  mil və meyilliyi  $S_c=1.5\%$  olan Qrin Ark çayı üçün Qrey metodundan istifadə etməklə vahid hidroqraf qurun.

**Həlli:** 1. Şəkil 7.8-dən  $\frac{L}{\sqrt{S_c}} = 0.813$  mil parametrinə görə

$$\frac{P_R}{\gamma} = 8.25 \text{ dəq. tapılır.}$$



*Şəkil 7.8. Ayova-Missouri-İllinoys-Viskonsin ştatları üçün akumulyasiya amili  $\frac{P_R}{\gamma}$  və hövzə parametri  $\frac{L}{\sqrt{S_c}}$  arasında əlaqə qrafiki*

amili  $\frac{P_R}{\gamma}$  və hövzə parametri  $\frac{L}{\sqrt{S_c}}$  arasında əlaqə qrafiki

1-  $\frac{P_R}{\gamma}$  nisbəti üçün 95%-lik etibarlılıq sərhədləri;

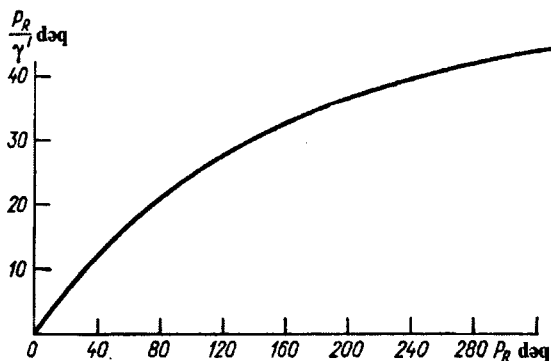
$$2- \quad \frac{P_R}{\gamma} = 9.27 \left( \frac{L}{\sqrt{S_c}} \right)^{0.562}$$

2. Şəkil 7.9-a görə  $\frac{P_R}{\gamma} = 8.25$  dəqiqliq olduqda daşqının qalxma

müddəti  $P_R = 24.9$  dəqiqliyə bərabərdir. Zaman intervalı 0.25  
 $P_R = 6$  dəq. təşkil edir.

3.  $q = 1 + \gamma' = 4.02$  və deməli,  $\gamma' = 3.02$ -dir.

Bu parametrlərə görə cədvəl 7.12 hesablanır.



**Şəkil 7.9.**  $\frac{P_R}{\gamma}$  akumulyasiya amili ilə  $P_R$  daşqının qalxma müddəti arasında əlaqə qrafiki

**Cədvəl 7.12**

Vahid hidroqrafın hesablanması

| Nisbi vaxt, $\frac{t}{P_R}$ | Həqiqi vaxt, dəq. | Nisbi su sərfi | Nisbi su sərfərinin cəmi | Vahid hidroqraf, kub.fut/s |
|-----------------------------|-------------------|----------------|--------------------------|----------------------------|
| 0.000                       | 0                 | 0              | 0                        | 0                          |
| 0.125                       | 3.11              | 0.448          | 0.448                    | 17.3                       |
| 0.375                       | 9.33              | 5.800          | 6.248                    | 224                        |
| 0.625                       | 15.55             | 12.700         | 18.948                   | 490                        |
| 0.875                       | 21.77             | 16.350         | 35.298                   | 631                        |
| 1.000                       | 24.900            | 16.850         | -                        | 651                        |
| 1.125                       | 27.99             | 16.250         | 51.548                   | 628                        |
| 1.375                       | 34.21             | 14.200         | 65.748                   | 548                        |
| 1.625                       | 40.43             | 11.100         | 76.848                   | 428                        |
| 1.875                       | 46.65             | 7.970          | 84.818                   | 308                        |
| 2.125                       | 52.87             | 5.570          | 90.368                   | 214                        |
| 2.375                       | 59.29             | 3.560          | 93.928                   | 138                        |
| 2.625                       | 65.51             | 2.28           | 96.208                   | 88                         |
| 2.875                       | 71.73             | 1.410          | 97.618                   | 54.40                      |
| 3.125                       | 77.95             | 0.864          | 98.482                   | 33.30                      |
| 3.375                       | 84.17             | 0.500          | 99.982                   | 19.30                      |

**Qeyd:** 1. a) Vahid hidroqrafın hacmi  $V = 1 \text{ diym} \cdot A \text{ kv mil} \cdot 640 \text{ akr/kv mil} \cdot 12 \text{ diym/fut} \cdot 43560 \text{ kv fut/akr} = 1 \cdot 0.62 \cdot 640 \cdot 43560 / 12 = 14.4 \cdot 10^5 \text{ kub.fut};$   
 b) Ölçüsüz hidroqrafın hacmi  $V_D = \Sigma \text{kub.fut/s} \cdot 0.25 \cdot P_R \cdot 60 \text{ s/dəq} = 0.25 \cdot 24.9 \cdot$

$60 \cdot \Sigma = 373,5 \text{ kub. fut/s}, c) \Sigma = 3860 \text{ kub.fut/s}$

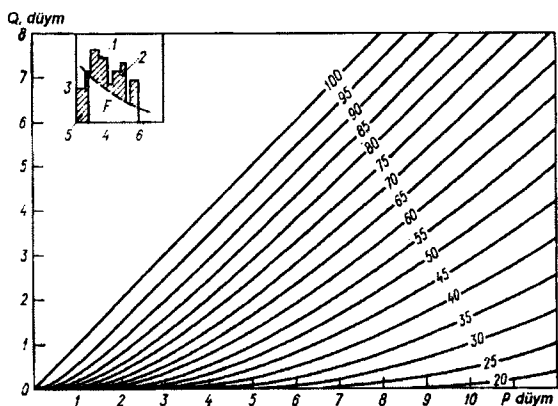
2. 2-ci sütundakı kəmiyyətlər 1-ci sütunun məlumatlarını 24.9-a vurmaqla alınıb.

3. Nisbi sərfin kəmiyyətləri (sütun 3) aşağıdakı tənliyə görə hesablanıb:

$$\frac{Q_t}{P_R} = \frac{25.0(\gamma^q)}{\Gamma(q)} \left( e^{-\frac{T}{P_R}} \right) \left( \frac{t}{P_R} \right)^{q-1}.$$

burada,  $\frac{Q_t}{P_R} - \frac{t}{P_R} - \frac{t}{P_R}$  -in istənilən qiyməti üçün su sərfi (kub.fut/s) ( $0,25P_R$  - zaman vahidinin ortasına aid edilir və ölçüsüz hidroqrafin bütün müddəti üçün belə su sərfərinin cəmə nisbətən faizi ilə ifadə olunur);  $q$  və  $\gamma'$  - forma və miqyas indeksləridir;  $\Gamma$  -  $q$ -nın qamma-funksiyasıdır və  $(q-1)$ -ə bərabərdir;  $e$  - natural loqarifmin əsasıdır;  $P_R$  - hidroqrafin qalxma müddətiidir, dəq.;  $T$  - zamandır, dəq.;  $\gamma'$  və  $q$  - müvafiq diüsturlara görə təyin olunur:  $\gamma' = \gamma \cdot P_R$ ;  $q = 1 + \gamma'$ .

4. Vahid hidroqrafin ordinatları (sütun 5) 3-cü sütundakı kəmiyyətləri  $3860/100$ -a vurmaqla alınıb.



**Şəkil 7.10.** Yağış layına görə daşqının axım layının təyini qrafikləri  
1-yağıntılar; 2-  $P \geq I_N$ ,  $S \geq 1_N + F$  və  $F = P - I_N - Q$  olduqda  
axım layı  $Q = \frac{(P - I_N)^2}{P - I_N + S}$ , burada  $I_N$  - yağıntıların başlangıç itkiləri,  $S$  - cəm  
itkilər,  $F$  - axıməmələgələn dövrdə infiltrasiya itkiləri; 3-yağışın şiddətliyi;

4- zaman; 5- yağıntıların başlangıç itkiləri; 6- infiltrasiya əyrisi. Əyrlərin  
yanında onların nömrələri göstərilmişdir:  $= \frac{1000}{10 + S}$ .

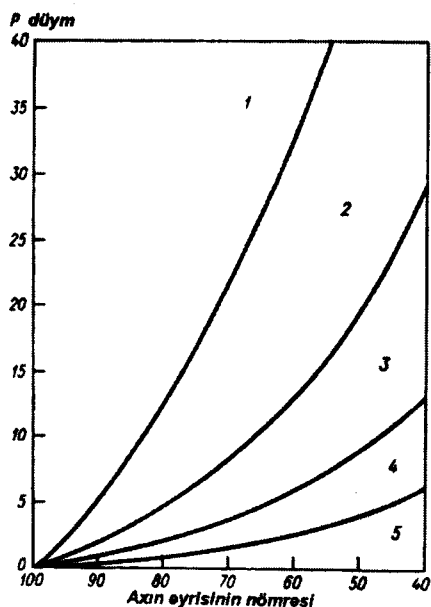
**Misal 7.9.** Sutoplayan qurğunu (b kateqoriyalı) layihələndirmək üçün tələb olunan daşqın hidroqrafını ABŞ-in Torpaqları Mühafizə Xidmətinin SCS üsuluna görə tərtib edin. Sutoplayıcı sahə 1.86 kv.mil, yağış sularının konsentrasiya (yığılma) müddəti 1.25 saat və tələb olunan təkrarlanmaya uyğun yağıntı layı 9.4 düym təşkil edir. 82 № -li axım əyrisindən istifadə edin.

**Həlli:** 1. Yağıntıların sahəyə görə reduksiya əmsalı təyin edilir. Sutoplayıcının sahəsi 10 kv.mil-dən az olduğu üçün bu əmsal vahidə bərabərdir.

2.  $T < 6$  saat olduğundan yağış sularının konsentrasiya (yığılma) müddəti dəqiqləşdirilir.

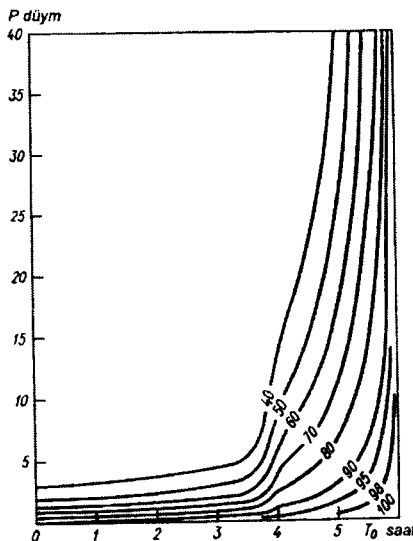
3. Daşqının axım layı  $Q$  şəkil 7.10-a əsasən təyin edilir. 82 № -li əyridən tapırıq ki,  $P=9.4$  düym olduqda,  $Q=7,21$  düym təşkil edir.

4. Şəkil 7.11-ə əsasən hidroqraflar qrupunun nömrəsi təyin olunur. 82 № -li əyriyə uyğun və yağıntı layı  $P=9.4$  düym olan nöqtə sektor 2-də yerləşir, yəni hesablamlalar üçün 2№ -li hidroqraflar qrupu qəbul olunmalıdır.



**Şəkil 7.11. Axım əyrisinin nömrəsi**  
(əyrlər arasında hidroqraflar qrupunun nömrəsi göstərilir)

5.  $P=9,4$  düym olduqda 82 №-li əyri üçün yağıntıların davamıyyəti şəkil 7.12-dən tapılır:  $T_0=5,37$  saat.



Şəkil 7.12. İzafî yağıntıların davamıyyəti ( $T_0$ )

6. Hidroqrafin qalxma müddəti hesablanır:  $T_p=0,7$ ;  $T_k=0,88$  saat.

$$7. \frac{T_0}{T_p} = \frac{5.37}{0.88} = 6.10$$

8.  $T_0/T_p$  nisbətinin düzəliş edilmiş qiyməti xüsusi cədvələ əsasən 6-ya bərabərdir.

$$9. \text{Düzəliş nəzərə alınır: } \frac{T_0}{T_p} = \frac{5.37}{6.10} = 0.895 \text{ saat.}$$

10.  $q_{\max} = 484 \text{ A}/T_p = 1006 \text{ kub.fut/s}$  ( $A$  – sutoplayıcı sahədir).

11.  $Qq_{\max} = (7,21)(1006) = 7250 \text{ kub.fut/s}$  hasılı hesablanır.

12. Sintez olunan hidroqrafin zaman koordinatı saatlarla təyin edilir. Bu məqsədlə, SCS üsulunda istifadə olunan xüsusi cədvəlin (cədvəl 7.13a) 2 №-li əyrlər qrupu üçün  $T_0/T_p=6$  sütunundan uyğun qiymətlər seçilir və düzəliş edilmiş  $T_p$ -yə vurulur (cədvəl 7.13b).

**Cədvəl 7.13a**

SCS üsulunun xüsusi cədvəlinin fragməti ( 2 № -li hidroqraflar qrupu üçün)

| $T_0/T_p = 6$ |                |         |                |
|---------------|----------------|---------|----------------|
| $t/T_p$       | $q_k/q_{\max}$ | $t/T_p$ | $q_k/q_{\max}$ |
| 0             | 0              | 5.44    | 0.152          |
| 0.34          | 0.001          | 5.78    | 0.139          |
| 0.68          | 0.005          | 6.12    | 0.129          |
| 1.02          | 0.015          | 6.46    | 0.113          |
| 1.36          | 0.037          | 6.80    | 0.085          |
| 1.70          | 0.098          | 7.14    | 0.055          |
| 2.04          | 0.244          | 7.48    | 0.035          |
| 2.38          | 0.407          | 7.82    | 0.020          |
| 2.72          | 0.464          | 8.16    | 0.012          |
| 3.06          | 0.429          | 8.50    | 0.008          |
| 3.40          | 0.367          | 8.84    | 0.005          |
| 3.74          | 0.309          | 9.18    | 0.004          |
| 4.08          | 0.261          | 9.52    | 0.003          |
| 4.42          | 0.224          | 9.86    | 0.002          |
| 4.76          | 0.193          | 10.20   | 0.001          |
| 5.10          | 0.169          | 10.54   | 0              |

**Cədvəl 7.13b**

Hidroqrafın ordinatları

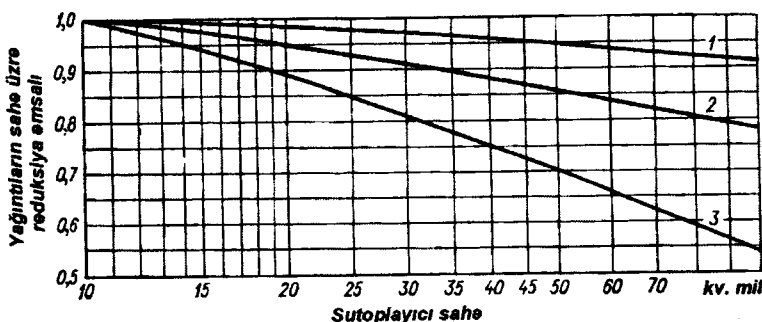
| $\text{№}$ | $t \text{ saat}$ | $q, \text{kub.fut/s}$ | $\text{№}$ | $t \text{ saat}$ | $q, \text{kub.fut/s}$ |
|------------|------------------|-----------------------|------------|------------------|-----------------------|
| 1          | 0                | 0                     | 17         | 4,87             | 1102                  |
| 2          | 0, 30            | 7                     | 18         | 5,17             | 1008                  |
| 3          | 0,61             | 36                    | 19         | 5,48             | 935                   |
| 4          | 0,91             | 109                   | 20         | 5,78             | 819                   |
| 5          | 1,22             | 268                   | 21         | 6,09             | 616                   |
| 6          | 1,52             | 710                   | 22         | 6,39             | 399                   |
| 7          | 1,82             | 1769                  | 23         | 6,69             | 254                   |
| 8          | 2,13             | 2951                  | 24         | 7,00             | 145                   |
| 9          | 2,43             | 3364                  | 25         | 7,30             | 87                    |
| 10         | 2,64             | 3110                  | 26         | 7,61             | 58                    |
| 11         | 3,04             | 2661                  | 27         | 7,91             | 36                    |
| 12         | 3,35             | 2240                  | 28         | 8,22             | 29                    |
| 13         | 3,65             | 1892                  | 29         | 8,52             | 22                    |
| 14         | 3,96             | 1624                  | 30         | 8,82             | 14                    |
| 15         | 4,26             | 1399                  | 31         | 9,13             | 7                     |
| 16         | 4,56             | 1225                  | 32         | 9,43             | 0                     |

13. Hidroqrafın ordinatlarını  $q$  (kub.fut/s) hesablamaq üçün cədvəl 7.13a-dan 2 №-li əyrlər qrupu və  $T_0/T_p=6$ -ya müvafiq  $q_k/q_{max}$  sütununun bütün qiymətlərini  $Qq_{max}$ -un qiymətlərinə vurmaq lazımdır (cədvəl 7.13b).

*Qeyd:* b kateqoriyalı hidrotexniki qurğular əsasən kənd təsərrüfatı rayonlarında inşa olunur. Bu cür qurğularda qəza baş verərsə evlərə, yollara və digər obyektlərə müxtəlif ziyanlar dəyərilər.

**Misal 7.10.** Bəndin yılının anbardakı suyun səviyyəsindən hündürlüyünü təyin etmək üçün hesabi hidroqraf tərtib edin. Qurğu c kateqoriyasına aiddir. Onun sutoplayıcı sahəsi 23,0 kv.mil, yağıntı sularının konsentrasiya (yığılma) müddəti 10,8 saat və yağıntı layı  $P = 25,5$  düym təşkil edir. 77 №-li axım əyrisindən istifadə edin.

**Həlli:** 1. Şəkil 7.13-dəki əyridən istifadə etməklə yağıntıların sahə üzrə reduksiya əmsali təyin edilir. Verilən misalda rütubətli və müləyim-rütubətli iqlim şəraiti üçün reduksiya əmsali 0,93-ə bərabərdir. Yağıntıların dəqiqləşdirilmiş qiyməti  $P=25,5 \cdot 0,93 = 23,72$  düym təşkil edir.



*Şəkil 7.13. Yağıntıların sahəyə görə reduksiya əmsalları*

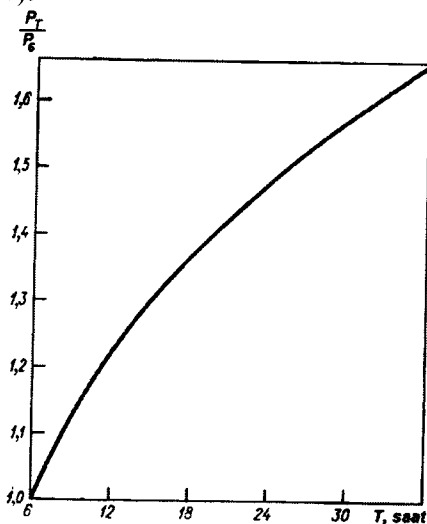
- 1- Sakit okeanın sahillərinin iqlimi üçün; 2- rütubətli və müləyim-rütubətli iqlim üçün; 3- quraq və yarımquraq iqlim üçün.

2. Leysanın davamiyyəti dəqiqləşdirilir.  $T_k > 6$  saat olduğundan, yağışın hesabi davamiyyəti yağıntıların konsentrasiya müddətinə

bərabər qəbul edilir. Şəkil 7.14-ə əsasən 6 saatlıq yağıntı layından 10,8 saatlıq yağıntı layına keçid əmsalı tapılır. Bu əmsal 1,18-ə bərabərdir. Beləliklə, hesabi yağıntılar  $P=23,72 \cdot 1,18=28$  düym təşkil edir.

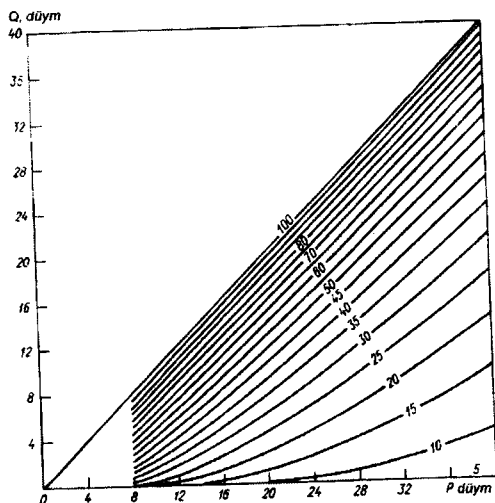
3.  $P=28$  düym olduqda 77 №-li əyriyə görə (şəkil 7.15) daşqının axım layı təyin edilir:  $Q=24,7$  düym.

4. Hidroqraflar qrupu şəkil 7.11-ə əsasən təyin edilir. 77 №-li axım əyrisi və  $P=28$  üçün 1 №-li hidroqraflar qrupu müəyyən olunur (sektor 1).



**Şəkil 7.14.** Yağış layının nisbi artımının yağışın davamiyyətindən asılılıq qrafiki

5. Effektiv yağıntıların davamiyyəti hesablanır. Cədvəl 7.14-ə əsasən 77 №-li əyri üçün yağıntıların başlanğıc itkileri  $P^*=0.60$  düym tapılır. Cədvəl 7.15-dən  $\frac{P^*}{P} = \frac{0.60}{28.0} = 0.0214$  nisbətinə görə yağışın tam davamiyyətinin onun effektiv davamiyyətinə gətirilmə əmsali təyin edilir ki, bu da 0,950-yə bərabərdir. Effektiv yağıntıların hesabi davamiyyəti, vaxtın gətirilmə əmsali ilə leysanın davamiyyətinin hasilinə bərabərdir:  $T_0=0.950 \times 10,8=10,26$  saat.



**Şəkil 7.15.** Yağış layına görə daşqının axım layının təyini qrafikləri  
(Əyrilərin yanındakı rəqəmlər onların hesabi nömrələridir).

**Cədvəl 7.14**

Yağıntıların başlanğıc itkilişleri

| Əyrinin<br>№-si | $P^*$<br>düym | Əyrinin<br>№-si | $P^*$<br>düym | Əyrinin<br>№-si | $P^*$<br>düym | Əyrinin<br>№-si | $P^*$<br>düym | Əyrinin<br>№-si | $P^*$<br>düym |
|-----------------|---------------|-----------------|---------------|-----------------|---------------|-----------------|---------------|-----------------|---------------|
| 100             | 0             | 86              | 0.33          | 72              | 0.78          | 58              | 1.45          | 44              | 2.54          |
| 99              | 0.02          | 85              | 0.35          | 71              | 0.82          | 57              | 1.51          | 43              | 2.64          |
| 98              | 0.04          | 84              | 0.38          | 70              | 0.86          | 56              | 1.57          | 42              | 2.76          |
| 97              | 0.06          | 83              | 0.41          | 69              | 0.90          | 55              | 1.64          | 41              | 2.88          |
| 96              | 0.08          | 82              | 0.44          | 68              | 0.94          | 54              | 1.70          | 40              | 3.00          |
| 95              | 0.11          | 81              | 0.47          | 67              | 0.98          | 53              | 1.77          | 39              | 3.12          |
| 94              | 0.13          | 80              | 0.50          | 66              | 1.03          | 52              | 1.85          | 38              | 3.26          |
| 93              | 0.15          | 79              | 0.53          | 65              | 1.08          | 51              | 1.92          | 37              | 3.40          |
| 92              | 0.17          | 78              | 0.56          | 64              | 1.12          | 50              | 2.00          | 36              | 3.56          |
| 91              | 0.20          | 77              | 0.60          | 63              | 1.17          | 49              | 2.08          | 35              | 3.72          |
| 90              | 0.22          | 76              | 0.63          | 62              | 1.23          | 48              | 2.16          | 34              | 3.88          |
| 89              | 0.25          | 75              | 0.67          | 61              | 1.28          | 47              | 2.26          | 33              | 4.06          |
| 88              | 0.27          | 74              | 0.70          | 60              | 1.33          | 46              | 2.34          | 32              | 4.24          |
| 87              | 0.30          | 73              | 0.74          | 59              | 1.39          | 45              | 2.44          | 31              | 4.44          |

**Cədvəl 7.15**

Yağışın tam davamiyyətinin onun effektiv davamiyyətinə gətirilmə əmsalları  
( $T_0 > 6$  saat olduqda)

| $\frac{P^*}{P}$<br>(başlangıç itki əmsali) | Davamiyyətin gətirilmə əmsali | $\frac{P^*}{P}$ | Davamiyyətin gətirilmə əmsali | $\frac{P^*}{P}$ | Davamiyyətin gətirilmə əmsali | $\frac{P^*}{P}$ | Davamiyyətin gətirilmə əmsali |
|--|-------------------------------|-----------------|-------------------------------|-----------------|-------------------------------|-----------------|-------------------------------|
| 0  | 0.00                          | 0.070           | 0.852                         | 0.140           | 0.746                         | 0.210           | 0.684                         |
| 0.002                                      | 0.995                         | 0.072           | 0.848                         | 0.142           | 0.744                         | 0.212           | 0.682                         |
| 0.004                                      | 0.990                         | 0.074           | 0.844                         | 0.144           | 0.742                         | 0.214           | 0.680                         |
| 0.006                                      | 0.985                         | 0.076           | 0.841                         | 0.146           | 0.740                         | 0.126           | 0.679                         |
| 0.008                                      | 0.981                         | 0.078           | 0.837                         | 0.148           | 0.739                         | 0.218           | 0.677                         |
| 0.010                                      | 0.976                         | 0.080           | 0.833                         | 0.150           | 0.737                         | 0.220           | 0.675                         |
| 0.012                                      | 0.971                         | 0.082           | 0.830                         | 0.152           | 0.735                         | 0.222           | 0.673                         |
| 0.014                                      | 0.967                         | 0.084           | 0.827                         | 0.154           | 0.733                         | 0.224           | 0.672                         |
| 0.016                                      | 0.962                         | 0.086           | 0.824                         | 0.156           | 0.732                         | 0.226           | 0.670                         |
| 0.018                                      | 0.957                         | 0.088           | 0.821                         | 0.158           | 0.730                         | 0.228           | 0.668                         |
| 0.020                                      | 0.952                         | 0.090           | 0.818                         | 0.160           | 0.728                         | 0.230           | 0.667                         |
| 0.022                                      | 0.948                         | 0.092           | 0.815                         | 0.162           | 0.726                         | 0.232           | 0.666                         |
| 0.024                                      | 0.943                         | 0.094           | 0.812                         | 0.164           | 0.724                         | 0.234           | 0.666                         |
| 0.026                                      | 0.938                         | 0.096           | 0.809                         | 0.166           | 0.723                         | 0.236           | 0.665                         |
| 0.028                                      | 0.933                         | 0.098           | 0.806                         | 0.168           | 0.721                         | 0.238           | 0.665                         |
| 0.030                                      | 0.929                         | 0.100           | 0.803                         | 0.170           | 0.719                         | 0.240           | 0.664                         |
| 0.032                                      | 0.924                         | 0.102           | 0.800                         | 0.172           | 0.717                         |                 |                               |
| 0.034                                      | 0.919                         | 0.104           | 0.797                         | 0.174           | 0.716                         |                 |                               |
| 0.036                                      | 0.915                         | 0.106           | 0.794                         | 0.176           | 0.714                         |                 |                               |
| 0.038                                      | 0.911                         | 0.108           | 0.791                         | 0.178           | 0.712                         |                 |                               |
| 0.040                                      | 0.908                         | 0.110           | 0.788                         | 0.180           | 0.710                         | 0.250           | 0.662                         |
| 0.042                                      | 0.904                         | 0.112           | 0.785                         | 0.182           | 0.709                         | 0.300           | 0.651                         |
| 0.044                                      | 0.900                         | 0.114           | 0.782                         | 0.184           | 0.707                         | 0.350           | 0.640                         |
| 0.046                                      | 0.896                         | 0.116           | 0.779                         | 0.186           | 0.705                         | 0.400           | 0.628                         |
| 0.048                                      | 0.893                         | 0.118           | 0.776                         | 0.188           | 0.703                         | 0.450           | 0.617                         |
| 0.050                                      | 0.889                         | 0.120           | 0.773                         | 0.190           | 0.702                         | 0.500           | 0.606                         |
| 0.052                                      | 0.885                         | 0.122           | 0.770                         | 0.192           | 0.700                         | 0.550           | 0.595                         |
| 0.054                                      | 0.882                         | 0.124           | 0.767                         | 0.194           | 0.698                         | 0.600           | 0.583                         |
| 0.056                                      | 0.878                         | 0.126           | 0.764                         | 0.196           | 0.696                         | 0.650           | 0.542                         |
| 0.058                                      | 0.874                         | 0.128           | 0.761                         | 0.198           | 0.695                         | 0.700           | 0.500                         |

|       |       |       |       |       |       |       |       |
|-------|-------|-------|-------|-------|-------|-------|-------|
| 0.060 | 0.870 | 0.130 | 0.758 | 0.200 | 0.693 | 0.750 | 0.447 |
| 0.062 | 0.867 | 0.132 | 0.755 | 0.202 | 0.691 | 0.800 | 0.386 |
| 0.064 | 0.863 | 0.134 | 0.751 | 0.204 | 0.689 | 0.850 | 0.310 |
| 0.066 | 0.859 | 0.136 | 0.749 | 0.206 | 0.687 | 0.900 | 0.220 |
| 0.068 | 0.856 | 0.138 | 0.747 | 0.208 | 0.686 | 0.950 | 0.116 |

6. Daşqın hidroqrafının qalxma müddəti hesablanır:  
 $T_p = 0,7 \cdot T_k = 7,56$  saat.

7.  $T_0/T_p = 10,26/7,56 = 1,357$ . Bu nisbət yuvarlaqlaşdırılır və  $T_0/T_p = 1,5$  qəbul edilir.

8.  $T_p$ -nin düzəliş edilmiş qiyməti tapılır:  $T_p = \frac{10,26}{1,5} = 6,84$  saat.

9.  $q_{\max} = 484 \cdot \frac{23,0}{6,84} = 1628$  kub.fut/s.

10.  $Qq_{\max} = 24,7 \cdot 1628 = 40\ 212$  kub.fut/s .

11. SCS üsulunun xüsusi cədvəlindən (cədvəl 7.16) 1 №-li hidroqraflar qrupu və  $T_0/T_p = 1,5$  üçün  $t/T_p$ -nin qiymətləri götürülərək  $T_p$  kəmiyyətinə vurulur və beləliklə, hidroqrafın absisləri (t saatlar) hesablanır (cədvəl 7.17).

### Cədvəl 7.16

SCS üsulunun xüsusi cədvəlinin fragmenti (1 №-li hidroqraflar qrupu üçün)

| $T_0/T_p = 1,5$ |                |         |                |
|-----------------|----------------|---------|----------------|
| $t/T_p$         | $q_k/q_{\max}$ | $t/T_p$ | $q_k/q_{\max}$ |
| 0               | 0              | 3.52    | 0.090          |
| 0.32            | 0.012          | 3.84    | 0.057          |
| 0.64            | 0.118          | 4.16    | 0.037          |
| 0.96            | 0.377          | 4.48    | 0.024          |
| 1.28            | 0.711          | 4.80    | 0.015          |
| 1.60            | 0.815          | 5.12    | 0.008          |
| 1.92            | 0.719          | 5.44    | 0.004          |
| 2.24            | 0.526          | 5.76    | 0.002          |
| 2.56            | 0.352          | 6.08    | 0.001          |
| 2.88            | 0.225          | 6.40    | 0              |
| 3.20            | 0.143          |         |                |

**Cədvəl 7.17**

Hidroqrafin ordinatları

| <i>Nö</i> | <i>t, saat</i> | <i>q, kub.fut/s</i> | <i>Nö</i> | <i>t, saat</i> | <i>q, kub.fut/s</i> |
|-----------|----------------|---------------------|-----------|----------------|---------------------|
| 1         | 0              | 0                   | 12        | 24.08          | 3619                |
| 2         | 2.19           | 482                 | 13        | 26.26          | 2292                |
| 3         | 4.38           | 4 745               | 14        | 28.45          | 1488                |
| 4         | 6.57           | 15 160              | 15        | 30.64          | 965                 |
| 5         | 8.76           | 28 591              | 16        | 32.83          | 603                 |
| 6         | 10.94          | 32 773              | 17        | 35.02          | 322                 |
| 7         | 13.13          | 28 912              | 18        | 37.21          | 161                 |
| 8         | 15.32          | 21 152              | 19        | 39.40          | 80                  |
| 9         | 17.51          | 14 155              | 20        | 41.59          | 40                  |
| 10        | 19.70          | 9 048               | 21        | 43.78          | 0                   |
| 11        | 21.89          | 5 750               |           |                |                     |

12. Hidroqrafin ordinatlarını  $q$  kub.fut/s hesablamaq üçün cədvəl 7.16-dan götürülmüş  $q_k/q_{\max}$ -qiymətləri  $Qq_{\max}$  hasilinə vurulur (cədvəl 7.17).

## 8. GƏTİRMƏLƏR AXIMI

### 8.1. Gətirmələr axımının hesablanması

Çayların gətirmələr axımı qiymətləndirildikdə ilk növbədə onların il ərzində ölçülmə tezliyi təhlil olunmalıdır. Xüsusilə, çoxsulu fazalarda belə ölçmələrin sayı kifayət qədər olmalıdır. Kiçik çaylarda bulanıqlığın sutkadaxili gedişi, orta və böyük çaylarda (gursulu və daşqın fazalarında) isə sutkalıq gedişi nəzərə alınmalıdır.

Gətirmələr axımının qeydiyyatındakı mövcud boşluqları müəyyən etmək üçün su sərfləri, suyun bulanıqlığı, gətirmələr sərfləri, yağıntılar, torpaq və havanın temperaturu haqqında məlumatlar əsasında kompleks xronoloji qrafiklər qurulmalı və təhlil olunmalıdır.

Gətirmələr axımının çoxillik müşahidə sıralarını təhlil etmək üçün gətirmələr sərfləri ilə su sərfləri arasında əlaqə analiz edilir.

Gətirmələr axımı üzərində müşahidə dövrü 15-20 ildən artıq olduqda və ölçülmüş gətirmələr sərfləri təminat əyrisinin 5-95% intervalını əhatə etdikdə, belə sira reprezentativ hesab olunur. Əgər, bu şərtlər ödənilmirsə, onda müşahidə sırası qısa sayılır.

Müşahidə məlumatları kifayət qədər olduqda asılı gətirmələr sərfinin təminatlı qiymətləri üç əsas paramet -orta kəmiyyət,  $Q_g$ , variasiya,  $C_v$  və asimmetriya,  $C_s$ , əmsallarına görə hesablanır. Analitik təminat əyrisi kimi daha çox binomial əyridən istifadə olunur. Əsas parametrlər G.A.Alekseyevin qraf-analitik üsuluna görə də qiymətləndirilə bilər. Gətirmələr axımının normasının,  $Q_g$ , hesablanması dəqiqliyi  $\sigma_{Q_g} \leq 15\%$  olmalıdır.

Müşahidə məlumatları kifayət qədər olmadıqda asılı gətirmələr axımının norması su sərfinin normasına görə təyin edilir:

$$\bar{Q}_g = \frac{Q_g \bar{Q}}{\bar{Q}}, \quad (8.1)$$

burada  $\bar{Q}_g$  və  $\bar{Q}$  -müvafiq olaraq gətirmələr və su sərfinin

norması;  $Q_g$  və  $Q$ -paralel müşahidələr dövrü üçün müvafiq olaraq gətirmələr və su sərfinin orta qiymətidir.

Variasiya əmsalı analogiya üsuluna görə təyin olunur. Əgər, etibarlı analoq çay yoxdursa, onda hidroloji rayon üçün təyin olunmuş orta qiymət qəbul oluna bilər. Bu əmsalı empirik əlaqələrə görə də qiymətləndirmək olar. Asimetriya əmsalinin variasiya əmsalına nisbəti 2-yə bərabər qəbul olunur.

Müşahidə dövrü 15 ildən qısa, lakin kifayət qədər six  $Q_g = f(Q)$  olduqda  $\bar{Q}_g$  bu əlaqəyə görə də hesablana bilər.

Etibarlı analoq çay olduqda qısa sıra uzadıla bilər.

Müşahidə məlumatları olmadıqda hesablamalar asılı gətirmələr axımının əsas fiziki-coğrafi amillərdən asılılıq əlaqələrinə və ya bulanıqlıq haqqında məlumatlara görə yerinə yetirilir. Məsələn, Q.V.Lopatin aşağıdakı düsturu təklif etmişdir:

$$Q_g = K a^b I^n L^m, \quad (8.2)$$

burada  $Q_g$  - bir leysan ərzində çay sutoplayıcısından gətirmələr sərfi,  $kq/s$ ;  $a$ -leysanın intensivliyi;  $I$  və  $L$ -müvafiq olaraq yamacın meyilliyi və uzunluğu;  $K, b, n$  və  $m$  rayon parametrləridir.

K.N.Lisitsinanın düsturu aşağıdakı kimidir:

$$M_g = b I_1 I_2^{2.5}, \quad (8.3)$$

burada  $M_g$  - gətirmələrin axım modulunun orta çoxillik kəmiyyəti,  $kq/s \cdot km^2$ ;  $I_1$ -çayın orta meyilliyi;  $I_2$ -sutoplayıcının orta meyilliyi;  $b$ -torpaq-süxur örtüyündən asılı olan əmsaldır.

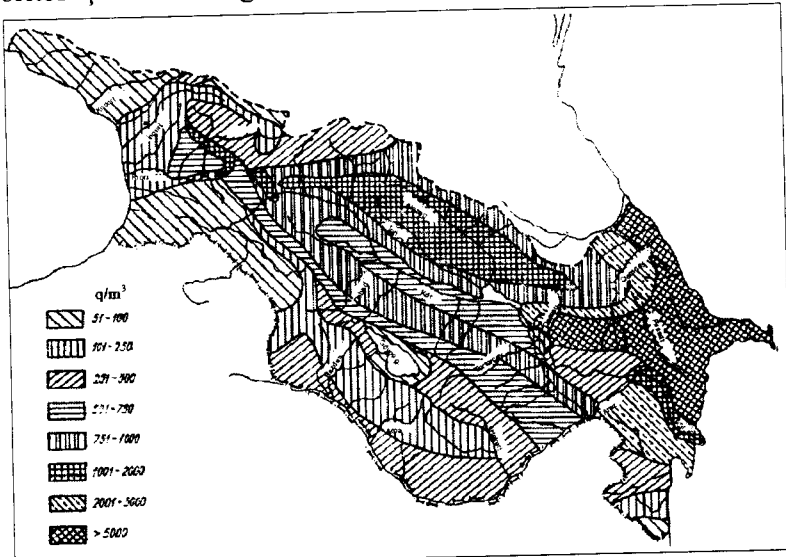
Bulanıqlıq haqqında məlumatlardan istifadə etdikdə gətirmələr axımı aşağıdakı düstura görə hesablanır:

$$\bar{Q}_g = 10^{-3} S_0 Q_0, \quad (8.4)$$

burada  $S_0$ -suyun bulanıqlığının orta çoxillik qiymətidir,  $q/m^3$ .

Bulanıqlıq interpolasiya üsulu ilə və ya xəritəyə görə təyin

olunur. Bulanıqlıq xəritəsi orta və böyük çayların məlumatları əsasında tərtib olunur. Xəritədə müəyyən bulanıqlıq qradasiyalara uyğun zonalar göstərilir. Bulanıqlıq ərazi üzrə coğrafi zonallığa uyğun paylanır. Lakin kiçik çayların bulanıqlığı daha çox yerli amillərdən asılıdır. Cənubi Qafqaz çaylarının bulanıqlıq xəritəsi şəkil 8.1-də göstərilmişdir.



*Səkil 8.1. Cənubi Qafqaz çay sularının bulanıqlıq xəritəsi*

Axım xəritələri ilə müqayisədə bulanıqlıq xəritələrinin dəqiqliyi azdır. Bu onunla izah olunur ki, su sərfi ilə müqayisədə bulanıqlıq ölçülən məntəqələrin sayı azdır və müşahidə sıraları daha qıсадır. Buna görə də hidroloji hesablamalarda  $\bar{Q}_g = f(Q)$  əlaqələrinə üstünlük verilməlidir.

Müşahidə məlumatları olmadıqda asılı gətirmələrin variasiya əmsali,  $C_{V_s}$ , analogiya üsuluna və ya gətirmələr və su sərfərinin variasiya əmsalları arasında rayon əlaqəsinə görə təyin olunur. Variasiya əmsalinin sutoplayıcının orta hündürlüyündən asılılıq əlaqəsindən də istifadə etmək olar.

Asimetriya əmsalı  $C_s=2C_v$  nisbətinə görə qiymətləndirilir.

Həm dağ, həm də düzənlək çaylarında gətirmələr axımının əsas hissəsi asılı gətirmələrin payına düşür. Məsələn, Azərbaycan çaylarında asılı gətirmələrin payı 74-94% təşkil edir (Axundov, 1978). Düzən çaylarında dib gətirmələrinin miqdarı 1-10% arasında dəyişir. Dib gətirmələrinin axımı daşqınlar zamanı 20-30%, aralıq fazada isə 10%-ə yaxındır (Axıncaçay, Xaçınçay, Qoşqarçay).

Axının sürəti azaldıqda nisbətən iri gətirmələr çökür və akumulyativ məcra formaları əmələ gətirir. Dib gətirmələri su anbarlarının lillənməsi və aşağı byeflərdə rejimin hesablanmasında da nəzərə alınır. Asılı gətirmələrlə müqayisədə dib gətirmələri haqqında müşahidə məlumatları daha azdır və onların ölçülmə dəqiqliyi də aşağıdır. Bu onunla izah olunur ki, ölçmələrdə istifadə olunan cihazlar mükəmməl deyil və onlar ölçmələr zamanı dib gətirmələrinin təbii hərəkət rejimini pozur.

Dib gətirmələri üzərində müşahidələrin davamiyyəti 10 ildən artıq olduqda orta sutkalıq dib gətirmələri,  $Q_d$ , və su sərfləri arasında əlaqə qrafiki  $Q_d=f(Q)$  qurulur. Bu əlaqə qrafikindən və ya onun analitik ifadəsindən istifadə edərək su sərfinin müxtəlif təminatlı kəmiyyətlərinə görə dib gətirmələrinin müvafiq qiymətlərini hesablamaq olar.

Müşahidələrin davamiyyəti 10 ildən çox olduqda, məlumatların keyfiyyəti qənaətbəxşdirə, onda sıranın bütün parametrləri və dib gətirmələrinin ildaxili paylanması faktiki müşahidə məlumatlarına görə də yerinə yetirilə bilər.

Müşahidə məlumatları kifayət qədər və ya heç olmadıqda hesablamalar gətirmələrin qranulometrik tərkibini nəzərə alan düsturlara görə yerinə yetirilir. Bu düsturlar ümumi nəzəri əsasa malik olsalar da, onların parametrləri laboratoriya şəraitində yerinə yetirilmiş eksperimentlər nəticəsində alınmışlar. Eksperimentlər məhdud dərinliklərdə və çox zaman bircins tərkibli gətirmələrlə aparıldıqdan, mövcud düsturlar təbii məcralarda gətirmələrin hərəkət şəraitini tam nəzərə almır.

Dib gətirmələri sərfi ümumi halda aşağıdakı düstura görə təyin

olunur:

$$q_d = hp(v - v_b), \quad (8.5)$$

burada  $q_d$ -en kəsiyin vahid sahəsindən keçən gətirmələr sərfi;  $h$ -gətirmələrin hərəkət etdiyi axının dərinliyi;  $p$ -vahid sahədə gətirmələrin orta kəmiyyəti;  $v$ -suyun orta hərəkət sürəti;  $v_b$ -gətirmələrin hərəkətə gəldiyi böhran sürətdir.

V.N.Qonçarovun düsturu aşağıdakı kimidir;

$$q_d = 2,08 \left( \frac{v}{v_b} \right)^3 \left( \frac{d}{h} \right)^{0,1} (v - v_b), \quad (8.6)$$

burada,  $q_d$ -axının 1m enindən keçən gətirmələr sərfi,  $\text{kq/s}$ ;  $d$ -gətirmələrin orta diametridir.

Dib gətirmələri sərfini hesablamaq üçün təklif olunan bəzi düsturlar fərqli struktura malikdir:

$$q_d = 24Qi \left( \frac{d_{\max}}{d} - 1 \right), \quad (8.7)$$

burada  $Q$ -su sərfi;  $i$ -meyillik;  $d_{\max}$ -gətirmələrin maksimal diametridir.

## 8.2. Su anbarlarının lillənməsinin hesablanması

Su anbarlarının lillənmə və istismar müddəti hesablaşdırıldıqda anbara tökülen bütün çayların asılı və dib gətirmələri, həmçinin anbarın sahillərinin dağıılması nəticəsində əmələ gələcək materiallar haqqında məlumatlar toplanmalıdır. Sahillərin dağıılması nəticəsində yaranacaq çöküntülərin miqdarı su anbarı layihələndirilən çay hissəsinin topoqrafik xarakteristikalarına, hakim külləklərin istiqamət və sürətinə, dağlıcı dalğaların parametrlərinə görə və mümkün sürüşmə təhlükəsini nəzərə almaqla qiymətləndirilir.

Aşağı byefdə çayın rejimini hesablamaq üçün də su anbarında akumulyasiya olunan gətirmələrin tərkibini və miqdarını bilmək lazımdır.

Ümumiyyətlə, su anbarlarının lillənməsinin hesablanması kifayət qədər mürəkkəb prosesdir və bu hesablamaları tam həcmində yerinə yetirmək üçün çoxsaylı hidrometeoroloji, geoloji, geomorfoloji və s. məlumatlar tələb olunur.

Su anbarlarının orta lillənmə müddətini aşağıdakı düstura görə hesablamaq olar:

$$T = \frac{W_{\delta}}{W_g(1-\delta)}, \quad (8.8)$$

burada T-su anbarının orta lillənmə müddəti;  $W_{\delta}$ -anbarın ölü həcmi;  $W_g$ - 1 ildə anbara daxil olan gətirmələrin orta çoxillik kəmiyyəti;  $\delta$ -gətirmələrin anbardan çıxan (tranzit) hissəsidir.

Su anbarına daxil olan gətirmələrin orta çoxillik kəmiyyəti belə hesablanır:

$$W_g = \frac{Q_g \cdot 31,5 \cdot 10^3}{\beta}, \quad (8.9)$$

burada  $Q_g$ - orta çoxillik gətirmələr sərfi,  $\text{kq/s}$ ;  $\beta$ -dib çöküntülərinin orta sıxlığıdır,  $\text{t/m}^3$ .

Dib çöküntülərinin orta sıxlığı, onların qranulometrik tərkibindən asılıdır və  $0,7-2,2 \text{ t/m}^3$  arasında dəyişir.

Düzənlik çayları üçün su anbarından çıxan tranzit gətirmələrin payı ümumi gətirmələrin  $30-40\%-ni$  ( $\delta=0,3-0,4$ ) təşkil edir.

**Misal 8.1.** Layihələndirilən su anbarının ölü həcmi  $W_{\delta}=6,9 \cdot 10^8 \text{ m}^3$ , orta çoxillik su sərfi  $Q_0=2500 \text{ m}^3/\text{s}$ , suyun orta çoxillik bulanıqlığı  $S_0=85 \text{ q/m}^3$ , gətirmələrin orta sıxlığı  $\beta=1,30 \text{ t/m}^3$ , dib gətirmələri asılı gətirmələrin  $5\%-ni$  və tranzit gətirmələrin payı isə  $\delta=0,3$  təşkil edir. Su anbarının orta lillənmə müddətini təyin edin.

**Həlli:** 1.Aşılı gətirmələrin orta çoxillik həcmi hesablanır:

$$W_a = \frac{S_0 Q_0 \cdot 31,5}{\beta} = \frac{85 \cdot 2500 \cdot 31,5}{1,3} = 5,12 \cdot 10^6 \text{ m}^3/\text{il}$$

2. Dib gətirmələrinin həcmi qiymətləndirilir:

$$W_d = 5,12 \cdot 10^6 \cdot 0,05 = 0,256 \cdot 10^6 \text{ m}^3/\text{il}$$

3. Gətirmələrin ümumi həcmi təyin olunur:

$$W_g = W_a + W_d = 5,38 \cdot 10^6 \text{ m}^3/\text{il.}$$

4. Su anbarının orta lillənmə müddəti tapılır:

$$T = \frac{W_g}{W_g(1-\delta)} = \frac{6,9 \cdot 10^8}{5,38 \cdot 10^6 (1-0,3)} = 184 \text{ il.}$$

### **8.3. Sel daşqınlarının hesablanması**

Sel daşqınlarının çay məcrasına, sahil zonanın infrastrukturunu qorumaq üçün inşa edilən hidrotexniki qurğulara dinamiki təsirini müəyyən edən əsas parametrlər sel axınının sıxlığı, sürəti, sərfi, gətirmələrin həcmi və onların qranulometrik tərkibidir.

Sel axınının minimal sıxlığı  $1100 \text{ kq/m}^3$  hesab olunur. Maksimal sıxlıq  $2000 \text{ kq/m}^3$  və daha çox olur.

Sel axınlarının sürəti axının gücü və meyillikdən asılı olaraq  $2-10 \text{ m/s}$  və daha çox olur. Sellərin maksimal sərfi bir neçə min kub. metrə çatır. Sel daşqınlarının və onların gətirdiyi bərk materialların həcmi milyon kub. metrlərlə ölçülür.

Sel daşqınları qəfil keçdiyinə, qısa müddətli və böyük dağıdıcı gücə malik olduğuna görə, onların kəmiyyət göstəricilərini təyin etmək çox mürəkkəb məsələdir. Sel axınları üçün ənənəvi hidrometrik metodlardan istifadə etmək qeyri-mümkündür. Sel hövzələri yerüstü tədqiqat metodları ilə öyrənilir: sel ocaqları, onun hərəkət yolları, məcranın parametrləri və s.müəyyən edilir. Beləliklə, artıq keçmiş sel və onun yaranma şəraiti haqqında informasiya toplanır.

Aerokosmik tədqiqat metodlarından və meteoroloji radioləkatorlardan istifadə çox effektivdir. Bu metodlar sel təhlükəli zonaları, həmçinin sel hadisəsinin miqyasını və ümumi qanunauyğunluqlarını təyin etməyə imkan verir.

Sel axınının ən mühüm parametrlərindən biri onun hərəkər sürətidir. Selin sərfinin, nəqletmə qabiliyyətinin və dinamiki təsirinin düzgün qiymətləndirilməsi məhz bu parametrdən asılıdır.

Selin hərəkətinin fiziki modeli çox mürəkkəb olduğuna görə onun orta sürətini hesablamaq üçün nəzəri cəhətdən kifayət qədər əsaslandırılmış düstur almaq çox çətindir. Hazırda, təxminin hesablamalar üçün strukturu Şezi düsturuna yaxın olan düsturlardan istifadə edilir. Bu düsturlarda təbii sel məlumatlarına əsasən müqavimət əmsalı dəqiqləşdirilmişdir. Belə düsturlardan birini I.I.Xerxeulidze (Херхеулидзе, 1967) təklif etmişdir:

$$v = 11,4h^{1/2}(iw)^{1/3}, \quad (8.10)$$

burada  $v$  -axının orta sürəti m/s;  $h$  -axının orta dərinliyi;  $i$  -axın səthinin uzununa meyilliyi;  $w$  - sel kütləsinin axıcılıq əmsalıdır.

Sel kütləsinin axıcılıq əmsalı öz növbəsində aşağıdakı düstura görə təyin olunur:

$$w = 1 - \frac{S_0}{S_m}, \quad (8.11)$$

burada  $S_0$  -axında bərk materialın həcmi qatılığı;  $S_m$  -həcmi qatılığın maksimal kəmiyyətidir (bu qiymətdə sel kütləsi axıcılığını itirir).

Xerxeulidzenin tədqiqatlarına görə  $S_m=0,705$ .  $S_0$  - parametriinin hesabi qiyməti hövzənin sellilik parametrinə, əsas məcranın meyilliyyinə və maksimal sərfin təminatına görə təyin olunur. Bu parametrin qiymətləri xüsusi cədvələ görə tapıla bilər (Сток Наносов..., 1977).

Palçıqlı və palçıqlı-daşlı sel axınlarının orta sürətini hesablamaq üçün V.V.Qolubtsov (Голубцов, 1969) aşağıdakı düsturu

təklif edir:

$$v = 3,75 h^{1/2} i^{1/6}. \quad (8.12)$$

Q.I.Şamovun (Шамов, 1959) düsturunda axın sürətinin əsas parametrlərindən biri selin nəql etdiyi ən iri daşların diametridir:

$$v = 4,7 h^{1/6} d^{1/3} \sqrt{\frac{\rho_d - \rho_s}{\rho_s}}, \quad (8.13)$$

burada  $\rho_d$ -daşqının sıxlığı;  $\rho_s$ - sel kütləsinin sıxlığı;  $d$ -axının nəql etdiyi ən iri daşların diametridir.

Axırıncı düsturdan təcrübədə az istifadə olunur, çünki ən iri daşların ölçülərinin təyini subyektiv xarakter daşıyır. Bu tip düsturlar yalnız axının orta sürətinin başqa düsturlarla hesablanmış qiymətlərinin nə dərəcədə həqiqətə yaxın olduğunu müəyyən etmək üçün istifadə olunur.

Sel axınının maksimal su sərfi sel daşqınının izinə görə daha etibarlı təyin oluna bilər. Bu məqsədlə çay dərəsinin daha dayanıqlı, az yuyulan hissəsində axının təzə izləri aşkar edilir. Sonra isə axının en kəsik sahəsi və çay hissəsində uzununa meyillik təyin olunur. Dolayı əlamətlərə görə sel kütləsinin sıxlığı müəyyən edilir və selin gətirdiyi ən iri daşların diametri ölçülür. Bu məlumatlar əsasında yuxarıdakı düsturlardan birinə görə axının orta sürəti, sonra isə "sürət-sahə" üsuluna görə maksimal su sərfi hesablanır.

Hazırda yağış mənşəli sel daşqınlarının maksimal sərfini və həcmini hesablamaq üçün dolayı metod işlənmişdir. Sel daşqınının həcmi,  $W_{sel}$ , yağış daşqınının həcmi,  $W_{su}$ , və daşqın ərzində gətirmələrin həcmi qatılığının orta kəmiyyətinə,  $\bar{S}_0$ , görə qiymətləndirilir:

$$W_{sel} = W_{su} \cdot \frac{1}{1 - \bar{S}_0}. \quad (8.14)$$

Daşqın üçün gətirmələrin həcmi qatılığının orta qiyməti  $\bar{S}_0$ , daşqının pik fazasındaki maksimal qatılıqdan  $S_0$  kiçikdir ( $\bar{S}_0 < S_0$ ). Həcmi qatılığın bu iki göstəricisi arasında əlaqə aşağıdakı kimiidir:

$$\bar{S}_0 = 1,06S_0^{1,25}. \quad (8.15)$$

Sel daşqınının gətirdiyi bərk materialların həcmi aşağıdakı düstura görə hesablanır bilər:

$$W_{bm} = \bar{S}_0 W_{sel}. \quad (8.16)$$

## **9. EKOLOJI AXIMIN TƏYINI METODLARI**

Su ehtiyatlarından qeyri-səmərəli istifadə çayların ekoloji və ziyyətinə mənfi təsir edir, çay ekosistemlərində gedən maddə və enerji mübadiləsini pozur. Çay hövzələrindəki təsərrüfat fəaliyəti ilk növbədə çay ekosisteminin abiotik xüsusiyyətlərinə təsir göstərir, onun su, termik, radasiya rejimini, gətirmələr sərfini və məcra proseslərini dəyişdirir. Çayın hidroloji rejimində baş verən dəyişikliklər son nəticədə ekosistemin biotik xüsusiyyətlərində əks olunur.

Caylardan götürülən suyun miqdarı elə müəyyən olunmalıdır ki, məcrada qalan su çayda baş verən ekoloji proseslərə çox ciddi təsir etməsin, hidrobiontların (su canlılarının) yaşayış və inkişafını təmin edə bilsin. Başqa sözlə, çay məcrasına hər hansı bir miqdarda çirkab sular atılarkən, yaxud məcradan hər hansı bir miqdarda su götürülərkən ekoloji axımın qiyməti təmin olunmalıdır.

Ekoloji axım dedikdə çay axımının elə bir kəmiyyət və keyfiyyət göstəricisi nəzərdə tutulur ki, sudan istifadə zamanı çay ekosistemində güclü keyfiyyət dəyişmələri baş vermir və çay, landşaft elementi kimi qorunub saxlanılır.

Hazırda müxtəlif tədqiqatçılar ekoloji axım anlayışını ifadə etmək üçün müxtəlif terminlərdən istifadə edirlər: "sanitar axım", "minimal qəbul olunan axım", "mühit axımı", "ətraf mühit axımı", "ekoloji axım" və s. Terminlərin müxtəlifliyi və tədqiqat metodlarının çoxsaylı olmasına baxmayaraq, demək olar ki, bütün hallarda ekoloji axım çay axımının məcrada saxlanması zəruri olan hissəsi kimi qəbul edilir.

Ekoloji axımın kompleks şəkildə tədqiq olunmasına ötən əsrin 40-ci illərindən ABŞ-da başlanılıb. Geniş istifadə olunan ilk metodlardan biri balıqcılıq məqsədləri üçün nəzərdə tutulan Konnektikut metodudur. Montana metodu kimi tanınan başqa bir metod 1975-ci ildə işlənib və başlıca olaraq balıq və digər canlıların həyat mühitini təmin etmək məqsədi daşıyırı.

Keçmiş SSRİ-də ekoloji axımın tədqiqinə XX əsrin 70-ci illərində başlanıb. Bu metodlar əsasən təbii rejimi tənzimlənən çayların bənddən aşağı byeflərində sanitar suburaxmaları təmin etmək üçün işlənmişdir.

Ekoloji axımı hesablamaq üçün işlənmiş metodların geniş təsnifatını R.E.Tharme (Tharme, 2003) vermişdir. O, dünyanın müxtəlif regionları üzrə 207 metodu təhlil edərək, onları dörd qrupa-hidroloji, yaşayış mühitini modelləşdirmə, hidroavlik qiymətləndirmə və holistik metodlara bölmüşdür. Lakin, bu icmal keçmiş SSRİ-də işlənmiş metodları əhatə etmir. Artıq həmin ərazidə işlənmiş metodların da təhlili yerinə yetirilmişdir (Иманов, 2000).

Qeyd etmək lazımdır ki, təklif olunan metodlardan hər birinin öz mənfi və müsbət cəhətləri vardır. Əsas problem ondan ibarətdir ki, hesablamlar zamanı çay hövzəsinin hidroekoloji və digər xüsusiyyətləri haqqında lazım olan məlumatları əldə etmək çətin, çox vaxt isə qeyri-mümkün olur.

Keçmiş SSRİ-də çayların ekoloji axımını hesablamaq üçün Belorusiyanın Mərkəzi Elmi Tədqiqat Su Ehtiyatlarının Kompleks İstifadəsi İnstitutunun tövsiyələrindən istifadə edildirdi:

-kiçik çaylar (orta illik su sərfəri,  $1 \text{ m}^3/\text{s}\cdot\text{dək}$  olan) üçün minimal aylıq axımın 95% təminatlı kəmiyyəti;

-orta çaylar üçün minimal aylıq axımın 95% təminatlı kəmiyyətinin 75%-i ekoloji axım qəbul olunurdu.

Qafqaz, o cümlədən Azərbaycan çaylarının ekoloji axımını hesablamaq üçün təklif olunan metod müşahidə məlumatları əsasında tərtib olunmuş hidroloji sıralara görə ekoloji axımın qiymətini hesablamağa imkan verir (Иманов, 2000).

Bu metodun tətbiqi zamanı qəbul olunan ilkin şərtlər aşağıdakılardır:

1. Ekoloji axımın qiyməti çayın bir landşaft elementi kimi qorunub saxlanması və hidrobiontlar üçün yaşayış mühitinin təmin olunmasına şərait yaratmalıdır.
2. Ekoloji axım elə bir qiymətə bərabər olmalıdır ki, bu

qiymətdə çay ekosistemi artıq təbii şəraitdə mövcud olmuşdur.

- Ekoloji axımın qiyməti bütün il üçün eyni qəbul edilə bilməz və hər bir təqvim ayı üçün müxtəlif olmalıdır.

Metodun tətbiqi aşağıdakı ardıcılıqla həyata keçirilir:

- Hər bir təqvim ayı üçün orta aylıq su sərflərinin çoxillik müşahidə sıraları tərtib olunur.
- Çayın təbii rejiminə antropogen amillərin təsirinin başlangıç ili müəyyən olunur (bax bölmə 10.2-yə). Müşahidə sıraları iki dövrə-təbii (şərti təbii) rejimi əks etdirən və antropogen amillərin təsirinin əhəmiyyətli olduğu dövrlərə bölünür.
- Təbii rejimi əks etdirən müşahidə sıralarından hər bir təqvim ayı üçün müşahidə olunmuş ən kiçik su sərfləri ( $Q_{\min}$ ) tapılaraq ilkin yanaşmada ekoloji axım ( $Q_{ek}^*$ ) kimi qəbul olunur:

$$Q_{ek}^* = Q_{\min} \quad (9.1)$$

- Ekoloji axımın ilkin qiyməti antropogen amillərin təsirinin mövcud olduğu müşahidə dövrünün orta aylıq su sərfləri ( $Q_{müs}$ ) ilə müqayisə olunur. Əgər,

$$Q_{müs} \geq Q_{ek}^* \quad (9.2)$$

şərti ödənilirsə, çayın ekoloji vəziyyəti qənaətbəxş, ödənilmirse, qeyri-qənaətbəxş hesab olunur.

- Hər bir ay üçün mümkün sugötürmənin ( $Q_{ms}$ ) qiyməti təbii halda müşahidə olunan su sərfi ( $Q_{ib}$ ) ilə ekoloji axım arasındakı fərqə görə tapılır:

$$Q_{ms} = Q_{ib} - Q_{ek}^*. \quad (9.3)$$

Yuxarıda qeyd olunduğu kimi, ilkin yanaşmada ekoloji axım kimi, təbii rejimə müvafiq olan sıradə müşahidə olunmuş ən kiçik qiymət qəbul edilir. Lakin məlumdur ki, çay axımı çoxillik dövr ərzində tərəddüd edir. Belə ki, coxsulu və azsulu illər növbələnir.

Bu səbəbdən ekoloji axım hesablanarkən çay axımında gələcəkdə baş verməsi mümkün ola biləcək tərəddüdlər nəzərə alınmalıdır. Yəni, gələcəkdə, təbii rejim şəraitində elə bir su sərfi müşahidə oluna bilər ki, onun qiyməti baxılan ayın  $Q_{\min}$  qiymətindən kiçik olsun. Buna görə də  $Q_{ek}^*$  qiyməti hər hansı bir  $\Delta Q_1$  kəmiyyəti qədər azaldılmalıdır. Eyni zamanda baxılan ayın ayrı-ayrı günlərində müşahidə olunan su sərflərinin qiyməti də  $Q_{ek}^*$  kəmiyyətinin qiymətindən kiçik ola bilər. Buna görə də  $Q_{ek}^*$  qiyməti, əksinə, hər hansı bir  $\Delta Q_2$  kəmiyyəti qədər artırılmalıdır.

Yuxarıda qeyd olunanları nəzərə almaqla, ekoloji axımı hesablamaq üçün aşağıdakı düstur təklif olunur:

$$Q_{ek} = Q_{\min} - \Delta Q_1 + \Delta Q_2, \quad (9.4)$$

burada  $Q_{ek}$ -ekoloji axım;  $Q_{\min}$ -təbii rejim dövrü üçün orta aylıq su sərfləri sırasının ən kiçik qiyməti;  $\Delta Q_1$ -müşahidə sırasındaki ən kiçik qiymətin mümkün təbii azalması;  $\Delta Q_2$ -konkret ayda sutkalıq su sərflərinin mümkün azalmasıdır.

Azərbaycan çayları üçün  $\Delta Q_1$  və  $\Delta Q_2$ -nin qiymətləri hesablanmışdır.

Qeyd etmək lazımdır ki, yay-payız və qış azsulu dövrlərin minimal su sərfləri müşahidə olunan ayları üçün bu metod ilə hesablanmış ekoloji axımın qiymətləri minimal qış və yay-payız axımının 93.3-97.5% təminatlı qiymətlərinə uyğun gəlir.

Minimal su sərfləri başlıca olaraq yeraltı suların hesabına formalasdıqlarına görə bircins hidroloji rayonlarda minimal axım norması ilə minimal su sərflərinin mütxəlif təminatlı qiymətləri arasında sıx əlaqə olur. Bu isə o deməkdir ki, belə rayonlar üçün  $\bar{Q}_{\min} = f(F)$  əlaqəsi kimi  $Q_{ek} = f(F)$  əlaqəsi də qurula bilər və axırından istifadə etməklə müşahidə məlumatları olmayan çayların ekoloji axımını təyin etmək olar.

Hazırda Qərb ölkələrində, o cümlədən 25-dən artıq Avropa ölkəsində ekoloji axımın kəmiyyətini təyin etmək üçün Montana

metodu geniş tətbiq olunur (Tennant, 1975). Bu metod ilə qiymətləndirmə aşağıdakı cədvəlin məlumatlarına görə yerinə yetirilir (cədvəl 9.1).

**Cədvəl 9.1**

Tennant metodу ilə çayların ekoloji vəziyyətinin qiymətləndirilməsi

| Nº | Çayın ekoloji vəziyyəti | Axımın təklif olunan qiymətləri, %<br>Oktyabr-mart | Axımın təklif olunan qiymətləri, %<br>Aprel-sentyabr |
|----|-------------------------|--|--|
| 1  | Optimal                 | 60-100%  | 60-100%  |
| 2  | Çox əla                 | 40%  | 60%  |
| 3  | Əla                     | 30%  | 50%  |
| 4  | Yaxşı                   | 20%  | 40%  |
| 5  | Kafı                    | 10%  | 30%  |
| 6  | Pis                     | 10%  | 10%  |
| 7  | Deqradasiyaya uğramış   | <10%   | <10%   |

Bu cədvəldən göründüyü kimi, Tennant metodu çay sularından müxtəlif məqsədlər üçün istifadə edərkən məcrada saxlanılan suyun miqdarına görə çayın ekoloji durumunu qiymətləndirməyə imkan verir. Bu metodun Azərbaycan çaylarına tətbiqi göstərmüşdür ki, ekoloji axımın kəmiyyəti illik axımın təqribən 23%-ni təşkil edir.

Tennant metodu ilə hesablamalar aşağıdakı ardıcılıqla yerinə yetirilir:

1. Hesablamalar su təsərrüfatı ili üçün aparılır. Çayın su rejimi iki bərabər dövrə bölünür. Birinci dövr aprel-sentyabr, ikinci dövr isə oktyabr-mart aylarını əhatə edir.
2. Hər bir təqvim ayı üçün orta çoxillik su sərfi hesablanır.
3. Hər bir dövr üçün (aprel-sentyabr və oktyabr-mart) ayrılıqda orta çoxillik orta su sərfi təyin olunur.
4. Hər bir dövr üçün orta çoxillik su sərfinin ayrılıqda 10, 20, 30, 40%-i və s. (bax cədvəl 9.1) hesablanır.
5. Orta çoxillik su sərflerinin 10, 20, 30, 40%-li və s.

qiymətləri konkret ilin müvafiq dövrlərində müşahidə olunmuş su sərfləri ilə müqayisə olunur və çayın ekoloji vəziyyəti qiymətləndirilir.

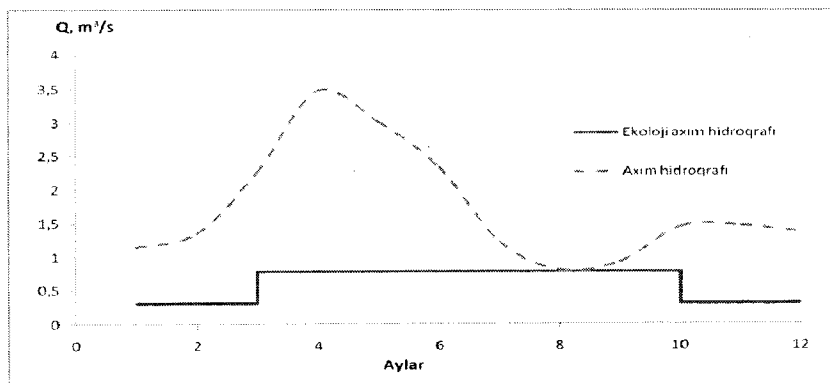
**Misal 9.1.** Ağsu çayının (Ağsu məntəqəsində) Tennant metoduna görə ekoloji axımı hesablayın və onun hidroqrafını tərtib edin.

**Həlli.** Tennant metoduna görə ekoloji axımın hesablanması aşağıdakı ardıcılıqla yerinə yetirilir:

1. Ağsu çayının Ağsu məntəqəsində çoxillik dövr üçün orta aylıq su sərfləri hesablanır və aşağıdakı cədvəldə yazılır.

| Su sərfləri,<br>$m^3/s$ | Aylar |      |      |      |      |      |      |      |      |      |      |      |
|-------------------------|-------|------|------|------|------|------|------|------|------|------|------|------|
|                         | 1     | 2    | 3    | 4    | 5    | 6    | 7    | 8    | 9    | 10   | 11   | 12   |
| Orta aylıq              | 1,15  | 1,35 | 2,26 | 3,47 | 3,01 | 2,33 | 1,22 | 0,79 | 0,92 | 1,45 | 1,47 | 1,37 |
| Ekoloji                 | 0,3   | 0,3  | 0,3  | 0,78 | 0,78 | 0,78 | 0,78 | 0,78 | 0,78 | 0,3  | 0,3  | 0,3  |

2. Oktyabr-mart və aprel-sentyabr aylarını əhatə edən dövrlərin hər biri üçün ayrılıqda müşahidə olunmuş su sərflərinin orta qiyməti tapılır: oktyabr-mart üçün  $Q_{or}=1.96 \text{ m}^3/\text{s}$ ; aprel-sentyabr üçün isə  $Q_{or}=1.51 \text{ m}^3/\text{s}$ .
3. Cədvəl 9.1-ə görə çayın ekoloji vəziyyətinin “yaxşı” kimi qiymətləndirilməsi üçün ekoloji axımın kəmiyyəti oktyabr-mart aylarında müşahidə olunmuş su sərflərinin orta qiymətinin 20%-ni ( $0.3 \text{ m}^3/\text{s}$ ), aprel-sentyabr aylarında isə bu dövrə müşahidə olunmuş su sərflərinin orta qiymətinin 40%-ni ( $0.78 \text{ m}^3/\text{s}$ ) təşkil etməlidir. Ekoloji axımın bu qiymətləri yuxarıdakı cədvəldə verilmişdir.
4. Cədvəldəki məlumatlara görə çay axımı və ekoloji axımın hidroqrafları tərtib olunur (Şəkil 9.1).



*Şəkil 9.1. Ağsu çayının (Ağsu məntəqəsində) müşahidə olunmuş su sərfləri və ekoloji axım hidroqrafları*

Şəkil 9.1-dən göründüyü kimi, bütün aylarda ekoloji axımın kəmiyyəti müşahidə olunmuş su sərflərindən kiçik və ya onlara bərabərdir. Aydındır ki, azsulu illərdə iyul-sentyabr aylarında ekoloji axımın kəmiyyəti müşahidə olunmuş su sərflərindən böyük alına bilər.

## **10. TƏSƏRRÜFAT FƏALİYYƏTİNİN ÇAY AXIMINA TƏSİRİNİN QIYMƏTLƏNDİRİLMƏSİ**

Çay hövzələrinin və regionların su ehtiyatlarını və su təminatını qiymətləndirmək üçün çay axımının çoxillik tərəddüdləri ilə yanaşı, onun antropogen amillərin təsiri nəticəsində dəyişməsinin kəmiyyət göstəriciləri haqqında da məlumat tələb olunur.

Su ehtiyatlarından qeyri-səmərəli istifadə, çay sutoplayıcılarındakı təbii landşaftların antropogen amillərin təsiri altında transformasiya olunması, hidrotexniki qurğuların inşası və s. çayların təbii rejimini kəskin dəyişdirmişdir. Keçən əsrin 50-60-cı illərindən başlayaraq, xüsusilə arid ərazilərdə, böyük çay sistemlərinin axımının əhəmiyyətli antropogen azalması müşahidə olunur. Əhalinin sıx məskunlaşduğu regionların kiçik və orta çaylarında bu proses daha qabarlıq hiss edilir. İldən-ilə, xüsusilə azsulu illərdə, su çatışmazlığı problemi daha da kəskinləşir.

Hazırda Yer kürəsinin eksər bölgələrində, o cümlədən Azərbaycanda, təsərrüfat fəaliyyətinin təsiri nəticəsində təbii rejimi dəyişdirilməyən orta və böyük çay qalmayıb. Buna görə də baş vermiş antropogen dəyişmələrin qiymətləndirilməsinə hidroloji hesablamaların müstəqil vəzifəsi kimi baxılmalıdır. Belə qiymətləndirmənin nəticələri məhsuldar qüvvələrin yerləşdirilməsi planlaşdırıldıqda və su təsərrüfatı qurğuları layihələndirildikdə nəzərə alınmalıdır.

Bəzi, ənənəvi hidroloji hesablamalar yerinə yetirildikdə də axımın antropogen dəyişməsi nəzərə alınmalıdır:

1. Axım sıralarının bircinsliyi təsərrüfat fəaliyyətinin təsiri nəticəsində pozulduğuna görə;
2. Təbii rejimi pozulmuş çaylara coğrafi ümumiləşdirməyə əsaslanan standart hidroloji hesablama metodlarının tətbiqi effektiv olmadığına görə.

## ***10.1. Təsərrüfat fəaliyyəti amillərinin təsnifatı***

Su ehtiyatlarına və hidroloji rejimə təsirin xarakterinə görə İ.A.Şiklomanov (Водные ресурсы России..., 2008) antropogen amilləri beş qrupa böлür.

*1. İstifadə məqsədilə çay məcrasından birbaşa sugötürmələrlə və ya istifadə olunmuş suların yenidən çaya atılması ilə bağlı amillər.* Bu qrupa məişətdə, sənayedə, kənd təsərrüfatında suya olan tələbatı ödəmək üçün sugötürmələr aiddir. Çay axımının bir hissəsinin bir hövzədən digər hövzəyə ötürülməsi də bu qrupa aid edilir. Bu amillərin çayların hidroloji xarakteristikalarına təsiri götürülən və geri qaytarılan suyun həcminin çayın təbii axımına nisbətindən asılıdır. Kiçik və orta çayların axımı böyük çaylarla müqayisədə daha güclü dəyişir. Çay hövzəsində axımın əmələgelmə şəraiti olduğu kimi qalır.

*2. Çay məcrasının dəyişdirilməsi ilə bağlı amillər:* su anbarlarının inşası, çay sahillərinin bərkidilməsi, məcranın düzləndirilməsi, dərədə çinqıl hasilatı və s.

Su ehtiyatlarından daha çox istifadə etmək məqsədilə 1940-1950-ci illərdən başlayaraq mövsümi və çoxillik dövr ərzində axımı tənzimləyən su anbarları inşa olunur. Hazırda bütün dünya üzrə su anbarlarının ümumi faydalı həcmi  $4000\text{km}^3$  təşkil edir ki, bu da sabit çay axımı miqdarını orta hesabla 25% artırmağa imkan vermişdir. Lakin su anbarları vasitəsilə çay axımının tənzimlənmə prosesi, daha doğrusu anbarların inşası və istismarı bir çox hallarda ətraf mühitə mənfi təsir göstərir. Buna görə də son 20 ildə su anbarlarının sayı çox zəif sürətlə artır. Çox güman ki, bu tendensiya gələcəkdə də davam edəcəkdir.

Arid və semi-arid zonalarda su anbarlarının inşası su səthindən buxarlanma nəticəsində regionların ümumi su ehtiyatlarını əhəmiyyətli dərəcədə azaldır. Həmçinin, geniş ərazilər suyun altında qalır. Bütün bunları nəzərə alaraq, son illərdə su anbarları əsasən dağlıq regionlarda və əhali seyrək məskunlaşmış bölgələrdə tikilir.

Bu qrupa aid olunan qalan amillərin təsiri, adətən yerli

xarakter daşıyır və çayların müəyyin hissələrində hiss olunur.

*3. Çayın sutoplayıcı səthinin dəyişdirilməsi ilə bağlı amillər:*

- torpaqların şumlanması, aqrotexniki tədbirlərin həyata keçirilməsi, dağ çəmənlərinin olaq kimi istifadə olunması və s. Adətən bu amillər kiçik və orta çayların hidroloji rejiminə, maksimal və minimal axımına, axımın il ərzində paylanmasına təsir göstərir. Bu təsir illik axıma ən zəif, gətirmələr axımı və çay sularının keyfiyyətinə isə güclü olur;
- bataqlıqların və bataqlıqlaşmış ərazilərin qurudulması; başlıca olaraq, kiçik və orta çayların hidroloji rejiminin kəmiyyət göstəricilərinə və illik axıma təsir edir;
- meşələrin qırılması və bərpa olunması; kiçik və orta çayların su balansının əsas ünsürlərini, hidroloji rejimini və suyun keyfiyyətini dəyişdirir; onların təsir dərəcəsi meşənin tipi və yaşından asılıdır və tədbirlər həyata keçirildikdən sonra onilliklər ərzində müşahidə oluna bilər;
- urbanizasiya kiçik və orta çayların su balansı və axımının bütün xarakteristikalarını dəyişdirir, yeraltı sulara və suların keyfiyyətinə təsir göstərir.

*4. Eyni zamanda həm məcradan birbaşa sugötürmələr, həm də sutoplayıcı səthin dəyişdirilməsi nəticəsində axıma təsir göstərən təsərrüfat fəaliyyəti amilləri* (suvarma əkinçiliyi, yeraltı suların istismarı və s.); quraq ərazilərdə geniş yayılmış suvarma əkinçiliyi kiçik, orta və böyük çayların bütün axım göstəricilərinə və suyunun keyfiyyətinə güclü təsir edir.

Yeraltı sulardan istifadə çaylara yeraltı axımı azaldır, buxarlanmayı və sutoplayıcıda axımın əmələgəlmə şəraitini dəyişdirir.

*5. Ümumi meteoroloji və iqlim xarakteristikalarının dəyişməsi ilə əlaqədar su balansına, su ehtiyatlarına və çayların hidroloji rejiminə təsir göstərən antropogen amillər:*

- təsərrüfat fəaliyyətinin bitki örtüyünə təsiri, urbanizasiyanın inkişafı, su anbarlarının inşası, suvarılan və qurudulan ərazilərin genişləndirilməsi nəticəsində regional

- ıqlimin və meteoroloji şəraitin dəyişməsi; qeyd edilən tədbirlər həyata keçirilən ərazilərdə yer səthinin eks etdirmə qabiliyyəti (albedo), buxarlanma, torpağın nəmliyi və meteoroloji rejimin digər xarakteristikaları dəyişir ki, bu da əsasən kiçik, bəzən isə orta çayların su balansı və hidroloji rejimində öz əksini tapır;
- şirin su ehtiyatlarından çox böyük həcmdə istifadə nəticəsində qlobal ıqlimin və rütubət dövranının mümkün dəyişmələri; təsərrüfatda istifadə üçün su mənbələrindən götürülən, lakin geri qaytarılmayan suların bir hissəsi su buxarı şəklində atmosferə qayıdır ki, bunun da nəticəsində əlavə yağıntılar düşür və əlavə su ehtiyatları yaranır. Bu, yalnız sahəsi milyonlarla kvadrat kilometr olan ərazilərin su balansında baş verə bilər.
  - atmosferin tərkibinin dəyişməsinə təsir edən amillər; müxtəlif yanacaq növlərindən istifadə artdıqca, atmosferdə karbon qazının ( $\text{CO}_2$ ) və digər parnik qazlarının, həmçinin atmosfer aerozolunun miqdarı çoxalır ki, bu da troposferdə temperaturu artırır. Bunun nəticəsində atmosferin ümumi sirkulyasiyası, yağıntılar, buxarlanma və su ehtiyatları regional və qlobal miqyasda dəyişir.

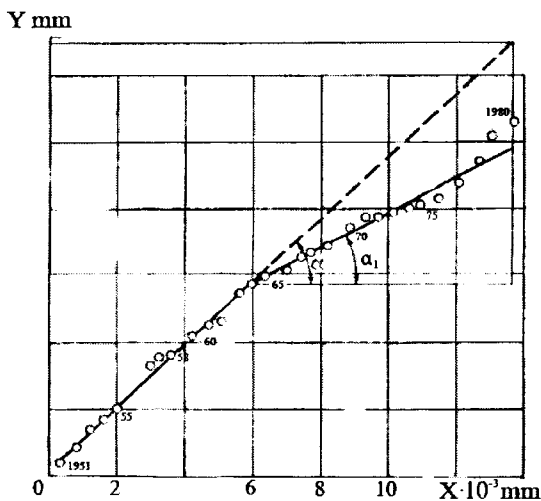
## ***10.2. Təsərrüfat fəaliyyətinin çay axımına təsirinin başlangıç ilinin təyini***

Antropogen amillərin təsiri nəticəsində çayın təbii rejiminin dəyişməyə başladığı ili təyin etməyin ən sadə yolu, su anbarları, irriqasiya və su təchizatı sistemləri, nasos stansiyalarının istismara verilmə tarixləri haqqında məlumatların təhlilidir.

Lakin bir sıra təsərrüfat tədbirləri (meliorasiya, torpaqların şumlanması, urbanizasiya, meşələrin qırılması və bərpa olunması və s.) nəticəsində çayların rejimi və axım göstəriciləri tədricən dəyişir. Bu zaman çay hövzəsindəki təsərrüfat fəaliyyəti haqqında etibarlı faktik məlumatlar olduqda belə, axımın əmələgəlmə şəraitinin əhəmiyyətli şəkildə pozulmağa başladığı ili təyin etmək

çox çətin və ya qeyri-mümkündür.

Uzun müddətli hidrometrik müşahidə məlumatları olduqda bu məsələ statistik metodlarla həll oluna bilər. Məsələn, öyrənilən çayın axım xarakteristikasının orta çoxillik kəmiyyəti təbii rejimə malik analoq çayın müvafiq axım kəmiyyəti ilə müqayisə olunur və ya, hər iki çayın müvafiq su sərfəri arasında əlaqə qrafiki qurulur. Əgər əlaqə kifayət qədər sıxırsa, onda nöqtələrin əlaqə xətti ətrafında səpələnməsinin təhlilinə görə antropogen təsirin başlangıç ilini təyin etmək olur. Lakin bu əlaqə kifayət qədər sıx deyilsə ( $r<0,7$ ), onda təhlil və düzgün nəticənin əldə olunması çətinləşir. Bu halda ikiqat integrallı əyrilərindən istifadə daha faydalı ola bilər. Bunun üçün öyrənilən (təbii rejimi dəyişmiş) və analoq çayın paralel müşahidə dövründə qeydə alınmış su sərfəri ardıcıl olaraq cəmlənir və bunlar arasında əlaqə qrafiki qurulur (şəkil 10.1). Belə yanaşma çərçivəsində analoq çayın su sərfəri əvəzinə atmosfer yağışları və ya hövzənin təbii rejimə malik hissəsindən daxil olan cəm çay axımı sıralarından da istifadə oluna bilər.



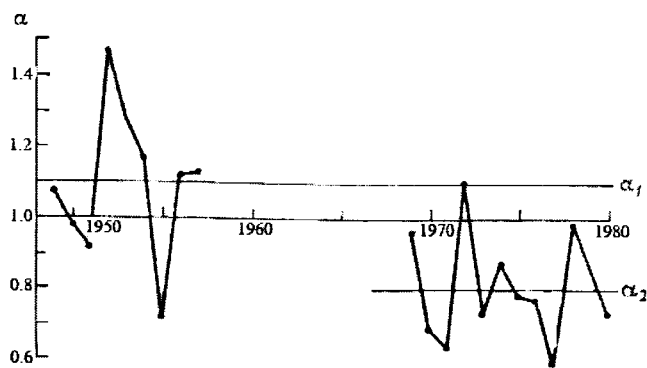
**Şkil 10.1.** İltisam ilə yağıntılar arasında ikiqat integral şyrinin qrafiki

Antropogen təsirin başlanğıc ili indikasiya metoduna görə təyin oluna bilər. Məsələn, dağ çaylarının sutoplayıcılarında axımın əmələgelmə zonası aydın seçildiyindən, indikasiya əmsalı,  $\alpha$ , kimi aşağıdakı nisbət istifadə edilir:

$$\alpha = \frac{\sum Q_q}{Q} , \quad (10.1)$$

burada  $\sum Q_q$ -axım formalaşan zonadan daxil olan cəm su sərflərinin hər bir müşahidə ili üçün qiymətləri;  $Q$ -hesabi çayın baxılan məntəqədə su sərflərinin hər bir il üçün qiymətləridir.

Arid ərazi çaylarının su ehtiyatları başlıca olaraq bitkilərin vegetasiya dövründə suvarma üçün istifadə olunduğuna görə, adətən, yay dövründə onların təbii rejimi pozulur. Lakin minimal qış su sərfləri isə təbii (və ya şərti təbii) şəraitdə formalaşır. Buna görə də indikasiya əmsalı kimi minimal yay-payız və qış su sərflərinin nisbətindən də istifadə etmək olar (Иманов, 2000). İndikasiya metodu sadə və əyanidir (Şəkil 10.2). Bu şəkildən göründüyü kimi, 1969-cu ildən başlayaraq antropogen təsir nəticəsində çayın təbii rejimi dəyişmişdir.



**Şəkil 10.2.** İllik axımın indikasiya əmsalının xronoloji gedisi

Təsərrüfat fəaliyyətinin çay axımına təsirinin başlangıç ili təyin olunduqdan sonra, istifadə olunan metoddan (əlaqə qrafikləri,

indikasiya metodu) asılı olmayaraq təbii rejimin pozulması statistik meyarların tətbiqi ilə təsdiqlənməlidir. Sıraların statistik bircinsliyini qiymətləndirmək üçün Student və Fişer meyarlarından daha tez-tez istifadə olunur.

### ***10.3. Antropogen amillərin çay axımına təsirinin qiymətləndirilmə metodları***

Təsərrüfat fəaliyyətinin çay axımına təsirinin etibarlı qiymətləndirilməsi çox mürəkkəb məsələdir və bunun əsas səbəbləri aşağıdakılardır:

- çay hövzəsində eyni zamanda həyata keçirilən çoxsaylı təsərrüfat tədbirlərinin bəziləri axımı azaldır, bəziləri isə, əksinə, artırır;
- axımın antropogen dəyişmələri su sərflərinin təbii tərəddüdləri fonunda baş verir və bu tərəddüdlərin amplitudu, adətən antropogen dəyişmələrdən əhəmiyyətli dərəcədə böyükdür;
- çaylardan götürülən və onlara atılan sular, ümumiyyətlə, çay sutoplayıcısında həyata keçirilən təsərrüfat tədbirləri haqqında kifayət qədər etibarlı məlumatlar olmur.

Çay axımının antropogen dəyişmələrini qiymətləndirmək üçün istifadə edilən metodlar beş qrupa bölünə bilər:

- statistik metodlar;
- su balansı metodları;
- riyazi modelləşdirmə metodları;
- fiziki modelləşdirmə metodları;
- fəal eksperiment metodları.

*Statistik metodlar*, çoxillik dövr ərzində yerinə yetirilmiş standart hidrometeoroloji müşahidə məlumatlarından istifadəyə əsaslanır. Müşahidə dövrü iki hissəyə bölünür-təbii və antropogen rejimli dövrlər. Sonra müxtəlif üsulların tətbiqi ilə antropogen rejimli dövr üçün axımın təbii xarakteristikaları bərpa olunur və alınmış kəmiyyətlər müşahidə olunmuş su sərfləri ilə müqayisə edilir. Statistik metodlardan istifadə etdikdə belə hesab olunur ki,

çayın təbii rejimini təyin edən meteoroloji amillər təsərrüfat fəaliyyətinin təsiri nəticəsində dəyişmir.

Bu qrup metodların müxtəlif variantları məlumdur:

- çay axımının çoxillik tərəddüdlərinin xətti trend analizi;
- hidroloji analogiya üsulu;
- axımın meteoroloji xarakteristikalardan empirik asılılıqları;
- çay sutoplayıcısının axım əmələgələn və təsərrüfat məqsədləri üçün istifadə olunan zonalarının su sərfləri arasında əlaqələrin təhlili;
- meteoroloji şəraiti eyni, lakin təsərrüfat fəaliyyətinin inkişaf səviyyəsi fərqli olan dövrlər üçün axımın müşahidə olunmuş kəmiyyətlərinin müqayisəli təhlili;
- çay axımının fiziki-coğrafi, meteoroloji və antropogen amillərdən asılılığını ifadə edən çoxhədli regressiya tənlikləri.

Təsərrüfat fəaliyyətinin təsiri altında axımın dəyişməsi,  $\Delta Q_{t,f}$  aşağıdakı düstura görə təyin olunur:

$$\Delta Q_{t,f} = Q_b - Q_m, \quad (10.2)$$

burada  $Q_m$  və  $Q_b$  -müvafiq olaraq, müşahidə edilmiş və bərpa olunmuş axım kəmiyyətləridir.

Axımın antropogen dəyişməsinin təsadüfi xətası,  $\sigma_{\Delta Q_{t,f}}$ , aşağıdakı düstura görə qiymətləndirilir:

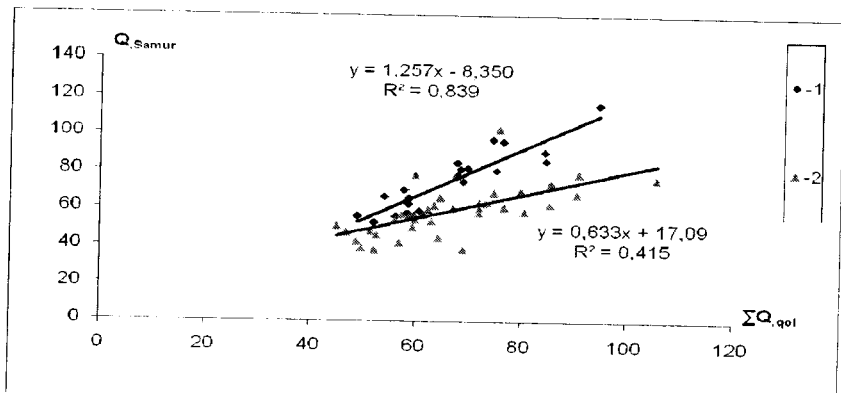
$$\sigma_{\Delta Q_{t,f}} = \sqrt{\frac{\sigma_{Q_b}^2 + \sigma_{Q_m}^2}{n}}, \quad (10.3)$$

burada  $\sigma_{Q_b}$  -regressiya tənliyinin xətası;  $\sigma_{Q_m}$  -müşahidə olunmuş su sərfləri sırasının orta kəmiyyətinin standart meyletməsi; n -antropogen təsirin qiymətləndirildiyi dövrün davamıyyətidir.

Yerinə yetirilmiş qiymətləndirmənin nəticələri o halda etibarlı hesab olunur ki,  $\Delta Q_{t,f} \geq 2\sigma_{\Delta Q_{t,f}}$  -şərti ödənilir.

Dağ çayları axımının dəyişməsini qiymətləndirmək üçün çayın qapayıçı məntəqədə müşahidə olunmuş su sərfləri,  $Q$ , ilə axım əmələgələn zonanın cəm su sərfləri  $\sum Q_{qol}$  arasında əlaqədən geniş istifadə olunur.

Belə əlaqəyə misal şəkil 10.3-də göstərilir.



*Şəkil 10.3. Samur çayının Usuxçay məntəqəsində orta illik su sərfləri ilə axımın əmələgəlmə zonasından qolların gətirdiyi cəm su sərfləri arasında əlaqə qrafiki*

1-1950-1968 illər; 2-1969-2006 illər

Yuxarıda baxılan asılılığın nisbətən mürəkkəb variantında təbii rejimli zonadan daxil olan axım kəmiyyəti ilə yanaşı axım istifadə olunan zonanın meteoroloji xarakteristikalarından da istifadə edilir:

$$Q=f(\sum Q_{qol}, P, d) \text{ və ya } Q=f(\sum Q_{qol}, P, t), \quad (10.4)$$

burada P-atmosfer yağışları; d-havanın rütubət çatışmazlığı; t-havanın temperaturudur.

İ.A.Şiklomanov Kür çayının illik axımının Mingəçevir şəhərinə kimi dəyişməsini təyin etmək üçün çoxhədli regressiya tənliyi almışdır:

$$Q=1,48 \sum Q_{qol} + 0,15P - 15,8t + 143, \quad R=0.932 \quad (10.5)$$

Bu tənlik 1929-1960-ci illərin (şərti təbii dövr) məlumatlarına görə tərtib edilmiş, sonra isə ona görə 1961-1970 və 1971-1975-ci illəri əhatə edən dövrlərdə axımın antropogen dəyişməsi qiymətləndirilmişdir.

Bu tipli regressiya tənliklərinə bəzən suvarılan və ya qurudulan ərazilərin sahələrini də səciyyələndirən parametr daxil edilir (Фатуллаев, 2002).

Statistik metodların iki əsas üstün cəhəti var. Birinci üstünlük ondan ibarətdir ki, onlar antropogen təsiri artıq mövcud hidrometeoroloji müşahidə məlumatlarına görə qiymətləndirməyə imkan verir. Bu zaman yeni müşahidə məlumatlarının yığılmamasını gözləməyə, baha başa gələn eksperimentlərin və xüsusi ekspedisiyaların təşkilinə ehtiyac olmur. İkinci üstünlük isə sutoplayıcıda eyni vaxtda və müxtəlif istiqamətlərdə təsir göstərən çoxsaylı antropogen amillərin təsiri altında axımın cəm dəyişməsinin qiymətləndirilməsinin mümkünluğudur.

Bu qrup metodların əsas çatışmazlıqları aşağıdakılardır:

- mövcud hidrometeoroloji müşahidə sıraları adətən qısa olduğuna və sutoplayıcıda təsərrüfat fəaliyyətinin müxtəlif mərhələlərini kifayət dərəcədə əks edtirmədiyinə görə korrelyasiya əlaqələri dayanıqsız olur;
- təsərrüfat fəaliyyətinin təsiri altında sutoplayıcıda baş verən proseslərin fiziki mahiyyətini izah etmək, hər bir antropogen amilin rolunu ayrılıqda qiymətləndirmək mümkün olmur;
- axımın antropogen dəyişmələrinin etibarlı proqnozunu vermək mümkün deyildir.

*Su balansı metodları* çaylardan götürülən və onlara atılan suyun miqdarının qeydiyyatına, həmçinin çay sutoplayıcısında baş verən təsərrüfat fəaliyyətinin təsiri altında su balansı elementlərinin dəyişməsinin öyrənilməsinə əsaslanır. Təsərrüfat fəaliyyətinin təsiri su balansı elementlərinin təbii şəraitdə və antropogen

təsirin olduğu dövrdəki kəmiyyətlərinin fərqiనə görə qiymətləndirilir.

Su balansı metodlarının iki əsas üstünlüyü var. Əvvəla, bu metodlar sutoplayıcıda baş verən fiziki prosesləri nəzərə alır və hər bir təsərrüfat fəaliyyətinin axıma təsirini ayrılıqda təyin etməyə imkan verir. Digər tərəfdən, onlar antropogen amillərin təsiri altında gələcəkdə axımın mümkün dəyişmələrini proqnozlaşdırmaq üçün yararlıdır.

Bu qrup metodlara görə su anbarlarının, suvarma əkinçiliyinin, bataqlıq və bataqlıqlaşmış ərazilərin qurudulmasının, meşələrin qırılması və bərpa olunmasının, aqromeşəmeliorativ tədbirlərin, urbanizasiyanın və s. çay axımına təsiri qiymətləndirilə bilər (Шикломанов, 1979; 1989; Водогрецкий, 1979; Харченко, 1979; Куприянов, 1978; Георгиевский, 2005; Фатуллаев, 2002; Крестовский, 1989; Методические..., 1986).

Məsələn, suvarma əkinçiliyi inkişaf etdirilən geniş ərazilərdə geri qayıtmayan suyun miqdarı (faktiki olaraq, axım itkiləri),  $\Delta Q$ , ümumi halda aşağıdakı düstura görə hesablanıa bilər:

$$\Delta Q = Q_{\text{suv}} - Q_{\text{qay}} + \Delta E, \quad (10.6)$$

burada  $Q_{\text{suv}}$  – suvarma üçün götürülən suyun miqdarı;  $Q_{\text{qay}}$  – suvarılan sahələrdən çaya qayıdan suyun miqdarı;  $\Delta E$  – suvarılan ərazilərdə təbii bitki örtüyünün əvəzlənməsi ilə bağlı buxarlanmasıdır.

Müasir şəhərlərdə axım, urbanizasiya olunmayan ərazilərlə müqayisədə 10-15% çox olur. Bu, şəhərlərdə yağıntıların orta hesabla 10%, axım əmsalının isə təqribən 5% çoxalması ilə izah olunur. Axımı əsasən leysan yağışları hesabına formallaşan çayların illik axımı şəhər ərazilərində 100-200% -ə kimi arta bilər.

Cay sutoplayıcısında urbanizasiyalı ərazi olduqda illik axım, aşağıdakı düstura görə hesablanıa bilər:

$$Q_{u,i} = Q_0(1-f_u) + Q_u f_u \quad (10.7)$$

burada  $Q_{u,i}$  – urbanizasiya nəzərə alınmaqla illik axım norması;

$Q_0$ - urbanizasiya inkişaf etməzdən əvvəlki dövrdə ərazidən illik axım norması ("zonal norma");  $f_u$ - urbanizasiyalı sahənin sutoplayıcının ümumi sahəsinə nisbəti;  $Q_u$ -urbanizasiya olunmuş ərazidən illik axım normasıdır:

$$Q_u = Q + Q' - Q'' + \alpha_u \Delta P_u \pm \Delta E_u - I_k, \quad (10.8)$$

burada  $Q$ -urbanizasiya inkişaf etməzdən əvvəlki dövrdə ərazidən illik axım;  $Q'$ -sutoplayıcıya qonşu çay hövzələrindən daxil olan suyun və ya çayla hidravlik əlaqəsi olmayan yeraltı sugötürmələrin miqdarı;  $Q''$ -sutoplayıcıdan kənarlaşdırılan tullantı sularının miqdarı;  $\Delta P_u$ -şəhər üzərində yağışlarının çoxalması;  $\alpha_u$ - urbanizasiyalı ərazidə illik axım əmsali;  $\pm \Delta E_u$ -urbanizasiya nəticəsində buxarlanmanın dəyişməsi;  $I_k$ -kanalizasiya və su təchizatı sistemlərindəki itkilərdir (şəhər daxilində kəmərlərdən süzülüb çaya qayıtmayan sular).

Su balansı metodunun da bir sıra çatışmazlıqları var:

- sudan istifadə və kənarlaşdırılan sular haqqında təfsilatlı və etibarlı məlumatların tələb olunması;
- su balansı elementlərinin ölçülülmə və hesablanması dəqiqliyinin aşağı olması;
- kiçik ərazilərdə (su balansı stansiyalarında, eksperimental sahələrdə) alınmış nəticələrin iri çay hövzələrinə tətbiqi ilə bağlı çətinliklər və s.

*Riyazi modelləşdirmə* metodlarının tətbiqinin bir sıra mərhələləri var: prosesin təbii şəraitdə ətraflı öyrənilməsi, hidroloji rejim və su balansı elementlərinin zamana görə və ərazi üzrə dəyişməsini ifadə edən tənliklərin tərtibi; bu tənliklərin kompyuterlərin istifadəsi ilə həlli və müşahidə məlumatlarına görə tənliklərin əmsallarının təyini (modelin kolibrovkası); hidroloji xarakteristikalara meteoroloji və antropogen amillərin təsirini qiymətləndirmək məqsədilə məlum ilkin şərtlərə və parametrlərin müxtəlif qiymətlərinə görə hesablamaların yerinə yetirilməsi.

Riyazi modelləşdirmə metodlarının əsas üstünlükləri ondan ibarətdir ki, onlar çox qısa müddətdə və az xərclə müxtəlif təbii və antropogen amillərin çayların hidroloji rejiminə və sutoplayıcıların su balansına təsirini qiymətləndirməyə imkan verir. Lakin bu metodlarla alınmış nəticələr təkcə ilkin məlumatların etibarlılığından deyil, həm də, istifadə edilən hesabi tənliklərin müvafiq hidroloji prosesi nə dərəcədə düzgün ifadə etməsindən, həmçinin bu tənliklərin parametr və əmsallarının təyini dəqiqliyindən asılıdır. Bəzən, hətta eyni bir sutoplayıcı üçün mürəkkəb modellərin çoxsaylı parametrləri dayanıqsız və ya fiziki nöqtəyi-nəzərdən zəif əsaslandırılmış olur. Buna görə də çox zaman nəinki təsərrüfat fəaliyyətinin, hətta meteoroloji amillərin axıma təsirini dəqiq hesablamaq mümkün olmur.

*Fiziki modelləşdirmə metodları* xüsusi hidravlika və məcra laboratoriyalarda tətbiq olunur. Bu laboratoriyalarda öyrənilən çay hissəsi və sutoplayıcının müəyyən bir miqyasda modeli hazırlanır. Modeldə müxtəlif tədqiqatlar aparılır və alınmış nəticələr miqyas əmsallarını nəzərə almaqla yenidən hesablanır. Fiziki modelin hazırlanması üçün su obyektinin çöl şəraitində öyrənilməsi, çoxsaylı ölçmə işlərinin yerinə yetirilməsi, miqyas əmsallarının düzgün seçilməsi və bahalı avadanlıqların alınması tələb olunur.

Bu qrup metodlar daha çox müxtəlif təsirlər (məcranın düzləndirilməsi, körpü və sugötürүcülərin inşası, çayın sahilinin bərkidilməsi və s.) nəticəsində çay hissəsində baş verə biləcək rejim dəyişmələrini (səviyyə, sürət, yuyulma intensivliyi, gətirmələrin miqadarı və s.) öyrənmək üçün istifadə olunur.

Etibarlı nəticələr əldə etmək üçün böyük və dəqiq modellər hazırlanmalıdır ki, bu da çox vaxt və vəsait tələb edir.

*Fəal eksperiment metodları* daha çox Qərb ölkələrində torpaqdan istifadənin müxtəlif növlərinin hidroloji rejimə təsirini öyrənmək məqsədilə tətbiq olunur.

Əvvəlcə, elə bir kiçik çay sutoplayıcısı seçilir ki, orada meteoroloji elementlər və çayın hidroloji rejimi üzərində uzunmüddətli və etibarlı müşahidə məlumatları olsun. Sonra sutoplayıcının səth

amillərindən biri süni şəkildə dəyişdirilir (meşə qırılır və ya yandırılır, aqrotexniki şərait dəyişdirilir) və hidrometeoroloji müşahidələr bir neçə il davam etdirilir. Nəhayət, sutoplayıcıda tədbir həyata keçirilməzdən əvvəl və sonrakı dövrlər üçün su balansının elementləri müqayisə olunur və baxılan təsərrüfat fəaliyyəti növünün hidroloji xarakteristikalara təsiri keyfiyyət və kəmiyyətcə qiymətləndirilir.

Fəal eksperiment metodları ən effektiv metodlardır, lakin onlar çox baha başa gəlir.

**Misal 10.1.** İkiqat integrallar əyrilər metodundan istifadə etməklə aşağıdakı verilənlərə görə çayın qapayıcı məntəqəsində illik axımın azalmasını qiymətləndirin:

- Çayın sutoplayıcı sahəsi  $1050 \text{ km}^2$  təşkil edir. XX əsrin 60-cı illərindən başlayaraq suvarma əkinçiliyi inkişaf etdirilir. 1970-ci ildə suvarılan ərazilərin sahəsi 4 min hektar olmuşdur;
- 1951-1980-ci illəri əhatə edən dövr üçün orta illik su sərfəri və illik yağıntılar haqqında məlumatlar.

**Həlli:** 1. Orta illik su sərfəri,  $R$ , və yağıntılar,  $P$ , haqqında məlumatlara görə ikiqat integrallar əyri qurulur (şəkil 10.1).

2. Əyriyə görə axımın antropogen azalmasının başlangıç ili təyin olunur: 1964-cü il.

3. 1964-1980-ci illəri əhatə edən dövr üçün illik axımın nisbi dəyişmə əmsalı hesablanır:

$$K_{or} = \frac{\operatorname{tg} \alpha}{\operatorname{tg} \alpha_1} = \frac{0.52}{0.94} = 0.55.$$

Bu isə o deməkdir ki, 1951-1953-cü illərlə müqayisədə 1964-1980-ci illərdə axım 45% azalmışdır.

**Misal 10.2.** Aşağıdakı verilənlərə görə Axıncaçayın Ağdam məntəqəsində illik axımın antropogen azalmasını indikasiya metodu ilə hesablayın:

- Axıncaçay üzərində 2 hidroloji məntəqə fəaliyyət göstərmişdir: Ayqedzor və Ağdam. Ayqedzor məntəqəsində qeydə alınan axım təbii şəraitdə formalasır. Lakin bu məntəqə

ilə Ağdam məntəqəsi arasında 9 min ha sahə suvarılır.

- Hər iki məntəqə üçün orta illik su sərfələri haqqında məlumatlar.

**Həlli:** 1. Hər bir paralel müşahidə ili üçün indikasiya əmsali hesablanır:

$$\alpha = \frac{Q_{Ag}}{Q_{Aj}}$$

2. İndikasiya əmsalının xronoloji gedişinin qrafiki qurulur (şəkil 10.2).

3. Ağdam məntəqəsində 1969-1980-cı illərdə axımın 1949-1957-ci illərlə (şərti təbii dövr) müqayisədə antropogen azalması aşağıdakı düstura görə qiymətləndirilir:

$$\Delta Q = (\alpha_1 - \alpha_2) \cdot \bar{Q}_1 = 0.30 \bar{Q}_1$$

burada  $\alpha_1$  və  $\alpha_2$ -müvafiq olaraq, 1949-1957 və 1969-1980-ci illər üçün indikasiya əmsalının orta qiyməti;  $\bar{Q}_1$  - 1949-1957-ci illər üçün Ayqedzor məntəqəsində orta illik su sərfidir ( $\bar{Q}_1 = 3.09 m^3 / s$ ).

Onda  $\Delta Q = 0.30 \cdot 3.09 m^3 / s = 0,93 m^3 / s$ .

## **Ədəbiyyat siyahısı**

1. Əyyubov Ə.C., Quluzadə V.Ə., Nəbiyev H.L., Məmmədov C.H. Kiş və Şin çayları hövzələrinin selləri. Bakı, Elm, 1998.-216s.
2. Əhmədzadə Ə.C. Heydər Əliyev və Azərbaycanın su təsərrüfatı. Bakı, Azərnəşr, 2003.-216s.
3. İbrahimova G.X. Hidrotexnika elminin tarixi və metodologiyası. Təhsil NPM, Bakı, 2008.-180s.
4. İmanov F.Ə. Çay axımı. BDU nəşriyyatı, Bakı, 2002.-207s.
5. İmanov F.Ə. Tətbiqi hidrologiya. Bakı, 2010.-232s.
6. Mahmudov R.N. Azərbaycanda hidrometeoroloji xidmət son üç əsrдə. "Ziya Nurlan", Bakı, 2007.- 219s.
7. Məmmədov M.Ə., Mahmudov R.N., İmanov F.Ə. Çay axımı və hidroloji hesablamalar (metodiki göstəriş). Bakı, 1995.-94s.
8. Rüstəmov S.H. Azərbaycan SSR çaylarının hidroloji xüsusiyyətləri. Bakı, 1960.-194s.
9. Андреянов В.Г. Внутригодовое распределение речного стока.-Л.: Гидрометеоиздат, 1960.-327с.
10. Ахундов С.А. Сток наносов горных рек Азербайджанской ССР. Баку, Элм, 1978.-98с.
11. Боровиков В.П., Боровиков И.П. STATISCA. Статистический анализ и обработка данных в среде Windows.- М.: Информационно-издательский дом « Филинь», 1998.-608с.
12. Вердиев Р.Г. Водные ресурсы рек Восточного Кавказа в условиях изменения климата Баку, 2002.-224с.
13. Виссмен мл У., Харбаф Т.И., Кнепп Д.У. Введение в гидрологию. –Л.: Гидрометеоиздат, 1979.-470 с.
14. Владимиров А.М. Гидрологические расчеты.-Л.: Гидрометеоиздат, 1990.-265с.
15. Владимиров А.М. Дружинин В.С. Сборник задач и упражнений по гидрологическим расчетам.-Л.: Гидрометеоиздат, 1992.-208с.
16. Водные ресурсы Закавказья.// Под ред.Г.Г.Сванидзе и В.Ш.Цомая. Л.: Гидрометеоиздат, 1988.-264с.
17. Водные ресурсы России и их использование. // Под ред. проф. И.А.Шикломанова.-СПб.:Государственный гидрологи-

ческий институт. 2008.-600с.

18. Горошков И.Ф. Гидрологические расчёты. Л.: Гидрометеоиздат, 1979.-431с.
19. Границы гидрологии. // Под ред. Дж. К. Родда. Л.: Гидрометеоиздат, 1980.-448с.
20. Евстигнеев В.М. Речной сток и гидрологические расчеты. М.: Изд-во МГУ, 1990.-340с.
21. Иманов Ф.А. Минимальный сток рек Кавказа. Баку, Изд-во «Нафта-Пресс», 2000.-298с.
22. Клибашев К.П., Горошков И.Ф. Гидрологические расчёты. Л.: Гидрометеоиздат, 1970.-460с.
23. Кузин П.С., Бабкин В.И. Географические закономерности гидрологического режима рек.- Л.: Гидрометеоиздат, 1979.-200с.
24. Кузин П.С. Классификация рек и гидрологические районирование СССР.-Л.: Гидрометеоиздат, 1960.-455с.
25. Линслей Р.К., Колер М.А., Паулюс Д.Л.Ч. Прикладная гидрология. Л.: Гидрометеоиздат, 1962.-759с.
26. Мамедов М.А. Расчеты максимальных расходов воды горных рек. Л.: Гидрометеоиздат, 1989.-184с.
27. Международное руководство по методам расчета основных гидрологических характеристик. Л.: Гидрометеоиздат, 1984.-247с.
28. Методические рекомендации по определению основных расчётных гидрологических характеристик при наличии данных гидрометрических наблюдений. Нижний Новгород, 2007.-133с.
29. Методические рекомендации по определению основных расчётных гидрологических характеристик при наличии недостаточности данных гидрометрических наблюдений. Санкт Петербург, 2007.-66с.
30. Методические рекомендации по учету влияния хозяйственной деятельности на сток малых рек при гидрологических расчётах для водохозяйственного проектирования. Л.: Гидрометеоиздат, 1986.-167 с.
31. Методические указания по оценке влияния хозяйственной деятельности на сток средних и больших рек и восстановлению водного баланса. Л.: Гидрометеоиздат, 1988.-152с.

- новлению его характеристик. Л.: Гидрометеоиздат, 1986.- 78 с.
32. Определение основных расчетных гидрологических характеристик. СП 33-101-2003. М.: Стройиздат, 2004. 72с.
33. Пособие по определению расчетных гидрологических характеристик. Л.: Гидрометеоиздат, 1984.-447с.
34. Расчеты поводочного стока. Методика расчёта на основе мирового опыта / Под ред. А.А. Соколова, С.Е. Рантца и др. Л.: Гидрометеоиздат, 1978.-304с.
35. Рождественский А.В., Ежов А.В., Сахарюк А.В. Оценка точности гидрологических расчётов. Л.: Гидрометеоиздат, 1990.-273с.
36. Рождественский А.В., Чеботарев А.И. Статистические методы в гидрологии. Л.: Гидрометеоиздат, 1974.-424 с.
37. Рождественский А.В. Оценка точности кривых распределения гидрологических характеристик. Л.: Гидрометеоиздат, 1977.-268с.
38. Рустамов С.Г., Кашкай Р.М. Водные ресурсы Азербайджанской ССР. Баку, Элм, 1989.-181с.
39. Рустамов С.Г., Кашкай Р.М. Водный баланс Азербайджанской ССР. Баку, Элм, 1978.-110с.
40. Рустамов С.Г., Джабаров Б.С., Гаджибеков Н.Г. Водный баланс бассейнов рек Малого Кавказа. Баку, Элм, 1969.-209с.
41. Сванидзе Г.Г. Математическое моделирование гидрологических рядов. Л.: Гидрометеоиздат, 1977.-296с.
42. Сикан А.В. Статистические методы в гидрологии. СПБ.: изд. РГГМУ, 2007.- 279с.
43. Соколов А.А., Чеботарев А.И. Очерки развития гидрологии в СССР. Л.: Гидрометеоиздат, 1970.-310 с.
44. Соколовский Д.Л. Речной сток. Л.: Гидрометеоиздат, 1968.-539с.
45. Сток наносов, его изучение и географическое распределение/Под ред. А.В.Караушева. Л.: Гидрометеоиздат, 1977.-240с.
46. Фатуллаев Г.Ю. Современные изменения водных ресурсов и водного режима рек Южного Кавказа (В пределах Каспийского бассейна). Баку, 2002.-167 с.

47. Федосеев И.А. Развитие знаний о происхождении, количестве и круговороте воды на Земле. М., Наука, 1967.-135с.
48. Шелутко В.А. Численные методы в гидрологии. Л.:Гидрометеоиздат, 1991.-238с.
49. Шикломанов И.А. Влияние хозяйственной деятельности на речной сток. Л.: Гидрометеоиздат, 1989.-330с.
50. Шикломанов И.А., Маркова О.Л. Проблемы водобеснечения и переброски речного стока в мире. Л.: Гидрометеоиздат, 1987.-294с.
51. Biswas, Asit K. History of hydrology. Amsterdam-London, 1970.-288 pp.
52. Chow V.T., Maidment D.R. and Mays L.W. Applied Hydrology. Mc Graw Hill, Inc., New York, 1988.-572 pp.
53. David A. Chin. Water-resources Engineering (Second edition). Pearson education International, USA, New Jersey, 2006.- 572 pp.
54. Fashchevskiy B., Fashchevskaya T. "Water Management Budget as a Basis for Assessment Water Priorities", Proceedings of the 1st International Conference on Hydrology and Water resources in Asia Pacific Region, Kyoto, Japan, Vol.1, 2003. – 357–360 pp.
55. Shiklomanov I.A., Rodda J. (eds.) World Water Resources of the Beginning of the 21<sup>st</sup> Century. UNESCO.-Cambridge University Press, 2003.-436p.
56. Tharme R.E. A global perspective on environmental flow assessment: emerging trends in the development and application of environmental flow methodologies for rivers. River research and applications, 19, 2003. – 397–441 pp.
57. Tennant D.L. Instream flow regimes for fish, wildlife, recreation and related environmental resources. US Fish and Wildlife Service, Brillings, Montana. Mimeo. 1975. – 30 pp.

**AZƏRBAYCAN RESPUBLİKASI TƏHSİL NAZİRLİYİ  
BAKİ DÖVLƏT UNIVERSİTETİ**

**F.Ə.İmanov**

**HİDROLOJİ HESABLAMALAR**

---

Yığılmağa verilmişdir: 12.12.2010  
Çapa imzalanmışdır: 17.01.2011  
Tiraj 300; ş.c.v. 16,5  
«MBM» MMC mətbəəsində  
çap olunmuşdur